



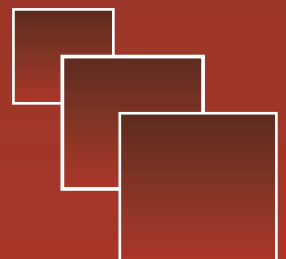
Вестник

Уральского
государственного
университета
путей сообщения

Научный журнал

Herald
of the Ural State University
of Railway Transport

Scientific journal



Научный журнал
Вестник Уральского государственного
университета путей сообщения
(Вестник УрГУПС)
№ 2 (50), 2021 год

Главный редактор
Василий Михайлович Сай
Научный редактор
Василий Федорович Лапшин

Литературный и выпускающий редактор
Людмила Станиславовна Барышниковна

Техническое редактирование и верстка
Светлана Николаевна Наймушина

Учредитель и издатель:
Федеральное государственное
бюджетное образовательное учрежде-
ние высшего образования «Уральский
государственный университет путей
сообщения» (ФГБОУ ВО УрГУПС)

Адрес учредителя, издателя и редакции:
620034, Екатеринбург,
ул. Колмогорова, 66

Телефон редакции: (343) 221-25-60.
Веб-сайт: www.usurt.ru/vestnik;
e-mail: vestnik@usurt.ru.

Вестник УрГУПС включен ВАКом
в перечень периодических, научных
и научно-технических изданий,
выпускаемых в Российской Федерации,
в которых рекомендуется публикация
основных результатов диссертаций.

DOI:10.20291/2079-0392

Свидетельство о регистрации
средства массовой информации
Роскомнадзора ПИ № ФС77–38188
от 30 ноября 2009 г.

Подписной индекс журнала
в общероссийском
каталоге «Пресса России» – 70070

Отпечатано в издательстве
Уральского государственного
университета путей сообщения,
620034, Екатеринбург,
ул. Колмогорова, 66.

Подписано в печать 10.06.2021
Дата выхода в свет 06.07.2021.
Цена 353 руб. 46 коп.

Тираж 300 экз. 1-й з-д: 1–60.
Формат 70×100/16.
Заказ 20

Уральский государственный
университет путей сообщения
(ФГБОУ ВО УрГУПС), 2021 ©

Scientific journal «Herald of the
Ural State University
of Railway Transport»
(Herald of the USURT)
№ 2 (50), 2021

Editor-in-chief,
Vasily M. Say
Science editor
Vasily F. Lapshin

Script and copy editor
Lyudmila S. Baryshnikova

Technical editing and make-up
Svetlana N. Naimushina

Founder and publisher:
Federal state-funded educational
institution of the higher education
«Ural State University of Railway Transport»
(FGBOU VO URGUPS)

Address of the founder, publisher and edition:
66 Kolmogorov Street,
620034, Ekaterinburg

Telephone: +7 (343) 221-25-60.
Web-site: www.usurt.ru/vestnik;
e-mail: vestnik@usurt.ru.

DOI:10.20291/2079-0392

Certificate of registration of mass media
by the Federal Service for Supervision
in the sphere of communications,
information technology and mass communications
(Roskomnadzor) PI № FS77–38188
of November 30, 2009.

Subscription reference number
of the issue in the All Russia Catalogue
«Pressa Rossii» – 70070

Printed in the Publishing house
of the Ural State University of
Railway Transport
66 Kolmogorov Street,
620034, Ekaterinburg.

Passed for printing 10.06.2021
Data of issue 06.07.2021.
The price 353 rub. 46 kop.

Circulation 300. The 1st pr.: 1–60.
Format 70×100/16.
Order 20

The Ural State University
of Railway Transport
(FGBOU VO URGUPS), 2021 ©

МЕЖДУНАРОДНЫЙ РЕДАКЦИОННЫЙ СОВЕТ

Кейт Бурнхам, профессор, Университет г. Ковентри, факультет машиностроения и вычислительной техники, Великобритания

Петер Копачек, заслуженный профессор, Венский технологический университет, Институт механики и мехатроники, Вена, Австрия

Владимир Цыганов, д-р техн. наук, профессор, Институт проблем управления Российской академии наук, Москва, Россия

Сергей Герман-Галкин, д-р техн. наук, профессор, Морская академия, Институт судовой автоматизации и электротехники, Щецин, Польша

Клаус Беккер, профессор, Университет прикладных наук г. Кельна, Институт автомобильной техники, лаборатория NVH, Германия

Василий Сай, д-р техн. наук, профессор, Уральский государственный университет путей сообщения, Екатеринбург, Россия

РЕДКОЛЛЕГИЯ

Аккерман Геннадий Львович, д-р техн. наук, профессор, УрГУПС, Екатеринбург

Ашпиз Евгений Самуилович, д-р техн. наук, профессор, РУТ, Москва

Булаев Владимир Григорьевич, д-р техн. наук, профессор, УрГУПС, Екатеринбург

Воробьев Александр Алексеевич, д-р техн. наук, профессор, МГУПС, Москва

Воскресенская Тамара Петровна, д-р техн. наук, профессор, СибГИУ, Новокузнецк

Корнилов Сергей Николаевич, д-р техн. наук, профессор, МГТУ, Магнитогорск

Кузнецов Константин Борисович, д-р техн. наук, профессор, УрГУПС, Екатеринбург

Курганов Валерий Максимович, д-р техн. наук, ТГУ, г. Тверь

Лапшин Василий Федорович, д-р техн. наук, профессор, УрГУПС, Екатеринбург

Сапожников Валерий Владимирович, д-р техн. наук, профессор, ПГУПС, Санкт-Петербург

Сизый Сергей Викторович, д-р техн. наук, профессор, УрФУ, Екатеринбург

Тимофеева Галина Адольфовна, д-р физ.-мат. наук, профессор, УрГУПС, Екатеринбург

Щурин Константин Владимирович, д-р техн. наук, профессор, ОГУ, Оренбург

INTERNATIONAL EDITORIAL BOARD

Keith Burnham, professor, Coventry University, Faculty of Engineering and Computing, Great Britain

Peter Kopachek, Professor Emeritus, TU Wien, Institute for Mechanics and Mechatronics, Vienna, Austria

Vladimir Tsyganov, DSc, professor, Russian Academy of Sciences, Institute of Control Sciences, Moscow, Russia

Sergey German-Galkin, DSc, professor Maritime Academy, Institute of naval automation and electric engineering, Szczecin, Poland

Klaus Becker, professor, Cologne University of Applied Sciences, Institute of Automotive Engineering, NVH Laboratory, Germany

Vasily Say, DSc, professor, The Ural State University of Railway Transport, Ekaterinburg, Russia

EDITORIAL BOARD

Akkerman Gennadiy Lvovich, DSc, Professor, Ural State University of Railway Transport, Yekaterinburg

Ashpiz Evgeniy Samuilovich, DSc, Professor, Russian University of Transport, Moscow

Bulaev Vladimir Grigorievich, DSc, Professor, Ural State University of Railway Transport, Yekaterinburg

Vorobjev Alexander Alexeevich, DSc, professor, Moscow State University of Railway Transport, Moscow

Voskresenskaya Tamara Petrovna, DSc, professor, Siberian State Industrial University, Novokuznetsk

Kornilov Sergey Nikolaevich, DSc, professor, Magnitogorsk State Technical University, Magnitogorsk

Kuznetsov Konstantin Borisovich, DSc, professor, The Ural State University of Railway Transport, Ekaterinburg

Kurganov Valeriy Maximovich, DSc, Professor, Tver State University, Tver city

Lapshin Vasily Fedorovich, DSc, Professor, Ural State University of Railway Transport, Yekaterinburg

Sapozhnikov Valery Vladimirovich, DSc, professor, Petersburg State University of Railway Transport, Saint-Petersburg

Sizyi Sergey Viktorovich, D. Sc. in engineering, professor, Ural Federal University, Ekaterinburg

Timofeeva Galina Adolfovna, DSc, professor, The Ural State University of Railway Transport, Ekaterinburg

Shchurin Konstantin Vladimirovich, DSc, professor, Orenburg State University, Orenburg

Содержание

Математические модели технологических процессов

- 4 С. В. Танкеев, В. Б. Сverdlov, А. Е. Колодин, А. В. Назаров, М. А. Конев. Исследование причин возникновения повреждений грузовых вагонов при роспуске на немеханизированных сортировочных горках и разработка мероприятий по их предупреждению

Механика машин и роботов

- 14 Е. Е. Рихтер. Совершенствование конструкции подкладки контррельса стрелочного перевода
- 21 Р. М. Куртиков, Е. А. Сидорова. Моделирование влияния подуклонки рельсов на интенсивность изнашивания

Управление в технических системах

- 30 С. В. Бушуев, Б. В. Рожкин, Н. С. Голочалов. Анализ загрузки путевого развития станции (по данным архивов систем централизаций стрелок и сигналов)

Организация и логистика

- 45 Г. А. Галкин, В. В. Зубков, Н. Ф. Сирина. Межотраслевая информационно-интеллектуальная модель интеграции информационных потоков субъектов межрегионального уровня
- 57 А. А. Комяков, Е. Ю. Легчилина, Ж. В. Ткаченко, А. М. Чулембаев. Подходы к оценке влияния трансформации профессиональных компетенций персонала на энергетическую эффективность предприятий железнодорожного транспорта
- 67 П. И. Тарасов, М. Л. Хазин, О. В. Голубев. Эволюция карьерного автотранспорта
- 75 Е. Н. Светлакова, А. В. Светлакова. Совершенствование организации работы локомотивных бригад (на примере участка Петровский Завод – Карымская Забайкальской железной дороги)

Безопасность жизнедеятельности

- 85 О. В. Майборода, Б. А. Сарымсаков. К вопросу о совершенствовании системы показателей безопасности дорожного движения при анализе качества автотранспортных перевозок

Аспирантская тетрадь

- 99 Т. В. Волчек. Влияние плавного и ступенчатого регулирования ослабления возбуждения тяговых электродвигателей электровозов на скорость движения электроподвижного состава
- В. С. Томилов. Моделирование работы электровоза переменного тока в режиме рекуперативного торможения
- 115 Н. В. Калганова. Построение математической модели профессорско-преподавательского состава вуза

Contents

Mathematic models of technological processes

- 4 S. V. Tankeev, A. E. Kolodin, V. B. Sverdlov, A. V. Nazarov, M. A. Konev. Investigation of the causes of damage to freight cars during disbanding on non-mechanized sorting slides and development of measures to prevent them

Mechanics of machines and robots

- 14 E. E. Richter. Improvement of the switch counter-rail lining design
- 21 R. M. Kurtikov, E. A. Sidorova. Modeling the effect of rail sub-slope on the wear

Control in engineering systems

- 30 S. V. Bushuev, B. V. Rozhkin, A. A. Bludov, N. S. Golochalov. Analysis of the station's track development load (according to the archives of railway switches and signal centralized systems)

Organization and logistics

- 45 G. A. Galkin, V. V. Zubkov, N. F. Sirina. Intersectoral information and intellectual model of integration of information flows of interregional level subjects
- 57 A. A. Komyakov, E. Yu. Legchilina, Zh. V. Tkachenko, A. M. Chulembayev. Approaches to assessing the impact of transformation of professional competencies of the staff on the energy efficiency of railway transport enterprises
- 67 P. I. Tarasov, M. L. Khazin, O. V. Golubev. The evolution of quarry vehicles
- 75 E. N. Svetlakova, A. V. Svetlakova. Improvement of organization of work of locomotive crews (using the example of the Petrovsky Plant – Karymenskaya section of the Trans-Baikal Railway)

Health and safety

- 85 O. V. Mayboroda, B. A. Sarymsakov. Improving the system of road safety indicators in the analysis of the quality of motor vehicle transportation

Research of young scientists

- 99 T. V. Volчек. Influence of smooth and step-by-step regulation of excitation attenuation of traction electric motors of electric locomotives on the speed of movement of electric rolling stock
- В. С. Томилов. Simulation of an electric locomotive operation in the regenerative braking mode
- 115 N. V. Kalganova. Mathematical modeling of management of the strategic development of the staff potential of branch universities

Математические модели технологических процессов

УДК 656.212.5

С. В. Танкеев, А. Е. Колодин, В. Б. Свердлов, А. В. Назаров, М. А. Конев

Исследование причин возникновения повреждений грузовых вагонов при роспуске на немеханизированных сортировочных горках и разработка мероприятий по их предупреждению

UDC 656.212.5

S. V. Tankeev, A. E. Kolodin, V. B. Sverdlov, A. V. Nazarov, M. A. Konev

Investigation of the causes of damage to freight cars during disbanding on non-mechanized sorting slides and development of measures to prevent them

Аннотация

Произведена оценка повреждений грузовых вагонов при маневровых и погрузочно-разгрузочных работах.

Отмечена необходимость пересмотра нормативных документов, регулирующих взаимоотношения между субъектами подвижного

состава, владельцами путей необщего пользования и перевозчиком. Рассмотрены причины образования повреждений на колесных

Статья рекомендована к опубликованию в докт. сб. «Вестник Уральского государственного университета путей сообщения» Н. Ф. Сириной. E-mail: nsirina@usurt.ru.

Сергей Владимирович Танкеев, первый зам. начальника службы технической политики Свердловской железной дороги – филиала ОАО «РЖД»; Екатеринбург, Россия. E-mail: nto_3@svrw.ru. ORCID 0000-0001-6874-9139.

Александр Евгеньевич Колодин, главный инженер службы вагонного хозяйства Свердловской дирекции инфраструктуры; Екатеринбург, Россия. E-mail: akolodin@mail.ru. ORCID 0000-0001-9985-5858.

Вадим Борисович Свердлов, канд. техн. наук, инспектор по сохранности вагонного парка службы вагонного хозяйства Свердловской дирекции инфраструктуры; Екатеринбург, Россия. E-mail: Sverdlovv@mail.ru. ORCID 0000-0002-3943-3976.

Алексей Владимирович Назаров, директор ООО «Интел Росс»; Екатеринбург, Россия. E-mail: fakel343@mail.ru. ORCID 0000-0003-2711-1520.

Максим Андреевич Конев, химик-технолог ООО «Интел Росс»; Екатеринбург, Россия. E-mail: maks.konev.2012@mail.ru. ORCID 0000-0002-1478-5692.

The article is recommended for publishing by N. F. Sirina, Doctor of Technical Science, Professor of the Ural State University of Railway Transport. E-mail: nsirina@usurt.ru.

Sergey Vladimirovich Tankov, first deputy head of the Technical Policy Service of the Sverdlovsk Railway-Regional branch of Russian Railways; Yekaterinburg, Russia. E-mail: nto_3@svrw.ru. ORCID 0000-0001-6874-9139.

Alexander E. Kolodin, Chief Engineer of the railcar service of the Sverdlovsk Infrastructure directorate; Yekaterinburg, Russia. E-mail: akolodin@mail.ru. ORCID 0000-0001-9985-5858.

Vadim Borisovich Sverdlov, Cand. of tech. Sci., Inspector for railcar fleet security of the railcar service of the Sverdlovsk infrastructure directorate; Yekaterinburg, Russia. E-mail: Sverdlovv@mail.ru. ORCID 0000-0002-3943-3976.

Alexey Vladimirovich Nazarov, Director of the LLC «Intel Ross»; Yekaterinburg, Russia. E-mail: fakel343@mail.ru. ORCID 0000-0003-2711-1520.

Maxim Andreevich Konev, Chemist-technologist of the LLC «Intel Ross»; Yekaterinburg, Russia. E-mail: maks.konev.2012@mail.ru. ORCID 0000-0002-1478-5692.

парах грузовых вагонов при роспуске на сортировочных горках малой мощности. Определены условия обеспечения торможения отцепов на немеханизированных сортировочных горках без повреждения колес. Выполнен анализ методов обеспечения торможения на горках малой мощности. Выбран способ обеспечения проворота колесной пары путем ввода третьего тела между трущимися поверхностями при торможении вагонов, которое будет принимать на себя часть возникающего теплового потока, снижая температуру и увеличивая коэффициент трения в зоне контакта «колесо-рельс». Предложен способ обеспечить торможение на немеханизированной сортировочной горке при башмачном торможении путем нанесения фрикционного состава на нерабочий рельс. Проведены лабораторные испытания, показавшие, что внесением фрикционной добавки можно достигнуть необходимого коэффициента

трения для соблюдения нормативных параметров замедления вагона в зоне торможения.

Ключевые слова: повреждение вагона, сохранность вагонного парка, ползун, выщербина, сортировочная горка, сравнительные испытания.

DOI: 10.20291/2079-0392-2021-2-4-13

Abstract

The damage assessment of freight cars during shunting and loading and unloading operations was made. The need to review the normative documents regulating the relationship between the owners of rolling stock, owners of non-public tracks and the carrier is noted. The reasons for formation of damage on the wheel pairs of freight cars when disbanding on low-power sorting slides are considered. The conditions for ensuring the deceleration of detachments on non-mechanized sorting slides without damaging the wheels are

determined. The analysis of methods for ensuring braking on low-power slides is carried out. A method was chosen to ensure the wheel set rotation by introducing a third body between the rubbing surfaces during the braking of cars, which will take over a part of the resulting heat flow, reducing the temperature and increasing the coefficient of friction in the «wheel-rail» contact zone. A method is proposed to provide braking on the non-mechanized sorting slide during shoe braking by applying a friction compound to a non-working rail. Laboratory tests were carried out, which showed that the introduction of a friction additive can achieve the necessary coefficient of friction to comply with the standard parameters of deceleration of the car in the braking zone.

Keywords: damage to the car, safety of the car fleet, slider, chink, sorting slide, comparative tests.

DOI: 10.20291/2079-0392-2021-2-4-13

Повреждаемость грузовых вагонов практически неизменна с 2013-го г.: в 2006 г. на железных дорогах страны повреждены 34 466 вагонов, в 2010 – 57 806, в 2013-м зафиксировано уже 118 380 фактов повреждений; этот уровень сохраняется до настоящего времени (таблица 1, рис. 1). Главная причина такого состояния дел – нарушение правил грузовой работы с вагонами на путях клиентов при игнорировании требований ГОСТ 22235–2010; в 2020 г. отмечено 85 950 повреждений.

Причины повреждений подвижного состава: применение неисправных механизмов и техники предприятиями-владельцами путей необщего пользования, нарушение технических условий размещения и крепления грузов, правил производства грузовых операций

при размещении грузов в вагонах, несоответствие скорости соударения вагонов при их роспуске с сортировочных горок требованиям действующих нормативных документов, неудовлетворительное содержание подъездных путей клиентов, нарушение требований к содержанию вагонных замедлителей и средств ручного торможения вагонов на сортировочных горках, повреждение вагонов из-за хищений деталей и узлов по корыстным мотивам [1].

В последнее десятилетие появились инновационные вагоны повышенной грузоподъемности, позволяющие перевозить грузы со значительными скоростями, и совершенно новые средства погрузки-выгрузки. Сортировочные горки оборудуются средствами автоматизации торможения, стало возможным

Таблица 1

Показатель	Показатель, значение (год)													2016 к 2006, %	2020 к 2010, %
	2002	2006	2010	2011	2012	2013	2014	2015	2016	2017	2018	2019	2020		
Всего повреждено вагонов	14332	34466	57806	76594	95309	118380	124201	123157	126715	117382	99976	95970	85950	267,6	48,7
Повреждено в портах	11618	29334	41806	55064	83126	100700	109103	107813	111556	101504	85366	81173	72461	280,3	73,3
Доля от общего числа поврежденных, %	81,1	85,1	72,3	71,9	87,2	85,1	87,8	87,5	88,0	86,5	85,4	84,6	84,3		

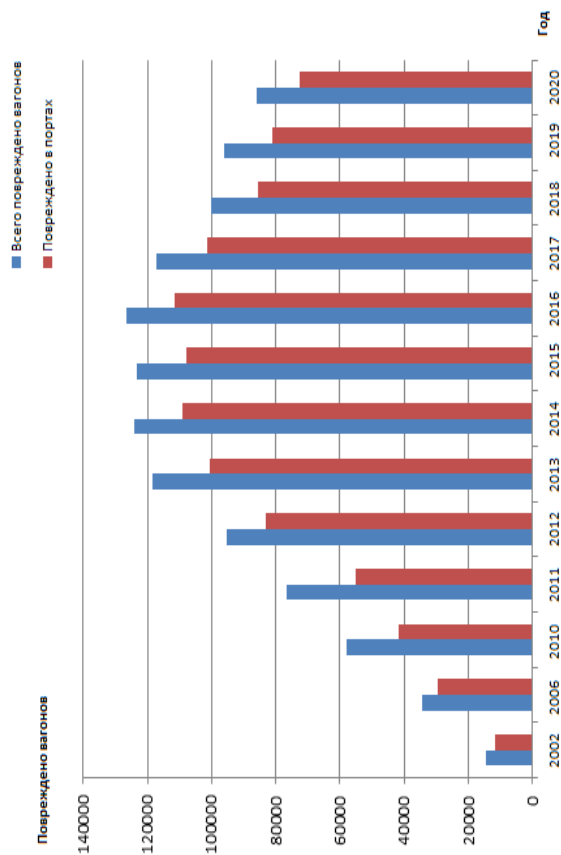


Рис. 1. Повреждение грузовых вагонов

применение современных аппаратов контроля и автоматизации процедуры разогрева грузов в гаражах-разморозителях и тепляках. Все это требует коренного пересмотра руководящих документов по обеспечению сохранности парка вагонов.

Требуется уточнить нормативную и законодательную правовую базы, структурирование и упорядочивание взаимоотношений между собственником вагонов, владельцем инфраструктуры и клиентом-владельцем путей необщего пользования. Все требования к обеспечению сохранности вагонного парка сформулированы в [2]. Но ГОСТ 22235–2010 – международный стандарт(!) – носит необязательный и рекомендательный характер.

Именно на это несоответствие, выступающее главным фактором, отрицательно влияющим на неудовлетворительное положение дел в вопросе сохранности вагонного парка, указано в [3]. Отмечается, что на текущий момент на рынке железнодорожных перевозок сложилась система противоречий между требованиями к изготовлению новых вагонов, эксплуатации железнодорожного подвижного состава, регулируемые техническим регламентом [4] и ПТЭ [5], а вот требования по обеспечению сохранности остаются добровольными.

В 2019 г. текущим ремонтом на дорогах страны отремонтировано 1324574 вагона, что выше уровня 2018 г. на 0,3 %. Пробег в грузёном состоянии в тот же период вырос на 0,8 %, или 400 млн вагоно-километров, то есть эффективность использования парка грузовых вагонов за рассматриваемый период возросла. В общей структуре отказов 38 % отцепок по колёсным парам, неисправности кузовов – 32 %, неисправности тележек – 17 % (рис. 2). В 2020 г. рост отказов по неисправностям колесных пар продолжился и в абсолютном выражении составил 542 781 ед. против 507 850 в 2019 г. Возросло и количество отцепок грузовых вагонов в целом по сети (в 2020 г. – 1 369 007).

Среди неисправностей колесных пар лидируют отцепки по тонкому гребню (58 %), на второй позиции – отцепки из-за образования выщербин по кругу катания колеса (32 %).

Причины образования выщербин на колесных парах: неисправность тормозной системы поезда, нарушение правил регулировки рычажной передачи, неправильное управление тормозами, роспуск вагонов на немеханизированных сортировочных горках со скоростями, превышающими требования ГОСТ 22235–2010.

На дорогах Российской Федерации насчитывается около 180 сортировочных горок, в том числе более 20 горок полностью автоматизированных, около 50 горок полностью механизированных и 40 частично механизированных, на которых используются вагонные замедлители различных конструкций [6].

На горках малой мощности, которых насчитывается до 70 единиц, для торможения используются горочные тормозные башмаки, которые регулировщики скорости движения вагонов укладывают под движущиеся отцепы при помощи специальных вилок. На Свердловской дороге действуют три немеханизированные сортировочные горки и еще семь горок, где есть ручные тормозные позиции. Из средств механизации на некоторых горках малой мощности применяются механические башмаконакладыватели Н. И. Пачеса [6]. Горочные тормозные

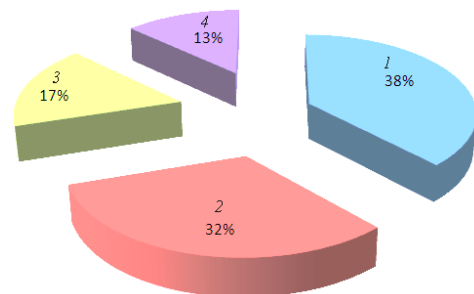


Рис. 2. Отцепки вагонов в текущий ремонт

- 1 – неисправности колесных пар;
- 2 – неисправности кузовов;
- 3 – неисправности тележек;
- 4 – прочие неисправности

башмаки имеют ограниченный срок службы, а также такой опасный эффект, как «приваривание» полоза к рельсу в процессе торможения. Главный недостаток использования башмачного торможения – образование ползунов (термических повреждений в результате выделения тепла при трении колеса о рельс).

На ползунах в результате нагрева и последующего механического воздействия образуются микротрещины, при дальнейшей эксплуатации приводящие к выкрашиванию металла и образованию выщербины, которые, в свою очередь, приводят к образованию усталостных трещин в диске или в ободе, что может привести к излому колеса с последующим сходом вагона. Именно такой случай произошел на перегоне Зуевка – Ардаши (13.02.2019) из-за образования выщербины на колесе с тонким диском, которая не была выявлена при техническом обслуживании поезда на ПТО ст. Седельниково (СвЖД) (рис. 3).

Велики и финансовые потери ОАО «РЖД» от необходимости возмещения затрат собственникам вагонов на ремонт колесных пар, вызванных повреждениями от ползунов и выщербины. За десять месяцев 2020 года к ОАО «РЖД» по случаям образования таких повреждений колес, как ползуны и выщербины, собственники вагонов предъявили иски на 630 млн руб., большую часть которых суд удовлетворил [8]. Создается необходимость разработки комплекса мер по снижению повреждаемости вагонов при роспуске их с сортировочных горок, включающего в себя корректировку нормативных параметров, методы повышения эффективности средств торможения и практические рекомендации по совершенствованию технологии роспуска вагонов с горки.

Меры по предотвращению образования односторонних ползунов делятся на организационные и технические [9].

Организационные: обеспечение скорости входа вагонов на башмак не выше

а)



б)



Рис. 3. Дефекты на поверхности колеса
а – ползун при торможении вагона башмаком;
б – выщербина на месте ранее образованного ползуна

требований п. 5.7.3. ГОСТ 22235–2010, соответствие параметров существующих сортировочных горок расчетам, разделение вагонов в одном отцепе на несколько отцепов из двух-трех полногрузных вагонов, предотвращение загрузки подвижных единиц выше нормативов, уменьшение длины юза разделением тормозных позиций на два участка и смещение их ближе к горбу горки, обеспечение проворачивания затормаживаемой колесной пары путем использования специальных материалов.

К техническим мерам можно отнести применение специальных устройств, обеспечивающих проворот колеса при движении на башмаке и уменьшение трения на неподмашмаченном колесе.

Существенный фактор для обеспечения роспуска вагонов без повреждений – правильный учет внешних воздействий, связанных с климатическими условиями [10–12].

Самые известные технические средства – устройство принудительного проворота колес вагонов и горочный тормозной башмак, имеющий специальные вставки [13]. Работа устройства принудительного проворота колес заключается в следующем.

Колесо поднимается над механическим модулем при взаимодействии гребня колеса подбашмаченной колесной пары, проворачивается и снова опускается на башмак. Поскольку оба колеса находятся в жесткой связи посредством колесной пары, второе колесо, находящееся на нерабочем рельсе тормозной позиции, тоже проворачивается. При этом контактное пятно растягивается по кругу катания [14].

Переход от трения скольжения к трению качения в паре «колесо-рельс» обеспечивается за счет подъема подбашмаченного колеса на рабочем модуле над тормозным башмаком с последующим проворачиванием всей пары на заданный угол. В результате проворачивания меняется участок контакта неподбашмаченного колеса с рельсом до наступления образования ползуна.

Применение принудительного проворота колес связано с необходимостью обеспечить постоянный контроль за работоспособностью самого устройства, материальными и временными затратами на техническое обслуживание, ремонт, снабжение запасными частями, привлечение и обучение высококвалифицированного обслуживающего персонала.

Метод по исключению повреждения поверхности катания колеса предлагает использовать ООО «Интелл Росс». Для снижения температуры в зоне контакта «колесо-рельс» часть образовавшегося тепла нужно отвести в третье тело – фрикционную смазку.

Кинетическая энергия движения превращается в работу трения, то есть в тепловую энергию, которая отводится, с одной стороны, в головку рельса, с другой, в бандаж или обод колеса.

Общая интенсивность теплового потока q_0 (Вт/м²), возникающего во фрикционном контакте при трении скольжения колеса по рельсу при движении юзом, определяется как [15]

$$q_0 = \frac{\varphi_k P_k v_{cp}}{A_{a1}},$$

где φ_k – коэффициент трения скольжения; P_k – нагрузка колеса на рельс, Н; v_{cp} – средняя скорость движения отцепа юзом, м/с; A_{a1} – номинальная площадь контакта фрикционного элемента и контртела, м².

Нами проведен ряд экспериментов по сравнению различных смазок при трении в зоне контакта «сталь-сталь», использовались широко распространенные смазочные материалы (Castrol 5W, И20 различной вязкости со смазочными материалами производства ООО «Интелл Росс» – КС-1, КС-2, а также экспериментальная фрикционная добавка для смазки).

На рис. 4 представлено изменение момента трения при повышении нагрузки и внесении в зону контакта «сталь-сталь» различных образцов смазки. Из графика видно, что при внесении в зону контакта «сталь-сталь» образца

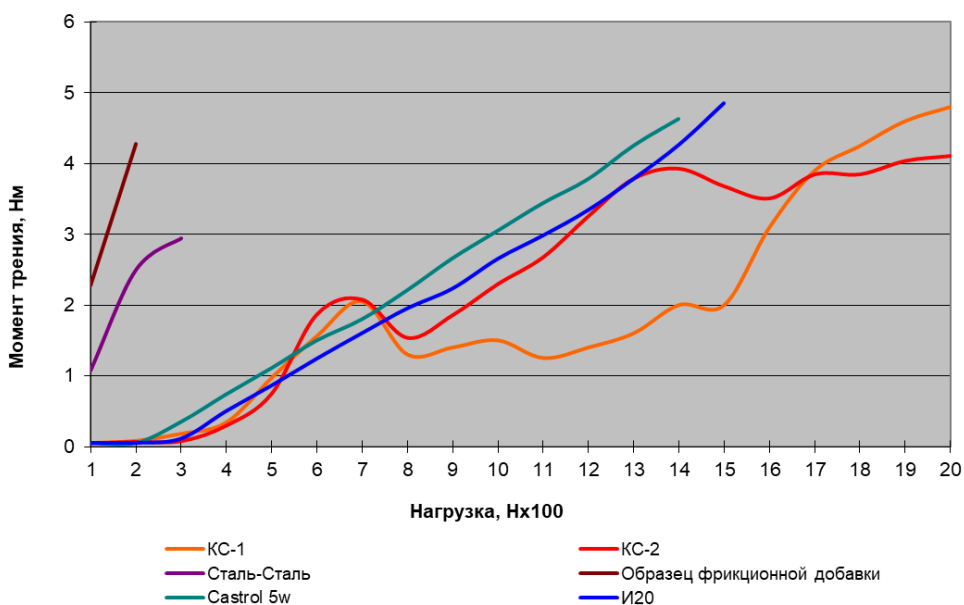


Рис. 4. График изменения момента трения при повышении нагрузки и внесении в зону контакта «сталь-сталь» различных образцов смазки

Таблица 2

Средний момент и коэффициент трения контакта «сталь-сталь» при внесении различных смазочных материалов

Нагрузка, Н	КС-1		КС-2		«Сталь-сталь»		Образец фрикционной смазки		Castrol 5W		И20	
	μ	φ_k	μ	φ_k	μ	φ_k	μ	φ_k	μ	φ_k	μ	φ_k
100	0,05	0,02	0,05	0,02	1,07	0,36	2,28	0,76	0,05	0,02	0,05	0,02
200	0,08	0,01	0,07	0,01	2,5	0,42	4,28	0,71	0,05	0,01	0,05	0,01
300	0,18	0,02	0,08	0,01	2,95	0,33			0,35	0,04	0,11	0,01
400	0,34	0,03	0,3	0,03					0,74	0,06	0,5	0,04
500	0,97	0,06	0,75	0,05					1,11	0,07	0,86	0,06
600	1,56	0,09	1,87	0,10					1,5	0,08	1,24	0,07
700	2,05	0,10	2,08	0,10					1,8	0,09	1,6	0,08
800	1,3	0,05	1,54	0,06					2,21	0,09	1,95	0,08
900	1,4	0,05	1,86	0,07					2,66	0,10	2,23	0,08
1000	1,5	0,05	2,3	0,08					3,05	0,10	2,65	0,09
1100	1,25	0,04	2,68	0,08					3,44	0,10	2,98	0,09
1200	1,4	0,04	3,26	0,09					3,78	0,11	3,34	0,09
1300	1,6	0,04	3,79	0,10					4,25	0,11	3,78	0,10
1400	2	0,05	3,93	0,09					4,63	0,11	4,26	0,10
1500	2	0,04	3,68	0,08							4,85	0,11
1600	3,1	0,06	3,51	0,07								
1700	3,9	0,08	3,85	0,08								
1800	4,25	0,08	3,85	0,07								
1900	4,6	0,08	4,04	0,07								
2000	4,8	0,08	4,11	0,07								

* μ – момент трения, Нм; φ_k – коэффициент трения.

фрикционной добавки ООО «Интелл Росс» (коричневая линия) задиры появились раньше, чем при испытании без добавления смазки (фиолетовая линия). Таким образом, образец добавки обеспечил коэффициент трения 0,71 при нагрузке 200 Н, превышающий коэффициент трения «сталь-сталь» 0,42 при нагрузке 200 Н (таблица 2).

Результаты эксперимента дают основания сделать вывод, что внесением фрикционной добавки можно достигнуть необходимого коэффициента трения для соблюдения нормативных параметров замедления вагона в зоне торможения.

Экспериментальные данные на трение и износ получены на машине трения ИИ-5080. Сравнительные испытания смазочных материалов проведены по схеме «диск-колодка».

При проведении испытаний использовался следующий алгоритм.

Смазка предварительно подавалась на вращающийся диск без нагрузки в течение ста оборотов диска. Затем трущиеся образцы нагружались, начиная с 100 Н каждые сто оборотов диска нагрузка увеличивалась на 100 Н. Испытание прекращалось при появлении задиры.

Полученные результаты позволяют создать смазку с коэффициентом трения, при котором без увеличения тормозного пути тепло будет отводиться в третье тело – смазку и обеспечивать проворот колесной пары, равномерно распределяя тепло по колесу, исключая локальный перегрев.

Предлагаемая технология позволит в условиях переходного периода от немеханизированной горки к горке, оснащенной средствами торможения отцепов, обеспечить существенное снижение повреждений вагонов. ■

Литература

1. Корсаков К. В. Предупреждение преступных деяний корыстной направленности на железнодорожном транспорте в Российской Федерации // Вестник УрГУПС. 2011. № 4. С. 50–55. ISSN 2079-0392.
2. ГОСТ 22235–2010. Вагоны грузовые магистральных железных дорог колеи 1520 мм. Общие требования по обеспечению сохранности при производстве погрузочно-разгрузочных и маневровых работ. М. : Стандартинформ, 2011. 19 с.
3. Гапанович В.А. Работа над отцепками // Гудок. – 2020. № – 72 (26921).
4. Технический регламент ТС. О безопасности железнодорожного подвижного состава ТР ТС 001/2011 (с изменениями на 9 декабря 2011 года). URL: <https://docs.cntd.ru/document/902293438> (дата обращения: 14.04.2021).
5. Правила технической эксплуатации железных дорог Российской Федерации. М. : Инфра-М, 2019. 536 с. ISBN 978-5-16-014748-2.
6. Савицкий А.Г. Концепция автоматизации и механизации процессов на сортировочных станциях // Автоматика, связь, информатика. 2000. № 4. С. 49–52. ISSN 0005-2329.
7. А.с. 135507 СССР. Башмаконакладыватель полуавтоматический / Н.И. Пачес (СССР). № 673036/27 ; Заявл. 07.07.60 ; Опубл. 1961. Бюл № 3.
8. Сильвестров М. А. О практике по судебным спорам с вагоновладельцами // Бюллетень правового Департамента. 2020. № 24. С. 11–15.
9. О мерах по повышению сохранности грузовых вагонов при производстве погрузочно-разгрузочных и маневровых работ и предотвращению случаев хищения их деталей : Приказ МПС РФ от 08.09. 1999 г. № 13 ЦЗ. URL: <http://umczdt74.ru/images/PDF/prikazMPS13CZ.pdf> (дата обращения: 18.03.2021).
10. Туранов Х. Т., Гордиенко А. А. Исследование движения вагона на участке первой тормозной позиции сортировочной горки при воздействии попутного ветра малой величины // Вестник УрГУПС. 2015. № 4 (28). С. 26–31. ISSN 2079-0392.
11. Туранов Х. Т., Гордиенко А. А., Плахотич И. С. Исследование движения вагона на парковой механизированной тормозной позиции сортировочной горки при воздействии попутного ветра // Вестник УрГУПС. 2016. № 2 (30). С. 29–40. ISSN 2079-0392.
12. Туранов Х. Т., Гордиенко А. А., Бугров Я. А. Результаты вычислений времени движения и скорости вагона на первом скоростном участке сортировочной горки при

- воздействии встречного ветра с учётом сопротивлений среды // Вестник УрГУПС. 2016. № 3 (31). С. 29–38. ISSN 2079-0392.
13. Берент В. Я., Николаев А. В., Старшов И. П. Снижение повреждаемости колес вагонов на сортировочных горках // Вестник ВНИИЖТ. 2009. № 2. С. 34–39. ISSN 2223-9731.
 14. Демьянов А. А., Демьянов А. А., Горелова О. С. Теория и методология проектирования противоположных систем : Монография. – Ростов-на-Дону : Изд. центр ДГТУ. – 2012. – 180 с. ISBN 978-5-7890-0969-2.
 15. Пожидаев С. А., Росликова Ю. Д. Повышение эффективности сортировочной работы при расформировании состава грузовых поездов на немеханизированных сортировочных горках // Труды БелГУТ. 2013. №6. С. 76–81. ISSN 2227-1120.

Literature

1. Korsakov K. V. Prevention of criminal acts of mercenary orientation on railway transport in the Russian Federation // Herald of USURT. [Предупреждение преступных деяний корыстной направленности на железнодорожном транспорте в Российской Федерации // Вестник УрГУПС]. 2011. № 4. Pp. 50–55. ISSN 2079-0392.
2. GOST 22235-2010. Freight cars of mainline railways of 1520 mm gauge. General requirements for ensuring safety during loading and unloading and shunting operations. Moscow: Standartinform, [GOST 22235-2010. Vagony грузовые магистральных железных дорог колеи 1520 мм. Общехи требования по обеспечению сохранности при производстве погрузочно-разгрузочных и маневровых работ. М. : Standartinform]. 2011. 19 p.
3. Gapanovich V. A. Work on cutoffs [Работа над отсепками // Гудок]. – 2020. № 72 (26921).
4. Technical regulations of the vehicle. On Safety of Railway rolling stock TR CU 001/2011 [Технический регламент ТС. О безопасности железнодорожного подвижного состава TR TS 001/2011]. (as ammended on December 9, 2011). URL: <https://docs.cntd.ru/document/902293438> (accessed: 14.04.2021).
5. Rules of technical operation of railways of the Russian Federation. [Pravila tekhnicheskoy ehkspluatatsii zheleznykh dorog Rossijskoj Federatsii]. М. : Infra-M, 2019. 536 p. ISBN 978-5-16-014748-2.
6. Savitsky A. G. The concept of automation and mechanization of processes at sorting stations // Automation, communication, information science. [Konseptsiya avtomatizatsii i mekhanizatsii protsessov na sortirovochnykh stantsiyakh // Avtomatika, svyaz', informatika]. 2000. № 4. Pp. 49–52. ISSN 0005-2329.
7. A. s. 135507 USSR. Semi-automatic padding shoe / N. I. Paches (USSR). [A.s. 135507 SSSR. Bashmakonakladnyatel' poluavtomaticheskij / N.I. Paches (SSSR)]. № 673036/27; Application 07.07.60; Publ. 1961. Bul № 3.
8. Silvestrov M. A. On practice of judicial disputes with car owners // News-bulletin of the Legal Department. [O praktike po sudebnym sporam s vagonovladel'tsami // Byulleten' pravovogo Departamenta]. 2020. № 24. Pp. 11–15.
9. On measures of improving the safety of freight cars during loading and unloading and shunting operations and to prevent cases of theft of their parts: [O merakh po povysheniyu sokhrannosti грузовых вагонов при производстве погрузочно-разгрузочных и маневровых работ i predotvrashheniyu sluchaev khishheniya ikh detalej]. Decree of the Ministry of Internal Affairs of the Russian Federation of 08.09. 1999 № 13 TSZ. URL: <http://umczdt74.ru/images/PDF/prikazMPS13CZ.pdf> (accessed: 18.03.2021).
10. Turanov Kh. T., Gordienko A. A. Investigation of movement of cars on the section of the first brake position of the sorting slide under the influence of low tailwind // Herald of USURT. [Issledovanie dvizheniya vagona na uchastke pervoj tormoznoj pozitsii sortirovochnoj gorki pri vozdeystvii poputnogo vetra maloj velichiny // Vestnik UrGUPS]. 2015. № 4 (28). Pp. 26–31. ISSN 2079-0392.
11. Turanov Kh. T., Gordienko A. A., Plakhotich I. S. Investigation of movement of cars on the mechanized brake position of the sorting slide under the influence of tailwind // Herald of USURT. [Issledovanie dvizheniya vagona na parkovoj mekhanizirovannoj tormoznoj pozitsii sortirovochnoj gorki pri vozdeystvii poputnogo vetra // Vestnik UrGUPS]. 2016. № 2 (30). Pp. 29–40. ISSN 2079-0392.
12. Turanov Kh. T., Gordienko A. A., Bugrov Ya. A. Results of calculating the movement time and speed of the car on the first high-speed section of the sorting slide under the influence of the headwind, taking into account the environment resistance // Herald of USURT.

- [Rezultaty vychislenij vremeni dvizheniya i skorosti vagona na pervom skorostnom uchastke sortirovochnoj gorki pri vozdeystvii vstrechnogo vetra s uchyotom soprotivlenij srede // Vestnik UrGUPS]. 2016. № 3 (31). Pp. 29–38. ISSN 2079-0392.
13. Berent V. Ya., Nikolaev A. V., Starshov I. P. Reduction of damage to wagon wheels on sorting slides // Herald of VNIIZhT. [Snizhenie povrezhdaemosti koles vagonov na sortirovochnykh gorkakh // Vestnik VNIIZHT]. 2009. № 2. Pp. 34–39. ISSN 2223-9731.
 14. Dem'yanov A. A., Dem'yanov A. A., Gorelova O. S. Theory and methodology of designing anti-slide systems : Monograph. – Rostov-on-the Don : DSTU Publishing Centre. [Teoriya i metodologiya proektirovaniya protivopolzunnykh sistem : Monografiya. – Rostov-na-Donu : Izdatel'skij tsentr DGTU]. 2012. 180 p. ISBN 978-5-7890-0969-2.
 15. Pozhidaev S. A., Roslikova Yu. D. Improvement of sorting work efficiency when disbanding freight trains on non-mechanized sorting slides // BelSUT Proceedings. [Povyshenie ehffektivnosti sortirovochnoj raboty pri rasformirovanii sostava gruzovykh poezdov na nemekhanizirovannykh sortirovochnykh gorkakh // Trudy BelGUT]. 2013. № 6. Pp. 76–81. ISSN 2227-1120.

Статья сдана в редакцию 13 апреля 2021 года

Механика машин и роботов

УДК 539.43.000

E. E. Richter

Совершенствование конструкции подкладки контррельса стрелочного перевода

UDC 539.43.000

E. E. Richter

Improvement of the switch counter-rail lining design

Аннотация

Исследуется элемент верхнего строения железнодорожного пути – контррельсовая подкладка стрелочного перевода.

Рассмотрен вариант серийной конструкции подкладки контррельса ПКЖДЛ-65-4. Выполнен анализ интенсивности отказов подкладок контррельсов, приведены результаты наблюдений за состоянием подкладок в различных регионах. Локализована зона разрушения и определен его характер как многоцикловое усталостное разрушение.

Представлена информация о проведенном комплексе экспериментальных исследований для изучения напряженно-деформированного состояния в опасной зоне подкладки.

Для проведения расчетных исследований разработаны расчетные схемы подкладки контррельса. Выполнены расчетные исследования влияния различных факторов на уровень напряжений, действующих в опасной зоне конструкции. Изучено влияние типа расчетной схемы, жесткости резиновой амортизационной подкладки и свойств материала шпалы. Предложены варианты конструкций подкладки контррельса, предназначенные для снижения уровня напряжений, действующих в опасной зоне.

Выполнены расчетные исследования, целью которых является оптимизация предложенных вариантов подкладки для уменьшения расхода материала.

Представлены результаты испытаний новых конструкций подкладок на стрелочных переводах Южно-Уральской железной дороги.

Ключевые слова: подкладка контррельса, разрушение, расчетная схема, напряженно-деформированное состояние, оптимизация конструкции.

DOI: 10.20291/2079-0392-2021-2-14-20

Abstract

The element of the upper structure of the railway track – the switch counter-rail lining is studied.

A variant of the serial design of the PKZhDL-65-4 counter-rail lining is considered. The analysis of the failure rate of counter-rail linings is carried out, and the results of observations of the condition of the linings in different regions are presented. The destruction zone is localized and its character as a multi-cycle fatigue destruction is determined.

The information about the conducted complex of experimental studies for investigation of the stress-strain state in the dangerous zone of the lining is presented.

To carry out the design studies, the design schemes of the counter-rail lining were developed. Calculated studies of the influence of various factors on the level of stresses acting in the hazardous area of the structure are performed. The influence of the type of the design scheme, the stiffness of the rubber shock-absorbing lining and the properties of the sleeper material is studied. Variants of counter-rail lining designs for reducing the level of stresses acting in the dangerous zone are proposed.

Computational studies were conducted to optimize the proposed lining options in order to reduce material consumption.

The results of testing of new lining structures on the switches of the South Ural Railway are presented.

Keywords: counter-rail lining, destruction, design scheme, stress-strain state, design optimization.

DOI: 10.20291/2079-0392-2021-2-14-20

Статья рекомендована к опубликованию Всероссийской научно-практической конференцией «Инновации в строительстве инфраструктуры железных дорог». Секция 1 «Инновации в путевом хозяйстве». Модератор секции В. М. Сай, д-р техн. наук, профессор Уральского государственного университета путей. E-mail: vsay@usurt.ru.

Евгений Евгеньевич Рихтер, канд. техн. наук, доцент; кафедра «Общепрофессиональные дисциплины» ЧИПС, филиал Уральского государственного университета путей сообщения; г. Челябинск, Россия. E-mail: ree.55@yandex.ru. ORCID 0000-0003-4889-0674.

The article is recommended for publishing by the All-Russian Scientific and Practical Conference "Innovations in construction of Railway infrastructure". Section 1 «Innovations in track facilities». Moderator of the message section V. M. Say, Doctor of Technical Science, Professor of the Ural State University of Railway Transport. E-mail: vsay@usurt.ru.

Evgeny E. Richter, Candidate of Technical Science, Associate Professor; Chair of General Professional Disciplines CHIPS, branch of the Ural State University of Railway Transport; Chelyabinsk, Russia. E-mail: ree.55@yandex.ru. ORCID 0000-0003-4889-0674.

Увеличение ресурса деталей верхнего строения железнодорожного пути позволяет снизить затраты на приобретение запасных частей, сократить продолжительность технологических окон, обеспечить безопасность движения железнодорожного транспорта. Один из элементов стрелочного перевода – подкладка контррельса, в которой из-за значительных динамических воздействий появляются трещины и происходит усталостное разрушение (рис. 1).

На стрелочных переводах Южно-Уральской железной дороги при эксплуатации наблюдается массовый выход из строя этого элемента (таблица). Анализ данных, приведенных в табли-

це, позволяет сделать вывод о массовом характере разрушения данного элемента верхнего строения пути.

Разрушение носит ярко выраженную усталостную природу: происходит зарождение и развитие дефектов практически в одной и той же зоне конструкции (рис. 2).

ЧИПС с 2014 г. проводит комплекс расчетно-экспериментальных исследований (лабораторных и натуральных) нагруженности подкладки контррельса [1–4]. Это позволило разработать рекомендации для создания дискретной модели подкладки контррельса [2–4].

На первом этапе расчетов исследований отработывалась методика



Рис. 1. Подкладка контррельса ПКЖДЛ 65-4

Данные по результатам контроля за состоянием подкладок контррельса стрелочных переводов

Место проведения контроля	Периодичность наблюдений	Причина замены	Количество, шт.
Челябинская дистанция пути	1.10.2014–1.10.2015	Разрушение подкладки	Стрелочный перевод №634 – 18 Стрелочный перевод №636 – 15 Стрелочный перевод №216 – 22
Барабинская дистанция пути	За 1 год	Разрушение подкладки	Общее по всем переводам – 540
Вологодская дистанция пути	За 1 год	Разрушение подкладки	Замена каждые 1,5–2 мес.



Рис. 2. Характерный вид разрушения подкладок контррельса

расчета, обосновывался выбор типа и размеры конечных элементов, изучалось влияние толщины подкладки, расположения ребер на уровень напряжений, действующих в опасной зоне подкладки. Показано, что наиболее эффективным способом повышения прочности подкладки оказывается увеличение ее толщины. Однако эффект от этого мероприятия появляется только при увеличении толщины до 30–40 мм, а это значит, что необходимо существенно изменить исходную конструкцию подкладки и значительно повысить ее вес [1].

Анализ условий работы подкладки позволил установить, что максимальные напряжения возникают в зоне концентрации напряжений в районе ребер [2–4]. Для изучения влияния различных факторов на НДС подкладки разработаны дискретные модели, учитывающие ее конструктивные особенности.

Первый вариант расчетной схемы – модель, которая включает такие элементы, как сама подкладка, резиновая амортизационная подкладка, шпала, элемент основного рельса и контррельса (рис. 3).

Второй – модель, имитирующая отрезок железнодорожного пути, в состав которого входят шпалы и подкладки контррельса, соединенные основным рельсом и контррельсом (рис. 4).

Расчетные исследования выполнены на обоих типах расчетных схем, при этом исследовалось влияние таких факторов, как координаты точки приложения

внешней нагрузки, жесткость резиновой амортизационной подкладки, материал шпалы (дерево или бетон), условия закрепления шпалы, конструктивные изменения подкладки контррельса.

Основные результаты расчетных исследований, выполненных с использованием программы ANSYS WorkBench, приведены на рис. 5–8.

Сравнение результатов расчетов двух вариантов моделей – с одиночной подкладкой и цепочки из трех элементов – показывает, что при приложении одинаковой по величине внешней нагрузки напряжение в модели с одиночной подкладкой в зоне концентратора напряжений на 35 % выше, чем в модели, состоящей из трех элементов. Следует отметить и более равномерное распределение напряжений в модели с тремя элементами.

Сравнение результатов, представленных на рис. 6, показывает, что снижение жесткости амортизационной подкладки приводит к существенному снижению уровня напряжений в зоне концентрации. Так, изменение жесткости в три раза приводит к уменьшению уровня напряжений 2,25 раза.

Исследовано влияние материала шпалы (дерево, бетон) на характер распределения напряжений в опасной зоне конструкции. Результаты расчетов показывают, что изменение жесткости шпалы в достаточно широком диапазоне (модуль упругости древесины – 700 МПа, бетона – 36000 МПа)

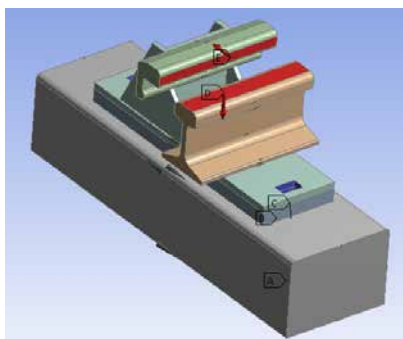


Рис. 3. Вариант расчетной схемы с одной подкладкой контррельса

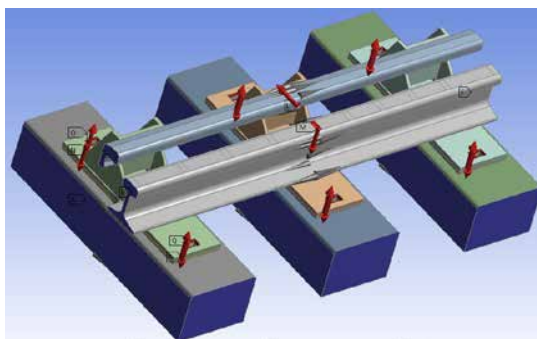


Рис. 4. Вариант расчетной схемы с тремя подкладками контррельса

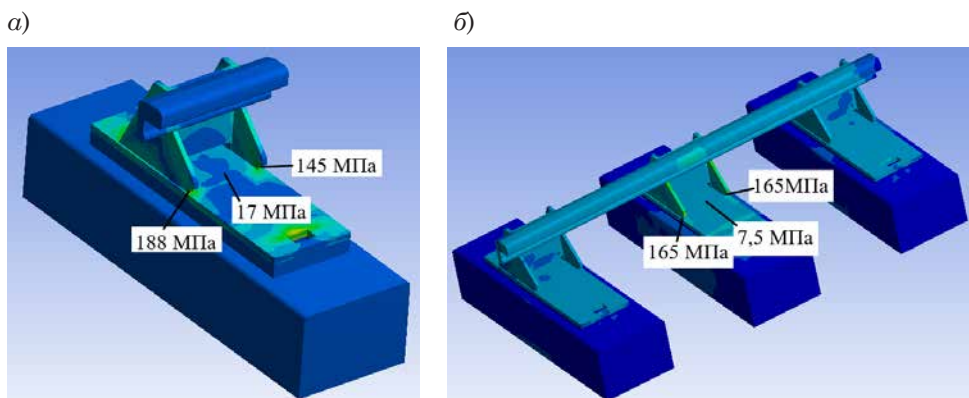


Рис. 5. Сравнение результатов расчетов по двум вариантам расчетных схем
 а – с одиночной подкладкой; б – с тремя подкладками

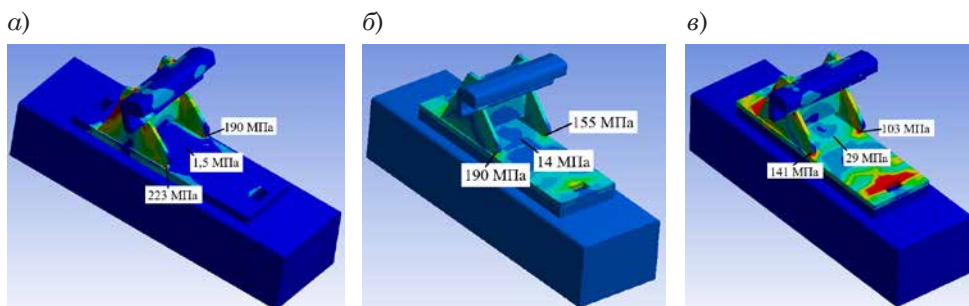


Рис. 6. Влияние жесткости амортизационной подкладки на распределение напряжений
 в опасной зоне
 а – модуль упругости резины 30 МПа; б – модуль упругости резины 20 МПа;
 в – модуль упругости резины 10 МПа

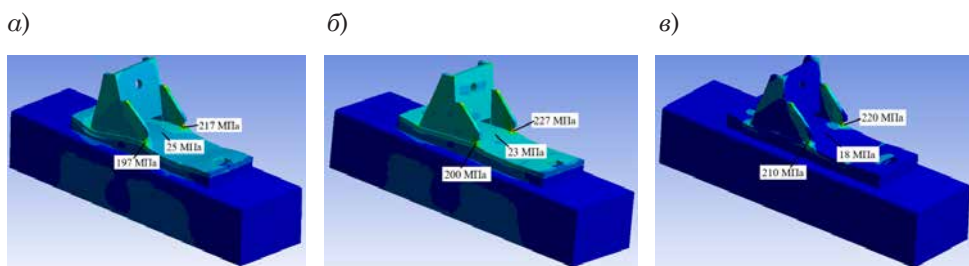


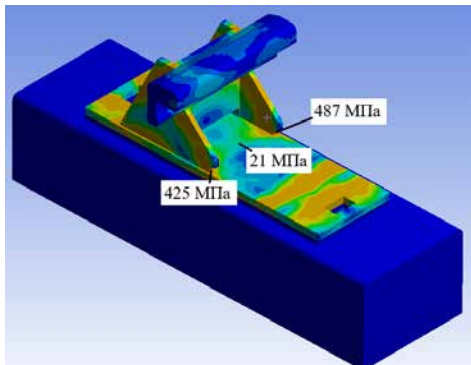
Рис. 7. Влияние жесткости шпалы на распределение напряжений в опасных точках
 а – дерево, модуль упругости 700 МПа; б – бетон В15, модуль упругости 24000 МПа;
 в – бетон В40, модуль упругости 36000 МПа

незначительно влияет на уровень напряжений, действующих в зоне концентратора.

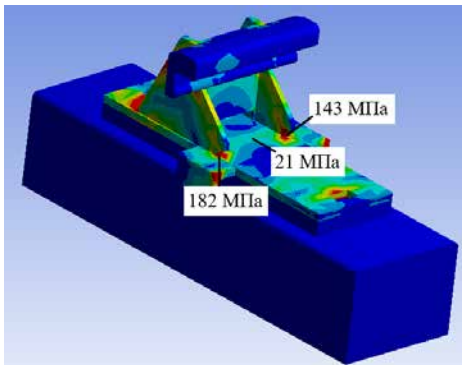
Для разработки оптимальной конструкции подкладки контррельса

исследовано влияние длины боковых ребер на уровень напряжений, действующих в опасных зонах конструкции. Первый вариант конструкции подкладки контррельса [5] отличался от

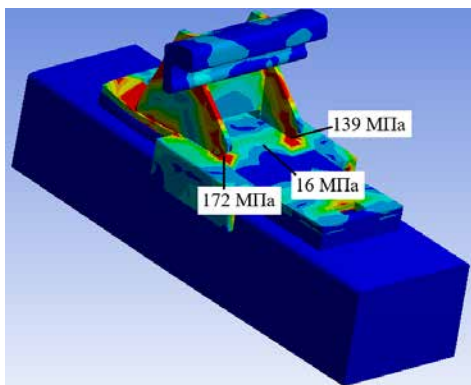
а)



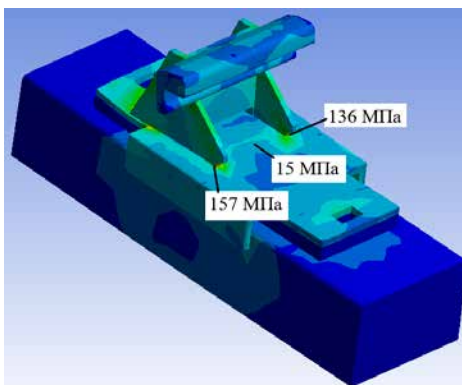
б)



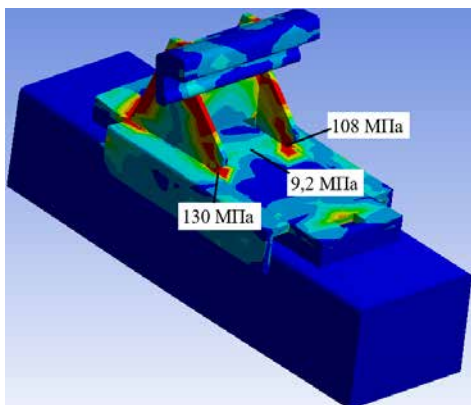
в)



г)



д)



е)

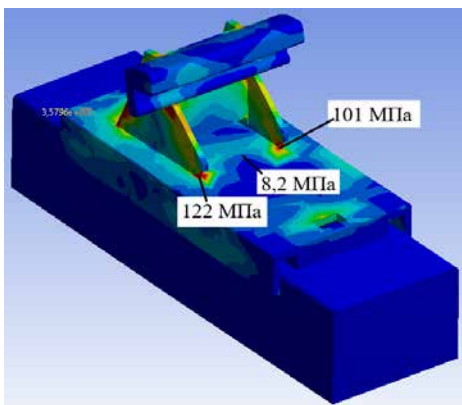


Рис. 8. Влияние длины боковых ребер на изменение напряженно-деформированного состояния в зоне концентратора

а – вариант конструкции без боковых ребер; б – боковые ребра длиной 100 мм; в – длиной 200 мм; г – 300 мм; д – 400 мм; е – 565 мм

исходной наличием боковых ребер по всей длине подкладки. Использование подобной конструкции приводит к резкому (в 3,2 раза) снижению уровня напряжений. Недостаток подобной конструкции – значительное увеличение металлоемкости подкладки. Для снижения веса проведено расчетное исследование по влиянию длины боковых ребер на снижение уровня максимальных напряжений. Распределение напряжений в опасных зонах при изменении длины боковых ребер представлено на рис. 8.

Самое резкое снижение напряжений наблюдается уже при использовании боковых ребер минимальной длины (до 100 мм), уровень напряжений уменьшается практически в два раза. Последующее увеличение длины боковых ребер со 100 до 564 мм снижает максимальные напряжения на 60 %. На основании проведенных исследований предложена модернизированная подкладка контррельса (рис. 9), на которую получен патент [6].

Окончательный вариант конструкции подкладки при практическом сохранении уровня номинальных напряжений легче подкладки со сплошными боковыми ребрами в 1,35 раза.

Предлагаемая методика расчета позволяет выполнять анализ изменений в конструкции узла с контррельсовой подкладкой, дает возможность выбирать оптимальные варианты изменения конструкции подкладки и существенно снижать уровень напряжений,

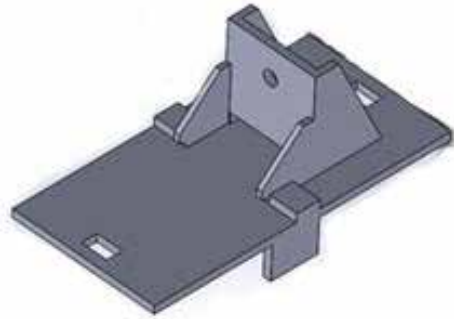


Рис. 9. Модернизированная подкладка

действующих в опасной зоне, при сравнительно небольшом увеличении массы конструкции.

Эффективность использования опытной конструкции подкладки контррельса подтверждается результатами предварительных эксплуатационных испытаний на трех стрелочных переводах парков «Б» и «Г» станции Челябинск-Главный. За период проведения испытаний (1.10.2015–1.10.2016 гг.) не отмечено случаев разрушения опытных подкладок, а за аналогичный период наблюдений (1.10.2014–1.10.2015 гг.) на этих же трех переводах заменены 55 типовых подкладок контррельса.

Результатом проведенных исследований является разработка новой конструкции подкладки контррельса, которая позволяет резко увеличить продолжительность безаварийной эксплуатации стрелочного перевода и снизить затраты на проведение ремонтных работ. ■

Литература

1. Подойников В. Г. Разработка дискретной модели и расчетные исследования прочности конструкции подкладок контррельса / В. Г. Подойников, Е. Е. Рихтер, Г. Г. Проценко // РСП-Эксперт. 2013. № 12. С. 20–23.
2. Подойников В. Г. Исследование напряженного состояния в опорной пластине подкладки узла крепления контррельса. / В. Г. Подойников, Е. Е. Рихтер, Г. Г. Проценко // РСП-Эксперт. 2015. № 3. С. 18–19.
3. V. G. Podoynikov, E. E. Rikhter, G. G. Protsenko. Research and Design of Construction of a Bearing Plate of a Counter Rail Attachment Fitting. Procedia Engineering. Volume 150C, 2016, Pages 138–143.
4. Подойников В. Г. Эксплуатационные испытания модернизированной подкладки узла крепления контррельса и прогнозирование ее ресурса / В. Г. Подойников, Е. Е. Рихтер, Г. Г. Проценко // Инновационный транспорт-2016: Материалы международной научно-технической конференции / – Екатеринбург : УрГУПС. – 2017. С. 357–368.

5. Устройство подкладки узла крепления контррельса железнодорожного транспорта // Патент России № 152367. 2015. Бюл. № 32. / Подоиников В. Г., Рихтер Е. Е., Протсенко Г. Г., Лысов Е. Н.
6. Контррельсовая подкладка // Патент России № 192726. 2019. Бюл. № 27 / Рихтер Е. Е.

Literature

1. Podoynikov V. G. Development of a discrete model and computational studies of the structural strength of counter-rail lining / V. G. Podoynikov, E. E. Richter, G. G. Protsenko // RSP-Expert. [Razrabotka diskretnoj modeli i raschetnye issledovaniya prochnosti konstruktsii podkladok kontrrel'sa / V. G. Podojnikov, E. E. Rikhter, G. G. Protsenko // RSP-Ehkspert] 2013. № 12. Pp. 20–23.
2. Podoynikov V. G. Research of the stressed state in the base plate of the counter-rail attachment unit lining / V. G. Podoynikov, E. E. Richter, G. G. Protsenko // RSP-Expert. [Issledovanie napryazhennogo sostoyaniya v opornoj plastine podkladki uzla krepneniya kontrrel'sa. / V. G. Podojnikov, E. E. Rikhter, G. G. Protsenko // RSP-Ehkspert] 2015. № 3. Pp. 18–19.
3. V. G. Podoynikov, E. E. Rikhter, G. G. Protsenko. Research and Design of Construction of Bearing Plate of Counter Rail Attachment Fitting. Procedia Engineering. – Vol. 150C. – 2016. – Pp. 138–143.
4. Podoynikov V. G. Operational tests of the modernized lining of the counter-rail attachment unit and forecasting of its resource / V. G. Podoynikov, E. E. Richter, G. G. Protsenko // Innovative Transport-2016: Proceedings of the international scientific and technical conference. [Ehkspluatatsionnye ispytaniya modernizirovannoj podkladki uzla krepneniya kontrrel'sa i prognozirovanie ee resursa / V. G. Podojnikov, E. E. Rikhter, G. G. Protsenko // Innovatsionnyj transport-2016 : Materialy mezhdunarodnoj nauchno-tehnicheskoy konferentsii / UrGUPS]. Yekaterinburg. – 2017. P. 357–368.
5. Counter rail fastening unit lining device // Russian Patent № 152367. 2015. Bul. № 32. [Ustrojstvo podkladki uzla krepneniya kontrrel'sa zheleznodorozhnogo transporta // Patent Rossii № 152367. 2015. Byul. № 32] / Podoynikov V. G., Richter E. E., Protsenko G. G., Lysov E. N.
6. Counter-rail lining // Russian Patent № 192726. 2019. Bul. № 27. [Kontrel'sovaya podkladka // Patent Rossii № 192726. 2019. Byul. № 27] / Richter E. E.

Статья сдана в редакцию 7 апреля 2021 года

Р. М. Куртиков, Е. А. Сидорова

Моделирование влияния подуклонки рельсов на интенсивность изнашивания

R. M. Kurtikov, E. A. Sidorova

Modeling the effect of rail sub-slope on the wear

Аннотация

Актуальность вопроса моделирования влияния подуклонки рельсов на интенсивность изнашивания обусловлена необходимостью поиска технологических решений по снижению интенсивности износа в контакте колес и рельсов. Цель работы заключается в поиске взаимосвязи между подуклонкой рельсов и интенсивностью изнашивания.

В основе исследований лежат экспериментальные данные, полученные по результатам натуральных измерений подуклонки, проведенных в 2019–2020 гг. на Московской железной дороге. В данной статье предложено разделить участки промеров на два типа по параметру подуклонки. Авторы предложили два типа функций, описывающих два различных типа отклонений подуклонки рельсов, зарегистрированных на рельсовой колее.

Влияние отклонений подуклонки, описанных по первому и второму типу полученных функций, на показатели силового взаимодействия пути и подвижного состава и износ в зоне контакта колес с рельсами оценивалось с применением программного комплекса «Универсальный механизм». В результате расчетов получены значения боковых и рамных сил, а также показатели изнашивания – проскальзывания и максимального давления в точке контакта колес с рельсами.

Адекватность полученных значений интенсивности износа в зоне контакта колес с рельсами оценивалась авторами на основе сравнения рассчитанных данных с экспериментальными данными интенсивности износа, полученными на участках Московской железной дороги.

Изменение подуклонки по длине участка может вызвать повышение интенсивности износа в зоне контакта колес с рельсами, особенно при наличии значительных отклонений от среднего значения подуклонки.

Ключевые слова: подуклонка рельсов, интенсивность износа, рамные силы, боковые силы.

DOI: 10.20291/2079-0392-2021-2-21-29

Intensity

The relevance of the issue of modeling the effect of rail sub-slope on the wear intensity is due to the need to find technological solutions to reduce the wear rate in the contact of wheels and rails. The aim of the work is to find the relationship between the sub-slope of rails and the wear intensity.

The research is based on experimental data obtained from the results of full-scale measurements of the sub-slope carried out in 2019-2020 on the Moscow Railway. In this article, it was proposed to divide the measurement sites into two types according to the sub-slope parameter. The authors proposed two types of functions describing two different types of rail sub-slope deviations registered on the rail track.

The influence of deviations of the sub-slope described by the first and second types of the obtained functions on indicators of the force interaction of the track and rolling stock and wear in the contact zone of the wheels with the rails was evaluated using the Universal Mechanism software package. As a result of calculations, the values of lateral and frame forces, as well as indicators of wear – slip and maximum pressure at the point of contact of the wheels with the rails are obtained.

The adequacy of the obtained values of the wear intensity in the contact zone of the wheels with the rails was estimated by the authors on the basis of comparison of the calculated data with the experimental data of the wear intensity obtained on the sections of the Moscow Railway.

A change in the sub-slope along the length of the section can cause an increase in the intensity of wear in the contact area of the wheels with the rails, especially if there are significant deviations from the average value of the sub-slope.

Keywords: sub-slope of rails, wear intensity, frame forces, lateral forces.

DOI: 10.20291/2079-0392-2021-2-21-29

Статья рекомендована к опубликованию д-ром техн. наук, гл. науч. сотрудником, профессором АО «ВНИИЖТ» В. О. Певзнером. E-mail: vpevznr@list.ru.

Роман Михайлович Куртиков, старший преподаватель; кафедра «Путь и путевое хозяйство» Российского университета транспорта (МИИТ); Москва, Россия. E-mail: krm_6426@mail.ru. ORCID 0000-0002-7215-5357.

Елена Анатольевна Сидорова, канд. техн. наук, старший научный сотрудник; Лаборатория «Исследование проблем стабильности верхнего строения пути, земляного полотна и искусственных сооружений» Научного центра «Путевая инфраструктура и вопросы взаимодействия колесо-рельс» АО «Научно-исследовательский институт железнодорожного транспорта» (АО «ВНИИЖТ»), Москва, Россия. E-mail: Sidorova.Elena@vniizht.ru. ORCID 0000-0002-2525-5574.

The article is recommended for publishing by Doctor of Technical Science, leading researcher, Professor of JSC «VNIIZHT» V. O. Pevsner. E-mail: vpevznr@list.ru.

Roman Mikhailovich Kurtikov, Senior Lecturer; Chair of «Road and Track Management» of the Russian University of Transport (MIIT); Moscow, Russia. E-mail: krm_6426@mail.ru. ORCID 0000-0002-7215-5357.

Elena Anatolyevna Sidorova, Candidate of Technical Science, Senior Researcher; Laboratory «Research of problems of stability of the upper structure of the track, roadbed and artificial structures» of the Scientific Center «Track Infrastructure and Issues of Wheel-Rail Interaction» of JSC «Research Institute of Railway Transport» («JSC «VNIIZHT»), Moscow, Russia. E-mail: Sidorova.Elena@vniizht.ru. ORCID 0000-0002-2525-5574.

Продолжаются изыскания проблемы снижения износа рельсов и предлагаются ее различные технические решения. Сегодня хорошо изучено влияние на интенсивность изнашивания показателей взаимодействия пути и подвижного состава (горизонтальные поперечные силы в зоне контакта колес с рельсами, работа сил трения, мощность изнашивания, проскальзывание и максимальное давление в зоне точки контакта колес и рельсов, непогашенное ускорение и др.) [1–3].

Одним из направлений поиска решений в области износа колес и рельсов служит подход, опирающийся на идею оптимизации геометрии рельсовой колеи для снижения уровня значений показателей взаимодействия пути и подвижного состава, влияющих на интенсивность изнашивания [4–7].

Установлен ряд зависимостей, объясняющих влияние на показатели взаимодействия пути и подвижного состава таких геометрических параметров, как радиус кривых, наличие и амплитуда неровностей, ширина колеи и др. Влияние подуклонки рельсов на показатели

взаимодействия пути и подвижного состава отмечено в [2, 8].

Анализ экспериментальных данных

Наши исследования опираются на экспериментальные данные, полученные по результатам натурных измерений подуклонки, проведенных в 2019–2020 гг. на Московской железной дороге. Данные включали величины подуклонки рельсов и износа рельсовых нитей в кривых малых радиусов (300 и 350 м), в кривой среднего радиуса (985 м) и на прямом участке пути. Результаты измерений проанализированы, общие характеристики участков сведены в таблицу 1.

В таблице 1 участки ранжированы по критерию возрастания среднего квадратичного отклонения от средних значений подуклонки. При таком представлении данных заметна разница между участками и появляется возможность их сгруппировать, разделив на два типа. Первый тип участков (1–5, таблица 1) характеризуется значительным общим отклонением среднего

Таблица 1

Общая характеристика рассматриваемых участков

№ уч.	Характеристика участка, время и объект измерений	Среднее значение подуклонки рельсовой нити, мм/м	СКО от среднего значения подуклонки рельсовой нити, мм/м
1	Кривая радиусом 350 м (май 2020, наружная рельсовая нить)	0,087	0,005
2	Прямой участок (июль 2020, левая рельсовая нить)	0,085	0,005
3	Кривая радиусом 350 м (ноябрь 2020, наружная рельсовая нить)	0,082	0,006
4	Кривая радиусом 985 м (август 2019, наружная рельсовая нить)	0,084	0,007
5	Прямой участок (июль 2020, правая рельсовая нить)	0,090	0,008
6	Кривая радиусом 350 м (август 2019, наружная рельсовая нить)	0,022	0,017
7	Кривая радиусом 985 м (июль 2020, наружная рельсовая нить)	0,033	0,022
8	Кривая радиусом 300 м (август 2019, наружная рельсовая нить)	0,005	0,035

значения подуклонки от нормативного (0,05 мм/м при наибольшей величине подуклонки 0,083) при небольших значениях СКО, чередующихся, как показал анализ данных, примерно через 60 м.

Для второго типа участков (6–8, таблица 1), наоборот, характерно большее отклонение подуклонки внутрь рельсовой колеи, при этом значения СКО почти сопоставимы со средними значениями, и максимумы и минимумы значений повторяются в среднем через каждые 50 м.

Переход от подуклонки второго типа к подуклонке первого типа может быть обусловлен ростом тоннажа.

Рассматриваемые участки сгруппированы, произведена оценка среднего значения уровня подуклонки, амплитуды изменений отклонений подуклонки от среднего значения (СКО) и расстояний между максимумами и минимумами отклонений подуклонки. По результатам проведенного анализа на основе статистической обработки данных предложены два типа функций, описывающих два различных типа отклонений подуклонки рельсов, зарегистрированных на рельсовой колее. Функции представлены синусоидальными зависимостями и в общем случае имеют вид

$$y = y_{\text{cp}} + \sigma \cdot \sin\left(\frac{2\pi}{\Delta x} \cdot x\right),$$

где y – значение подуклонки на метре пути x , мм/м; y_{cp} – среднее значение подуклонки на участке пути, мм/м; σ – среднее квадратичное отклонение подуклонки на участке пути, мм/м; Δx – разница метров пути, соответствующих пиковым значениям подуклонки, м; x – рассматриваемый метр пути, м.

На рис. 1 представлены графики значений функций, построенных по статистическим данным для подуклонки, зарегистрированной на участках первого и второго типов (таблица 1). Красными пунктирными линиями отмечены нормативное значение подуклонки (1/20) и допустимые нормативные границы значений (от 1/60 до 1/12).

Оценка влияния изменений подуклонки на показатели взаимодействия пути и подвижного состава и процессы изнашивания в зоне контакта колес с рельсами

Влияние отклонений подуклонки, описанных по первому и второму типам полученных функций, на показатели силового взаимодействия пути и подвижного состава и износ в зоне контакта

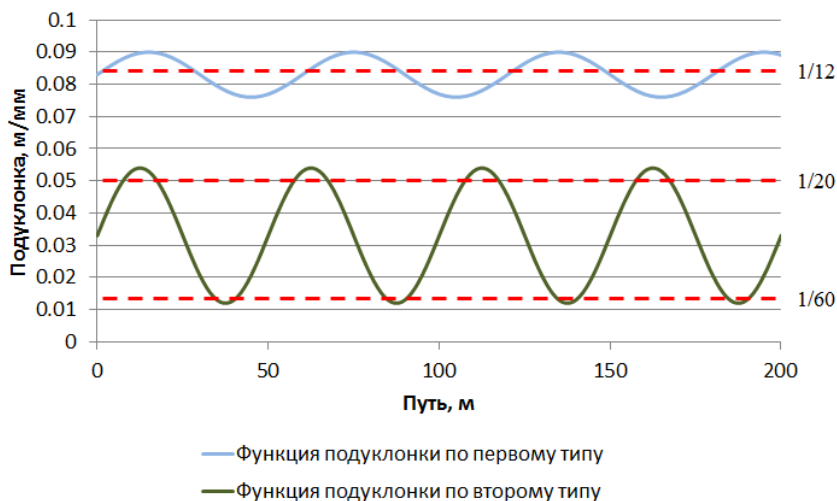


Рис. 1. Графики, описывающие функции подуклонки

колес с рельсами оценивалось с применением программного комплекса «Универсальный механизм». В результате расчетов получены значения боковых и рамных сил и показателей изнашивания (проскальзывание и максимальное давление в точке контакта колес с рельсами).

Модельный эксперимент включал в себя расчеты движения грузового вагона с осевой нагрузкой 23,5 тс в кривых разного радиуса (300, 650 и 1200 м) с наложенными изменениями подуклонки по первому и второму типам со

скоростями движения 40, 60 и 80 км/ч. При повышении скорости движения вагона возвышение наружного рельса выбиралось из расчета обеспечения непогашенного ускорения в кривой: $a_{\text{нп}} = 0 \text{ м/с}^2$. Это сделано, чтобы исключить влияние на уровень рамных и боковых сил других факторов, кроме подуклонки рельсов.

Результаты расчетов рамных и боковых сил представлены на рис. 2, 3.

Результаты расчета рамных сил представлены на рис. 2; видно, что по сравнению с участком постоянной

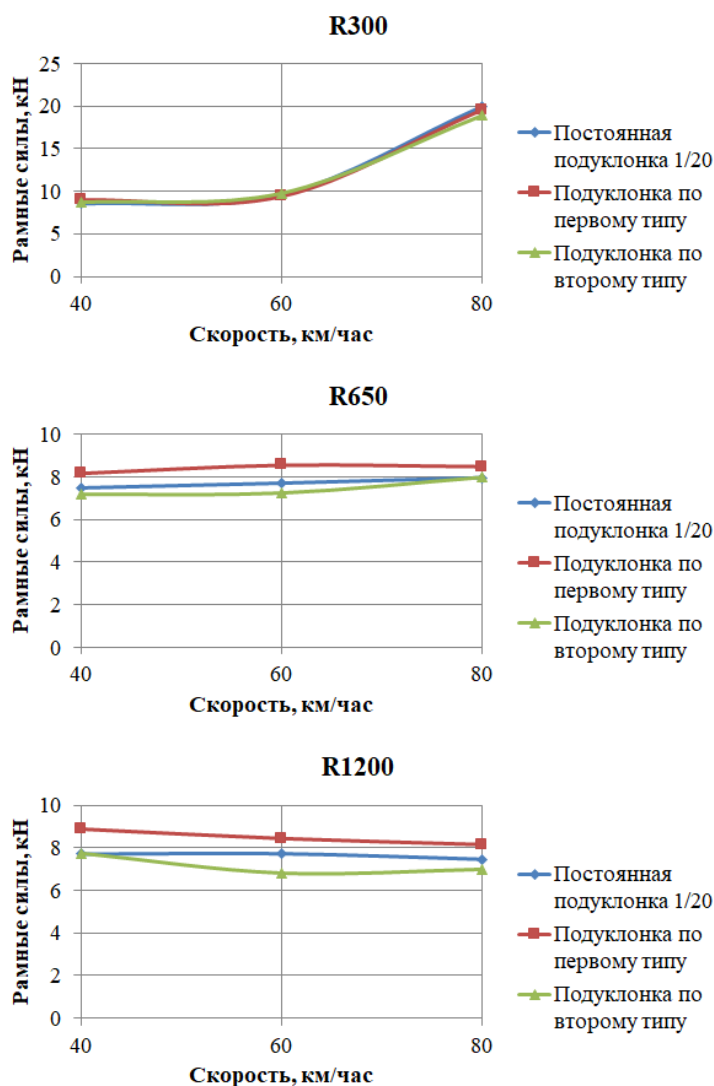


Рис. 2. Результаты расчетов рамных сил

подуклонки, отвечающей нормативному значению $1/20$, отклонения подуклонки по первому типу ведут к повышению рамных сил примерно на 1 кН. На участке с изменением подуклонки по второму типу отмечено снижение рамных сил примерно на 1 кН.

Здесь следует отметить, что влияние отклонений подуклонки на уровень рамных сил может зависеть от состояния и конструкции ходовых частей подвижного состава. В рамках модели рассматривался исправный груженный

грузовой вагон. Влияние изменений подуклонки на пассажирский скоростной подвижной состав или на динамику порожних грузовых вагонов следует рассматривать дополнительно.

На рис. 3 представлены расчеты боковых сил, которые демонстрируют повышение уровня боковых сил примерно на 5 кН при движении по участку пути с изменением подуклонки по второму типу и снижение примерно на 5 кН уровня сил при движении по участку пути с изменением подуклонки по первому типу по сравнению с постоянной

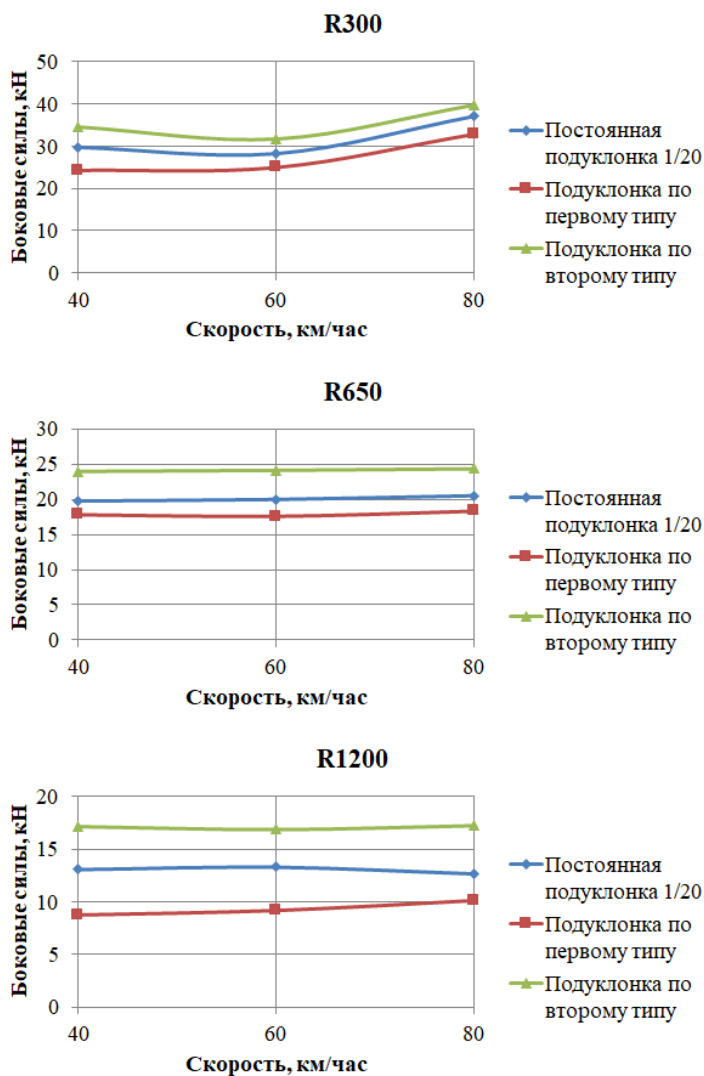


Рис. 3. Результаты расчета боковых сил

подуклонкой, соответствующей своему нормативному значению. Процентное соотношение уровня боковых сил в обычных условиях к уровню боковых сил с изменениями подуклонки меняется в зависимости от радиуса кривой. Так, для кривой радиусом 300 м значение боковых сил при движении по участку с изменениями подуклонки по второму типу больше значения боковых сил при движении по участку с постоянной подуклонкой, равной 1/20, на 12 %, для кривой радиусом 650 м – на 20 %, а для кривой радиусом 1200 м – на 32 %.

Интенсивность износа в зоне контакта колес с рельсами оценивалась на основе расчета произведения проскальзывания на величину максимального давления в пятне контакта (МПа). Результаты расчетов представлены на рис. 4. Этот параметр позволяет оценить переход от нормального типа изнашивания к интенсивному изнашиванию колес и рельсов [9].

Из рис. 4 видно, как меняется интенсивность изнашивания рельсов с постоянной подуклонкой, отвечающей нормативному значению, с изменением радиуса кривой. Показано, что при

прохождении кривой радиусом 1200 м интенсивность изнашивания соответствует нормальному типу, в кривой 650 м интенсивность изнашивания совершает переход от нормального типа к интенсивному, а в кривой 300 м износ колес и рельсов происходит в интенсивной зоне.

Изменение подуклонки в соответствии с функцией первого типа (близкие к максимальной нормативной границе средние значения подуклонки и небольшие отклонения от среднего) приводит к небольшому снижению интенсивности изнашивания в кривых радиусом 650 м и 1200 м и к переводу износа из интенсивной зоны в переходную зону в кривой 300 м, что может быть обусловлено увеличением ширины колеи.

Изменение подуклонки в соответствии с функцией второго типа (средние значения подуклонки лежат в пределах граничных значений, а отклонения изменяются с большой амплитудой) приводит к увеличению интенсивности изнашивания в зоне контакта колес с рельсами, причем в большей степени для кривых среднего радиуса, чем для кривых малого радиуса.

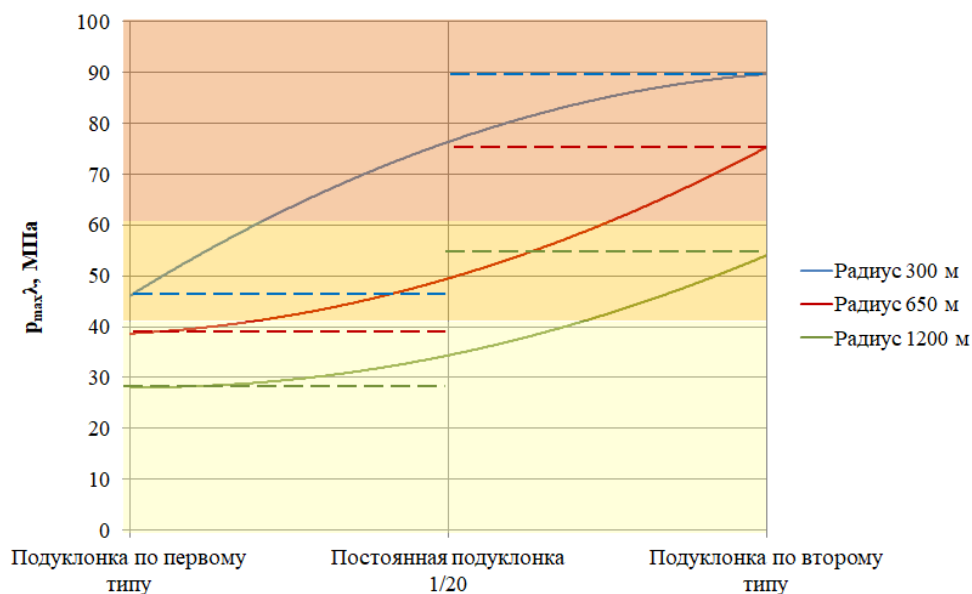


Рис. 4. Расчетные зоны интенсивности изнашивания рельсов

Проверка адекватности модели износа

Чтобы дать оценку адекватности полученных значений интенсивности износа в зоне контакта колес с рельсами, на основе рассчитанных данных проскальзывания и максимального давлений в точке контакта построена модель, позволяющая рассчитать интенсивность износа на протяжении всего участка пути, результаты расчетов по этой модели сопоставлены с экспериментальными данными интенсивности износа, полученными на участках Московской железной дороги в результате проведенных испытаний.

Для решения поставленной задачи использовался программный комплекс «Универсальный механизм», по полученным моделям пути смоделировано движение грузового вагона со скоростью, близкой к скорости, установленной на этом участке, – 60 км/ч.

В результате расчетов получены значения проскальзывания и максимального давления в точке контакта, использованные для нахождения интенсивности

износа по математической модели, разработанной в АО «ВНИИЖТ». Математическая модель интенсивности износа имеет вид [3, 9, 10]

$$I = \frac{k\lambda^2 p_{\max}}{E},$$

где k – безразмерный коэффициент, равный 0,03 для чистых рельсов; E – модуль Юнга для рельсовых сталей.

На рис. 5 представлен пример сравнения интенсивности износа, полученной в результате обработки экспериментальных данных и в результате расчета для одного и того же участка Московской железной дороги (кривая радиусом 300 м).

Сравнение производилось по трем участкам, для которых средняя интенсивность износа по экспериментальным данным составила 0,009, 0,013 и 0,012 мм на млн т·брутто, а средняя интенсивность износа по расчетным данным равна 0,007, 0,012 и 0,011 мм на млн т·брутто пропущенного тоннажа соответственно.

Таким образом, можно отметить, что данные хорошо коррелируют между

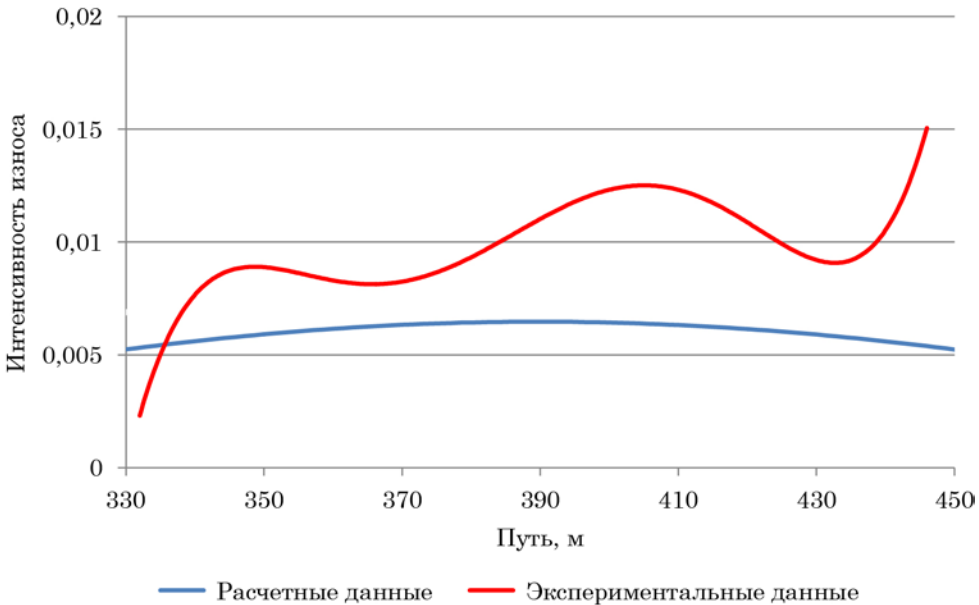


Рис. 5. Пример сравнения интенсивности износа по расчетным и экспериментальным значениям

собой и в среднем расчетная интенсивность износа получилась меньше фактической.

Выводы

1. На практике имеются два типа отклонений подуклонки: подуклонка, по своим средним значениям приближающаяся к нормативной границе, но не обладающая значительными отклонениями от среднего, и подуклонка, в среднем близкая к нормативному значению, но характеризующаяся при этом

большой амплитудой отступлений от среднего значения.

2. Изменения подуклонки на участке происходят периодически с частотой примерно 50–60 м.

3. Несмотря на то, что изменение подуклонки не ведет к превышению нормативных значений по показателям рамных и боковых сил, оно может вызвать повышение интенсивности износа в зоне контакта колес с рельсами, особенно при наличии значительных отклонений от среднего значения подуклонки. ■

Литература

1. Вериго М. Ф. Взаимодействие пути и подвижного состава в кривых малого радиуса и борьба с боковым износом рельсов и гребней колес. М. : ПТКБ ЦП МПС, 1997. 207 с.
2. Певзнер В. О. Результаты наблюдений по оценке влияния эксплуатационных факторов на боковой износ // В. О. Певзнер, О. Ю. Белоцветова, А. В. Потапов / Вестник ВНИИЖТ. 2016. Т. 75. № 4. С. 242–247. ISSN 2713-2560.
3. Жаров И. А. Зависимость типа изнашивания колес и рельсов от параметров их контакта и ширины колеи // И. А. Жаров, С. М. Захаров / Вестник ВНИИЖТ. – № 2. – 2010. С. 46–49. ISSN 2223-9731.
4. Певзнер В. О. Влияние эксплуатационных факторов на уширение колеи и боковой износ рельсов // В. О. Певзнер, О. Ю. Белоцветова, В. В. Третьяков, А. В. Потапов [и др.] / Путь и путевое хозяйство. – 2013. – № 1. – С. 8–11. ISSN 0131-5765.
5. Карпущенко Н. И. Параметры колеи и износ рельсов в кривых // Н. И. Карпущенко, А. П. Козлов, И. А. Котова, Е. С. Антерейкин / Путь и путевое хозяйство. – 2007. – № 11 (2). С. 7–9. ISSN 0131-5765.
6. Kalker J.J. Wheel-rail rolling theory // Wear. № 144 (1991). P. 243–261.
7. Chen G., Zhai W. M. A new wheel/rail spatially dynamic coupling model and its verification // Vehicle System Dynamics. 2004. Vol. 41. № 4. Pp. 301–322. ISSN 1744-5159.
8. Певзнер В. О. Подуклонка рельсов и ее связь с безопасностью движения и боковым износом // В. О. Певзнер, А. В. Потапов, О. Ю. Белоцветова / Путь и путевое хозяйство. – 2018. – № 2. – С. 30–33. ISSN 0131-5765.
9. Богданов В. М. Относительное проскальзывание в точках контакта колеса с рельсом // В. М. Богданов, Д. П. Марков, И. А. Жаров, С. М. Захаров / Вестник ВНИИЖТ. – 1999. – № 3. – С. 6–10.
10. Жаров И. А. Моделирование изнашивания пары гребень колеса – боковая поверхность рельса в кривых малого радиуса // И. А. Жаров, И. А. Комаровский, С. М. Захаров / Вестник ВНИИЖТ. – 1998. – № 2. – С. 15–18.

Literature

1. Verigo M. F. Interaction of the track and rolling stock in small radius curves and the fight against lateral wear of rails and wheel ridges. Moscow : PTKB CP MPS, [Vzaimodejstvie puti i podvizhnogo sostava v krivykh malogo radiusa i bor'ba s bokovym iznosom rel'sov i grebnej koles. M. : PTKB TSP MPS]. 1997. 207 p.
2. Pevsner V. O. Observations on the influence of operating factors on the lateral wear // Q. A. Pevzner, O. Yu. Belotsvetova, A. V. Potapov / Herald of VNIIZhT. [Rezultaty nablyudenij po otsenke vliyaniya ekspluatatsionnykh faktorov na bokovoj iznos // V. O. Pevzner, O. YU. Belotsvetova, A.V. Potapov / Vestnik VNIIZHT]. 2016. T. 75. № 4. P. 242–247. ISSN 2713-2560.
3. Zharov I. A. Dependency of the wear of wheels and rails on parameters of their contact and track width // I. A. Zharov, S. M. Zakharov / Herald of VNIIZhT. [Zavisimost' tipa

- iznashivaniya koles i rel'sov ot parametrov ikh kontakta i shiriny kolei // I. A. ZHarov, S. M. Zakharov / Vestnik VNIIZHT]. – № 2. – 2010. P. 46–49. ISSN 2223-9731.
4. Pevsner V. O. Influence of operational factors on track widening and lateral wear of rails // V. O. Pevsner, O. Yu. Belotsvetova, V. V. Tretyakov, A. V. Potapov [et al.]. / Tracks and track facilities. [Vliyaniye ehkspluatatsionnykh faktorov na ushirenie kolei i bokovoj iznos rel'sov // V. O. Pevzner, O. YU. Belotsvetova, V. V. Tret'yakov, A. V. Potapov [i dr.]. / Put' i putevoe khozyajstvo]. 2013. № 1. Pp. 8–11. ISSN 0131-5765.
 5. Karpushchenko N. I. Parameters of the track and wear of rails in curves // N. I. Karpushchenko, A. P. Kozlov, I. A. Kotova, E. S. Antereykin / Tracks and track facilities. [Parametry kolei i iznos rel'sov v krivykh // N. I. Karpushhenko, A. P. Kozlov, I. A. Kotova, E. S. Anterejkin / Put' i putevoe khozyajstvo]. – 2007. – № 11 (2). Pp. 7–9. ISSN 0131-5765.
 6. Kalker J. J. Theory of wheel and rail rolling // Wear. № 144 (1991). Pp. 243–261.
 7. Chen G., Zhai W.M. A new wheel/rail spatially dynamic coupling model and its verification // Vehicle System Dynamics. 2004. Vol. 41. № 4. Pp. 301–322. ISSN 1744-5159.
 8. Pevsner V. O. Rail sub-slope and its connection with traffic safety and side wear // V. O. Pevsner, A. V. Potapov, O. Yu. Belotsvetova / Tracks and track facilities. [Poduklonka rel'sov i ee svyaz' s bezopasnost'yu dvizheniya i bokovym iznosom // V. O. Pevzner, A. V. Potapov, O. YU. Belotsvetova / Put' i putevoe khozyajstvo]. 2018. № 2. Pp. 30–33. ISSN 0131-5765.
 9. Bogdanov V. M. Relative slippage at the points of contact of the wheel with the rail // V. M. Bogdanov, D. P. Markov, I. A. Zharov, S. M. Zakharov / Herald of VNIIZhT [Otnositel'noe proskal'zyvanie v tochkakh kontakta kolesa s rel'som // V. M. Bogdanov, D. P. Markov, I. A. ZHarov, S. M. Zakharov / Vestnik VNIIZhT]. 1999. № 3. Pp. 6–10.
 10. Zharov I. A., Komarovskiy I. A., Zakharov S. M. Simulation of wear of rail wheel crest-side surface in small radius curves // Herald of VNIIZhT. [Modelirovanie iznashivaniya pary greben' kolesa – bokovaya poverkhnost' rel'sa v krivykh malogo radiusa // I. A. Zharov, I. A. Komarovskij, S. M. Zakharov / Vestnik VNIIZhT]. 1998. № 2. Pp. 15–18.

Статья сдана в редакцию 19 февраля 2021 года

Управление в технических системах

УДК 625:62-1/9

С. В. Бушуев, Б. В. Рожкин, А. А. Блюдов, Н. С. Голочалов

Анализ загрузки путевого развития станции (по данным архивов систем централизаций стрелок и сигналов)

UDC 625:62-1/9

S. V. Bushuev, B. V. Rozhkin, A. A. Bludov, N. S. Golochalov

Analysis of the station's track development load (according to the archives of railway switches and signal centralized systems)

Аннотация

Развитие техники и технологии поездной работы, систем железнодорожной автоматизации и новые методы

вождения поездов открывают пути для дальнейшей интенсификации поездной работы, сокращая временные затраты на типовые операции.

Виртуальная сцепка позволяет сократить межпоездной интервал следования поездов. Автоматизированные графики исполненного

Статья рекомендована к опубликованию д-ром техн. наук, профессором Дальневосточного государственного университета путей сообщения А. И. Годяевым. E-mail: zav_at@festu.khv.ru.

Сергей Валентинович Бушуев, канд. техн. наук, доцент; кафедра «Автоматика телемеханика и связь на железнодорожном транспорте» Уральского государственного университета путей сообщения; Екатеринбург, Россия. E-mail: SBushuev@usurt.ru. ORCID: 0000-0002-9535-392X.

Борис Викторович Рожкин, канд. техн. наук, доцент кафедры «Автоматика телемеханика и связь на железнодорожном транспорте» Уральского государственного университета путей сообщения; Екатеринбург, Россия. E-mail: boris_r_v@mail.ru. ORCID: 0000-0002-9559-8177.

Антон Александрович Блюдов, канд. техн. наук, доцент кафедры «Автоматика и телемеханика на железных дорогах» Петербургского государственного университета путей сообщения; Санкт-Петербург, Россия. E-mail: anton.blyudov@gmail.com. ORCID: 0000-0001-6854-9276.

Николай Сергеевич Голочалов, аспирант; кафедра «Автоматика телемеханика и связь на железнодорожном транспорте» Уральского государственного университета путей сообщения; Екатеринбург, Россия. E-mail: nick_golochalov@mail.ru. ORCID: 0000-0003-4155-0028.

The article is recommended for publishing by A. I. Godyaev, Doctor of Technical Sciences, Professor of the Far Eastern State University of Railway Transport, E-mail: zav_at@festu.khv.ru

Sergey V. Bushuev, Candidate of Technical Sciences, Associate Professor, Chair of Automation, Telemechanics and Communication in Railway Transport, Ural State University of Railway Transport, Yekaterinburg, Russia. E-mail: SBushuev@usurt.ru. ORCID: 0000-0002-9535-392X.

Boris Viktorovich Rozhkin, Candidate of Technical Sciences, Associate Professor of the Chair of Automation, Telemechanics and Communication in Railway Transport, Ural State University of Railway Transport; Yekaterinburg, Russia. E-mail: boris_r_v@mail.ru. ORCID: 0000-0002-9559-8177.

Anton Alexandrovich Blyudov, Candidate of Technical Sciences, Associate Professor of the Chair of Automation and Telemechanics in Railway Transport, St. Petersburg State University of Railway Transport; St. Petersburg, Russia. E-mail: anton.blyudov@gmail.com. ORCID: 0000-0001-6854-9276.

Nikolay Sergeevich Golochalov, Post-graduate Student of the Ural State University of Railway Transport, Chair of Automation, Telemechanics and Communication in Railway Transport, Ural State University of Railway Transport; Yekaterinburg, Russia. E-mail: nick_golochalov@mail.ru. ORCID: 0000-0003-4155-0028.

движения фиксируют показатели поездной работы, автоматизируют формирование отчетов и доставку приказов поездного диспетчера дежурным по станциям, позволяют своевременно обнаруживать причины задержек поездов и принимать соответствующие меры. Точки роста интенсивности и объемов перевозок могут находиться в повышении степени интеллектуальности систем автоматики и телемеханики.

Современные системы диспетчерской и электрической централизации содержат подсистемы архивирования, в которых хранятся оперативная поездная обстановка и приказы операторов. Но такие данные используются только при разборе нештатных ситуаций – системного анализа архивной информации для поиска скрытых закономерностей и извлечения знаний, полезных для оптимизации процесса перевозок нет.

В настоящей работе предложена методика оценки текущей загрузки станции поездной работой, приведены относительные критерии оценки фактической загрузки и алгоритмы определения их численных значений. Проведен анализ временных рядов предложенных критериев, полученных для одной станции, оборудованной системой релейно-процессорной централизации. Анализ показал недельный цикл загрузки станции

поездной работой с хорошей повторяемостью. Выявлен факт снижения скорости поездов перед входным сигналом в маршрутах сквозного пропуска с заранее заданным маршрутом. Сглаживание выявленных неравномерностей может позитивно влиять на пропускную способность участка в целом.

Ключевые слова: диспетчерская централизация, архивы поездной ситуации, метрики загрузки элементов путевого развития, анализ временных рядов, сезонность поездопотоков.

DOI: 10.20291/2079-0392-2021-2-30-44

Abstract

The development of equipment and technology of train operation, railway automation systems and new methods of train driving open the way for further intensification of train operation, reducing the time spent on standard operation procedures. Virtual coupling allows you to reduce a train-to-train interval. Automated schedules of the executed movement record performance of train operation, automate the formation of a train-dispatcher's reports and delivery of orders to station attendants, allow timely detection of the causes of train delays and take appropriate measures. The points of growth in traffic intensity and volume could be in enhancing the level of intelligence of automation and telemechanics systems.

Modern dispatch and electrical centralized systems contain archiving subsystems that store prompt train operation conditions and operator orders. But such data is used only when analyzing emergency situations – there is no systematic analysis of archive information to find hidden patterns and extract knowledge useful for optimizing the transportation process.

In this paper, we propose a method for estimating the current train operation load of a railway station, and provide relative criteria for evaluating the actual load and algorithms for determining their numerical values. The analysis of the time series of the proposed criteria obtained for a single station equipped with a relay-processor centralized system is carried out. The analysis indicated a weekly cycle of train operation load of a station with good repeatability. The fact of reducing the speed of trains before the input signal in the through-pass routes with a pre-set route was revealed. Smoothing out the identified irregularities can positively affect the carrying capacity of a railway section as a whole.

Keywords: dispatch centralization, archives of a train situation, metrics of loading of elements of track development, time series analysis, seasonality of train flows.

DOI: 10.20291/2079-0392-2021-2-30-44

Введение

Интенсификация движения поездов предполагает снижение межпоездного интервала. Требуемой пропускной способности линий можно достичь использованием виртуальной сцепки поездов [1, 2]. Это сократит расстояние между

попутными поездами до длины тормозного пути поезда [3–7]. Уменьшить расстояние между поездами одного направления можно до одного блок-участка, т.е. в два раза по сравнению с классической схемой следования.

Реализация виртуальной сцепки требует модернизации технических средств;

такие работы ведутся [8]. В режиме смешанного пассажирского и грузового движения возникает необходимость обгонов и скрещения поездов на станциях, что препятствует повышению участковой скорости движения грузовых поездов. Методики, позволяющие моделировать движение поездов, существуют и позволяют определять лимитирующие элементы путевого развития станции [9, 10]. Их использование требует временных затрат на подготовку модели и моделирование, что в рамках сети дорог может стать довольно затратной процедурой по времени, остается и вопрос точности прогноза.

С другой стороны, все грузонапряженные линии оборудованы системой диспетчерской централизации, а ряд станций – микропроцессорными электрическими централизациями. Такие системы ведут архивы поездной обстановки в реальном времени, фиксируют время занятия каждого элемента путевого развития, состояние поездных сигналов и положение стрелочных переводов. Из данных архива можно извлечь информацию о фактических характеристиках загрузки горловин станции, изменении скоростей поездов при движении по станциям и перегонам, тем самым расширив функции диспетчерской и электрической централизаций. Необходимость расширения функций диспетчерской централизации отражена в «Стратегии развития железнодорожного транспорта» [11].

Критерии оценки текущей загрузки

Применительно к путевому развитию станции можно выделить две группы критериев: а) скоростные (показывают скорости передвижения поездов по элементам путевого развития станции и блок-участкам перегона) и б) временные (показывают длительность некоторого процесса – занятие секции в маршруте, время приготовления маршрута и т.д.).

Для достижения максимальной пропускной способности при готовом

маршруте сквозного пропуска поезд не должен снижать скорость при подходе к станции, если нет ограничений скорости технологического характера. Поэтому интерес представляет соотношение скоростей проследования участков путевого развития, примыкающих к входным сигналам станции. Также для эффективного использования пропускной способности необходимо, чтобы поезда проходили участки с максимально разрешенной скоростью. При выборе системы электрической централизации рассчитывают теоретическое значение времени занятия элементов путевого развития в маршрутизированных передвижениях; на основе информации из архивов можно получить фактические оценки данного времени.

Выделены три критерия: коэффициент скорости проследования входного сигнала, коэффициент использования скоростных режимов движения, коэффициент загрузки элемента путевого развития в маршрутизированных передвижениях.

Коэффициент скорости проследования входного сигнала

Коэффициент скорости проследования входного сигнала – это относительная величина, показывающая отношение средней скорости движения поезда по участку приближения к средней скорости движения поезда по станционному участку за входным сигналом для маршрутов сквозного пропуска (формула (1)):

$$K_{\text{вх}} = \frac{V_{\text{уп}}}{V_{\text{ст}}}, \quad (1)$$

где $K_{\text{вх}}$ – коэффициент скорости проследования входного сигнала; $V_{\text{уп}}$ – средняя скорость движения по участку приближения к входному сигналу; $V_{\text{ст}}$ – средняя скорость движения по станционному участку за входным сигналом.

Значения этого коэффициента, близкие к единице, покажут, что поезда не снижают скорость при подходе

к станции. Значение данного коэффициента меньше единицы говорит о снижении скорости поезда перед входным сигналом и ускорении поезда после его проследования.

Коэффициент использования скоростных режимов движения

Коэффициент использования скоростных режимов – это относительная величина, показывающая отношение фактической скорости движения по участку пути к допустимой скорости (формула (2)). Допустимая скорость движения может быть ограничена, а факт ограничения не фиксируется в архивах систем централизаций, что вносит ошибку в значение коэффициента. В рамках нашего исследования этими ошибками придется пренебречь, так как они не оказывают критического влияния на цель работы. При практическом использовании предлагаемого критерия учесть фактические ограничения скорости не составит большого труда.

$$K_{иср} = \frac{V_{ср}}{V_{дп}}, \quad (2)$$

где $K_{иср}$ – коэффициент использования скоростных режимов; $V_{ср}$ – средняя скорость по участку путевого развития, стрелочной секции; $V_{дп}$ – допустимая скорость движения.

Приведенный критерий позволяет получить временной ряд мгновенных значений коэффициента использования скоростных режимов, которые для получения точечной оценки могут быть усреднены подходящим алгоритмом или проанализированы с применением методов анализа временных рядов. Значение допустимой скорости движения выбирается исходя из поставленной задачи. Так, если требуется оценить потери от снижения скорости в маршрутах безостановочного пропуска при отклонении по стрелочному переводу, то за значение допустимой скорости необходимо принять установленную скорость движения без отклонения

стрелки. Если требуется оценка эффективности использования текущего путевого развития, то за допустимую скорость необходимо брать допустимую скорость движения с учетом положения стрелок в маршруте.

Коэффициент загрузки элемента путевого развития

Из практики проектирования систем централизации известен коэффициент загрузки элемента горловины станции в маршрутизированных передвижениях [12]. Эта безразмерная величина показывает относительное время занятия элемента путевого развития в поездных и маневровых передвижениях (формула (3)).

$$K_3 = \frac{\sum_{i=1}^n t_i}{t_p}, \quad (3)$$

где K_3 – коэффициент загрузки; t_i – время занятия элемента в i -м передвижении; n – количество передвижения за расчетный временной интервал; t_p – расчетный временной интервал.

За расчетный временной интервал принимают время наиболее интенсивной поездной работы, который в теоретических расчетах составляет обычно от семи до девяти часов.

Синтез расчетных алгоритмов

Определение скорости движения поезда по участку на основании данных архивов поездной работы системы централизации

Скорость определена как отношение пройденного расстояния ко времени. Расстояние в рассматриваемом случае – это длина элемента путевого развития, а время – время движения первой колесной пары по данной секции. Длина элемента путевого развития – проектные данные, отраженные на схематическом плане станции или путевого плане перегона. При условии, что временные задержки доставки данных

в системе централизации постоянны, время движения может быть определено как разница времени занятия расчетного и следующего элемента путевого развития по ходу движения поезда. Стрелочно-путевая секция при различном положении стрелок имеет различную длину, поэтому задача определения скорости имеет решение только при фиксированном положении стрелок. Это также позволяет сравнивать скорости при различной конфигурации секции (положении стрелок).

Аналитически выражение для определения времени движения поезда по секции:

$$E^S = \begin{cases} \max(T^{SL}; T^{SR}) - T^S & \text{при } \max(T^{SL}; T^{SR}) > T^S \\ \emptyset, & \text{при } \max(T^{SL}; T^{SR}) \leq T^S \end{cases}, \quad (4)$$

где S , S^L , S^R – события занятия расчетной секции, левого и правого соседа соответственно; T^S , T^{SL} , T^{SR} – время занятия расчетной секции, левого и правого соседей соответственно; E^S – время движения поезда по расчетной секции; \emptyset – запрещенный случай, сбой в системе хранения данных не учитывается алгоритмом.

При известном времени хода поезда по секции скорость может быть определена как

$$V^S = \frac{L^S}{E^S}, \quad (5)$$

где V^S – скорость движения поезда по расчетной секции; L^S – длина расчетной секции при фиксированном положении стрелочных переводов.

Определение времени использования элемента путевого развития в маршрутизированных передвижениях

Занятие путевого элемента в маршрутизированных передвижениях в системах централизации означает замкнутое состояние в маршруте. Поэтому необходимо определить длительность замкнутого состояния секций

горловины по данным архивов поездной обстановки. В архивах есть данные о состоянии элементов путевого развития станции в прошлом, снабженные метками времени изменения состояния. Поэтому время занятия элемента путевого развития в i -м передвижении на основании формулы (3) может быть определено:

$$t_i = T_p - T_3, \quad (6)$$

где T_p – время размыкания элемента путевого развития после проследования поезда, отмены маршрута или искусственного размыкания секции; T_3 – время замыкания секции при задании маршрута.

Приведенный алгоритм не различает причину размыкания секции, что может исказить расчеты. Для устранения дефекта алгоритма необходимо контролировать узлы отмены маршрутов и искусственного размыкания стрелок (формула (7)).

$$E^S = \begin{cases} T_p - T_3, & P = \text{истина} \\ 0, & P = \text{ложь} \end{cases}, \quad (7)$$

где P – утверждение, что секция была разомкнута вследствие проследования поезда, а не отмены маршрута или искусственной разделки секции.

Проверка методики

Разработанные алгоритмы проверены с использованием архивов работы системы релейно-процессорной системы электрической централизации, работающей на железнодорожной станции, к которой примыкают двухпутный и однопутный перегоны.

Анализ временных критериев

В рамках настоящего исследования проведен расчет времени нахождения секций станции в замкнутом состоянии.

Диаграммы размахов времени замкнутого состояния позволяют визуально

выделить наиболее нагруженные секции станции (рис. 1). Выбросы времени занятия секций в маршрутах происходят только в сторону увеличения времени занятия, что объясняется заблаговременным заданием маршрутов при нахождении станции на диспетчерском управлении.

По формуле (3) определены суточные коэффициенты загрузки элементов путевого развития (рис. 2). Суточный интервал усреднения выбран исходя из требования применяемого алгоритма анализа сезонности временного ряда.

Исходя из приведенных значений коэффициентов загрузки выделим ряд наиболее нагруженных секций станции и приведем для них описательную статистику коэффициента загрузки (таблица 1).

У секций в нечетной горловине (НАП, 1-9СП) наибольший коэффициент загрузки в маршрутизированных передвижениях – более 0,5, что объясняется примыкающим однопутным перегоном. Считается, что при значениях

коэффициента загрузки более 0,7 станция перестает справляться с объемом перевозок, т.е. здесь можно констатировать резерв пропускной способности.

Тренд коэффициента загрузки оценивается с использованием математического аппарата анализа временных рядов. На первом этапе необходимо оценить стационарность временных рядов, образованных суточными значениями коэффициента загрузки (далее в работе будем рассматривать участки НАП и 1-9СП).

Проверка стационарности временного ряда проводится тестом Дики – Фуллера, проверяющим нулевую гипотезу: ряд нестационарный, альтернативная гипотеза говорит о стационарности временного ряда. Результаты проверки временных рядов для НАП и 1-9СП приведены в таблице 2.

Значимость нулевой гипотезы менее принятого уровня в 1 % позволяет принять верной альтернативную гипотезу о стационарности временного ряда.

Для выявления скрытых закономерностей проведем сезонную

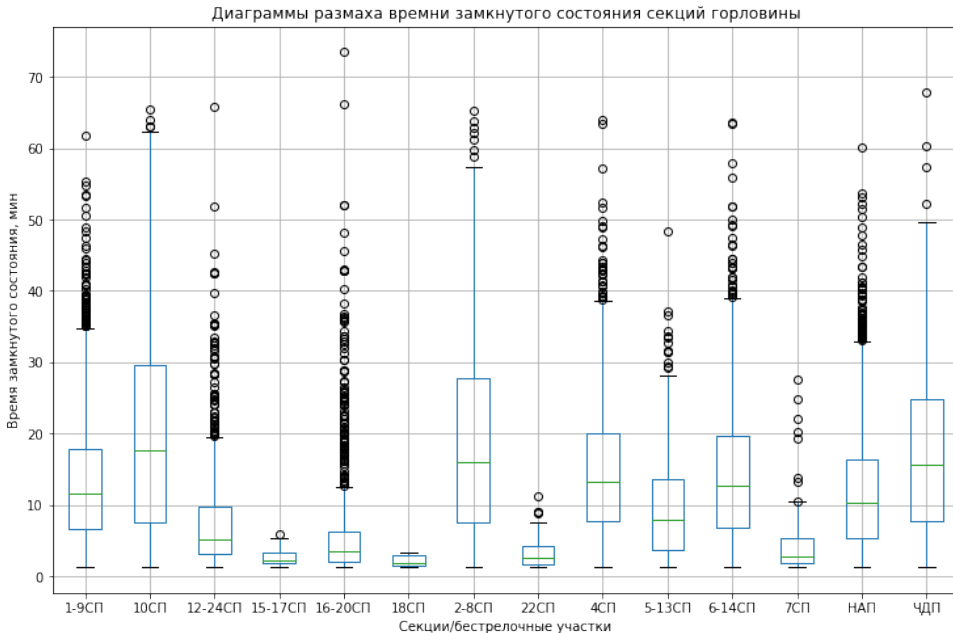


Рис. 1. Диаграммы размахов замкнутого состояния

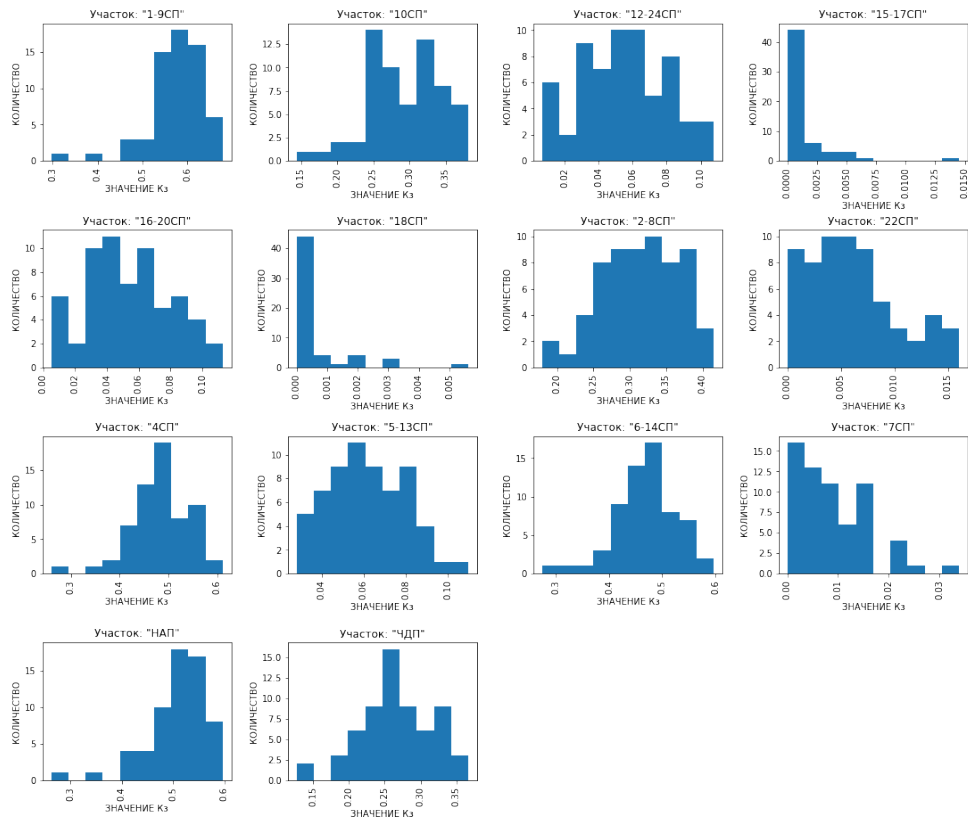


Рис. 2. Гистограммы распределения суточных коэффициентов загрузки участков

Таблица 1
Описательная статистика для коэффициента загрузки наиболее загруженных элементов станции ($K_z > 0,3$)

Участок	Мат. ожидание	Ст. отклонение	Медиана	Минимальное	Максимальное
1-9СП	0,5747	0,0626	0,5860	0,2967	0,6781
2-8СП	0,3153	0,0527	0,3169	0,1793	0,4153
4СП	0,4808	0,0605	0,4845	0,2596	0,6114
6-14СП	0,4710	0,0592	0,4763	0,2735	0,5968
НАП	0,5094	0,0579	0,5176	0,2626	0,5972

Таблица 2
Проверка стационарности временных рядов коэффициента загрузки для НАП и 1-9СП

Участок	Статистика		Значимость нулевой гипотезы	Вывод
	расчетная	со значимостью 1 %		
НАП	-7,3	-3,54	1,3e-10	Ряд стационарен
1-9СП	-7,8	-3,54	6,1e-12	Ряд стационарен

декомпозицию временных рядов, разложив значения ряда на тренд, сезонную составляющую и остатки; прослеживается четкая сезонная составляющая во временном ряду (рис. 3).

Определим наличие значимых коэффициентов автокорреляции для трендов НАП и 1-9СП (рис. 4). Значимых коэффициентов автокорреляции для трендов загрузки участков НАП и 1-9СП нет, поэтому делаем вывод, что тренд ряда случаен или тенденция тренда не выявлена на текущем интервале наблюдений (три месяца).

На графике сезонной составляющей коэффициентов загрузки прослеживается повторяемость нагрузки с семисуточным циклом (минимум в пятницу и максимум в понедельник) (рис. 5).

Рассмотренная станция имеет запас по пропускной способности по критерию «коэффициент загрузки элемента путевого развития». Анализ временных рядов для участков НАП и 1-9СП показал, что использование пропускной способности станции носит стационарный характер, содержит циклическую составляющую длительностью

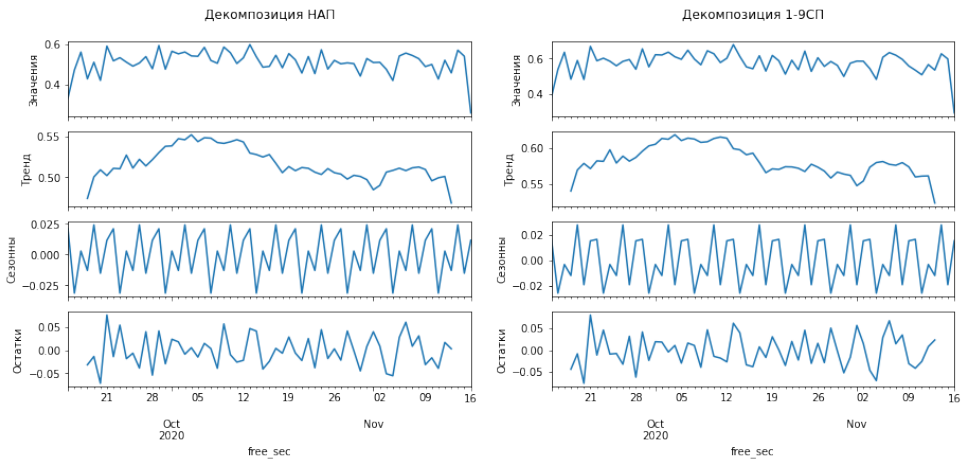


Рис. 3. Сезонная декомпозиция рядов суточных значений коэффициентов загрузки участков

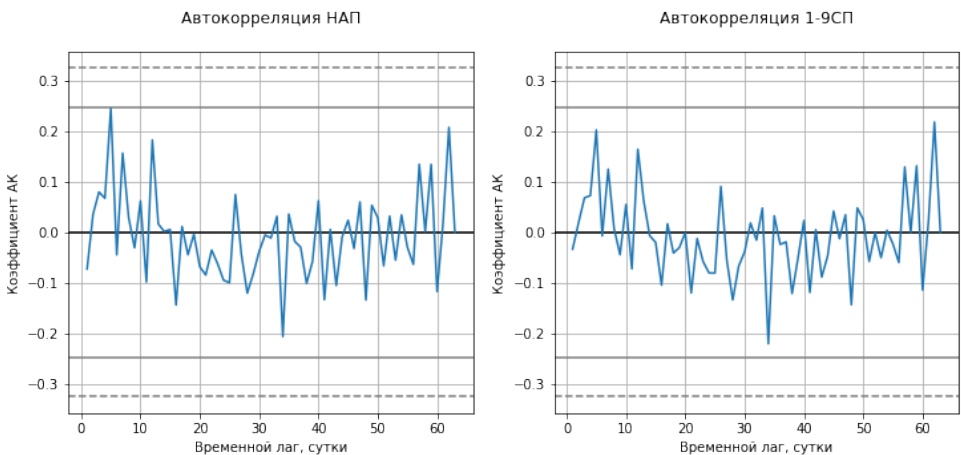


Рис. 4. Автокорреляция рядов суточных значений коэффициентов загрузки участков

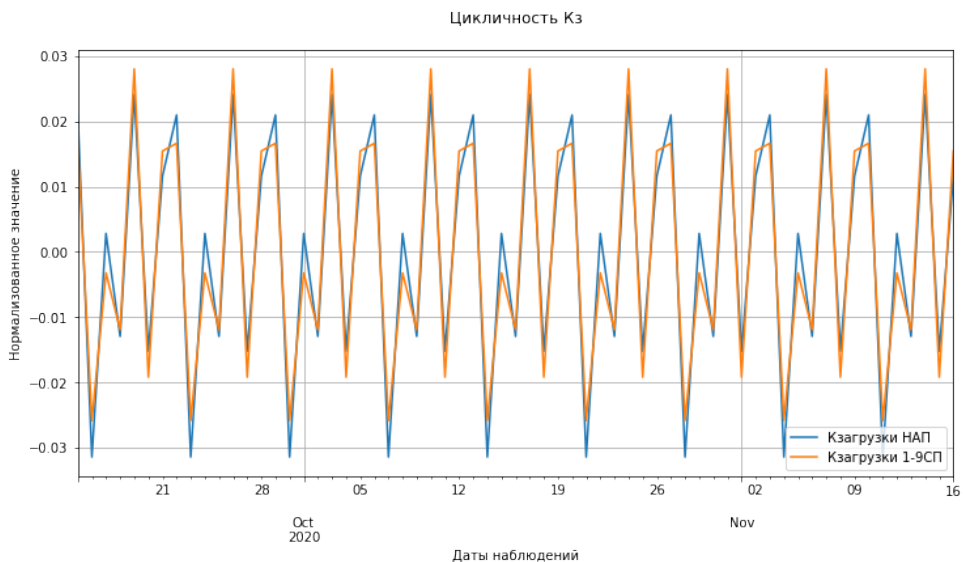


Рис. 5. Сезонная составляющая коэффициента загрузки участков

семь суток, а тренд загрузки носит вероятностный характер.

Анализ скоростных критериев

Анализ данных о фактических скоростях движения поездов показал, что независимо от характера перегона (однопутный/двухпутный) и наличия отклонения по стрелкам станции поезда

увеличивают скорость после прохода входного сигнала. В анализе участвовали маршруты сквозного пропуска по станции по сигналам Н, Ч и Чд; средние значения скоростей приведены на рис. 6. Отсутствие ускорения поезда в маршруте сквозного пропуска по 2П и приеме по Чд объясняется отклонением по диспетчерскому съезду для прохода по пути 2П.

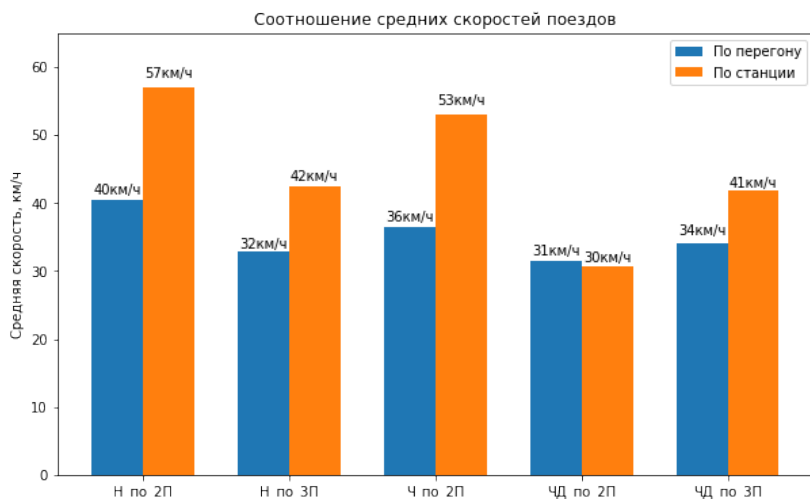


Рис. 6. Соотношение средних скоростей при движении по станции и перегону

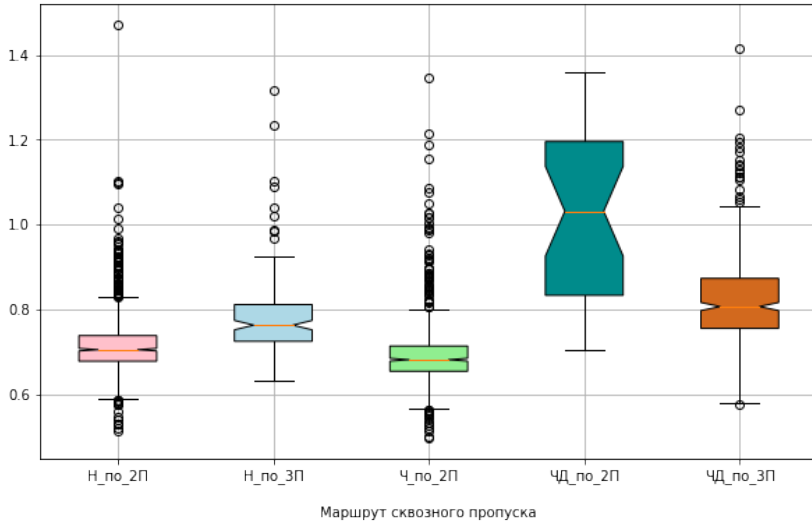


Рис. 7. Диаграммы размаха значений коэффициентов проследования входного сигнала

Диаграмма размаха значений коэффициента проследования входного сигнала подтверждает сделанный вывод о проследовании входного сигнала со сниженной скоростью (рис. 7).

Анализ коэффициентов использования допустимых скоростных режимов проведен для участка НАП.

Исследовались скорости движения в направлении оси станции. Конфигурация станции допускает четыре направления движения на прямо-отправочные пути 1П, 2П, 3П, 4П. Диаграммы размахов расчетных скоростей движения на указанные пути приведены на рис. 8.

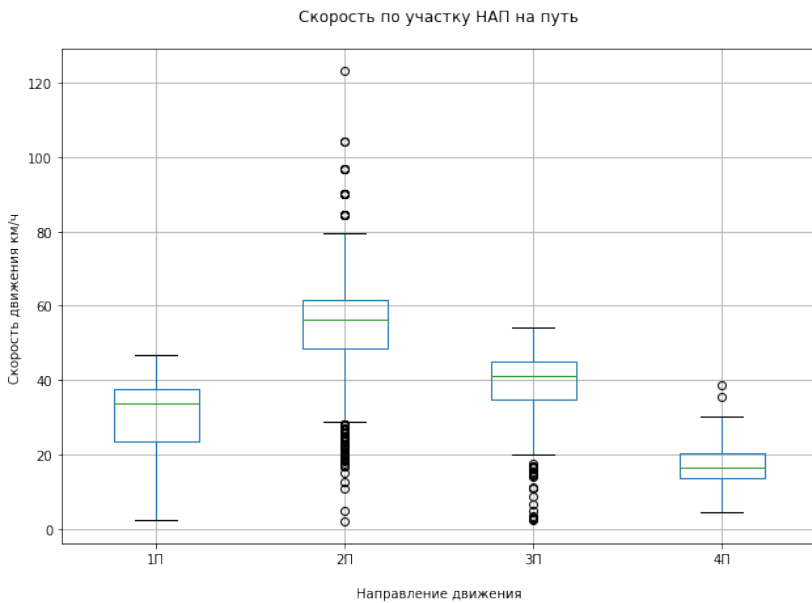


Рис. 8. Диаграммы размахов скоростей движения

Наиболее высокие скорости наблюдаются при движении по второму пути, что объясняется отсутствием ограничений скорости движения по плюсовым положениям стрелок 1, 3, 9.

Движение на пути 1П, 3П, 4П осуществляется по стрелочным переводам с маркой крестовины 1/11 и ограничением движения по отклонению в 50 км/ч, медианные оценки скорости движения по НАП составили 34, 42, 16 км/ч соответственно. По путям 1П, 3П осуществляется безостановочный пропуск поездов, что и обуславливает указанные скорости движения. На путь 4П поезда обычно принимаются с остановкой, что обуславливает сниженную скорость движения. При расчете коэффициента использования скоростных режимов в качестве допустимой скорости движения по отклонению на стрелках принята скорость 50 км/ч, а при движении без отклонения 80 км/ч – ограничение скорости грузового поезда (рис. 9).

При возможности сквозного пропуска поездов доступные скоростные

режимы используются почти полностью, максимальная медианная оценка коэффициента – 0,82 для пути 3П, т.е. запас ограничен.

Для исследования стабильности статистических оценок проведена оценка стационарности временных рядов и исследование их сезонности. В таблице 3 приведены результаты формального теста Дики – Фуллера по стационарности рядов значений коэффициентов использования скоростных режимов. Значимость нулевой гипотезы много меньше принятого уровня (1 %), что позволяет отвергнуть нулевую гипотезу о нестационарности и считать временные ряды коэффициентов стационарными.

Для выявления скрытых закономерностей проведем сезонную декомпозицию рядов значений коэффициентов; для этого определим среднесуточные средние значения коэффициентов и сформируем по ним временные ряды. Разложение полученных рядов на тренд, сезонность и остатки

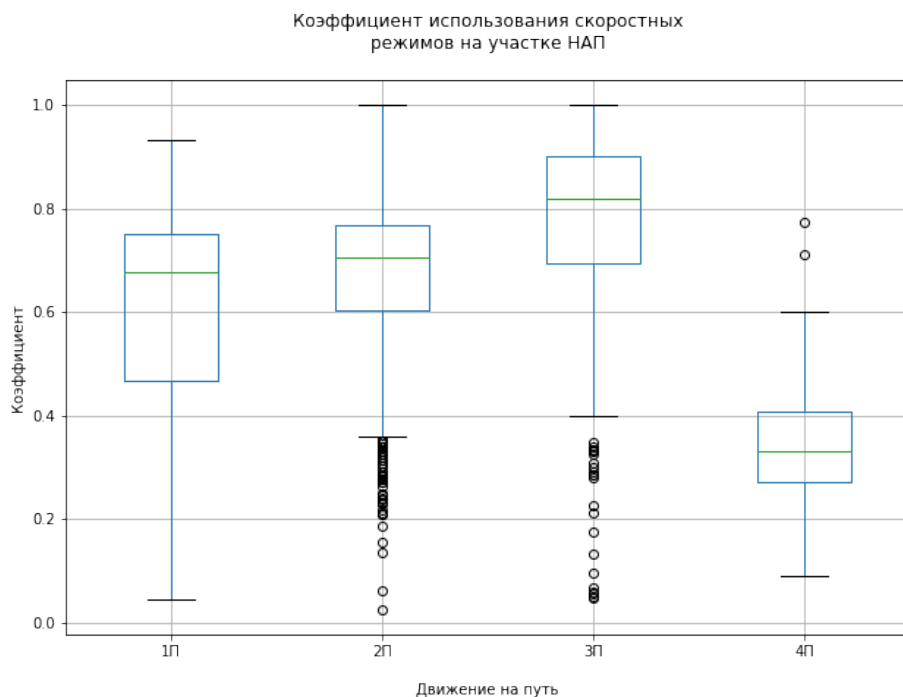


Рис. 9. Диаграммы размахов значений коэффициента использования скоростных режимов

(прослеживается цикличность с длительностью в 7 суток) (рис. 10, 11).

Отсутствие значимых коэффициентов автокорреляции для трендов коэффициентов использования скоростных режимов говорит об отсутствии

тенденций в тренде и его стохастической природе (рис. 12).

Анализ коэффициента скорости преследования входного сигнала показал замедление поезда перед входным светофором в случае готового маршрута

Таблица 3

Проверка стационарности временных рядов коэффициента использования скоростных режимов при движении по участку НАП на 1П, 2П, 3П, 4П

Движение на путь	Статистика		Значимость нулевой гипотезы	Вывод
	расчетная	со значимостью 1 %		
1П	-8,67	-3,54	4,33e-14	Ряд стационарен
2П	-6,11	-3,54	9,28e-08	Ряд стационарен
3П	-6,52	-3,54	1,03e-08	Ряд стационарен
4П	-5,98	-3,54	1,82e-08	Ряд стационарен

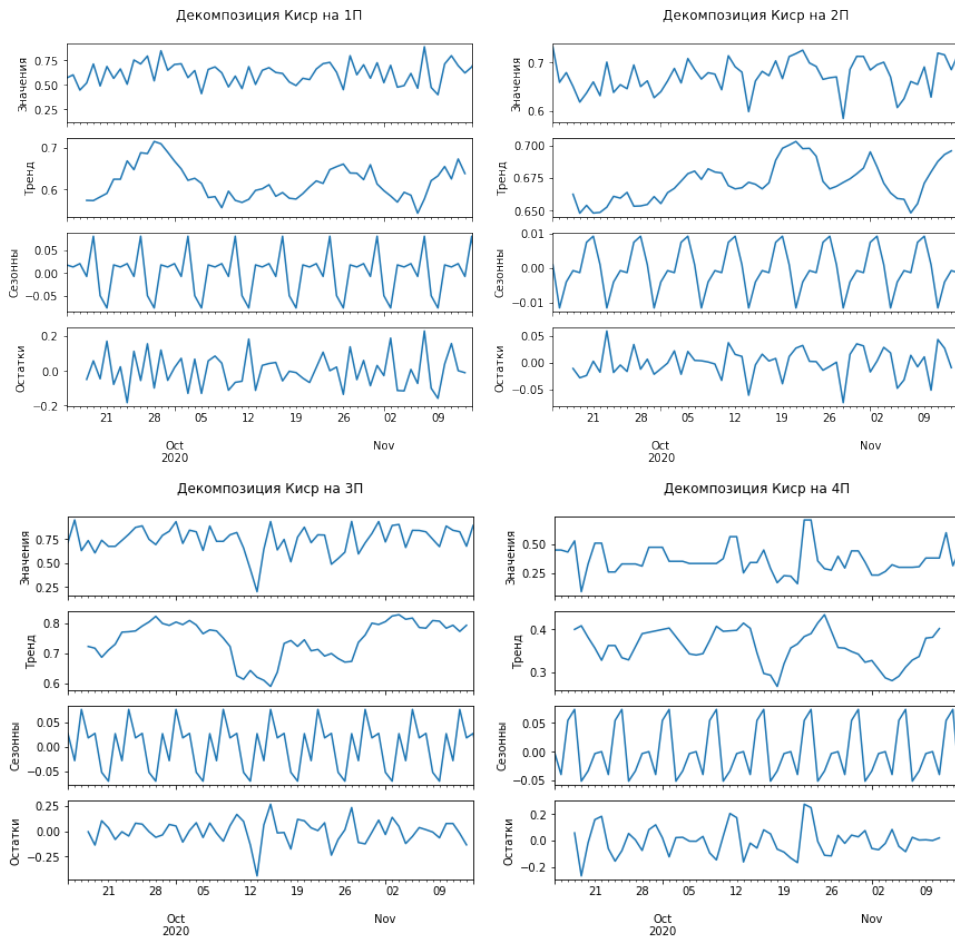


Рис. 10. Выделение сезонных компонент на рядах коэффициента использования скоростных режимов

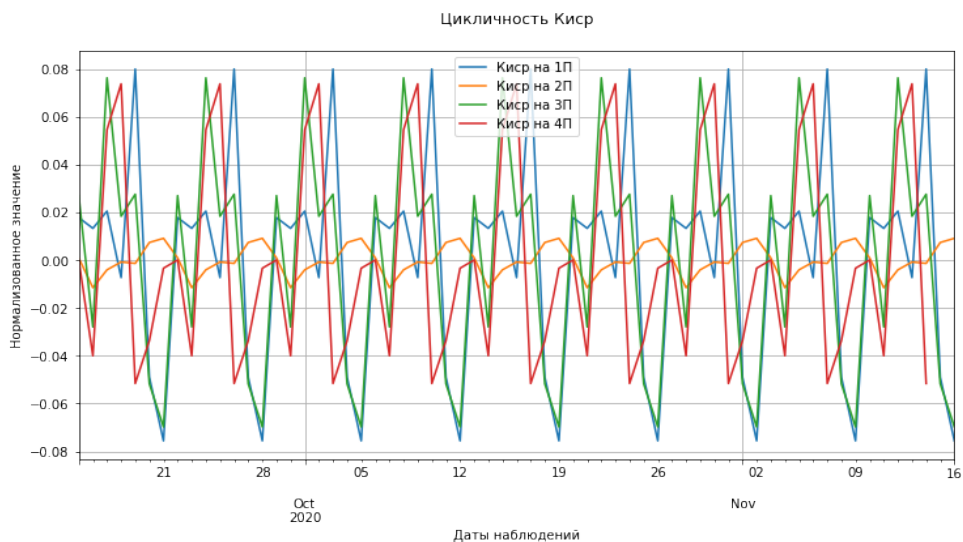


Рис. 11. Цикличность значений коэффициентов использования скоростных режимов

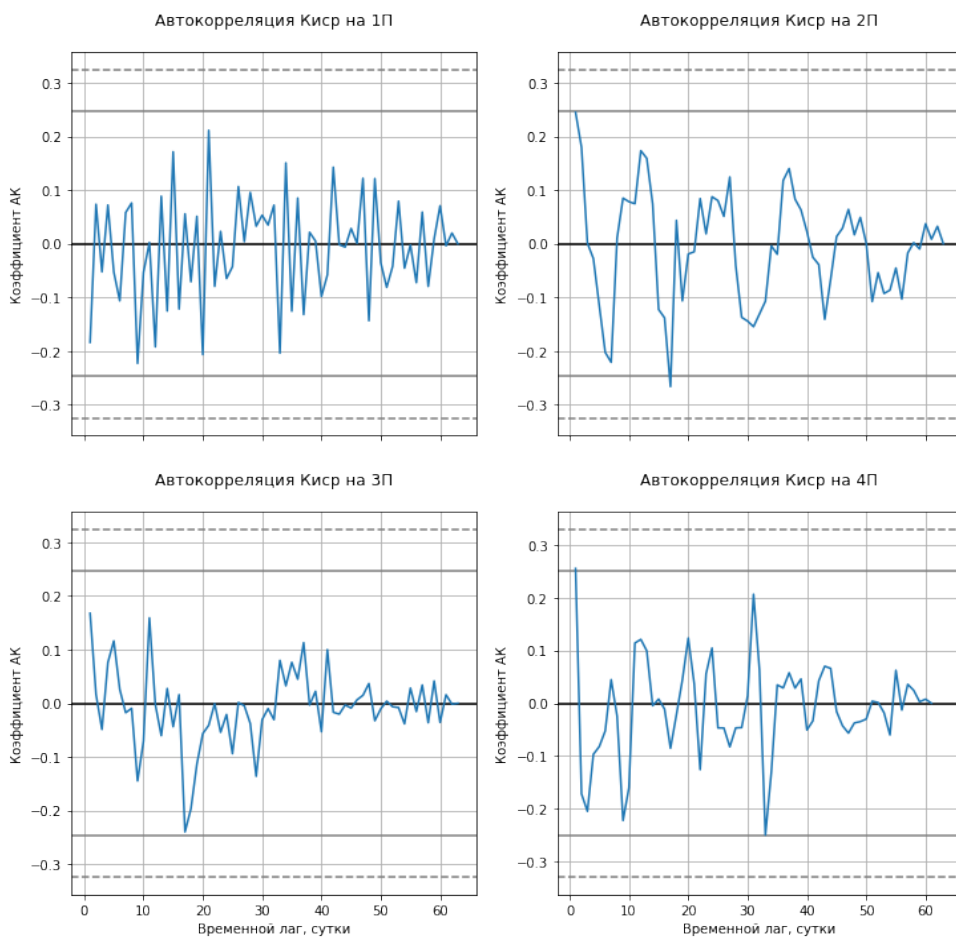


Рис. 12. Автокорреляция значений коэффициентов использования скоростных режимов

сквозного пропуска, чего не требуется по условиям работы систем автоматики.

Анализ значений коэффициента использования скоростных режимов для участка НАП показал, что временной ряд суточных значений стационарен, содержит циклическую составляющую длительностью 7 суток аналогично значениям коэффициента загрузки элемента путевого развития.

Заключение

В работе предложена методика определения текущей загрузки станции

поездной работой. В качестве критериев предложен ряд коэффициентов, рассчитываемых на основе данных архивов системы релейно-процессорной централизации. Анализ численных значений данных коэффициентов показал наличие недельного цикла загрузки станции поездной работой. Зафиксировано, что при готовом маршруте сквозного пропуска поезда проследуют входной сигнал с положительным ускорением, т.е. замедляются перед открытым входным сигналом и ускоряются после его проследования, что снижает эффективность поездной работы. ■

Литература

1. Розенберг Е. Н. Перспективы роста пропускной способности участков / Е. Н. Розенберг, В. В. Аношкин // Железнодорожный транспорт, 2020. № 3. С. 63–65. ISSN 0044-4448.
2. Климова Е. В. Технология «виртуальная сцепка» поездов как инструмент повышения провозной и пропускной способности линии / Е. В. Климова, Л. Е. Пилипушка, В. С. Рябов // Транспортная инфраструктура Сибирского региона : М-лы 10-й Международн. науч.-практ. конф., 21–24 мая 2019 г. – Иркутск, 2019. Т. 1. С. 60–64. ISBN 978-5-98710-365-4.
3. Розенберг Е. Н. Комплексные локомотивные системы безопасности / Е. Н. Розенберг, Е. Е. Шухина, Г. К. Кисельгоф // Автоматика, связь, информатика. 2014. № 10. С. 2–4. ISSN 0005-2329.
4. Шухина Е. Е. Системы обеспечения безопасности движения поездов на базе радиоканала / Е. Е. Шухина, А. В. Низовский // Автоматика, связь, информатика. 2016. № 10. С. 25–26. ISSN 0005-2329.
5. Астрахан В. И. Унифицированное комплексное локомотивное устройство безопасности : учебное пособие / В. И. Астрахан [и др.] ; под ред. В. И. Зорина и В. И. Астрахана. – М. : ГОУ «Учебно-методический центр по образованию на железнодорожном транспорте», 2008. 177 с. ISBN 978-5-89035-465-5.
6. Головин В. И. Опыт внедрения и эксплуатации системы САУТ / В. И. Головин, Б. И. Мацкевич // Железнодорожный транспорт. 1994. № 8. С. 40–44. ISSN 0044-4448.
7. Бушуев С. В. Расстояние сближения поездов при организации движения по технологии виртуальной сцепки / С. В. Бушуев, А. Н. Попов // Наука и образование – транспорту. – 2020. – № 1. – С. 273–275.
8. Щербатенко Т. «Виртуальная сцепка» расширяет возможности // Гудок. – 2019. – № 129.
9. Инструкция по расчету наличной пропускной способности. М. : ОАО «РЖД», 2010. – 350 с.
10. Мехедов М. И. Методика оценки факторов, определяющих стабильность пропуска грузовых поездопотоков на грузонапряженных направлениях : дисс. ... канд. техн. наук : 05.22.08 ; Защищена: 15.02.2017 / Михаил Иванович Мехедов. – М. : МИИТ. 2016. – 143 с.
11. Стратегия развития железнодорожного транспорта РФ до 2030 г. : распоряжение правительства РФ от 17.06.2008 №877-р. – М. : ОАО «РЖД» – 2018. – 77 с.
12. Сапожников Вл. В. Эксплуатационные основы автоматики и телемеханики : учебник для вузов ж.-д. транспорта / Вл. В. Сапожников, И. М. Кокурин, В. А. Кононов, А. Б. Никитин ; под ред. проф. Вл. В. Сапожникова. – М. : Маршрут, 2006. – 247 с. ISBN 5-89035-360-8.

Literature

1. Rosenberg E. N. Prospects for the growth of the throughput capacity of sections / E. N. Rosenberg, V. V. Anoshkin // Railway transport, [Perspektivy rosta propusknoy

- способности участков / E. N. Rozenberg, V. V. Anoshkin // *Zheleznodorozhnyj transport*. 2020. № 3. Pp. 63–65. ISSN 0044-4448.
2. Klimova E. V. Technology «virtual coupling» of trains as a tool for increasing the carrying and traffic capacity of the line / E. V. Klimova, L. E. Pilipushka, V. S. Ryabov // *Transport infrastructure of the Siberian region: Proceedings of the 10th International research-to-practice conference [Tekhnologiya «virtual'naya stsepka» poezdov kak instrument povysheniya provoznoj i propusknoj sposobnosti linii / E. V. Klimova, L. E. Pilipushka, V. S. Ryabov // Transportnaya infrastruktura Sibirskogo regiona : Materialy 10-j Mezhdunarodnoj nauchno-prakticheskoj konferentsii]*. May 21–24 2019. – Irkutsk, 2019. V. 1. Pp. 60–64. ISBN 978-5-98710-365-4.
 3. Rozenberg E. N. Complex locomotive safety systems / E. N. Rozenberg, E. E. Shukhina, G. K. Kisel'gof // *Automation, communication, information science. [Kompleksnye lokomotivnye sistemy bezopasnosti / E. N. Rozenberg, E. E. SHukhina, G. K. Kisel'gof // Avtomatika, svyaz', informatika]*. 2014. № 10. Pp. 2–4. ISSN 0005-2329.
 4. Shukhina E. E. Systems for ensuring the safety of train traffic based on a radio channel / E. E. Shukhina, A. V. Nizovsky // *Automation, communication, information science. [Sistemy obespecheniya bezopasnosti dvizheniya poezdov na baze radiokanala / E. E. SHukhina, A. V. Nizovskij // Avtomatika, svyaz', informatika]*. 2016. № 10. Pp. 25–26. ISSN 0005-2329.
 5. Astrakhan V. I. Unified complex locomotive safety device: textbook / V. I. Astrakhan [et al.]; ed. by V. I. Zorin and V. I. Astrakhan. – M.: State Educational Institution «Educational and Methodological Center for Education in Railway Transport», [Unifitsirovannoe kompleksnoe lokomotivnoe ustrojstvo bezopasnosti : uchebnoe posobie / V. I. Astrakhan [i dr.] ; pod red. V. I. Zorina i V. I. Astrakhana. – M. : GOU «Uchebno-metodicheskij tsentr po obrazovaniyu na zheleznodorozhnom transporte»]. 2008. 177 p. ISBN 978-5-89035-465-5.
 6. Golovin V. I. Experience of implementation and operation of the SAUT system / V. I. Golovin, B. I. Matskevich // *Railway transport. [Opyt vnedreniya i ehkspluatatsii sistemy SAUT / V. I. Golovin, B. I. Matskevich // Zheleznodorozhnyj transport]*. 1994. № 8. Pp. 40–44. ISSN 0044-4448.
 7. Bushuev S. V. Distance of convergence of trains in the organization of traffic based on the technology of virtual coupling / S. V. Bushuev, A. N. Popov // *Science and Education for Transport. [Rasstoyanie sblizheniya poezdov pri organizatsii dvizheniya po tekhnologii virtual'noj stsepki / S. V. Bushuev, A. N. Popov // Nauka i obrazovanie – transportu.]*. 2020. – № 1. – Pp. 273–275.
 8. Shherbatenko T. «Virtual coupling» expands the possibilities // *Gudok. [«Virtual'naya stsepka» rasshiraet vozmozhnosti // Gudok]*. – 2019. – № 129.
 9. Instructions for calculating available throughput capacity. Moscow: JSC «Russian Railways», [Instruktsiya po raschetu nalichnoj propusknoj sposobnosti. M. : OAO «RZhD»]. 2010. – 350 p.
 10. Mekhedov M. I. Methodology for assessing the factors that determine the stability of the throughput of freight train flows in cargo-stressed directions: diss. ... candidate of Technical Sciences: 05.22.08; Defended: 15.02.2017 / Mikhail Ivanovich Mekhedov. – Moscow : MIIT (Russian University of Transport). [Metodika otsenki faktorov, opredelyayushhikh stabil'nost' propuska gruzovykh poezdopotokov na gruzonapryazhennykh napravleniyakh : diss. ... kand. tekhn. nauk: 05.22.08 ; Zashhishhena: 15.02.2017 / Mikhail Ivanovich Mekhedov. – M. : MIIT]. 2016. –143 p.
 11. Strategy for the development of railway transport of the Russian Federation until 2030: decree of the Government of the Russian Federation of 17.06.2008 No. 877-R.-M.: JSC «Russian Railways» [Strategiya razvitiya zheleznodorozhnogo transporta RF do 2030 g. : rasporyazhenie pravitel'stva RF ot 17.06.2008 №877-r. – M. : OAO «RZhD»]. 2018. 77 p.
 12. Sapozhnikov V. V. Operational fundamentals of automation and telemechanics: textbook for universities of railway transport / V. V. Sapozhnikov, I. M. Kokurin, V. A. Kononov, A. B. Nikitin; edited by prof. V. V. Sapozhnikov. – M. : Route, [Ehkspluatatsionnye osnovy avtomatiki i telemekhaniki : uchebnyk dlya vuzov zh.-d. transporta / V. V. Sapozhnikov, I. M. Kokurin, V. A. Kononov, A. B. Nikitin ; pod red. prof. V. V. Sapozhnikova. – M. : Marshrut]. 2006. 247 p. ISBN 5-89035-360-8.

Статья сдана в редакцию 26 марта 2021 года

Организация и логистика

УДК 656.078.11, 656.27

Г. А. Галкин, В. В. Зубков, Н. Ф. Сирина

Межотраслевая информационно-интеллектуальная модель интеграции информационных потоков субъектов межрегионального уровня

УДК 656.078.11, 656.27

G. A. Galkin, V. V. Zubkov, N. F. Sirina

Intersectoral information and intellectual model of integration of information flows of interregional level subjects

Аннотация

Современные вызовы актуализируют поиск трансформации механизмов и инструментов управления и взаимодействия для определения и принятия оптимальных управленческих решений, базирующихся на квотированных (распределенных) информационно-интеллектуальных контентах, которые создают условия для реализации системного метода решения задачи создания широкомасштабного

и многофункционального комплекса информационно-интеллектуальных систем управления и взаимодействия.

В настоящей работе рассматриваются принципы построения межотраслевой информационно-интеллектуальной модели интеграции информационных потоков субъектов межрегионального уровня.

Построение модели основывается на принципах информационно-интеллек-

туального взаимодействия в сегменте информационной экономики социально-маркетингового сотрудничества.

Представлены компоненты методологии формирования модели. Система компонент-методологии предполагает концентрацию в одном периметре информационных потоков, исходящих из интегрирующихся информационных систем субъектов межотраслевого, межрегионального уровня, федеральных регуляторов

Статья рекомендована к опубликованию в-ром техн. наук, профессором Уральского государственного университета путей сообщения В. М. Сай. E-mail: vsay@usurt.ru.

Александр Геннадьевич Галкин, д-р техн. наук, профессор; ректор Уральского государственного университета путей сообщения; Екатеринбург, Россия. E-mail: AGalkin@usurt.ru. ORCID 0000-0002-5580-3211.

Валерий Валерьевич Зубков, канд. техн. наук; заместитель начальника Департамента производственной инфраструктуры Московского представительства Акционерного общества «Федеральная грузовая компания»; Москва, Россия. E-mail: zubkovv1973@gmail.com. ORCID 0000-0002-6201-2141.

Нина Фридриховна Сирина, д-р техн. наук, профессор; проректор по учебной работе и связям с производством Уральского государственного университета путей сообщения. Екатеринбург, Россия. E-mail: nsirina@usurt.ru. ORCID 0000-0001-9691-5181.

The article is recommended for publishing by V. M. Say, Doctor of Technical Science, Professor of the Ural State University of Railway Transport. E-mail: vsay@usurt.ru.

Alexander Galkin, Doctor of Technical Science, Professor; Rector of the Ural State University of Railway Transport; Yekaterinburg, Russia. E-mail: AGal-kin@usurt.ru. ORCID 0000-0002-5580-3211.

Valery V. Zubkov, Candidate of Technical Science; Deputy Head of the Production Infrastructure Department of the Moscow Representative Office of the Joint-Stock Company «Federal Cargo Company»; Moscow, Russia. E-mail: zubkovv1973@gmail.com. ORCID 0000-0002-6201-2141.

Nina Fridrikhovna Sirina, Doctor of Technical Science, Professor; Vice-Rector for Academic Affairs and Industrial Relations of the Ural State University of Railway Transport. Yekaterinburg, Russia. E-mail: nsirina@usurt.ru. ORCID 0000-0001-9691-5181.

и бизнес-объединений, с применением информационной технологии «большие данные» (big data)».

Модель интеграции информационных потоков накапливает и концентрирует информационные знания в едином транспортно-информационном пространстве и представляет собой котируванную информационно-интеллектуальную систему, структура которой отображает согласованные взаимодействия виртуальных агентов. Субъектами накопления и концентрации информационных знаний являются виртуальные агенты (интегрирующие информационно-интеллектуальные системы) регуляторов, субъектов и бизнес-объединений. Создание подобных виртуальных агентов основано на многоагентном принципе построения. Виртуальные агенты представляют собой новую категорию программных продуктов, функционирующих в информационно-интеллектуальной среде от лица пользователя.

Принципы моделирования виртуального агента и методология построения модели использовались при создании программных продуктов «Электронный сервис комплексных транспортных услуг» и «Многоагентная интеллектуальная система управления транспортными услугами в железнодорожно-морском сообщении», которые прошли государственную регистрацию.

Ключевые слова: модель, субъекты, регуляторы, транспортные услуги, информационные системы, виртуальные агенты, информационные технологии.

DOI: 10.20291/2079-0392-2021-2-45-56

Abstract

Modern challenges actualize the search for transformation of management and interaction mechanisms and tools for determining and making optimal managerial decisions based on quota (distributed) information and intellectual content, which create conditions for the implementation of a systematic method for solving the problem of creating a large-scale and multifunctional complex of information and intellectual management and interaction systems.

In this paper, the principles of building an intersectoral information and intellectual model of integration of information flows of subjects of the interregional level are considered.

The construction of the model is based on the principles of information and intellectual interaction in the segment of the information economy of social and marketing cooperation.

The components of the model formation methodology are presented. The system of component-methodology assumes concentration in one perimeter of information flows coming from the integrating

information systems of subjects of the intersectoral, interregional level, federal regulators and business associations, using the information technology «big data».

The model of integration of information flows accumulates and concentrates information knowledge in a single transport and information space and is a quota-based information and intellectual system, the structure of which reflects the coordinated interactions of virtual agents. The subjects of accumulation and concentration of information knowledge are virtual agents (integrating information and intellectual systems) of regulators, subjects and business associations. The creation of such virtual agents is based on the multi-agent construction principle. Virtual agents are a new category of software products that operate in information and intellectual environment on behalf of the user.

The principles of virtual agent modeling and methodology for constructing the model were used in creating software products «Electronic Service of integrated transport services» and «Multi-agent intellectual system for management of transport services in rail-marine traffic», which were registered by the state.

Keywords: model, subjects, regulators, transport services, information systems, virtual agents, information technologies.

DOI: 10.20291/2079-0392-2021-2-45-56

Отечественная транспортная отрасль в условиях продолжающегося мирового экономического кризиса получает качественно обновленные и принципиально новые свойства информационно-интеллектуальной системы, коренным образом отличающиеся от

основ индустриального развития. Задачи по преодолению транспортным комплексом глобального кризиса и надежному и безошибочному посткризисному развитию большей частью решаются повышением эффективности управления и взаимодействия на всех уровнях

(от уровня каждого производственного предприятия до государственного и международного уровней взаимодействия), что равным образом предопределяется удовлетворением настоящих и будущих потребностей в информационно-интеллектуальных ресурсах и дополнительных сопутствующих информационных услугах аккумуляции, обработки, анализа, хранения, распределения электронных данных и накопления как корпоративных, так и межотраслевых и межрегиональных информационно-ресурсных возможностей, применяемых в дальнейшем для формирования оптимальных управленческих решений.

В стратегии развития информационно-интеллектуальных технологий транспорта России определены следующие основные направления: а) развитие энергоэффективных и энергосберегающих технологий, б) формирование высокотехнологичных транспортно-логистических процессов, в) совершенствование логистических цепочек товаров и грузодвижения, г) создание глобального (единого) транспортно-информационного пространства для оптимального управления процессами на всех уровнях их организации и оптимального взаимодействия субъектов управления (региональных, межрегиональных, федеральных органов власти), субъектов управления транспортным комплексом и субъектов управления бизнес-объединений, а также для развития процесса кластерного формирования рынка транспортных услуг.

Ученые и практики ведут большую работу в области совершенствования информационно-интеллектуальных систем и технологий транспортной отрасли, при этом основная часть внимания сосредоточена на частных задачах поиска улучшения качества управления, а именно: совершенствование средств сбора, консолидации, обработки, хранения информационных потоков, совершенствование электронного документооборота, развитие систем защиты информации от деструктивных воздействий, развитие геоинформационных

систем, развитие лоскутно-сегментных систем электронного правительства на региональном и федеральном уровнях.

Из этого следует, что в настоящее время нет системного подхода к всеобъемлющему повышению качества управления и взаимодействия на всех уровнях и этапах управления транспортным комплексом.

Современные вызовы (глобализация рынка транспортных услуг, мировой кризис) актуализируют поиск трансформации механизмов и инструментов управления и взаимодействия для определения и принятия оптимальных и обоснованных управленческих решений, базирующихся на квотированных (распределенных) информационно-интеллектуальных контентах, создающих предпосылки и условия реализации системного метода решения задачи создания широкомасштабного, многофункционального и многомодульного комплекса информационно-интеллектуальных систем управления и взаимодействия [1].

Настоящая работа является продолжением предыдущих научных публикаций; так, методологические основы формирования транспортно-информационного пространства представлены в [2], концепция виртуальной системы интеграции и механизмы интеграции субъектов транспортно-информационного пространства предложены в [3], методы моделирования многоагентной среды субъектного сотрудничества – в [4]. Нами рассматриваются принципы построения межотраслевой информационно-интеллектуальной модели интеграции информационных потоков субъектов межрегионального уровня.

Уникальность текущего периода в сегменте управления транспортно-промышленным комплексом России на межотраслевом и межрегиональном уровнях – явная макроинформационная неполноценность, неустойчивость и, как следствие, недостаточность. Последняя проявляется в результате технических, технологических, координационных и правовых сложностей

сбора, переработки, анализа, хранения и квотирования консолидированных электронных данных, необходимых для реализации процесса определения и принятия оптимальных решений, роста ресурсозатрат на информационную инфраструктуру и информационно-интеллектуальные технологии, несоответствия корпоративных программных систем параметрам, необходимым для управления многоагентными информационными системами, недостаточности использования интегрирующих информационно-интеллектуальных систем в управлении и взаимодействии, отсутствия консолидированной стратегии развития и совершенствования информационно-технологических решений на уровнях управления и взаимодействия, отставания, особенно в кризисные периоды, во внедрении передовых информационных технологий от их потребностей.

Общая архитектура информационных технологий транспортно-промышленного комплекса России разнохарактерна по всеобъемлющей структуре технических, технологических и других определяющих характеристик, что сдерживает реализацию процесса повышения результативности управления на межотраслевом и межрегиональном уровнях на основе применения интеллектуально-когнитивных параметров и вызывает необходимость в регулировании и регламентации в контексте единого (консолидированного) и взаимовыгодного подхода, который рационально генерировать на совершенных и новых принципах формирования интегрирующих информационно-интеллектуальных систем [5].

Качественная определенность нового пути повышения результативности управления на межотраслевом и межрегиональном уровнях обуславливается информационно-интеллектуальной интериоризацией как транспортных и производственных, так и социально-экономических процессов, что требует оптимизации взаимосвязанного развития комплекса проблемно-ориентированных

информационных технологий государственной экономической структуры. Это возможно путем транспозиции процессов и способов управления в универсальное информационно-интеллектуальное пространство управления (межотраслевую информационно-интеллектуальную модель интеграции информационных потоков субъектов межрегионального уровня, платформа которой формируется на базе когнитивных информационных систем управления) [5, 6].

Для формирования данной модели требуется проработка методологии ее построения. Компоненты методологии формирования модели представлены на рис. 1.

Система компонент-методологии предполагает концентрацию в одном периметре информационных потоков, исходящих из интегрирующих информационных систем субъектов межотраслевого и межрегионального уровней, федеральных регуляторов и бизнес-объединений, с применением информационной технологии «big data». Интеграция обеспечивает централизованный учет, анализ и контроль за реализацией и фактическим состоянием процессов принятия оптимальных управленческих решений.

В «Электронном сервисе комплексных транспортных услуг» (одном из элементов системы компонент-методологии) концентрируется информация о всех запрашиваемых и реализуемых транспортных и производственных процессах. Этот элемент (подсистема) создает единое информационное пространство, в котором каждому субъекту предоставляются широкие возможности для эффективного определения и принятия решений в вопросах ведения бизнеса и оптимального расхода ресурсов при оказании или приобретении транспортных услуг [7, 8].

Важным этапом в подсистеме является внедрение контроля стоимости жизненного цикла транспортных услуг; это позволяет исключить ошибочные действия персонала, влекущие дополнительные ресурсные затраты на

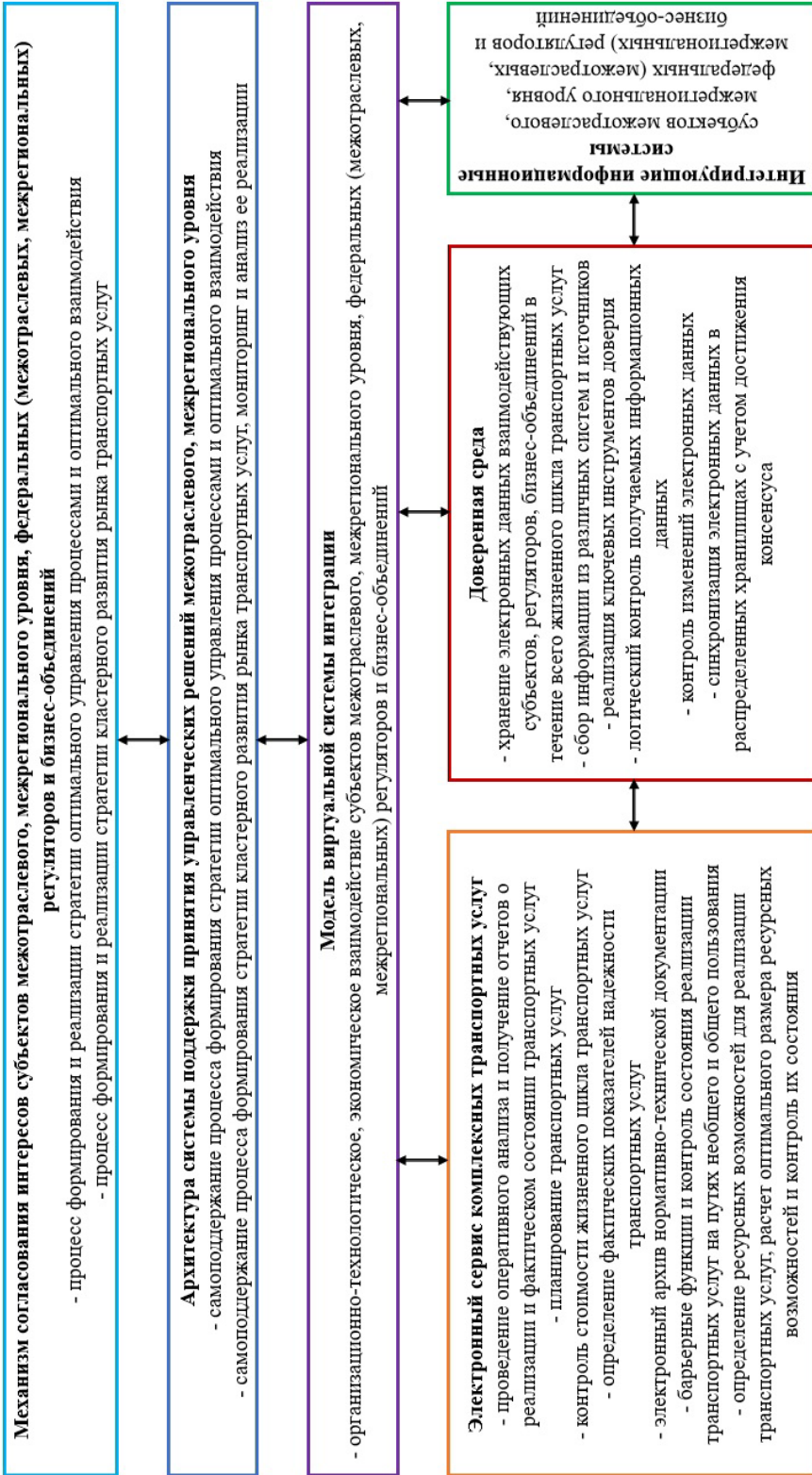


Рис. 1. Компоненты методологии формирования межотраслевой информационно-интеллектуальной модели интеграции информационных потоков субъектов межрегионального уровня

реализацию данного продукта, что может привести к росту добавочной стоимости перевозимой продукции [7, 8].

Основная цель применения подсистемы – реализация общей политики информатизации транспортных и производственных процессов, повышение эффективности управления и взаимодействия всех субъектов единого транспортно-информационного пространства [7, 8].

Элемент (подсистема) «Доверенная среда» создает барьерные функции, которые исключают допуск в информационную инфраструктуру несоответствующих техническим, технологическим требованиям потоков информации, то есть эта подсистема организует автоматизацию входного контроля.

Компоненты методологии «Модель виртуальной системы интеграции», «Архитектура системы поддержки принятия управленческих решений» и «Механизм согласования интересов субъектов» подробно описаны в публикациях [2–4].

Для развития стратегии формирования единого транспортно-информационного пространства с целью оптимального управления процессами и оптимального взаимодействия субъектов управления, развития процесса кластерного образования рынка транспортных услуг

разработана межотраслевая информационно-интеллектуальная модель интеграции информационных потоков субъектов межрегионального уровня, основанная на компонентах методологии ее формирования (рис. 2).

Построение модели основывается на принципах информационно-интеллектуального взаимодействия в сегменте информационной экономики социально-маркетингового сотрудничества.

Внешняя среда в модели (макросреда) представлена информационными потоками федеральных регуляторов P^{fr} , внутренняя (микросреда) – информационными потоками субъектов межотраслевого P^{is} , межрегионального P^{mr} уровня и бизнес-объединений P^{bo} . На входах внешней и внутренней сред формируются информационные запросы в виде целевых задач управления и взаимодействия Z от конкретного субъекта [9]:

$$Z^{P^{fr}} = \{Z_i^{P^{fr}}\}, i = \overline{1, N^{fr}}, \quad (1)$$

$$Z^{P^{mr}} = \{Z_i^{P^{mr}}\}, i = \overline{1, N^{mr}}, \quad (2)$$

$$Z^{P^{is}} = \{Z_i^{P^{is}}\}, i = \overline{1, N^{is}}, \quad (3)$$

$$Z^{P^{bo}} = \{Z_i^{P^{bo}}\}, i = \overline{1, N^{bo}}, \quad (4)$$

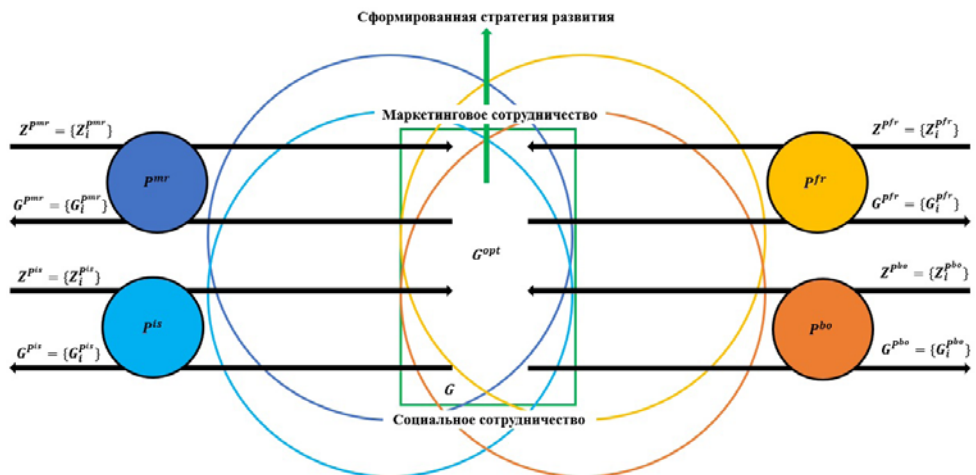


Рис. 2. Межотраслевая информационно-интеллектуальная модель интеграции информационных потоков субъектов межрегионального уровня

где N^{fr} , N^{mr} , N^{is} , N^{bo} – количество целевых задач управления и взаимодействия федеральных регуляторов, межрегиональных, межотраслевых субъектов и бизнес-объединений соответственно.

При использовании интегрирующих информационно-интеллектуальных систем на выходах внешней и внутренней сред субъектами модели и федеральными регуляторами определяется комплекс целевых проектных решений управления и взаимодействия G , который характеризует уровень взаимодействия и оценивает степень оптимальности принятых управленческих решений при формировании стратегии развития межрегиональных, межотраслевых субъектов и бизнес-объединений [9]:

$$G^{P^{fr}} = \{G_i^{P^{fr}}\}, i = \overline{1, D^{fr}}, \quad (5)$$

$$G^{P^{mr}} = \{G_i^{P^{mr}}\}, i = \overline{1, D^{mr}}, \quad (6)$$

$$G^{P^{is}} = \{G_i^{P^{is}}\}, i = \overline{1, D^{is}}, \quad (7)$$

$$G^{P^{bo}} = \{G_i^{P^{bo}}\}, i = \overline{1, D^{bo}}, \quad (8)$$

где D^{fr} , D^{mr} , D^{is} , D^{bo} – количество целевых решений управления и взаимодействия, соответственно федеральных регуляторов, межрегиональных, межотраслевых субъектов и бизнес-объединений.

Комплекс целевых проектных решений управления и взаимодействия G создает в едином информационном поле модели, информационный периметр оптимального подкомплекса G^{opt} ; именно в этом подкомплексе на основе когнитивного континуума и интегрирующих информационно-интеллектуальных систем формируются оптимальные решения управления и взаимодействия, которые направлены на дальнейшее определение стратегии развития [9, 10].

Классическим информационным моделям присущи следующие типичные барьерные сдерживания:

– обязательность прохождения периметра комплекса программных и технических средств (в квотированных

информационных системах используются различные программные и технические системы, интерфейсы);

– различность объектных систем и моделей (объекты и модели, построенные в разнородных информационных средах, различны между собой);

– методологические различия построения систем и моделей (использование различных методологий формирования компонент программных продуктов).

Квотированные информационные архитектуры Java RMI и web-services пытаются устранить данные барьерные сдерживания, но в настоящее время имеются нерешенные вопросы в развитии и совершенствовании информационных моделей и систем [10]:

– невозможность самоадаптации и самоподдержания состояния и поведения информационных объектов при изменении состояния и поведения внешней и внутренней информационной среды;

– невозможность применения конкретных форм информационных знаний корпоративных программных продуктов, объемы которых в сегменте языков программирования не переработать.

Для решения таких вопросов авторами при построении межотраслевой информационно-интеллектуальной модели интеграции информационных потоков субъектов межрегионального уровня в едином транспортно-информационном пространстве использовалась концептуально иная архитектура информационных систем (информационно-интеллектуальная).

Принимаем, что каждый субъект, регулятор модели (субъект транспортно-информационного пространства), является информационно-экономическим агентом (виртуальным агентом), который согласованно взаимодействует с иными информационно-экономическими агентами.

В ходе постоянного изменения (преобразования) информационных потоков субъекты усваивают внешнюю и внутреннюю среды транспортно-информационного пространства способом

обработки, фильтрации информационных потоков за счет интеллектуальных (ментальных) моделей, создающих условия для понимания внешнего и внутреннего пространства, а также условия для решения проблемных вопросов управления и взаимодействия.

Концептуальная модель информационно-интеллектуальной среды:

$$IIS = A_i^{ie}, M_i^{im}, Q_{ij}^{in}, \quad (9)$$

где IIS – информационно-интеллектуальная среда; A_i^{ie} – i -й виртуальный агент (интегрирующая информационно-интеллектуальная система) информационно-интеллектуальной среды; M_i^{im} – интеллектуальная (ментальная) модель A_i^{ie} виртуального агента о внутреннем и внешнем пространстве и непосредственно о себе, отображающаяся в виде информационного потенциала; Q_{ij}^{in} – качественные характеристики согласованного информационно-интеллектуального взаимодействия A_i^{ie} и A_j^{ie} виртуальных агентов.

$$ij = 1 \dots N, \quad (10)$$

где N – количество виртуальных агентов в информационно-интеллектуальной среде.

Таким образом, межотраслевая информационно-интеллектуальная модель интеграции информационных потоков субъектов межрегионального уровня накапливает и концентрирует информационные знания в едином транспортно-информационном пространстве и представляет собой квотированную информационно-интеллектуальную систему, структура которой отображает согласованные взаимодействия виртуальных агентов. Субъектами накопления и концентрации информационных знаний являются виртуальные агенты (интегрирующие информационно-интеллектуальные системы) регуляторов, субъектов и бизнес-объединений. Создание подобных виртуальных агентов основано на многоагентном принципе

построения [10, 11]. Виртуальные агенты представляют собой новую категорию программных продуктов, функционирующих в информационно-интеллектуальной среде от лица пользователя, и являются его информационной проекцией, чтобы идентифицировать, распределять информацию, информатизировать операционные процессы, поддерживать решение проблемных задач, определять оптимальные решения управления и взаимодействия, поддерживать процесс переговоров в сегментах реализации транспортных и производственных услуг, согласованно взаимодействовать с иными программными продуктами при решении проблемных задач.

Виртуальный агент (интегрирующая информационно-интеллектуальная система) формируется за счет развития прототипа. В многоагентной системе есть множество прототипов, которые отображают основные типы субъектов транспортно-информационного пространства.

Результат от деятельности виртуального агента – это определение оптимальных вариантов решения проблемных задач управления и взаимодействия при минимальном использовании ресурсов и максимальном получении прибыли в условиях динамического преобразования (изменения) внешнего и внутреннего пространства. То есть информационно-интеллектуальная среда, в которой функционирует виртуальный агент, характеризуется ее состоянием и поведением, которые под воздействием внешних и внутренних факторов преобразовываются (изменяются) частично или полностью [11].

Представить состояние и поведение виртуального агента можно моделью жизненного цикла. Каждый виртуальный агент совершенствуется собственной моделью состояния и поведения, которая преобразовывается (изменяется) в границах своего жизненного цикла. Жизненный цикл виртуального агента в формате дискретной системы представлен на рис. 3.

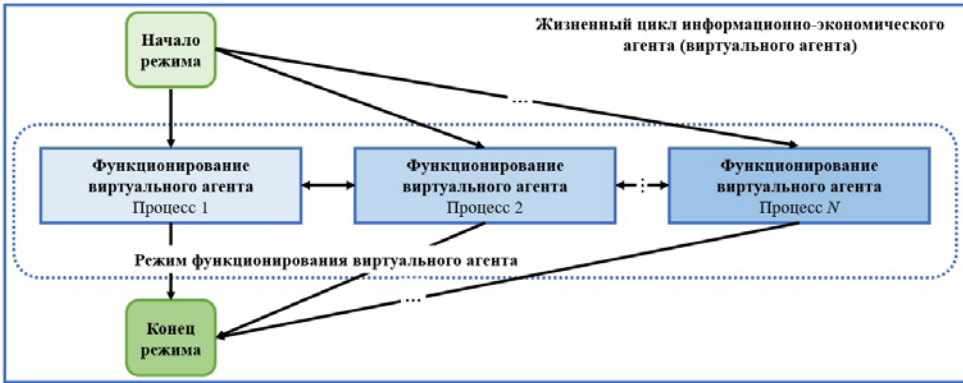


Рис. 3. Обособленный жизненный цикл виртуального агента

В жизненном цикле организация перехода (вероятность перехода) виртуального агента из одного процесса в другой в области режима его функционирования выглядит в формате набора продукционных правил следующим образом:

$$S^{pp} = C^{mo}, K^{sr}, I^{st}, \quad (11)$$

где S^{pp} – система продукционных правил; C^{mo} – комплекс режимов функционирования виртуального агента; K^{sr} – комплекс преобразующих (изменяющих) правил (объединенное хранилище знаний); I^{st} – программное средство интерпретации (анализ, обработка, запрос).

Структура комплекса преобразующих (изменяющих) правил:

$$K^{sr} = C_a, \{q_j\}, C_f, \quad (12)$$

где C_a – фактический режим функционирования виртуального агента; $q_j, j = 1, \bar{J}$ – комплекс подконтрольных показателей и характеристик в фактическом режиме функционирования; C_f – следующий (вероятный) режим функционирования виртуального агента.

Принципы, применяемые при моделировании виртуального агента, – регрессионный анализ (позволяет выстраивать логистические зависимости в системах), создание доверенного единого хранилища знаний (позволяет исследовать логику преобразования (изменения) состояния и поведения систем), применение направленных (целевых) функций (позволяет исследовать логику преобразования (изменения) состояния и поведения систем). Принципы моделирования виртуального агента представлены на рис. 4.



Рис. 4. Принципы моделирования состояния и поведения виртуального агента

Преимущество принципа регрессивного анализа заключается в пониженном требовании к статистическим данным, в частности, важен период, за который происходит сбор и обработка электронных данных, а не их наличие по всем вероятным сочетаниям признаков виртуального агента. Недостаток – отсутствие точного определения соотношения процесса проводящих действий с конкретным виртуальным агентом.

Принцип доверенного единого хранилища знаний предоставляет возможность выстраивания ограниченных (обособленных) моделей, исследующих логику преобразования (изменения) состояния и поведения конкретного виртуального агента. Данный принцип базируется на следующем: как производственные, так и социальные виртуальные агенты, равные по своим характеристикам, действуют одинаково в однообразных условиях. Другими словами, вероятность определения оптимального решения управления или взаимодействия изменяется с преобразованием или приобретением новых характеристик виртуального агента и перехода его в иную категорию субъектов. Принцип учитывает все характеристики субъектов.

Преимущества применения этого способа: на выходе формируются качественно новые прогнозные значения (в отличие от регрессивного анализа), обеспечивается получение прогнозных данных по темпу развития как отдельных категорий субъектов, так и всей системы виртуальных агентов.

Изложенные принципы целесообразно применять при достаточном (необходимом) объеме статистических данных и точном определении зависимостей между воздействующими факторами и полученными конечными решениями. Сложнее применение данных принципов при моделировании нетиповых условий (форс-мажорные или кризисные ситуации). В таких случаях для исследования логики преобразования (изменения) состояния и поведения виртуального агента рационально применение

принципа направленных (целевых) функций. Применение данного принципа наиболее характерно для моделей производственных виртуальных агентов из-за дефицита статистических данных, используемых при создании хранилища знаний и актуальности проведения оценочных действий по влиянию нетиповых условий на дальнейшее развитие [11].

Представленная модель является многоуровневым и многофакторным информационно-экономическим соединением структур различных областей деятельности человека в границах единого информационно-интеллектуального пространства, которое формирует новые возможности получения и преобразования знаний.

Методология построения модели обеспечивает концентрацию в одном периметре информационных потоков, исходящих из интегрирующих информационных систем субъектов межотраслевого, межрегионального уровней, федеральных регуляторов и бизнес-объединений, и предоставляет возможность без влияния человека реализовать централизованный учет, анализ и контроль за реализацией и фактическим состоянием процессов принятия оптимальных управленческих решений.

Принципы, применяемые при моделировании виртуального агента данной модели, обеспечивают самоадаптацию и самоподдержание состояния и поведения информационных объектов при изменении состояния и поведения внешней и внутренней информационной сред, а также возможность применения конкретных форм информационных знаний корпоративных программных продуктов, объемы которых в сегменте языков программирования не переработать.

Концепция интеграции информационных потоков, основанная на многоагентном подходе, является механизмом качественно нового анализа и прогноза по темпу развития отдельных категорий субъектов и всей системы в целом.

Принципы моделирования виртуального агента и методология построения модели использовались при создании программных продуктов «Электронный сервис комплексных транспортных услуг» и «Многоагентная интеллектуальная система управления транспортными услугами в железнодорожно-морском сообщении», которые прошли государственную регистрацию. ■

Литература

1. Гринберг Р. С. Новая парадигма научных исследований в условиях реализации инновационной стратегии / Р. С. Гринберг, С. Г. Журавин, В. Н. Немцев // Вестник Магнитогорского государственного технического университета им. Г. И. Носова. – 2014. – № 1. – С. 147–151. ISSN 1995-2732.
2. Галкин А. Г., Зубков В. В., Сирина Н. Ф. Методологические основы формирования транспортно-информационного пространства // Вестник УрГУПС. – № 1 (45). – 2020. – С. 82–92. ISSN 2079-0392.
3. Галкин А. Г. Концепция виртуальной системы интеграции взаимодействия субъектов транспортно-информационного пространства / А. Г. Галкин, В. В. Зубков, Н. Ф. Сирина // Вестник РГУПС. – 2020. – № 2. – С. 83–92. ISSN 0201-727X.
4. Сирина Н. Ф. Моделирование многоагентной среды субъектного сотрудничества транспортно-информационного пространства региона / Н. Ф. Сирина, В. В. Зубков // Вестник РГУПС. – 2020. – № 4. – С. 113–122. ISSN 0201-727X.
5. Wei Qin. Recent advances in Industrial Internet: insights and challenges / Wei Qin, Sigi Chen, Mugen Peng // Digital Communications and Networks. URL: <https://doi.org/10.1016/j.dcan.2019.07.001> (дата обращения: 15.02.2021).
6. Mezgar I. The challenge of networked enterprises for cloud computing interoperability / I. Mezgar, U. Rauschecker // Computers in Industry. URL: <https://doi.org/10.1016/j.compind.2014.01.017> (дата обращения: 15.02.2021).
7. А.с. 2017617621 Российская Федерация. Электронный сервис комплексных транспортных услуг / В.В. Зубков, О.В. Амельченко. – № 2017615841 ; Заявл. 08.06.2017 ; Опубл. 11.07.2017.
8. А. с. 2020617912 Российская Федерация, Многоагентная интеллектуальная система управления транспортными услугами в железнодорожно-морском сообщении (АСУ МИС-ТУ) / В. В. Зубков, Н. Ф. Сирина, О. В. Амельченко [и др.]. – № 2020616673 ; Заявл. 26.06.2020 ; Опубл. 15.07.2020.
9. Бездушный А. А. Математическая модель системы интеграции данных на основе онтологий // Вестник Новосибирского государственного университета. – Сер. : Информационные технологии. – 2018. – Т. 6, № 2. – С. 15–40. ISSN 1818-7900.
10. Gerhard S., Lukas S. Use of ITS technologies for multimodal transport operations – River Information Services (RIS) transport logistics services. *Procedia – Social and Behavioral Sciences* 48, 622–630 (2012). ISSN 1877-0428.
11. Гагарин А. П. Динамика инновационных процессов в области информационных технологий и подходы к их моделированию / А. П. Гагарин, Т. В. Березняк // Научные технологии. 2014. Т. 15. № 1. – С. 116–121. ISSN 1999-8465.

Literature

1. Grinberg R. S., Zhuravin S. G., Nemtsev V. N. A new paradigm of scientific research in the context of implementation of an innovative strategy]. *Herald of Magnitogorsk State Technical University named after G. I. Nosov*. [Novaya paradigma nauchnykh issledovaniy v usloviyakh realizatsii innovatsionnoj strategii / R. S. Grinberg, S. G. Zhuravin, V. N. Nemtsev // Vestnik Magnitogorskogo gosudarstvennogo tekhnicheskogo universiteta im. G. I. Nosova]. 2014. № 1. Pp. 147–151. ISSN 1995-2732.
2. Galkin A. G., Zubkov V. V., Sirina N. F. Methodological foundations of the formation of transport and information space // *Herald of the USURT*. [Metodologicheskie osnovy formirovaniya transportno-informatsionnogo prostranstva // Vestnik UrGUPS]. – № 1 (45). – 2020. – Pp. 82–92. ISSN 2079-0392.
3. Galkin A. G. The concept of a virtual system for integrating the interaction of subjects of the transport and information space / A. G. Galkin, V. V. Zubkov, N. F. Sirina // *News-bulletin of RSURT*. [Kontseptsiya virtual'noj sistemy integratsii vzaimodejstviya sub"ektov

- transportno-informatsionnogo prostranstva / A. G. Galkin, V. V. Zubkov, N. F. Sirina // Vestnik RGUPS]. – 2020. – № 2. – P. 83–92. ISSN 0201-727X.
4. Sirina N. F. Modeling of multi-agent environment of subject cooperation in the transportation and information space of the region / N. F. Sirina, V. V. Zubkov // News-bulletin of RSURT. [Modelirovanie mnogoagentnoj sredy sub"ektnogo sotrudnichestva transportno-informatsionnogo prostranstva regiona / N. F. Sirina, V. V. Zubkov // Vestnik RGUPS]. – 2020. – № 4. – P. 113–122. ISSN 0201-727X.
 5. Wei Qin. Recent advances in Industrial Internet: insights and challenges / Wei Qin, Sigi Chen, Mugen Peng // Digital Communications and Networks. URL: <https://doi.org/10.1016/j.dcan.2019.07.001> (reference date: 15.02.2021).
 6. Mezgar I. The challenge of networked enterprises for cloud computing interoperability / I. Mezgar, U. Rauschecker // Computers in Industry. URL: <https://doi.org/10.1016/j.compind.2014.01.017> (reference date: 15.02.2021).
 7. A.s. 2017617621 Russian Federation. Electronic service of complex transport services / V. V. Zubkov, O. V. Amelchenko. № 2017615841 ; Appl. 08.06.2017 ; Publ. 11.07.2017.
 8. A. s. 2020617912 Russian Federation, a multi-agent system for intellectual management of transport services in the rail-marine communication systems (MIS-TU) / V. V. Zubkov, N. F., Sirin, O. V. Amelchenko [and others]. № 2020616673 ; Appl. 26.06.2020 ; Publ. 15.07.2020. [A. S. 2020617912 Rossijskaya Federatsiya. Ehlektronnyj servis kompleksnykh transportnykh uslug / V. V. Zubkov, O. V. Amel'chenko. – № 2017615841 ; Zayavl. 08.06.2017 ; Opubl. 11.07.2017].
 9. Bezdushny A. A. Mathematical model of the data integration system based on ontologies // News-bulletin of Novosibirsk State University. – Ser. : Information Technologies. [Matematicheskaya model' sistemy integratsii dannykh na osnove ontologij // Vestnik Novosibirskogo gosudarstvennogo universiteta. – Ser. : Informatisionnye tekhnologii]. 2018. Vol. 6, № 2. Pp. 15–40. ISSN 1818-7900.
 10. Gerhard S., Lukas S. Use of ITS technologies for multimodal transport operations – River Information Services (RIS) transport logistics services. Procedia – Social and Behavioral Sciences 48, 622–630 (2012). ISSN 1877-0428.
 11. Gagarin A. P. Dynamics of innovative processes in the field of information technologies and approaches to their modeling / A. P. Gagarin, T. V. Bereznyak // High-tech technologies. [Dinamika innovatsionnykh protsessov v oblasti informatisionnykh tekhnologij i podkhody k ikh modelirovaniyu / A. P. Gagarin, T. V. Bereznyak // Naukoemkie tekhnologii]. 2014. Vol. 15. № 1. Pp. 116–121. ISSN 1999-8465.

Статья сдана в редакцию 29 марта 2021 года

УДК 658.5.011

А. А. Комяков, Е. Ю. Легчилина, Ж. В. Ткаченко, А. М. Чулембаев

Подходы к оценке влияния трансформации профессиональных компетенций персонала на энергетическую эффективность предприятий железнодорожного транспорта

UDC 658.5.011

A. A. Komyakov, E. Yu. Legchilina, Zh. V. Tkachenko, A. M. Chulembayev

Approaches to assessing the impact of transformation of professional competencies of the staff on the energy efficiency of railway transport enterprises

Аннотация

В статье рассмотрены вопросы влияния трансформации профессиональных компетенций на энергетическую эффективность структурных подразделений железнодорожного транспорта. Выполнен анализ существующих тенденций развития профессиональных компетенций в области энергосбережения и повышения энергоэффективности в контексте активной цифровой трансформации, по итогам которого авторы делают акцент на дополнительном

профессиональном образовании.

Рассмотрены подходы к количественной и качественной оценке влияния трансформации компетенций на энергоэффективность, к числу которых относятся исторический и внешний бенчмаркинг, а также кластерный анализ, описаны их преимущества и недостатки. Сформирован укрупненный алгоритм оценки энергоэффективности предприятий с учетом трансформации компетенций. В качестве исходных данных авторы

рассматривают показатели энергетической эффективности структурных подразделений в привязке к производственным и климатическим факторам и результаты анкетирования специалистов.

Сделан вывод о необходимости применения комплексного подхода к оценке трансформации компетенций, что позволит эффективно решать управленческие задачи в указанной сфере в зависимости от специфики хозяйственной деятельности структурного подразделения, относительного уровня

Статья рекомендована к опубликованию д-ром эконом. наук, профессором Омского государственного университета С. Н. Апенько.

Александр Анатольевич Комяков, канд. техн. наук, доцент, руководитель учебно-методического центра по энергосбережению и повышению энергоэффективности; Омский государственный университет путей сообщения; Омск, Россия. E-mail: tskom@mail.ru. ORCID 0000-0002-1960-3018.

Елена Юрьевна Легчилина, канд. экон. наук, доцент, заведующий кафедрой «Менеджмент, маркетинг и коммерция»; Омский государственный университет путей сообщения; Омск, Россия. E-mail: legcelena@yandex.ru. ORCID 0000-0002-9091-0600.

Жанна Валерьевна Ткаченко, студент 2 курса направления бакалавриата «Инноватика»; Омский государственный университет путей сообщения; Омск, Россия. E-mail: zhanna.tkachenko.97@mail.ru. ORCID 0000-0003-2245-7653.

Аманжол Маратович Чулембаев, инженер кафедры «Экономика транспорта, логистика и управление качеством»; Омский государственный университет путей сообщения; Омск, Россия. E-mail: aman4ik-xxx@mail.ru. ORCID 0000-0002-1960-3018.

The article is recommended for publication by Dr. Economy of sciences, professor of Omsk State University S. N. Apenko.

Alexander Anatolyevich Komyakov, Candidate of Technical Sciences, Associate Professor, Head of the Educational and Methodological Center for Energy Saving and Energy Efficiency Improvement; Omsk State University of Railway Transport; Omsk, Russia. E-mail: tskom@mail.ru. ORCID 0000-0002-1960-3018.

Elena Yuryevna Legchilina, Candidate of Economic Sciences, Associate Professor, Head of the Department «Management, Marketing and Commerce»; Omsk State University of Railway Transport; Omsk, Russia. E-mail: legcelena@yandex.ru. ORCID 0000-0002-9091-0600.

Zhanna Valeriyavna Tkachenko, 2nd year student of the Bachelor's degree program «Innovation»; Omsk State University of Railway Transport; Omsk, Russia. E-mail: zhan-na.tkachenko.97@mail.ru. ORCID 0000-0003-2245-7653.

Amanzhol Maratovich Chulembayev, Engineer of Department of «Transport Economics, Logistics and Quality Management»; Omsk State University of Railway Transport; Omsk, Russia. E-mail: aman4ik-xxx@mail.ru. ORCID 0000-0002-1960-3018.

его энергоёмкости и других технологических и социально-экономических условий.

Ключевые слова: железнодорожный транспорт, персонал, топливно-энергетические ресурсы, энергетическая эффективность.

DOI: 10.20291/2079-0392-2021-2-57-66

Abstract

The article deals with the impact of transformation of professional competencies on energy efficiency of the structural divisions of railway transport. The analysis of existing trends in the development of professional competencies in the field of energy saving and energy efficiency

improvement in the context of active digital transformation is carried out, as a result of which the authors focus on additional professional education.

Approaches to the quantitative and qualitative assessment of the impact of competence transformation on energy efficiency are considered, including historical and external benchmarking, as well as cluster analysis, and their advantages and disadvantages are described. An enlarged algorithm for evaluating the energy efficiency of enterprises is formed, taking into account the transformation of competencies. As initial data, the authors consider the energy

efficiency indicators of structural divisions in relation to production and climate factors and the results of a survey of specialists.

It is concluded that it is necessary to apply a comprehensive approach to assessing the transformation of competencies, which will effectively solve management tasks in this area, depending on the specifics of economic activity of a structural unit, the relative level of its energy intensity and other technological and socio-economic conditions.

Keywords: railway transport, staff, fuel and energy resources, energy efficiency.

DOI: 10.20291/2079-0392-2021-2-57-66

В ОАО «РЖД» реализуется программа энергосбережения и повышения энергоэффективности, в соответствии с которой на железнодорожном транспорте ежегодно внедряются ресурсосберегающие технологии. За 2016–2020 гг. энергетический эффект от реализации программ энергосбережения превысил 23613 ТДж, что привело к снижению энергоёмкости на 4,6 % (рис. 1).

Необходимость интенсификации деятельности по энергосбережению на железнодорожном транспорте подтверждается глобальным мировым экологическим трендом. В настоящее время инвестиционная привлекательность предприятия во многом определяется его низким углеродным следом, минимальным негативным воздействием на окружающую среду. С 2013 г. «...рынок «зеленых», социальных облигаций

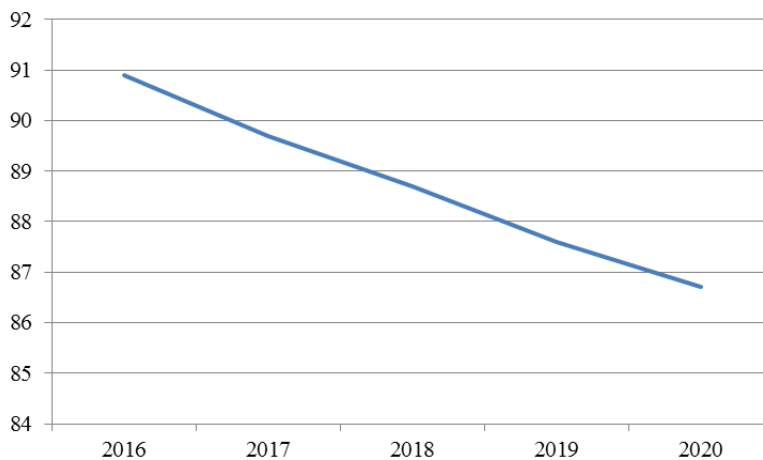


Рис. 1. Динамика энергоёмкости производственной деятельности ОАО «РЖД» в период 2016–2020 гг., кДж/прив. т · км нетто

и облигаций «устойчивого развития» в мире вырос в 25 раз и в 2019 г. достиг уровня почти в 300 млрд долларов». «ОАО «РЖД» первыми из компаний России и СНГ ... выпустили «зеленые» евробонды на 500 млн евро и 250 млн швейцарских франков...» [1].

Эффективность внедрения инновационных энергосберегающих технологий, применения грамотных управленческих решений в области энергосбережения особенно с учетом активной цифровой трансформации железнодорожной отрасли зависит от профессиональных компетенций руководителей и специалистов структурных подразделений и филиалов ОАО «РЖД».

Профессиональные компетенции авторы рассматривают как системную совокупность знаний, профессиональных навыков, умений и трудовых ценностей, формирующую определенное мышление и трудовое поведение работников в сфере обеспечения энергоэффективности и энергосбережения.

Профессиональные компетенции содержат определенные требования к работнику в области энергосберегающего мышления и трудового поведения, в частности, в виде совокупности нормативной, профессиональной, информационно-коммуникационной, цифровой грамотности. Развитие инновационных технологий актуализирует вопрос трансформации профессиональных компетенций с акцентом на энергоэффективность и энергосбережение предприятий железнодорожного транспорта.

Здесь наблюдается ряд взаимосвязанных тенденций.

В учебных планах отраслевых высших учебных заведений при подготовке специалистов, бакалавров и магистров для нужд железнодорожного транспорта недостаточное внимание уделяется вопросам энерго- и ресурсосбережения [2] даже для таких энергозначимых направлений и специальностей, как «Подвижной состав электрических железных дорог», «Электро- и теплотехника», «Электроснабжение железных дорог».

Нет профессионального стандарта специалиста по энергосбережению на железнодорожном транспорте, хотя для других отраслей (например, строительство, эксплуатация зданий и сооружений) такие нормативные документы разработаны.

Значительная часть работников имеет устаревшие профессиональные компетенции и в силу объективных социально-психологических причин сопротивляется внедрению новых энергосберегающих технических средств и технологий. Кроме того, проводимые параллельно социальные реформы, в частности, пенсионная реформа по продлению трудоспособного возраста, удерживают на рынке труда старшее поколение, у которого в большинстве своем консервативное отношение к инновационным преобразованиям и устарели профессиональные компетенции; предприятиям же необходимы новые знания и навыки.

В связи с изменениями в законодательстве в сфере энерго- и ресурсосбережения ряд функций, которые ранее возлагались на сторонние организации, оказывающие услуги на договорной основе (например, энергетическое обследование объектов железнодорожного транспорта), в настоящее время выполняются силами специалистов ОАО «РЖД», что, безусловно, требует улучшения их профессиональных навыков.

Значит, эффективным методом трансформации компетенций персонала становится дополнительное профессиональное образование в форме программ повышения квалификации.

С 2019 г. Департамент технической политики ОАО «РЖД» реализует на базе Корпоративного университета ОАО «РЖД» и Омского государственного университета путей сообщения программу комплексной трансформации компетенций персонала по тематикам, связанным с энергетическим обследованием объектов железнодорожного транспорта, повышением энергоэффективности зданий и сооружений, систем тепло-, водоснабжения, тяги поездов, управлением

энергоэффективностью структурных подразделений на основе систем энергоменеджмента. Наибольшее количество слушателей приходится на полигон Московской, Северо-Кавказской

и Октябрьской железных дорог, а в контексте хозяйственной принадлежности – на региональные дирекции тепловодоснабжения (рис. 2, 3). В целом обучение прошли около 400 человек,

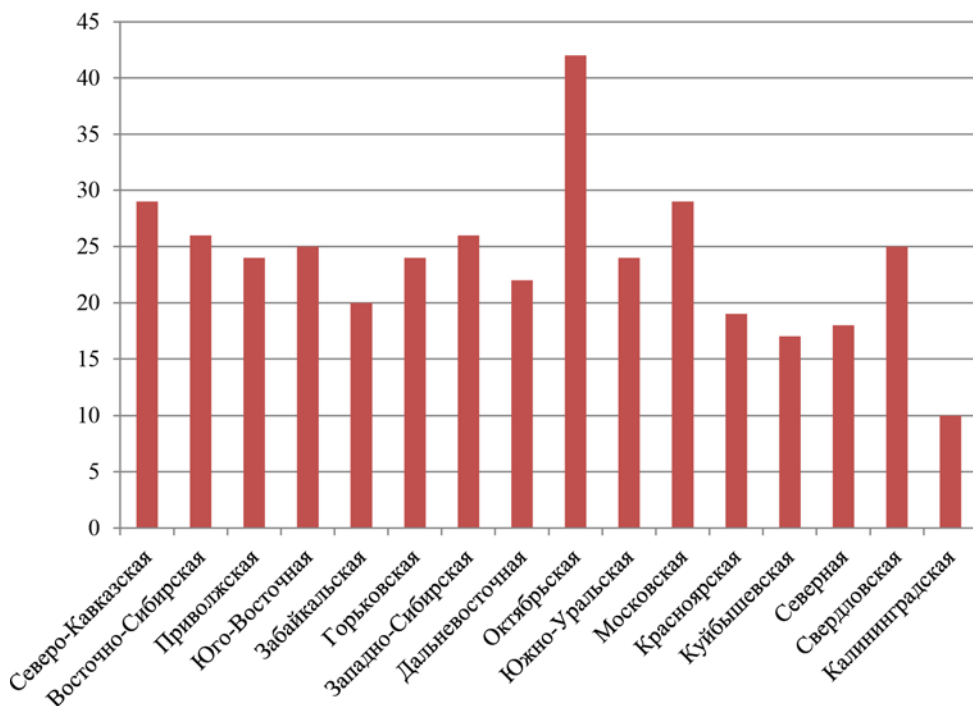


Рис. 2. Распределение слушателей программ повышения квалификации в области энергосбережения по полигонам железных дорог, чел.

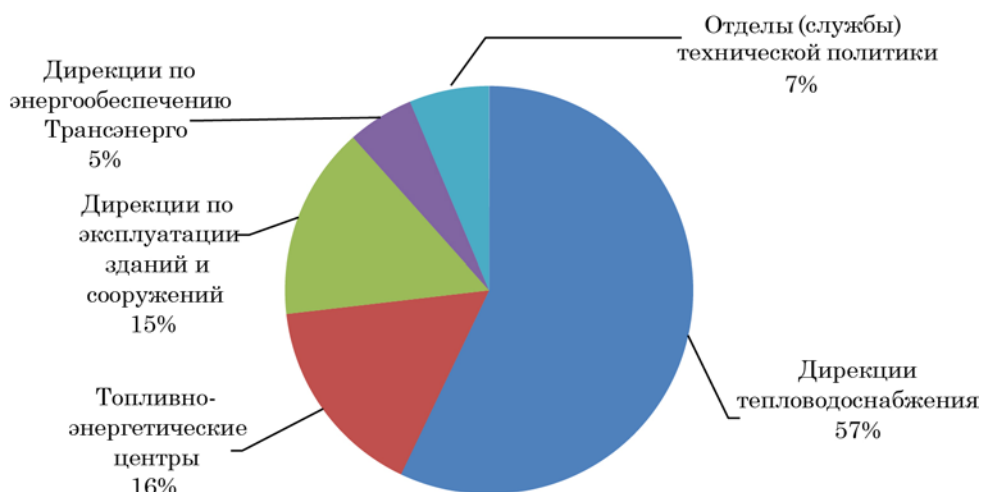


Рис. 3. Распределение слушателей программ повышения квалификации в области энергосбережения по филиалам ОАО «РЖД»

а в 2021 году запланировано обучение еще 300 человек.

Вопросы трансформации компетенций и их влияние на производственный процесс предприятий широко исследованы в трудах Т. А. Медведевой, Е. В. Неходы [3, 4] и других отечественных и зарубежных ученых [5, 6]. В работах В. В. Цыганова [7–9] рассматриваются вопросы управления энергетической эффективностью предприятий железнодорожного транспорта за счет повышения заинтересованности персонала и развития механизма наставничества. Известны также работы, направленные на оценку энергетической эффективности внедряемых ресурсосберегающих технологий [10, 11].

Однако в настоящее время недостаточно исследованным остается вопрос влияния человеческого фактора на энергоэффективность, в частности, роли профессиональных компетенций персонала в повышении энергоэффективности предприятий железнодорожного транспорта.

Для оценки фактически достигнутого энергетического и экономического эффекта от трансформации компетенций персонала авторы рассматривают несколько подходов.

Исторический бенчмаркинг. Здесь сравниваются показатели энергетической эффективности структурного подразделения за различные периоды, например, базовый – до обучения персонала и отчетный – после обучения. Сложность состоит в том, что на показатели энергетической эффективности влияет множество производственных, климатических и иных факторов, поэтому сравнение должно осуществляться в сопоставимых условиях. В связи с активным развитием цифровых технологий на железнодорожном транспорте [12] указанная задача может быть решена на основе анализа «больших данных» о показателях энергоэффективности и соответствующих им значениях влияющих факторов.

Укрупненный алгоритм оценки эффективности обучения персонала

методом исторического бенчмаркинга представлен на рис. 4.

Предложенный алгоритм можно условно разделить на три этапа. На первом создается математическая модель, описывающая зависимость между показателями энергоэффективности и принятыми к рассмотрению влияющими факторами в период до обучения персонала. Эта модель может быть создана как на основе регрессионного анализа, так и с применением методов машинного обучения [13]. На втором этапе показатели энергоэффективности базового периода приводятся к сопоставимым условиям отчетного периода (после обучения персонала). За счет этого устраняется влияние рассмотренных факторов на показатели энергоэффективности. На третьем этапе полученные выборки сравниваются статистическими методами. При этом рекомендуется применять параметрические или непараметрические критерии в зависимости от закона распределения этих выборок.

Для более полной оценки целесообразно использовать несколько критериев:

– для оценки смещения математического ожидания выборок – критерий Крамера – Уэлча:

$$T_{\text{набл}} = \frac{\sqrt{mn}(\bar{x} - \bar{y})}{\sqrt{nS_x^2 + mS_y^2}}, \quad (1)$$

где m, n – объем выборок значений показателей энергоэффективности за скорректированный базовый и отчетный периоды соответственно; \bar{x}, \bar{y} – их выборочные средние значения; S_x^2, S_y^2 – их выборочные дисперсии;

– для оценки изменения частоты выборок – критерий Вилкоксона:

$$Z = \frac{W - \frac{1}{2}nm}{\sqrt{\frac{1}{12}nm(n + m + 1)}}, \quad (2)$$

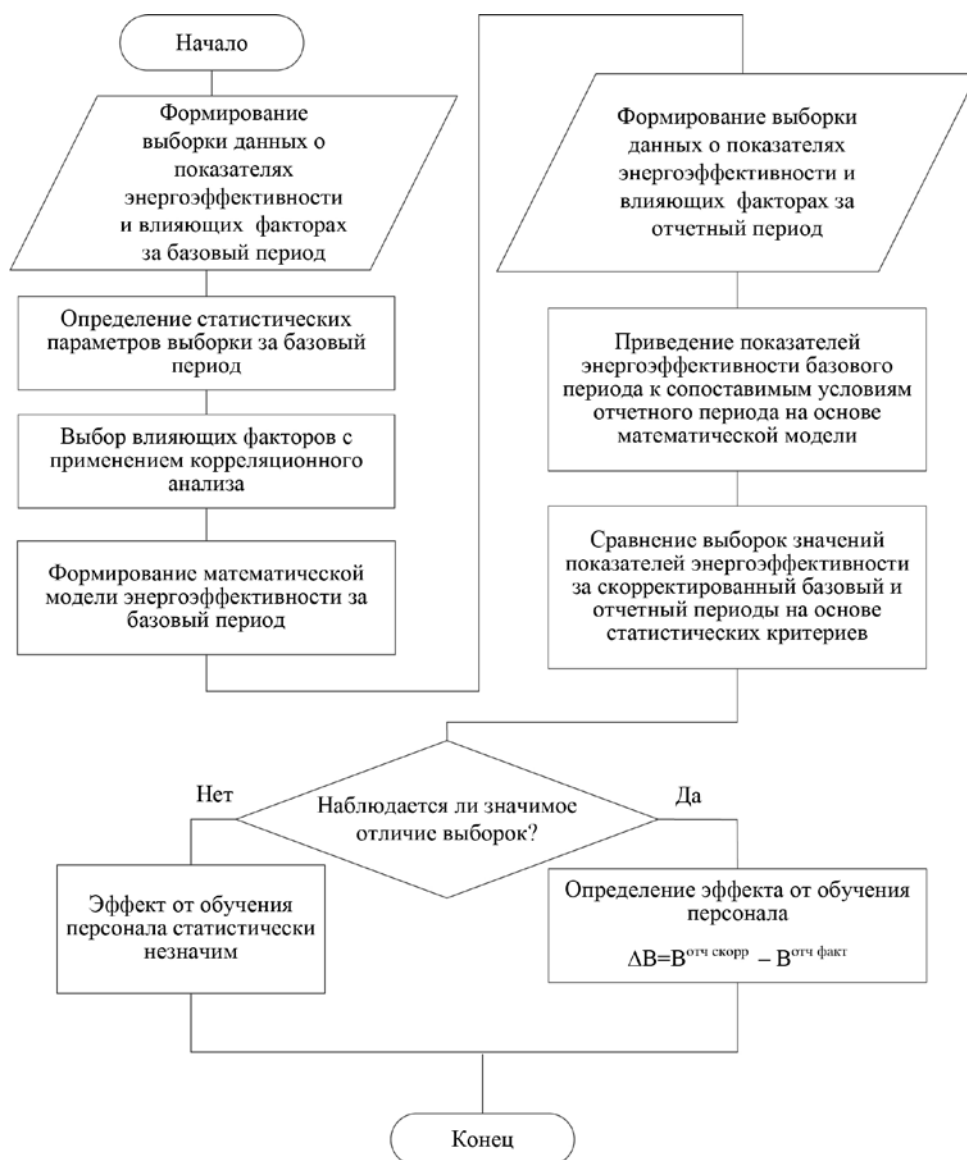


Рис. 4. Укрупненный алгоритм оценки эффективности обучения персонала методом исторического бенчмаркинга (составлен авторами)

$$\begin{cases} w_1 = nm + \frac{n(n+1)}{2} - R_1; \\ w_2 = nm + \frac{m(m+1)}{2} - R_2; \\ W = \min(w_1, w_2). \end{cases} \quad (3)$$

где R_1, R_2 – сумма рангов выборок за скорректированный базовый и отчетный периоды соответственно;

– для оценки изменения СКО выборки – критерий Лемана – Розенблатта:

$$A_{\text{набл}} = \frac{1}{mn(m+n)} \times \left(m \sum_{i=1}^m (r_i - i)^2 + n \sum_{j=1}^n (s_j - j)^2 \right) - \frac{4mn - 1}{6(m+n)}, \quad (4)$$

Для расчета наблюдаемого значения критерия необходимо сформировать из выборок за скорректированный базовый и отчетный периоды общую выборку и ранжировать ее элементы. В этом случае r_i и s_j будут являться рангами x'_i и y'_j в общей выборке.

В качестве недостатков метода исторического бенчмаркинга авторы отмечают следующие.

Применение статистического подхода предполагает допущение, что расхождение между скорректированной базовой и отчетной выборкой показателей энергоэффективности обусловлено трансформацией компетенций персонала, однако оно может быть также связано с влиянием неучтенных факторов и погрешностей математической модели.

Применение метода затруднительно в том случае, когда ожидаемый эффект от трансформации компетенций незначителен и сопоставим со случайными изменениями показателей энергоэффективности.

Внешний бенчмаркинг. В данном случае предлагается сравнивать выборки показателей энергоэффективности различных структурных подразделений единой хозяйственной принадлежности, одни из которых осуществляли трансформацию компетенций персонала, а другие нет. Целесообразным представляется сравнение не абсолютных показателей энергоэффективности, а их относительных изменений. Такой подход предполагает приведение условий базового структурного подразделения (не осуществляющего трансформацию компетенций) к сопоставимым условиям рассматриваемого структурного подразделения, осуществляющего трансформацию компетенций.

Недостатки – те же, что и у исторического бенчмаркинга, однако они могут быть частично нивелированы за счет использования выборок большего объема для различных структурных подразделений.

Кластерный анализ. Здесь предполагается кластеризация (классификация)

структурных подразделений в зависимости от показателей их энергоэффективности [14]. Эффект от трансформации компетенций персонала подтверждается в результате перемещении структурного подразделения в кластер с более высокой энергоэффективностью. Преимущество кластерного анализа заключается в возможности оценки влияния тех или иных приобретенных компетенций на энергосберегающую деятельность, однако такой подход требует проведения анкетирования работников. Результативность применения предлагаемых подходов во многом определяется качеством и объемом исходных данных (к концу 2021 г. количество специалистов ОАО «РЖД», обученных по программам повышения квалификации в области энергосбережения, составит около 700 чел., что представляется репрезентативной выборкой). Но кластерный анализ не дает ответ на вопрос о численном значении фактически достигнутой экономии энергоресурсов в результате трансформации компетенций персонала.

Целесообразным является комплексное применение рассмотренных подходов для решения поставленной задачи. Это связано с тем, что трансформация профессиональных компетенций представляет собой длительный и многоаспектный процесс, приводящий к коренному переустройству вовлеченных в нее людей, коллективов, технологий, процессов, предприятий. Новые профессиональные компетенции должны включать знания, навыки и умения в области энергосбережения и энергоэффективного трудового поведения на предприятии в рамках выполнения профессиональных задач. Для определения вектора трансформации этой системы следует максимально подробно учесть особенности процесса энергопотребления предприятий железнодорожного транспорта в современных условиях.

Объективная оценка влияния трансформации компетенций персонала на энергетическую эффективность предприятий железнодорожного транспорта

позволит эффективно решать управленческие задачи в указанной сфере в зависимости от специфики хозяйственной деятельности структурного подразделения, относительного уровня его энергоёмкости и других технологических и социально-экономических условий.

Выводы

1. Выполненный в работе анализ публикаций отечественных и зарубежных ученых показал, что в настоящее время недостаточно исследованным остается вопрос влияния человеческого фактора на энергоэффективность, в частности, роли профессиональных компетенций персонала в повышении энергоэффективности предприятий железнодорожного транспорта.

2. В работе предложен комплексный подход к оценке влияния трансформации компетенций на энергоэффективность предприятий транспортной отрасли, который включает применение исторического и внешнего бенчмаркинга для

количественной оценки и кластерного анализа – для качественной.

3. Установлено, что бенчмаркинг показателей энергоэффективности целесообразно осуществлять на основе статистического подхода, предполагающего приведение показателей энергоэффективности за базовый период к сопоставимым условиям отчетного периода и их сравнение с применением параметрических или непараметрических критериев.

4. Авторы полагают, что в результате применения предложенного комплексного подхода к оценке влияния трансформации компетенций на энергетические показатели производственной деятельности повышается эффективность управленческих решений в части формирования учебных программ и учебных групп дополнительного профессионального образования, дифференцирования предприятий, для которых рекомендуется трансформация компетенций, планирования реализации программы энергосбережения и повышения энергоэффективности ОАО «РЖД». ■

Литература

1. «Зелёные бесы» на железной дороге. Экологическая повестка добралась до денег и технологий РЖД. URL <https://vgudok.com/lenta/zelyonye-besy-na-zheleznoy-doroge-ekologicheskaya-povestka-dobralas-do-deneg-i-tehnologiy-rzhhd> (дата обращения: 30.04.2021).
2. Черемисин В. Т. О роли дополнительного профессионального образования в подготовке специалистов в области энергосбережения и повышения энергетической эффективности / В. Т. Черемисин, А. А. Комяков // Повышение энергоэффективности объектов энергетики и систем теплоснабжения : М-лы Всеросс. научн.-техн. конф. с междунар. участием / Омский гос. ун-т путей сообщения. – Омск, 2017. С. 18–22.
3. Медведева Т. А. Исследование процессов трансформации социально-трудовых отношений на основе расширенного системного подхода // Вестник НГУ. Сер. : Социально-экономические науки. – 2013. – № 13/4. – С. 172–180. ISSN 1818-7862.
4. Нехода Е. В. Трансформация труда и социально-трудовых отношений в условиях перехода к постиндустриальному обществу // Вестник Томского государственного университета. – 2007. – № 302. – С. 160–166. ISSN 1561-7793.
5. Легчилина Е. Ю. Системно-аксиологический подход к трансформации социально-трудовых отношений / Е. Ю. Легчилина, С. Н. Апенько // Вестник Омского университета. Сер. : Экономика. – 2018. №3(63). С. 90–100. ISSN 2226-3977.
6. Chahestani F. J. Predictive of organizational efficiency based on the quality of working life and personality traits among employees Hormozgan Province Gas Company / F. J. Chahestani, A. Fazel, S.A. Mirjafari // Indian Journal of Positive Psychology. 2016. Vol. 7 (3). P. 287–291. ISSN 2322-6307.
7. Цыганов В. В., Басыров С. К. Структуры и механизмы внедрения средств и технологий энергоэффективности на железнодорожном транспорте / Труды 6-й конференции «Интеллектуальные системы управления на железнодорожном транспорте. Компьютерное и математическое моделирование». – М. : ОАО НИИАС. 2017. С. 185–190.

8. Цыганов В. В., Федянин Д. Н. Механизмы наставничества в организационных системах и повышение энергоэффективности железнодорожного транспорта // Вестник УрГУПС. 2019. № 3 (43). С. 55–66. ISSN 2079-0392.
9. Цыганов В. В., Роцин А. А. Самообучение ранжированию предприятия железнодорожного транспорта по энергоэффективности // Вестник УрГУПС. 2020. № 2 (46). С. 69–80. ISSN 2079-0392.
10. Комяков А. А. Разработка методов оценки эффективности мероприятий по организации ресурсосберегающих производственных систем железнодорожного транспорта // Вестник РГУПС. – 2020. – Вестник РГУПС. – 2020. – № 2. – С. 8–14. ISSN 0201-727X.
11. Туликова О. В. Чем измерить экономию? // Энергоэффективность и энергосбережение. – 2012. – № 5. – С. 14–17. ISSN 1609-7505.
12. Лакин И. И. Многофакторный анализ статистической информации с использованием методов теории нечетких множеств // Известия Транссиба. 2020. – № 3 (43). – С. 20–27. ISSN 2220-4245.
13. Cheremisin V. T. Nonparametric statistical approach to evaluating the effectiveness of energy-saving devices / V. T. Cheremisin, V. V. Erbes, A. A. Komyakov // Environment and Electrical Engineering (EEEEIC) : 14th International Conference, Krakow, 10–12 May, 2014. – Pp. 58–60.
14. Марченко Е. М., Белова Т. Д. Кластеризация регионов с учетом показателей энергоэффективности. URL: <https://cyberleninka.ru/article/n/klasterizatsiya-regionov-s-uchetom-pokazateley-energoeffektivnosti> (дата обращения: 12.05.2021).

Literature

1. «Green demons» on the railway. The environmental agenda has reached the money and technology of the Russian Railways. [«Zelyonye besy» na zheleznoj doroge. EHkologicheskaya povestka dobralas' do deneg i tekhnologij RZHD] URL <https://vgudok.com/lenta/zelyonye-besy-na-zheleznoj-doroge-ekologicheskaya-povestka-dobralas-do-deneg-i-tehnologiy-rzhd> (reference date: 30.04.2021).
2. Cheremisin V. T. On the role of additional professional education in the training of specialists in the field of energy saving and energy efficiency improvement / V. T. Cheremisin, A. A. Komyakov // Improving the energy efficiency of energy facilities and heat supply systems: Materials of All-Russian science-to-practice conference with international participation / Omsk State University of Railway Transport. [O roli dopolnitelnogo professional'nogo obrazovaniya v podgotovke spetsialistov v oblasti ehnergoberezheniya i povysheniya ehnergeticheskoy ehffektivnosti / V. T. Cheremisin, A. A. Komyakov // Povyshenie ehnergoehffektivnosti ob'ektov ehnergetiki i sistem teplosnabzheniya : Materialy Vserossijskoj nauchno-tekhnicheskoy konferentsii s mezhdunarodnym uchastiem / Omskij gosudarstvennyj universitet putej soobshheniya]. Omsk, 2017. Pp. 18–22.
3. Medvedeva T. A. Research of transformation processes of social and labour relations on the basis of an extended system approach // News-bulletin of NSU. Ser. : Socio-economic sciences. [Issledovanie protsessov transformatsii sotsial'no-trudovykh otnoshenij na osnove rasshirennogo sistemnogo podkhoda // Vestnik NGU. Ser. : Sotsial'no-ehkonomicheskie nauki.]. 2013. № 13/4. Pp. 172–180. ISSN 1818-7862.
4. Nekhoda E. V. Transformation of labour and social-and-labour relations in the conditions of transition to a post-industrial society // News-bulletin of Tomsk State University. [Transformatsiya truda i sotsial'no-trudovykh otnoshenij v usloviyakh perekhoda k postindustrial'nomu obshhestvu // Vestnik Tomskogo gosudarstvennogo universiteta]. 2007. № 302. Pp. 160–166. ISSN 1561-7793.
5. Legchilina E. Yu. System-axiological approach to the transformation of social and labour relations / E. Yu. Legchilina, S. N. Apen'ko // News-bulletin of Omsk University. Ser.: Economics. [Sistemno-aksiologicheskij podkhod k transformatsii sotsial'no-trudovykh otnoshenij / E. YU. Legchilina, S. N. Apen'ko // Vestnik Omskogo universiteta. Ser. : Ehkonomika]. 2018. № 3 (63). Pp. 90–100. ISSN 2226-3977.
6. Chahestani F. J. Predictive of organizational efficiency based on the quality of working life and personality traits among employees Hormozgan Province Gas Company / F. J. Chahestani, A. Fazel, S.A. Mirjafari // Indian Journal of Positive Psychology. 2016. Vol. 7 (3). P. 287–291. ISSN 2322-6307.

7. Tsyganov V. V., Basyrov S. K. Structures and mechanisms of implementation of energy efficiency tools and technologies in railway transport / Proceedings of the 6th Conference «Intelligent Control Systems in Railway Transport. Computer and mathematical modelling». – M. : JSC NIIAS. [Struktury i mekhanizmy vnedreniya sredstv i tekhnologij ehnergoehffektivnosti na zheleznodorozhnom transporte [Trudy 6-j konferentsii «Intellektual'nye sistemy upravleniya na zheleznodorozhnom transporte. Komp'yuternoe i matematicheskoe modelirovanie». – M. : OAO NIIAS]. 2017. Pp. 185–190.
8. Tsyganov V. V., Fedyanin D. N. Mentoring mechanisms in organizational systems and improving energy efficiency of railway transport // Herald of USURT. [Mekhanizmy nastavnichestva v organizatsionnykh sistemakh i povyshenie ehnergoehffektivnosti zheleznodorozhnogo transporta // Vestnik UrGUPS]. 2019. № 3 (43). Pp. 55–66. ISSN 2079-0392.
9. Tsyganov V. V., Roshchin A. A. Self-training in ranking railway transport enterprises by energy efficiency // Herald of USURT. [Samoobuchenie ranzhirovaniyu predpriyatiya zheleznodorozhnogo transporta po ehnergoehffektivnosti // Vestnik UrGUPS]. 2020. № 2 (46). Pp. 69–80. ISSN 2079-0392.
10. Komyakov A. A. Development of methods for evaluating the effectiveness of measures for organizing resource-saving production systems of railway transport // News-bulletin of Rostov State Transport University. – 2020. – News-bulletin of Rostov State Transport University. [Razrabotka metodov otsenki ehffektivnosti meropriyatij po organizatsii resursosberegayushhikh proizvodstvennykh sistem zheleznodorozhnogo transporta // Vestnik RGUPS. – 2020. – Vestnik RGUPS]. 2020. № 2. Pp. 8–14. ISSN 0201-727X .
11. Tulikova O. V. How to measure savings? // Energy efficiency and energy saving. [Chem izmerit' ehkonomiyu? // Ehnergoehffektivnost' i ehnergosberezhenie]. 2012. № 5. Pp. 14–17. ISSN 1609-7505.
12. Lakin I. I. Multivariate analysis of statistical data using methods of the theory of fuzzy sets // News-bulletin of Transsib. [Mnogofaktornyj analiz statisticheskoy informatsii s ispol'zovaniem metodov teorii nechetkikh mnozhestv // Izvestiya Transsib] 2020. – № 3 (43). – Pp. 20–27. ISSN 2220-4245.
13. Cheremisin V. T. Nonparametric statistical approach to evaluating the effectiveness of energy-saving devices / V. T. Cheremisin, V. V. Erbes, A. A. Komyakov // Environment and Electrical Engineering (EEEIC): 14th International Conference, Krakow, 10–12 May, 2014. – Pp. 58–60.
14. Marchenko E. M., Belova T. D. Clustering of regions taking into account energy efficiency indicators. [Klasterizatsiya regionov s uchedom pokazatelej ehnergoehffektivnosti] URL: <https://cyberleninka.ru/article/n/klasterizatsiya-regionov-s-uchedom-pokazateley-ehnergoehffektivnosti> (reference date: 12.05.2021).

Статья сдана в редакцию 13 мая 2021 года

П. И. Тарасов, М. Л. Хазин, О. В. Голубев

Эволюция карьерного автотранспорта

P. I. Tarasov, M. L. Khazin, O. V. Golubev

The evolution of quarry vehicles

Аннотация

Рассматривается возможность применения карьерной техники при строительстве земляного полотна. Стабильное земляное полотно является основой железнодорожного пути, для его строительства обычно используют скальные, глинистые грунты или осадочные массивы. В процессе строительства земляного полотна применяют тяжелую авто- и спецтехнику (катки, экскаваторы, бульдозеры и т. д. Горные и дорожно-строительные работы, несмотря на их разнообразие, состоят из многократно повторяющихся одинаковых операций: копанье земляной (горной) массы, ее погрузка и транспортировка, выгрузка в отвал или укладка. Для производства этих работ используется одногидридная техника: экскаваторы, бульдозеры, скреперы, автогрейдеры и автосамосвалы.

Большинство новых разведанных месторождений находится в северных территориях России, поэтому здесь велика вероятность развертывания интенсивного строительства железных и автодорог. Строительство транспортных магистралей является наиболее материалоёмкой областью по использованию нерудных материалов и связано с перемещением значительных объемов земляной массы. Кроме того, стоимость выполнения земляных работ достаточно существенна, поэтому правильный выбор метода и средств механизации этих работ является необходимым условием их успешного выполнения.

Для строительства транспортных коридоров в условиях слабонесущих грунтов и бездорожья арктических и северных территорий России предлагается разрабо-

тать новые виды транспортных средств на базе большегрузной карьерной автотехники БелАЗ, позволяющей строить насыпи для авто- и железных дорог высотой до 10 м (а в исключительных случаях и более).

При строительстве транспортных магистралей и, по возможности, сохранении окружающей среды, большое значение приобретает снижение себестоимости транспортировки земляной массы за счет сокращения расхода горюче-смазочных материалов, которые составляют 15–25 % общих затрат на эксплуатацию мощного внедорожного автотранспорта.

Ключевые слова: строительство пути, карьерный автосамосвал, дорожно-строительный автосамосвал, автопоезд, экология.

DOI: 10.20291/2079-0392-2021-2-67-74

Статья рекомендована к опубликованию д-ром техн. наук, профессором Уральского государственного университета путей сообщения Д. Г. Неволиным. E-mail: nevolin@usurt.ru.

Петр Иванович Тарасов, канд. техн. наук; заместитель директора по научной работе ООО «Перспектива-М»; Екатеринбург, Россия. E-mail: petr.tarasov95@mail.ru. ORCID 0000-0001-9369-1936.

Марк Леонтьевич Хазин, д-р техн. наук, профессор; кафедра эксплуатации горного оборудования Уральского государственного горного университета; Екатеринбург, Россия. E-mail: khasin@ursmu.ru. ORCID 0000-0002-6081-4474.

Олег Ведмирович Голубев, канд. техн. наук; кафедра «Путь и железнодорожное строительство» Уральского государственного университета путей сообщения; Екатеринбург, Россия. E-mail: golubev@usurt.ru. ORCID 0000-0002-6287-4972.

The article is recommended for publishing by D. G. Nevolin, Doctor of Technical Science, Professor of the Ural State University of Railway Transport. E-mail: nevolin@usurt.ru.

Pyootr Ivanovich Tarasov, Candidate of Technical Science; Deputy Director for Research at Perspektiva-M LLC; Yekaterinburg, Russia. E-mail: petr.tarasov95@mail.ru ORCID 0000-0001-9369-1936.

Mark Leontievich Khazin, Doctor of Technical Science, Professor; Chair of Mining Equipment Operation, the Ural State Mining University; Yekaterinburg, Russia. E-mail: khasin@ursmu.ru. ORCID 0000-0002-6081-4474.

Oleg Vedimirovich Golubev, Candidate of Technical Science; Chair of "Road and Railway Construction" of the Ural State University of Railway Transport; Yekaterinburg, Russia. E-mail: golubev@usurt.ru. ORCID 0000-0002-6287-4972.

Abstract

The article considers the possibility of using quarry technology in the construction of a roadbed. Stable roadbed is the basis of a railway track, for its construction rocky, clay soils or sedimentary massifs are usually used. During the construction of the roadbed, heavy vehicles and special equipment (ice rinks, excavators, bulldozers, etc.) are used. Mining and road construction works, despite their diversity, consist of repeated identical operations: digging of the earth (mountain) mass, its loading and transportation, unloading into the dump or laying. For the production of these works, the same type of equipment is used: excavators, bulldozers, scrapers, graders and dump trucks.

Most of the newly discovered explored deposits are located in the northern territories of Russia, so there is a high probability of launching intensive construction of railways and roads. The construction of transport highways is the most material-intensive area for the use of non-metallic materials and is associated with the movement of significant volumes of earth mass. In addition, the cost of performing earthworks is quite significant, so the correct choice of the method and means of mechanization of these works is a necessary condition for their successful implementation.

For the construction of transport corridors under conditions of low-load soils and off-road conditions of the Arctic and northern territories

of Russia, it is proposed to develop new types of vehicles based on BelAZ heavy duty quarry vehicles, which allow building embankments for roads and railways up to 10 m high (and in exceptional cases even more).

When building transport highways and, if possible, preserving the environment, it is of great importance to reduce the cost of transporting earthen mass by reducing the consumption of fuel and lubricants, which account for 15–25 % of the total cost of operating powerful off-road vehicles.

Keywords: track construction, quarry dump truck, road construction dump truck, road train, ecology.

DOI: 10.20291/2079-0392-2021-2-67-74

При строительстве земляного полотна применяют тяжелую авто- и спецтехнику: катки, экскаваторы, бульдозеры, скреперы, автогрейдеры и автосамосвалы. Эта техника применяется в сельском хозяйстве, горной промышленности, при строительстве плотин и создании коммуникаций [1].

Строительство новых транспортных магистралей идет в условиях бездорожья, когда нельзя использовать обычные дорожно-строительные автосамосвалы, здесь нужна специализированная и внедорожная техника.

Первый вариант карьерного самосвала, т. е. грузовика, предназначенного для определенного применения, а не для выполнения различных задач, разработан в Кливленде (штат Огайо, США, фирма Euclid Road Machinery) в 1930 г. Карьерный самосвал грузоподъемностью 8 т не был рассчитан на работу в условиях запыленности или зимой (кабина водителя не имела дверей, рис. 1, а), но отличался от обычных грузовиков ковшовым кузовом с задней разгрузкой, повышенной проходимостью,

козырьком, защищающим водительскую кабину от сыпучих грузов, увеличенным диаметром задних ведущих колес с грунтозацепами.

Три года спустя фирма разработала самосвал грузоподъемностью 11 т. Задние колёса с малоудобными грунтозацепами были заменены сдвоенными шинами с крупным протектором (как у используемых в то время тракторов (рис. 1, б)), а для подъема кузова использовали гидропривод. Достаточно высокая маневренность самосвала обеспечивалась большим углом поворота передних колес и относительно короткой базой. Кроме того, самосвал уже соответствовал большинству требований комфорта и безопасности (наличие дверей кабины, стеклоочистителей и др. приспособления).

Практически в это же время в СССР при разработке гравийных и песчаных месторождений начали применять бортовые грузовики с ручной разгрузкой и самосвалы грузоподъемностью до 3 т, а в конце 40-х гг. карьерный автотранспорт уже широко использовался



а) Euclid, 1930 г.



б) Euclid Trac-Truk, 1933 г.

Рис. 1. Первые модели карьерных грузовиков грузоподъемностью 8 т (а) и 11 т (б)

при разработке меднорудных карьеров Урала.

В 1936 г. фирма Euclid Road Machinery выпустила следующую модель – самосвал IFD грузоподъемностью 15 т и дизельным двигателем, которая заменила грузовики Mack с бензиновым приводом. Модель IFD получилась настолько удачной, что ее производили практически без изменений до 1954 г., модернизируя только дизельную силовую установку.

В 1938 г. в Японию из США доставили специально изготовленный для нее самосвал White 991, а в 1943 г. был разработан и изготовлен первый собственный японский карьерный дизельный самосвал Isuzu TH10 грузоподъемностью 20 т.

В 1955–1962 гг. ученые Уральского филиала АН СССР под руководством М. В. Васильева провели фундаментальные исследования по определению основных параметров и условий применения автотранспорта на открытых горных работах и установили оптимальный ряд грузоподъемностей двухосных самосвалов: 30, 45, 75, 120, 180 и 190 т, который и взяли за основу при последующей разработке большегрузных самосвалов МАЗ, а затем и БелАЗ.

В 50-е гг. Минский (сейчас Белорусский) автомобильный завод начал производство самосвалов грузоподъемностью 5 т, а затем и 25 т (МАЗ-525), которые широко применялись на открытых горных работах начиная со строительства Соколовско-Сарбайского ГОКа

в 1954 г. В 80-е гг., развивая полученные результаты, ИГД Минчермета СССР совместно с ИГД им. А. А. Скочинского, НАМИ и БелАЗом провел исследования по совершенствованию конструкций большегрузных самосвалов БелАЗ [2].

В Японии в 1951 г. на базе самосвалов Euclid R18 фирма Komatsu разработала карьерный самосвал HD150 грузоподъемностью 15 т, а с 1958 г. его сменил самосвал HD180 грузоподъемностью 18 т с дизельным двигателем Cummins.

В 1955 г. Ральф Х. Кресс сконструировал самосвал Haulpak, который отличался короткой колесной базой и большим углом поворота. Первоначальные версии Haulpak использовались в качестве тракторов для тяги 75-тонных прицепов, а с 1957 г. они стали наиболее популярными самосвалами для горнодобывающей промышленности и послужили основой для разработки следующих моделей. Чуть меньшей популярностью в 50-х гг. пользовались самосвалы фирмы Tournarockers LeTourneau из-за возможности осуществлять крутые повороты, а также потому, что при разгрузке машины их колеса никогда не отрывались от земли.

Автомобильная фирма Autocar (в составе компании White Motor Company) в 1958 г. изготовила трехосный карьерный самосвал грузоподъемностью 55 т и локомотивным дизельным двигателем мощностью 600 л. с. Особенностью модели стало использование новейшей трансмиссии Fuller R-1550 Roadranger

с автоматическим переключением девяти скоростей в зависимости от условий движения.

В 1969 г. фирма Euclid изготовила самосвал грузоподъемностью 110 т, а в 1970 г. фирма Unit Rig & Equipment Co разработала карьерный самосвал Lectra Haul M-200 грузоподъемностью 200 т с электромеханической трансмиссией, совмещенной с 8-цилиндровым локомотивным дизелем мощностью 1650 л. с. В 1974 г. фирма General Motors разработала трёхосный самосвал Terex 33-19 Titan грузоподъемностью 317 т, собственной массой 260 т и с 16-цилиндровым двигателем.

Практически в это же время создан карьерный самосвал БелАЗ-549 грузоподъемностью 75 т тоже с электромеханической трансмиссией. Дизель мощностью 772 кВт питал генератор ГПА-600, вырабатывающий электроэнергию для двух тяговых электродвигателей мощностью по 230 кВт каждый, установленных в ступицах задних ведущих колес. В 90-е гг. БелАЗ выпустил две новые модели карьерных самосвалов. Первая – БелАЗ-7555 грузоподъемностью 55 т, оснащенный пневмогидравлической подвеской колес и гидромеханической трансмиссией (БелАЗ или Allison) с двигателем мощностью 700–730 л. с. (дизель МТУ, Cummins или ЯМЗ). Сюда также относится модернизированный вариант самосвала БелАЗ-7549 грузоподъемностью 80 т, получивший индекс 75492. Вторая модель – БелАЗ-75131 грузоподъемностью 130 т с 16-цилиндровым дизелем Cummins KTA-50C мощностью 1176 кВт и электромеханической трансмиссией permanently-constant тока [2].

В те же годы американская фирма Wabco выпустила трехосный карьерный самосвал Haulpack 3200 грузоподъемностью 200 т с тепловозным дизелем мощностью 2000 л. с. и электромеханической трансмиссией.

В 1995 г. Komatsu Mining Systems (KMS) стала следующей фирмой после General Motors, которая смогла подойти к 300-тонной границе, разработав

модель самосвала 930E грузоподъемностью 270 т. В следующей модели, используя низкопрофильные шины 50/90R57, способные выдержать повышенную нагрузку, удалось повысить грузоподъемность карьерного самосвала до 290 т, а еще через несколько лет была выпущена модель 960E-2/2K грузоподъемностью 327 т, полной массой 580 т и мощностью двигателя 3500 л. с. В этот же период на рынке появились самосвалы Caterpillar 797, Liebherr T 282B и Bucyrus MT6300AC грузоподъемностью 330 т (1998 г.), а затем и БелАЗ-75306 грузоподъемностью 220 т с дизелем Cummins (2002 г.).

В настоящее время выпускаются карьерные самосвалы Caterpillar 797F (2009 г.) и Liebherr T 284 (2012 г.) грузоподъемностью 363 т, Komatsu 980E-4 (2016 г.) и XCMG XDE400 (2015 г.) грузоподъемностью 400 т и БелАЗ-75710 (2013 г.) грузоподъемностью 450 т (на сегодня это самый большой в мире грузозовик).

С 1930-го по 2013-й гг. грузоподъемность карьерных самосвалов увеличилась почти в 56 раз – от 8 до 450 т, а период 1960–2005 гг. характеризуется резким повышением грузоподъемности машин (рис. 2).

Такая тенденция носит мировой характер и экономически оправдана, так как увеличение грузоподъемности самосвала понижает стоимость транспортировки горной массы. Например, повышение грузоподъемности самосвалов от 100 до 300 т понизило стоимость транспортировки на 25 % [6].

В мире не так много заводов, которые выпускают тяжелые карьерные самосвалы. Ведущие фирмы и компании в этой области – Caterpillar, Komatsu, Hitachi-Euclid, Terex, Liebherr и БелАЗ. Мощность дизелей современных карьерных самосвалов в основном не превышает 2000 кВт при грузоподъемности не более 250 т. Особенностью машин большей грузоподъемности является наличие двух двигателей или одного, но более мощного и, как следствие, с увеличенным габаритом самого двигателя,

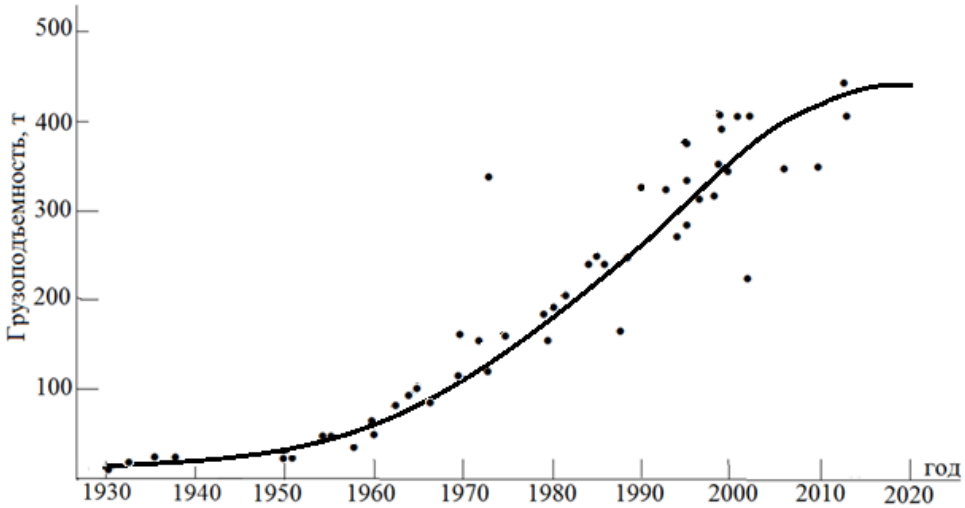


Рис. 2. Изменение грузоподъёмности карьерных самосвалов [3–5]

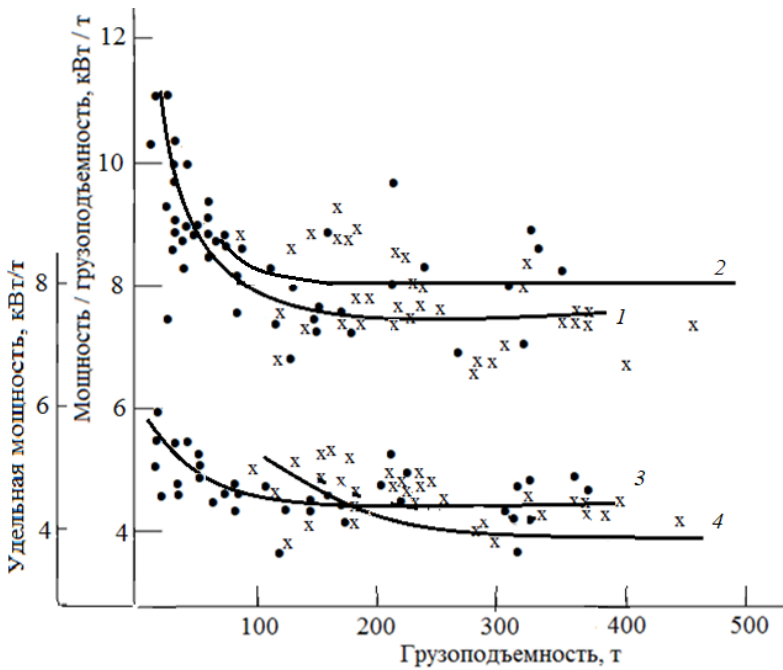


Рис. 3. Изменение отношения удельной мощности 3, 4 и мощности двигателя к грузоподъёмности от грузоподъёмности самосвала 1, 2 с механической 1, 3 и электромеханической 2, 4 трансмиссией

за счет использования большего количества цилиндров [7].

С увеличением грузоподъёмности карьерных самосвалов отношение мощности двигателя к грузоподъёмности

самосвала уменьшается от 11 кВт/т до 7,5 кВт/т (рис. 3).

Уменьшается и удельная мощность (отношение мощности двигателя к полной массе самосвала) от 6,0 до 3,7 кВт/т.

При сравнении карьерных самосвалов грузоподъемностью 240–290 т, выпущенных за последние годы, видно, что их удельная мощность увеличилась от 4,71 кВт / т до 4,93 кВт/т, а отношение мощности к массе порожнего самосвала – от 10,96 кВт/т до 11,92 кВт/т. Новые модели самосвалов способны работать лучше и быстрее, особенно при подъеме [5].

За последние 20 лет достигнуты значительные успехи в технологии производства карьерных самосвалов с электроприводом. Из-за своей дороговизны и ненадежности в эксплуатации двигатели постоянного тока практически перестали использовать в промышленности. Применение асинхронных моторов позволяет снизить удельные объем и массу тяговых электродвигателей, обеспечить более высокую частоту вращения, увеличить максимальную скорость самосвалов и снизить затраты на обслуживание и ремонт [8, 9].

Электротяга также имела свои недостатки, в частности, связанные с перегревом тяговых генераторов и самих электродвигателей. Однако в последних моделях самосвалов тяговые электродвигатели могут работать без перегрева при высоте подъема горной массы более 400 м. К таким моделям можно отнести самосвалы БелАЗ (с электро-механической трансмиссией), которые работают со средней скоростью движения на подъеме с уклоном 8 % 15 км/ч, а самосвалы Cat-785F (с механической трансмиссией) МТ – 12 км/ч [2, 9, 10].

Наиболее целесообразная схема компоновки самосвала – это привод на задние колеса и разгрузка кузова назад. Альтернативные схемы, например, привод на среднюю и переднюю оси, поворотный кузов или кузов с боковой разгрузкой, думперы и другие к карьерной технике не прижились.

Конструкторы карьерного автотранспорта во всём мире работают, в основном, над геометрией кузова, которая в значительной мере определяет распределение нагрузки на оси карьерных самосвалов, надёжностью рамы,

рёбер жёсткости, шарнирных сочленений трансмиссии, выбором материалов кузовной части, повышением ресурса базовых конструкций и компактностью отдельных узлов при сохранении показателей грузоподъёмности, улучшении ходовых и тяговых характеристик, а также систем торможения, защищённостью и комфортностью рабочего места водителя, снижением энергозатрат, системой автоматической диагностики, автоматизацией работы карьерного самосвала, т. е. созданием беспилотного варианта, повышением экологической безопасности [11, 12].

Период повышения грузоподъемности карьерных самосвалов завершился: компоновка основных агрегатов и механизмов на самосвале отработана с расположением всех узлов и систем на жесткой раме. Большинство карьерных самосвалов производства ведущих фирм мира отличаются, в основном, дизайном кабины или оформлением других деталей.

Достоинства карьерного автотранспорта: большая грузоподъемность, высокая проходимость и возможность эксплуатации в самых разных климатических, горно-геологических и дорожных условиях по дорогам со сложным-переменным профилем и большим числом крутых поворотов, по временным дорогам с плохим покрытием. Недостаток карьерного автотранспорта – небольшие расстояния перевозки (от 1 до 5 км). Движение карьерных самосвалов по обычным дорогам недопустимо из-за больших осевых нагрузок и удельных давлений колес на поверхность дороги.

При строительстве транспортных магистралей, связанных с перемещением значительных объемов земляной массы в условиях практического отсутствия дорог по достаточно равнинной местности, использовать классические карьерные автосамосвалы экономически нецелесообразно, а дорожно-строительные технически невозможно. Поэтому необходимо разрабатывать и применять новую автотехнику на базе карьерных

самосвалов [13]. Например, автопоезд позволяет транспортировать горную (земляную) массу на расстояния 140–150–500 км, а его грузоподъемность может регулироваться с помощью подключения дополнительных самосвальных секций. Кроме того, значительно уменьшается удельное давление колес на поверхность дороги при сохранении той же грузоподъемности.

Как правило, для строительства насыпей земляная масса берется из вскрыши карьеров, которые располагаются вдоль трассы, что наносит значительный экологический ущерб окружающей среде. На Кольском полуострове, в Якутии имеются огромные запасы накопленной горной массы в отвалах, которую можно использовать для строительства автомобильных и железных дорог [14]. Это позволит сократить сроки строительства, снизить стоимость

и минимизировать экологический ущерб окружающей среде.

Для строительства транспортных коридоров в условиях слабонесущих грунтов и бездорожья арктических и северных территорий России предлагается разработать новые виды транспортных средств на базе большегрузной карьерной автотехники БелАЗ, позволяющей строить насыпи для авто- и железных дорог.

Применение для строительства насыпей накопленной горной массы, содержащейся в отвалах, позволит существенно сократить сроки строительства и их стоимость, минимизировать экологический ущерб окружающей среде. Кроме того, использование большегрузных карьерных автопоездов обеспечит снижение себестоимости транспортирования земляной массы за счет сокращения расхода горюче-смазочных материалов. ■

Литература

1. Перепелкин М. Л., Мокрицкая Н. И., Ельникова Е. А. Состояние и перспективы развития машин для земляных работ // Горная промышленность. – 2018. – № 6 (142). – С. 70–71.
2. Егоров А. Н. Перспективы развития производства большегрузных автосамосвалов БелАЗ // Горный информационно-аналитический бюллетень (научно-технический журнал). – 2012. – № 11. – С. 121–125.
3. Анисратов К. Ю. Мировые тенденции развития структуры парка карьерной техники // Горная промышленность. – 2011. – № 6. – С. 22–26.
4. Knights P., Franklin D. Autonomous Surface Mining Equipment: Is Bigger Better? // 2017.
5. Humphreys D. Mining productivity and the fourth industrial revolution // Mineral Economics. 2019. P. 1–11.
6. Burmistrov K. V., Osintsev N. A., Shakshakpaev A. N. Selection of Open-Pit Dump Trucks during Quarry Reconstruction // Procedia Engineering. 2017. Vol. 206. P. 1696–1702.
7. Тарасов П. И., Хазин М. Л., Фурзиков В. В. Перспективы применения газотурбинных двигателей в энергосиловых установках карьерных автосамосвалов большой и особо большой грузоподъемности // Горная промышленность. – 2018. – № 1 (137). – С. 49–51.
8. Gao Y., Huai B. C., Ji K., Yuan F. X., Zhu J. Hua B. AC Drive System with Multiphase Induction Motor for High Power Mining Haul Trucks // Applied Mechanics and Materials. Trans Tech Publications. 2014. Vol. 610. P. 117–122.
9. Oda N., Ikari T., Sato T., Kowatar Y. EH-3 Series Dump Trucks Enhanced by Comprehensive Capabilities of Hitachi // Hitachi Review. 2015. Vol. 64. №. 7. P. 399–397.
10. Трухнов Л. И., Насковец А. М. Самосвалы серии БелЛаз-7558 грузоподъемностью 90 т с электромеханической трансмиссией переменного тока // Горная промышленность. – 2016. – № 2 (126). – С. 14–17.
11. Voronov Y., Khoreshok A., Voronov A., Grishin S., Bujankin A. Increase in the Technical Level of Mine Haul Trucks // IOP Conference Series: Materials Science and Engineering. – IOP Publishing. 2017. Vol. 25. №. 1. P. 012006.
12. Dempsey P., Kocher L., Nasarwanji M., Pollard J. P., Whitson A. E. Emerging ergonomics issues and opportunities in mining // International journal of environmental research and public health. 2018. Vol. 15. №. 11. P. 24–49.

13. Тарасов П. И., Хазин М. Л., Тарасов А. П., Мариев П. Л. Автотехника для строительства транспортных коридоров // Горная промышленность. – 2020. – № 6. – С. 132–136.
14. Тарасов П. И., Хазин М. Л., Голубев О. В. Снижение геоэкологической нагрузки горно-перерабатывающей промышленности северных и арктических территорий // Горный информационно-аналитический бюллетень (научно-технический журнал). – 2019. – № 7. – С. 74–82.

Literature

1. Perepelkin M. L., Mokritskaya N. I., Elnikova E. A. State and prospects of development of machines for earthworks // Mining industry. [Sostoyanie i perspektivy razvitiya mashin dlya zemlyanykh rabot // Gornaya promyshlennost']. 2018. – № 6 (142). – P. 70–71.
2. Egorov A. N. Prospects for the development of production of heavy-duty dump trucks BelAZ // Mining information and analytical bulletin (scientific and technical journal). [Perspektivy razvitiya proizvodstva bol'shegruznykh avtosamosvalov BelAZ // Gornyj informatsionno-analiticheskij byulleten' (nauchno-tehnicheskij zhurnal)]. 2012. № 11. – P. 121–125.
3. Anistratov K. Yu. World trends in development of the structure of quarry equipment park // Mining industry. [Mirovye tendentsii razvitiya struktury parka kar'ernoj tekhniki // Gornaya promyshlennost']. 2011. № 6. P. 22–26.
4. Knights P., Franklin D. Autonomous Surface Mining Equipment: Is Bigger Better? / 2017.
5. Humphreys D. Mining productivity and the fourth industrial revolution // Mineral Economics. 2019. P. 1–11.
6. Burmistrov K. V., Osintsev N. A., Shakhshakpaev A. N. Selection of Open-Pit Dump Trucks during Quarry Reconstruction // Procedia Engineering. 2017. Vol. 206. P. 1696–1702.
7. Tarasov P. I., Khazin M. L., Furzikov V. V. Prospects for the use of gas turbine engines in power-generating installations of quarry dump trucks of large and especially large load capacity // Mining industry. [Perspektivy primeneniya gazoturbinykh dvigatelej v ehnergosilovykh ustanovkakh kar'ernykh avtosamosvalov bol'shoj i osobo bol'shoj gruzopod'emnosti // Gornaya promyshlennost']. 2018. – № 1 (137). – Pp. 49–51.
8. Gao Y., Huai B. C., Ji K., Yuan F. X., Zhu J. Hua B. AC Drive System with Multiphase Induction Motor for High Power Mining Haul Trucks // Applied Mechanics and Materials. Trans Tech Publications. 2014. Vol. 610. P. 117–122.
9. Oda N., Ikari T., Sato T., Kowatar Y. EH-3 Series Dump Trucks Enhanced by Comprehensive Capabilities of Hitachi // Hitachi Review. 2015. Vol. 64. № 7. P. 399–397.
10. Trukhnov L. I., Naskovets A. M. Dump Trucks of the BelAZ-7558 series with a load capacity of 90 t with electromechanical transmission of alternating current. [Samosvaly serii BeLaz-7558 gruzopod'emnost'yu 90 t s ehlektromekhanicheskoy transmissiej peremennogo toka // Gornaya promyshlennost']. 2016. – № 2 (126). – Pp. 14–17.
11. Voronov Y., Khoreshok A., Voronov A., Grishin S., Bujankin A. Increase in the Technical Level of Mine Haul Trucks // IOP Conference Series: Materials Science and Engineering. – IOP Publishing. 2017. Vol. 25. № 1. P. 012006.
12. Dempsey P., Kocher L., Nasarwanji M., Pollard J. P., Whitson A. E. Emerging ergonomics issues and opportunities in mining // International journal of environmental research and public health. 2018. Vol. 15. № 11. P. 24–49.
13. Tarasov P. I., Khazin M. L., Tarasov A. P., Mariev P. L. Automotive equipment for construction of transport corridors. [Avtotekhnika dlya stroitel'stva transportnykh koridorov // Gornaya promyshlennost']. 2020. № 6. Pp. 132–136.
14. Tarasov P. I., Khazin M. L., Golubev O. V. Reduction of geoecological load of the mining and processing industry of the northern and Arctic territories // Mining information and analytical bulletin (scientific and technical journal). [Snizhenie geoehkologicheskoy nagruzki gorno-pererabatyvayushhej promyshlennosti severnykh i arkticheskikh territorij // Gornyj informatsionno-analiticheskij byulleten' (nauchno-tehnicheskij zhurnal)]. 2019. № 7. Pp. 74–82.

Статья сдана в редакцию 7 апреля 2021 года

Е. Н. Светлакова, А. В. Светлакова

Совершенствование организации работы локомотивных бригад (на примере участка Петровский Завод – Карымская Забайкальской железной дороги)

E. N. Svetlakova, A. V. Svetlakova

Improvement of organization of work of locomotive crews (using the example of the Petrovsky Plant – Karymskaya section of the Trans-Baikal Railway)

Аннотация

На Забайкальской железной дороге ведется поиск целесообразных участков обращения локомотивных бригад. Короткие плечи ведут к неэффективному использованию локомотивных бригад, а длинные приводят к необходимости смены бригад на промежуточных станциях (не доезжая до пунктов смены). Нужна разработка новых способов оптимизации работы локомотивных бригад.

В статье проанализированы действующие длины плеч на соответствие оптимальным величинам. Установлено, что тяговые плечи оптимальны, а вот плечи обслуживания локомотивных бригад требуют оптимизации. Анализ времени работы локомотивных бригад на действующих плечах показал, что дефицит локомотивов и локомотивных бригад вызван проблемами превышения накладного времени, отменой локомотивных бригад из-за превышения двух часов с момента явки до момента отправления, сменой локомотивных бригад на промежуточных станциях (т.е. не доезжая до пунктов оборота или места жительства). Выявлены основные причины этих проблем и предложены мероприятия, направленные на их решение.

Предлагается применение двух вариантов технологии использования бригад прогрева для выполнения операций между прибытием поезда в пункт смены и отправлением после выполнения всех технологических операций, что позволит сократить накладное время. Технология рассмотрена на примере узловой участковой станции Карымская. Выполнено технико-экономическое сравнение вариантов, доказывающее их целесообразность.

Ключевые слова: тяговые плечи, пункт технического обслуживания локомотивов, плечи обслуживания локомотивных бригад, участковая скорость.

DOI: 10.20291/2079-0392-2021-2-75-84

Abstract

On the Trans-Baikal Railway, the search for appropriate areas for circulation of locomotive crews is underway. Short shoulders lead to inefficient use of locomotive crews, and long ones lead to the need to change crews at intermediate stations (without reaching the shift points). We need to develop new ways to optimize the work of locomotive crews.

The article analyzes the effective shoulder lengths for compliance with the optimal values. It is established that traction shoulders are optimal, but locomotive crew service shoulders require optimization. The analysis of working hours of locomotive crews on active shoulders showed that shortage of locomotives and locomotive crews is caused by problems of exceeding the overhead time, cancellation of locomotive crews due to exceeding two hours from the moment of appearance to the moment of departure, change of locomotive crews at intermediate stations (i.e., not reaching the points of turnover or place of residence). The main causes of these problems are identified and measures aimed at solving them are proposed.

It is proposed to use two variants of technology of using warm-up teams to perform operations between the arrival of a train at the shift point and the departure after all technological operations are completed, which will reduce the overhead time. The technology is considered by the example of the Karymskaya junction station. Technical and economic comparison of the options was carried out, proving their feasibility.

Keywords: traction shoulders, locomotive maintenance point, service shoulders of locomotive crews, sectional speed.

DOI: 10.20291/2079-0392-2021-2-75-84

Статья рекомендована к публикации д-ром техн. наук, профессором Уральского государственного университета путей сообщения А. П. Буйновым. E-mail: ABuinosov@usurt.ru.

Елена Николаевна Светлакова, канд. техн. наук, доцент; кафедра «Управление процессами перевозок» Забайкальского института железнодорожного транспорта Иркутского государственного университета путей сообщения; г. Чита, Россия. E-mail: Svetete75@yandex.ru. ORCID 0000-0003-1455-391X.

Анастасия Викторовна Светлакова, студент; Забайкальский институт железнодорожного транспорта Иркутского государственного университета путей сообщения; г. Чита, Россия. E-mail: svetlackovanas@yandex.ru. ORCID 0000-0002-1193-5544.

The article is recommended for publishing by A. P. Buynosov, Doctor of Technical Science, Professor of the Ural State University of Railway Transport. E-mail: ABuinosov@usurt.ru.

Elena Nikolaevna Svetlakova, Candidate of Technical Science, Associate Professor; Chair of «Management of Transportation Processes» of the Trans-Baikal Institute of Railway Transport of Irkutsk State University of Railway Transport; Chita, Russia. E-mail: Svetete75@yandex.ru. ORCID 0000-0003-1455-391X.

Anastasia Viktorovna Svetlakova, student; Trans-Baikal Institute of Railway Transport, Irkutsk State University of Railway Transport; Chita, Russia. E-mail: svetlackovanas@yandex.ru. ORCID 0000-0002-1193-5544.

Профессиональное управление ресурсами локомотивных бригад считается определяющим фактором успешного функционирования железной дороги, выполнения сроков доставки грузов и получения максимальной прибыли от перевозочной деятельности [1]. Одним из путей оптимизации служит увеличение тяговых плеч. Однако применение длинных тяговых плеч вызывает на станциях смены локомотивов дополнительные задержки поездов; это происходит в условиях большой неравномерности и непарности поездопотоков, особенно в летний период [2]. Наблюдается рост неисправностей локомотивов, не позволяющих после ТО-2 ставить их в поезда и отправлять по обороту [3]. Рост объемов перевозок требует увеличения количества локомотивных бригад. Такой дефицит можно уменьшить не только увеличением штатов, но и за счет внутренних резервов – снижением непроизводительных потерь [4]. Для выявления проблем обслуживания участков Забайкальской дороги локомотивами и локомотивными бригадами и установления причин непроизводительных потерь проведен анализ длин участков обращения локомотивов и работы локомотивных бригад. Оптимальная длина участков обращения локомотивов колеблется (для двухпутных линий) от 650 до 1100 км.

Обращение локомотивов на рассматриваемой дороге осуществляется по тяговым плечам Мариинск – Карымская, Карымская – Хабаровск; оптимальная длина участка обращения составляет 2059,06 км, что меньше действующих

плеч обращения на данном направлении, а значит, не требует дополнительных мер оптимизации (рис. 1).

Участки работы локомотивных бригад должны быть максимальной длины с учетом ограничений по времени непрерывной работы машинистов и помощников машиниста. Для грузового движения ограничены длины участков по безостановочному пробегу поездов – расстояние между пунктами технического обслуживания вагонов, которое для груженых составов составляет не более 600 км, а для порожних – 1000–1200 км. Плечи работы локомотивных бригад изменяются от 110 до 550 км. Для типичных условий эксплуатации железных дорог при работе бригад с отдыхом в пункте оборота длина участка на двухпутном электрифицированном участке составляет в среднем 250–350 км.

На рассматриваемом направлении (Петровский Завод – Карымская, Забайкальская железная дорога) локомотивные бригады меняются на технических станциях Хилок, Чита, Карымская. Основная сложность в организации смены локомотивных бригад заключается в том, что ни одна этих станций по своей пропускной способности не позволяет 100%-ную смену локомотивных бригад и локомотивов. Поэтому на Забайкальской железной дороге применяется технология «комбинированные плечи», при которой действует дополнительный пункт отдыха на ст. Могзон и организована доставка бригад на ст. Гыршелун, Кадала, Антипиха. На участке Петровский Завод – Карымская применяется



$$L_{opt} = 10350 \times 50,8 \times 2407,5 / ((3 - 0,643) \times (50 + 50,8) \times (180 + 2407,5)) = 2059,06 \text{ км.}$$

Рис. 1. Расчет оптимальной длины тяговых плеч

следование локомотивных бригад по коротким плечам обслуживания, что увеличивает эксплуатационные расходы и снижает качественные показатели работы дороги. Локомотивы меняют на ст. Карымская (пункт технического обслуживания локомотивов), но Центр управления тяговыми ресурсами может в оперативном порядке принять решение о смене на других станциях Восточного полигона [5]. На ст. Карымская также сменяются локомотивные бригады, отцепляются локомотивы для прохождения ТО-2. Именно этими операциями определяются затруднения в работе станции и направления в целом. Анализ длин участков

работы локомотивных бригад на направлении Карымская – Петровский Завод показывает, что участки Карымская – Хилок, Карымская – Могзон по протяженности близки к оптимальной длине, но длины других участков значительно меньше рациональной длины участков работы локомотивных бригад (рис. 2).

На рис. 2 показано, что по действующей технологии по коротким плечам следуют в нечетном направлении $19 + 49 + 5 + 27 + 43 = 143$ локомотивных бригады.

По каждому участку рассчитано время непрерывной работы локомотивной бригады по действующим плечам (таблица 1).

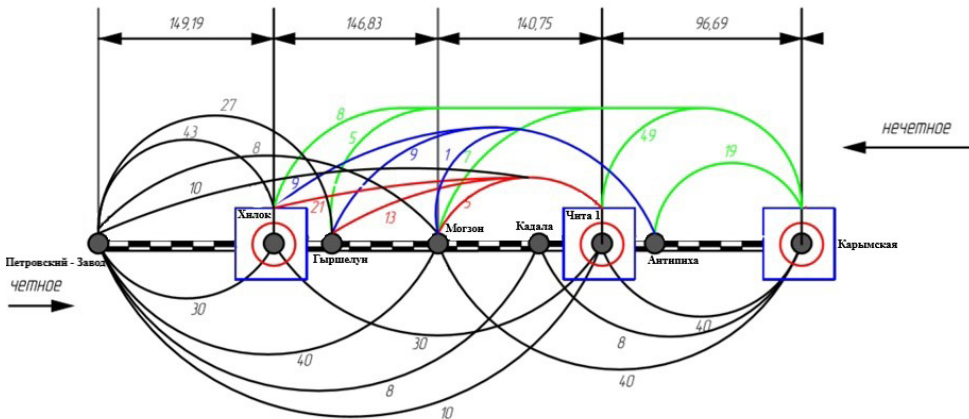


Рис. 2. Участки обращения локомотивных бригад (на каждом плече указано среднее количество локомотивных бригад, следующих по данному плечу)

Таблица 1

Время непрерывной работы локомотивных бригад, ч

	Карым-ская	Анти-пиha	Чита 1	Кадала	Могзон	Гыр-шелун	Хилок	Петровский Завод
Карымская	–	2,27	2,38	2,62	5,5	7,85	8,1	10,27
Антипиha	2,42	–	–	–	–	5,41	5,56	8,01
Чита 1	2,49	–	–	–	3,03	5,1	5,44	7,47
Кадала	2,69	–	–	–	–	–	5,01	9,54
Могзон	6,01	–	–	–	–	–	–	5
Гыршелун	–	5,41	5,30	–	–	–	–	3,01
Хилок	8,12	6,04	5,01	–	–	–	–	2,95
Петровский Завод	10,35	8,13	10,22	10,7	7,13	2,95	2,88	–

Основные варианты применяющихся участков обращения локомотивных бригад в нечетном направлении представлены на рис. 3.

По таблице 1 и рис. 3 видно, что в нечетном направлении по применяемым плечам Карымская – Чита 1, Карымская – Антипиха, Чита 1 – Могзон, Гыршелун – Петровский Завод, Хилок – Петровский Завод время непрерывной работы колеблется от 2,27 ч до 3,03 ч. Это не соответствует оптимальному значению и по протяженности (рис. 2), и по времени непрерывной работы (рис. 3), поэтому эти плечи являются короткими.

Следование локомотивных бригад по коротким плечам обслуживания увеличивает эксплуатационные расходы и снижает качественные показатели работы дороги. Удлинение плеч обслуживания позволяет оптимизировать работу локомотивных бригад, повышает производительность труда [6, 7]. Анализ работы направления Петровский Завод – Карымская за 2019 г. показывает, что среднесуточная производительность локомотива рабочего парка достигла 96,7 % к плану, а участковая скорость составила 36,2 км/ч, что на 7,5 км/ч ниже среднесетевого уровня. Такие потери допущены в результате сверхграфиковых простоев

поездов на участковых и промежуточных станциях.

На рис. 4 приведен анализ причин дефицита локомотивов и локомотивных бригад. Дефицит локомотивов и локомотивных бригад в половине случаев происходит из-за превышения накладного времени. А это создает риски отмены локомотивных бригад, отправления бригад с приказом работы сверх двух часов, сверхурочной работы машинистов и помощников машинистов, значительного превышения годового рабочего времени (300–500 часов на одного работника). Особенно это обостряется неравномерностью и непарностью поездопотока, последствия которых исследованы в [8].

Не выполняется накладное время не только по отпращиванию с поездом, но и по прибытии поезда на станцию. Иногда локомотивные бригады находятся на локомотиве до смены другой бригадой более 12 ч. Из-за окончания максимально допустимого непрерывного рабочего времени локомотивных бригад на участках следования производится их незапланированная смена на промежуточных станциях, а в период «окон» для ремонтных работ это носит массовый характер [9]. Еще непроизводительные потери в оценке

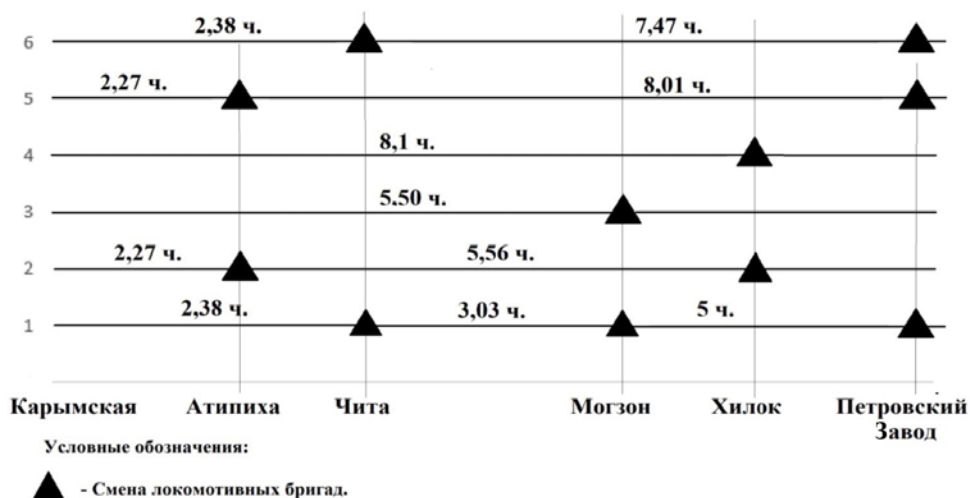


Рис. 3. Варианты следования локомотивных бригад

Дефицит локомотивов и локомотивных бригад

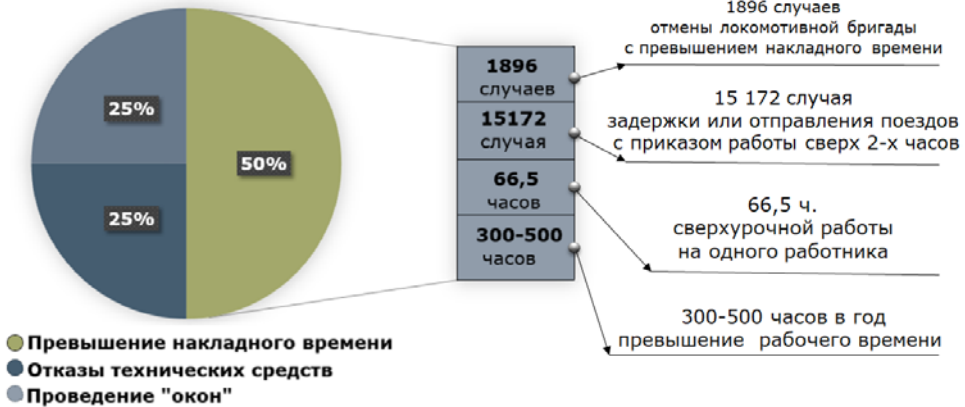


Рис. 4. Анализ причин дефицита локомотивов и локомотивных бригад

эффективности работы бригад – это когда локомотивные бригады едут пассажирами [10]. Рост случаев смен локомотивных бригад на линии увеличивает часы следования пассажирами, в результате возникает дополнительная потребность в бригадах, появляются часы сверхурочной работы.

Эти проблемы можно частично решить, если изменить технологию смены локомотивных бригад по ст. Карымская.

По первому варианту предлагается увеличить по ст. Карымская количество бригад прогрева и включить в перечень их работы прием локомотива по приходу с четного направления в парк «Д». Технология предполагает прием локомотива с четного направления, проезд в локомотивное депо на прохождение ТО-2, вывод локомотива, прошедшего ТО-2, и обеспечение подвода локомотива за 15 мин до отправления поезда. По второму варианту предлагается увеличить количество бригад прогрева без приема локомотива – использовать только для подвода каждого локомотива после прохождения ТО-2.

В обоих случаях это сократит переработку и увеличит возможность езды на длинные плечи, исключит случаи отправления сверх двух часов или отмены

бригады, что также способствует сокращению потребности в бригадах на следующем участке.

Измененная схема плеч обращения локомотивных бригад представлена на рис. 5, из которого видно, что количество локомотивных бригад, следующих по коротким плечам, равно $5 + 5 + 26 + 32 + 10 = 78$. Внедрение на ст. Карымская дополнительных бригад прогрева позволит сократить количество бригад в нечетном направлении, следующих по коротким плечам, на 65.

Время работы одной локомотивной бригады с поездом по первому варианту составляет 1,98 ч, по второму – 1,1 ч. В соответствии с рассчитанным временем за смену одна локомотивная бригада может подвести пять поездных локомотивов, а вторая – девять. Значит, в сутки потребуется 14 бригад прогрева для первого варианта, а для второго достаточно восьми.

Применение технологии «бригады прогрева» позволит сократить накладное время работы на 105 ч в сутки, убрать сверхурочные часы работы и сократить езду по коротким плечам.

После определения показателей построенных графиков движения поездов на направлении Петровский Завод – Карымская и расчета потребности

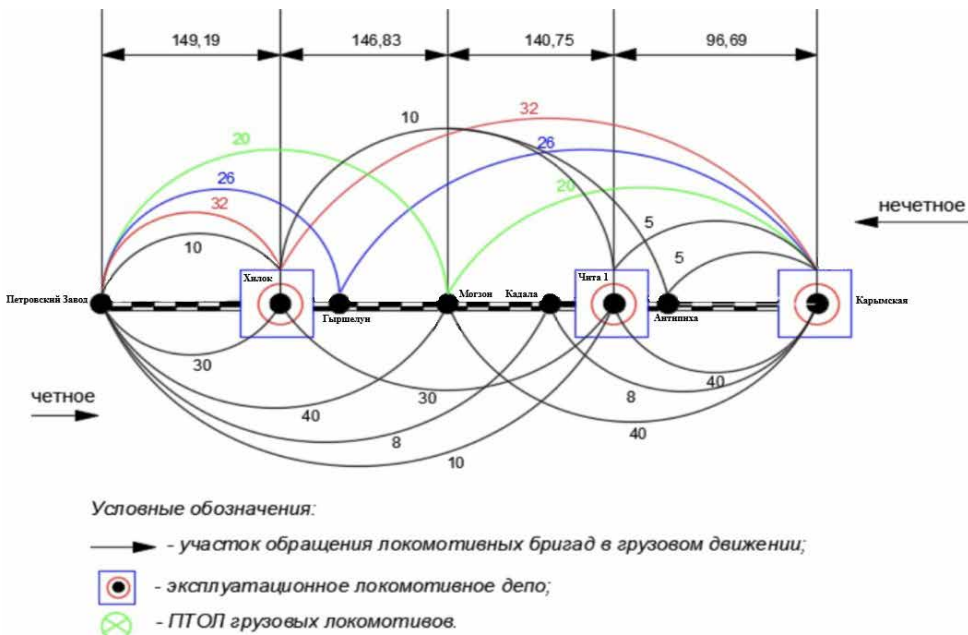


Рис. 5. Схема обращения локомотивных бригад после изменения технологии (на каждом плече указано среднее количество локомотивных бригад, следующих по данному плечу)



Рис. 6. Сравнение предложенных вариантов

в бригадах по каждому участку до внедрения новой технологии и после (рис. 6) можно сделать вывод о преимуществе работы бригад прогрева по предложенным вариантам. Сокращается

время в пути (с 967,59 ч до 923,37 ч), время под сменой локомотивных бригад (с 90,48 ч до 54,93 ч). В результате потребное количество бригад сокращается на 13 локомотивных бригад в сутки.

Изменение структуры рабочего времени локомотивных бригад показано на рис. 7. Операции, которые возьмут на себя бригады прогрева, позволяют снизить накладное время работы локомотивных бригад на прилегающих участках с 90,48 ч до 54,93 ч. Сокращается время

в пути, что дает возможность сократить езду по коротким плечам и исключить дополнительную смену бригад на ст. Карымская из-за превышения двух часов.

В таблице 2 представлены результаты технико-экономического сравнения вариантов.



Рис. 7. Структура рабочего времени локомотивных бригад до и после внедрения бригад прогрева

Таблица 2

Технико-экономическое сравнение вариантов

Наименование	Показатели до внедрения бригад прогрева	Показатели после внедрения бригад прогрева	
		1 вариант	2 вариант
Потребное количество локомотивных бригад по всем участкам направления Петровский Завод – Карымская	990	977	977
Количество бригад прогрева на ст. Карымская	–	14	8
Суммарное количество локомотивных бригад	990	991	985
Годовые расходы на содержание локомотивных бригад, тыс. руб.	2671246,771	2713058,834	2680141,511
Увеличение среднего простоя транзитного вагона без переработки на ст. Карымская, ч		1,47	1,35
Дополнительные годовые расходы, связанные с увеличением простоя транзитного вагона без переработки на ст. Карымская, тыс. руб.		74072,107	67685,997
Итого расходов, тыс. руб	2671246,771	2787130,941	2747827,508
Средняя участковая скорость на направлении, км/ч	50,57	51,26	51,26
Экономия расходов от увеличения участковой скорости, тыс. руб.		118016,599	118016,599
Суммарные затраты, тыс. руб.	2671246,771	2669114,341	2629810,909
Эффективность предложенной технологии, тыс. руб.		2132,429	41435,861

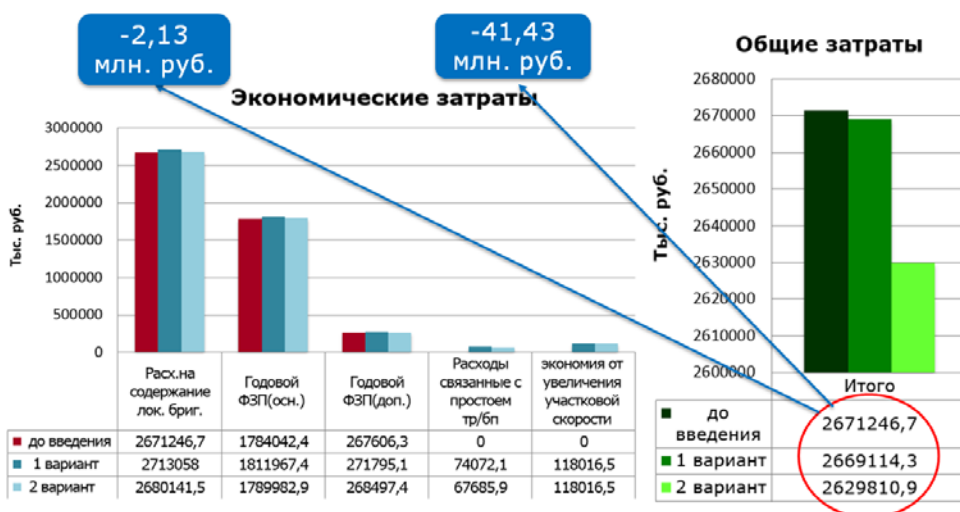


Рис. 8. Экономическое сравнение вариантов

На рис. 8 и таблице 2 представлены результаты выполненного технико-экономического обоснования предложенных вариантов технологии. Внедрение первого варианта предложенной технологии влечет за собой увеличение контингента локомотивных бригад прогрева, следовательно, и расходов на их содержание, и увеличения расходов, связанных с ростом простоя транзита без переработки на ст. Карымская, но сокращается потребность в бригадах на участке и экономия расходов, связанных с увеличением участковой скорости благодаря удлинению плеч. Общая эффективность первого варианта в сравнении с существующей технологией составит 2,13 млн руб./год. Внедрение второго варианта предложенной технологии приведет к незначительному

увеличению расходов на содержание бригад прогрева; несколько ниже по сравнению с первым вариантом расходы, связанные с увеличением простоя транзита без переработки. Суммарная эффективность данного варианта составит 41,43 млн руб./год.

Сопоставимых результатов можно ожидать при введении таких бригад на других участках железных дорог Восточного полигона. Выполненное технико-экономическое обоснование доказывает целесообразность обоих предложенных вариантов. Внедрение на ст. Карымская бригад прогрева позволит снизить езду по коротким плечам, уменьшить накладное время, исключить дополнительную смену бригад при превышении двух часов от явки до отправления, повысить участковую скорость. ■

Литература

1. Власенский А. А. Проблемы управления локомотивами и локомотивными бригадами на полигонах большой протяженности // Наука и техника. 2014. № 2. С. 92–94. ISSN 2074-9325.
2. Светлакова Е. Н. Исследование причин задержек поездов на станции Карымская Забайкальской железной дороги / Транспортная инфраструктура Сибирского региона : м-лы конф. – 2015. – Т. 1. – С. 91–95.
3. Светлакова Е. Н. Повышение провозной способности – комплексный путь решения / Образование – наука – производство : м-лы Всеросс. научн.-практ. конф. – 2018. С. 245–252. ISBN 978-5-9500771-9-7.
4. Рубежанский П.Н. Совершенствование системы управления работой локомотивных бригад на удлинённых плечах обслуживания : автореф. дисс. ... на соиск. уч. ст. канд. экон. наук: 08.00.05. Новосибирск, Сиб. гос. ун-т путей сообщ. – 2005. – 25 с.

5. Об утверждении типового порядка оперативного управления тяговыми ресурсами на выделенных полигонах сети железных дорог : распоряжение ОАО «РЖД» от 22 декабря 2014 г. № 3062р : утв. ОАО «РЖД» 22.12.2014.
6. Сибилев А. Эффективная работа на удлиненных плечах. URL: <https://gudok.ru/zdr/167?ID=1438397> (дата обращения: 10.01.2021).
7. Баташов С. И. Повышение эффективности использования локомотивных бригад на удлиненном участке обращения Москва – Воронеж / С. И. Баташов, И. А. Меншиков, М. П. Береговский // Актуальные вопросы науки и техники: сб. ст. студ. Международн. научн.-практ. конф. / редкол. : О. А.Калачева, С. А.Прищепова, А. А. Платонов. – Воронеж : Руна, 2014. С. 274–281.
8. Светлакова Е. Н. Исследование неравномерности и непарности поездопотока на направлении Петровский – Завод – Уруша Забайкальской железной дороги // Вестник Ростовского государственного университета путей сообщения. 2015. № 1 (57). С. 92–98. ISSN 0201-727X.
9. Светлакова Е. Н., Раевская П. Е. Анализ работы локомотивных бригад на Забайкальской железной дороге // Современные технологии. Системный анализ. Моделирование. 2017. № 1 (53). С. 164–170. ISSN 1813-9108.
10. Гильманов А. И. Анализ эффективности работы локомотивных бригад на железной дороге / А. И. Гильманов, О. И. Залогова // Молодая наука Сибири. URL: <https://www.elibrary.ru/contents.asp?id=41805347> (дата обращения: 11.01.2021).

Literature

1. Vlasensky A. A. Problems of locomotive and locomotive crew management at large-scale landfills. Nauka i Tekhnika. [Problemy upravleniya lokomotivami i lokomotivnymi brigadami na poligonakh bol'shoj protyazhennosti // Nauka i tekhnika]. 2014. № 2. Pp. 92–94. ISSN 2074-9325.
2. Svetlakova E. N. Study of the causes of train delays at the station Karymsky TRANS-Baikal railway / Transport infrastructure of the Siberian region : Conference materials. [Issledovanie prichin zaderzhek poezdov na stantsii Karymskaya Zabajkal'skoj zheleznoj dorogi / Transportnaya infrastruktura Sibirskogo regiona : materialy konferentsii]. – 2015. – Vol. 1. – P. 91–95.
3. Svetlakova E. N. Increase of carrying capacity – the integrated solution / Education – science – production : Proceedings of the All –Russian scientific and practical conference. [Povyshenie provoznoj sposobnosti – kompleksnyj put' resheniya / Obrazovanie – nauka – proizvodstvo : materialy Vserossijskoj nauchno-prakticheskoj konferentsii]. – 2018. P. 245–252. ISBN 978-5-9500771-9-7.
4. Rubezhansky P. N. Improvement of the management system for the work of locomotive crews on extended service shoulders: dissertation abstract for the degree of Candidate of Economic Science: 08.00.05. Novosibirsk, Siberian State University of Railway Transport. [Sovershenstvovanie sistemy upravleniya rabotoj lokomotivnykh brigad na udlinennykh plechakh obsluzhivaniya : avtoreferat dissertatsii ... na soiskanie uchenoj stepeni kandidata ehkonomicheskikh nauk: 08.00.05. Novosibirsk, Sibirskij gosudarstvennyj universitet putej soobshheniya]. – 2005. – 25 p.
5. On approval of the standard procedure for operational management of traction resources at the allocated landfills of the railway network: Order of JSC «Russian Railways» [Ob utverzhdenii tipovogo poryadka operativnogo upravleniya tyagovymi resursami na vydelennykh poligonakh seti zheleznykh dorog : rasporyazhenie ОАО «RZhD»]. dated December 22, 2014 № 3062r: approved. JSC «Russian Railways» 22.12.2014.
6. Sibilev A. Effective work on elongated shoulders. [Ehffektivnaya rabota na udlinennykh plechakh]. URL: <https://gudok.ru/zdr/167?ID=1438397> (date of reference: 10.01.2021).
7. Batashov S. I. Improving the efficiency of the use of locomotive crews on the extended section of the Moscow – Voronezh circulation / S. I. Batashov, I. A. Menshchikov, M. P. Beregovsky // Actual issues of science and technology: collection of students' articles. International Scientific Journal-practical conf. / ed.: [Povyshenie ehffektivnosti ispol'zovaniya lokomotivnykh brigad na udlinennom uchastke obrashheniya Moskva – Voronezh / S. I. Batashov, I. A. Menshchikov, M. P. Beregovskij // Aktual'nye voprosy nauki i tekhniki: sbornik statej studentcheskoj Mezhdunarodnoj nauchno-prakticheskoj konferentsii / redkollegiya]. O. A. Kalacheva, S. A. Prishhepova, A. A. Platonov. – Voronezh : Runa, 2014. Pp. 274–281.

8. Svetlakova E. N. Investigation of unevenness and oddness of the train flow in the direction of Petrovsky-Zavod – Urusha of the Trans-Baikal Railway // Herald of the Rostov State University of Railway Transport. [Issledovanie neravnomernosti i neparnosti poezdopotoka na napravlenii Petrovskij – Zavod – Urusha Zabajkal'skoj zheleznoj dorogi // Vestnik Rostovskogo gosudarstvennogo universiteta putej soobshheniya]. 2015. № 1 (57). С. 92–98. ISSN 0201-727X.
9. Svetlakova E. N., Raevskaya P. E. Analysis of the work of locomotive crews on the Trans-Baikal Railway. System analysis. Modeling. [Analiz raboty lokomotivnykh brigad na Zabajkal'skoj zheleznoj doroge // Sovremennye tekhnologii. Sistemyj analiz. Modelirovanie]. 2017. № 1 (53). Pp. 164–170. ISSN 1813-9108.
10. Gilmanov A. I. Analysis of efficiency of locomotive crews on the railway / A. I. Gilmanov, O. I. Zalogova // Young science of Siberia. [Analiz ehffektivnosti raboty lokomotivnykh brigad na zheleznoj doroge / A. I. Gil'manov, O. I. Zalogova // Molodaya nauka Sibiri]. URL: <https://www.elibrary.ru/contents.asp?id=41805347> (date of reference: 11.01.2021).

Статья сдана в редакцию 22 января 2021 года

Безопасность жизнедеятельности

УДК 656.053.2

О. В. Майборода, Б. А. Сарымсаков

Совершенствование системы показателей безопасности дорожного движения при анализе качества автотранспортных перевозок

UDC 656.053.2

O. V. Mayboroda, B. A. Sarymsakov

Improving the system of road safety indicators in the analysis of the quality of motor vehicle transportation

Аннотация

В статье изложены результаты разработки интегрального показателя безопасности дорожного движения – коэффициента безопасности дорожного движения. Величина коэффициента безопасности дорожного движения показывает, во сколько раз при одинаковых уровнях автомобилизации уменьшился/повысился риск гибели жителя в дорожном движении (социальный риск) в сравнении со средним социальным риском, который существовал

в мире в 40-е годы прошлого столетия, когда отсутствовали специальные программы по повышению безопасности дорожного движения. Применение коэффициента безопасности дорожного движения позволяет сравнить уровень безопасности дорожного движения в странах и регионах с разным количеством населения и различными уровнями автомобилизации.

Показано, что социальный риск является комплексным показателем, величина которого зависит от

показателей безопасности дорожного движения более низкого уровня – вероятности участия жителя в дорожном движении, которая равна величине автомобилизации, вероятности гибели участника дорожного движения (транспортный риск), вероятности дорожно-транспортного происшествия (активная безопасность дорожного движения), интенсивности дорожно-транспортных происшествий (надёжность управления автомобилем) и среднего годового пробега автомобиля, вероятность

Публикуется в авторской редакции.

Статья рекомендована к опубликованию канд. техн. наук, доцентом Южно-Уральского государственного университета К.В. Глембой. E-mail: glemba77@mail.ru.

Олег Владимирович Майборода, канд. техн. наук, доцент; кафедра «Организация и безопасность движения» Московского автомобильно-дорожного государственного технического университета (МАДИ). Москва, Россия. E-mail: mov01@bk.ru, ORCID 0000-0001-6969-925X.

Бакытбек Ашимбекович Сарымсаков, канд. техн. наук, доцент; кафедра «Организация перевозок и безопасность движения» Кыргызского государственного технического университета им. И. Раззакова. г. Бишкек, Кыргызстан. E-mail: basarymsakov@mail.ru, ORCID 0000-0002-5643-3900.

Published in author's edition.

The article is recommended for publishing by Candidate of Technical Sciences, Associate Professor of the South Ural State University K. V. Glemba. E-mail: glemba77@mail.ru.

Oleg Vladimirovich Majboroda, Candidate of Technical Sciences, Associate Professor; Department of «Organization and Traffic Safety» of Moscow Automobile and Road State Technical University (MADI). Moscow, Russia. E-mail: mov01@bk.ru, ORCID 0000-0001-69-925X.

Bakytbek Ashimbekovich Sarymsakov, Candidate of Technical Sciences, Associate Professor; Department of «Organization of Transportation and Traffic Safety» of the Kyrgyz State Technical University named after I. Razzakov, Bishkek, Kyrgyzstan. E-mail: basarymsakov@mail.ru, ORCID 0000-0002-5643-3900.

гибели в дорожно-транспортном происшествии (пассивная и послеаварийная безопасность).

Получено уравнение, которое связывает величину социального риска со значениями показателей безопасности дорожного движения более низкого уровня.

Проведен анализ уровня безопасности дорожного движения в Кыргызстане. Показано, как состояние транспортного потока влияет на его среднюю скорость и вероятность дорожно-транспортных происшествий. Рассмотрено влияние плотности транспортного потока на его среднюю скорость и интенсивность дорожно-транспортных происшествий. Для оценки влияния состояния транспортного потока на его среднюю скорость и безопасность дорожного движения использовано понятие условной плотности транспортного потока. Выявлено, что в дорожных условиях Кыргызстана существует критическая условная плотность, при превышении которой транспортный риск, вероятность дорожно-транспортного происшествия и вероятность гибели в дорожно-транспортном происшествии начинают быстро уменьшаться при дальнейшем повышении условной плотности.

Показана низкая эффективность выявления превышений разрешенной скорости при измерении максимальной скорости автомобилей в отдельных точках. Предложено применить измерение средней скорости на выделенных участках дорог как средство уменьшения

числа водителей, превышающих разрешенную скорость.

Ключевые слова: безопасность дорожного движения, дорожно-транспортное происшествие, социальный риск, транспортный риск, активная безопасность, пассивная безопасность, вероятность ДТП, интенсивность ДТП, шум ускорения, уровень удобства дорожного движения, системы ВА и ВАД.

DOI: 10.20291/2079-0392-2021-2-85-98

Abstract

The article presents the results of the development of an integral indicator of road safety – the road safety coefficient. The value of the road safety coefficient shows how many times, at the same levels of motorization, the risk of death of a resident in road traffic (social risk) decreased/increased in comparison with the average social risk that existed in the world in the 40s of the last century, when there were no special programs on improving road safety. The use of the road safety coefficient allows you to compare the level of road safety in countries and regions with different populations and different levels of motorization.

It is shown that social risk is a complex indicator, the value of which depends on the indicators of road safety at a lower level – the probability of participation of a resident in road traffic, which is equal to the value of motorization, the probability of death of a road user (transport risk), the probability of a road accident (active road safety), the intensity of road accidents (reliability of driving) and the

average annual mileage of the car, the probability of death in a road accident (passive and post-accident safety).

An equation is obtained that relates the value of social risk to the values of lower-level road safety indicators.

The analysis of the level of road safety in Kyrgyzstan is carried out. It is shown how the condition of the traffic flow affects its average speed and the probability of road accidents. The influence of traffic flow density on its average speed and intensity of road accidents is considered. To assess the impact of the condition of a traffic flow on its average speed and road safety, the concept of the conventional density of a traffic flow is used. It is revealed that in the road conditions of Kyrgyzstan there is a critical conventional density, when exceeding it the transport risk, the probability of a road accident and the probability of death in a road accident begin to decrease rapidly with a further increase in the conventional density.

The low efficiency of detection of exceeding a permitted speed when measuring the maximum speed of cars at certain points is shown. It is proposed to use the measurement of average speed on certain road sections as a means of reducing the number of drivers exceeding the speed limit.

Keywords: road safety, road traffic accident, social risk, transport risk, active safety, passive safety, accident probability, accident intensity, acceleration noise, level of traffic comfort, DAS and ADAS systems.

DOI: 10.20291/2079-0392-2021-2-85-98

Основные перевозки пассажиров и грузов на территории Кыргызстана выполняются автомобильным транспортом. Их качество очень влияет на экономику страны, поэтому повышение надежности, безопасности, эффективности и экологичности автомобильных перевозок – актуальная задача.

В существующей системе учета в качестве показателей безопасности дорожного движения (БДД) используются абсолютные значения ДТП, раненых и погибших. Но с помощью этих показателей нельзя сравнить уровень БДД в различных странах и территориях, отличающихся по количеству населения и уровню автомобилизации. Невозможно сравнить изменение БДД даже в одной стране в течение определенного периода, если изменяется уровень автомобилизации. Поэтому существующая методика оценки безопасности дорожного движения нуждается в совершенствовании.

Проанализировать эффективность и экологичность дорожного движения сегодня невозможно, так как необходимые для этого показатели не публикуются.

Методика универсальна и может быть применена для всех существующих дорог Кыргызстана (равнинных, горных, прямых, извилистых, городских и междугородных трасс). Всего в Кыргызстане 36 000 км дорог, из которых 60 % – с асфальтовым покрытием, оставшаяся часть, 40 % – грунтовые дороги. Чтобы усовершенствовать методику оценки БДД, рассмотрим последовательность событий, в результате которых наступает гибель жителя в дорожном движении. Дорожно-транспортное происшествие является случайным событием отказа в функционировании системы «водитель – автомобиль» (ВА). Множество систем ВА, пешеходы и средства управления дорожным движением образуют систему «водитель – автомобиль – дорога» (ВАД). Поэтому для анализа надежности систем ВА и ВАД следует применять известные математические методы теории вероятностей и базирующейся на ней теории надежности,

использование которых позволяет создать систему взаимосвязанных показателей. Такой подход был реализован в работах [1, 2]. Дальнейшее совершенствование методики оценки БДД было выполнено в работах [3–6].

Гибель человека в дорожном движении может наступить в результате возникновения следующей цепи случайных событий: человек должен стать участником дорожного движения (в качестве водителя, пассажира или пешехода), став участником дорожного движения, он может стать участником ДТП, в результате ДТП может наступить смерть.

Событие участия в дорожном движении независимое, а все последующие события – зависимые случайные события. Из теории вероятностей следует, что вероятность гибели жителя в дорожном движении равна произведению вероятностей предшествующих случайных событий [7]. Вероятность гибели жителя в дорожном движении называется социальным риском, который является комплексным показателем, вероятности предшествующих событий являются показателями более низкого уровня.

Поэтому можно записать:

$$P(\Gamma) = P(Y)P(\Gamma/Y)P(\text{ДТП}_y/Y) \times P(\Gamma/\text{ДТП}_y), \quad (1)$$

где $P(\Gamma) = \frac{N_{\text{пг}}}{N_{\text{н}}} 10^{-5}$ – количество погибших на 100 тыс. населения (социальный риск); $N_{\text{пг}}$ – погибшие, кол-во; $N_{\text{н}}$ – население, кол-во;

$P(Y) = \frac{N_{\text{ТС}}}{N_{\text{н}}} 10^{-3}$ – вероятность участия жителя в дорожном движении (уровень автомобилизации); $N_{\text{ТС}}$ – зарегистрированные транспортные средства (ТС), кол-во;

$P(\Gamma/Y) = \frac{N_{\text{пг}}}{N_{\text{ТС}}} 10^{-4}$ – количество погибших на 10 тыс. транспортных средств (транспортный риск);

$P(\Gamma/\text{ДТП}_y)$ – вероятность гибели жителя в дорожном движении при участии в дорожном движении (уровень безопасности дорожного движения).

$P(\Gamma/\text{ДТП}_y) = \frac{N_{\text{пг}}}{N_{\text{ТС}}} 10^{-4}$ – количество погибших на 10 тыс. транспортных средств (транспортный риск);

$P(\Gamma/\text{ДТП}_y)$ – вероятность гибели жителя в дорожном движении при участии в дорожном движении (уровень безопасности дорожного движения).

$$P(\text{ДТПу} / Y) = \frac{N_{\text{ДТП}}}{N_{\text{ТС}}} 10^{-4} - \text{число ДТП}$$

на 10 тыс. ТС – вероятность, ДТП (надежность дорожного движения); $N_{\text{ДТП}}$ –

$$\text{ДТП, кол-во; } P(\Gamma / \text{ДТПу}) = \frac{N_{\text{ПГ}}}{N_{\text{ДТП}}} 10^{-2} -$$

вероятность гибели участника ДТП, кол-во погибших на 100 учетных ДТП.

Надежность дорожного движения служит комплексным показателем более низкого уровня по отношению к транспортному риску $P(\Gamma/Y)$. Ее величина зависит от интенсивности ДТП $\lambda_{\text{ДТП}}$ и среднего годового пробега ТС S_{Γ} , которые связаны с надежностью дорожного движения уравнением Пуассона [8]:

$$P(\text{ДТПу} / Y) = 1 - e^{-S_{\Gamma} \cdot \lambda_{\text{ДТП}}}, \quad (2)$$

где $S_{\Gamma} = \frac{\sum S_i}{N_{\text{ТС}}}$ – среднегодовой пробег;

$\sum S_i$ – суммарный годовой пробег зарегистрированных ТС, км; $N_{\text{ТС}}$ – среднесписочное число ТС в течение года;

$$\lambda_{\text{ДТП}} = \frac{N_{\text{ДТП}}}{\sum S_i} 10^{-6} - \text{средняя интенсивность ДТП в ДТП/млн} \cdot \text{км} - \text{показатель}$$

надежности управления ТС.

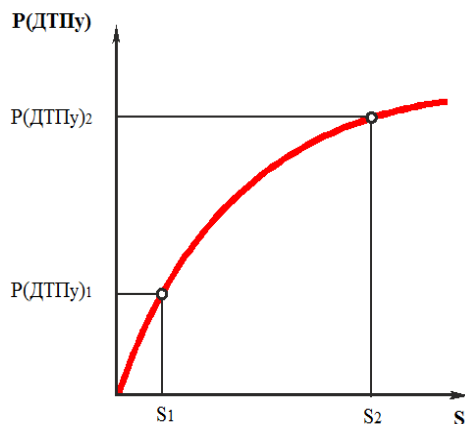


Рис. 1. Зависимость вероятности учётного ДТП от среднего годового пробега

Из уравнения (2) следует, что при одинаковой средней интенсивности ДТП вероятность учётного ДТП будет повышаться с увеличением среднего годового пробега (рис. 1).

На основании проведенного анализа предложено рассматривать среднюю интенсивность ДТП (надежность управления ТС) как показатель активной безопасности систем ВА, а вероятность учётного ДТП – как показатель активной безопасности системы ВАД. Ограничивая годовой пробег, можно повышать активную безопасность дорожного движения. К сожалению, практически полное отсутствие данных о годовых пробегах транспортных средств затрудняет использование показателя интенсивности ДТП $\lambda_{\text{ДТП}}$ для анализа активной безопасности систем ВА. Вероятность гибели участника ДТП $P(\Gamma/\text{ДТПу})$ является показателем пассивной и послеаварийной безопасности дорожного движения. Транспортный риск $P(\Gamma/Y)$ – комплексный показатель более низкого уровня по отношению к социальному риску $P(\Gamma)$. Величина транспортного риска определяется значениями активной, пассивной и послеаварийной безопасности дорожного движения $P(\text{ДТПу}/Y)$ и $P(\Gamma/\text{ДТПу})$ соответственно. Пассивная и послеаварийная безопасность также является комплексным показателем более низкого уровня по отношению к транспортному риску $P(\Gamma/Y)$. Показатель пассивной и послеаварийной безопасности дорожного движения зависит от уровней пассивной безопасности ТС и пассивной безопасности дороги, скорости ТС, при которой произошло ДТП, среднего времени прибытия скорой помощи и спасателей МЧС к месту ДТП, среднего времени доставки пострадавших в больницу. Из уравнения (1) следует, что снизить социальный риск $P(\Gamma)$ можно только путем уменьшения транспортного риска $P(\Gamma/Y)$, а уменьшение транспортного риска возможно путем повышения активной, пассивной и послеаварийной безопасности дорожного движения. Повышение активной, пассивной и послеаварийной

безопасности является самостоятельной задачей. В настоящей работе рассматриваются возможности повышения активной безопасности дорожного движения $P(\text{ДТП}_y/U)$.

Поскольку величина социального риска зависит от уровня автомобилизации, то с его помощью нельзя сравнить БДД в регионах с различной автомобилизацией. Чтобы решить эту задачу, необходимо воспользоваться уравнением Смида [9]:

$$P(\Gamma)^* = 0,0003P(Y)^{1/3}. \quad (3)$$

Уравнение (3) показывает, как с повышением автомобилизации в среднем увеличивался социальный риск в мире при отсутствии специальных мероприятий по уменьшению транспортного риска. Это позволяет принять значения социального риска, вычисляемые по уравнению (3) при различных уровнях автомобилизации, за точки отсчета, с которыми можно сравнивать статистические риски при тех же уровнях автомобилизации.

На рис. 2 показаны два региона с различными уровнями автомобилизации $P(Y)_1$ и $P(Y)_2$ соответственно, которые имеют одинаковый уровень социального риска. При этом из-за различного уровня автомобилизации значения их социальных рисков расположены по разные стороны от кривой, рассчитанной по уравнению (3).

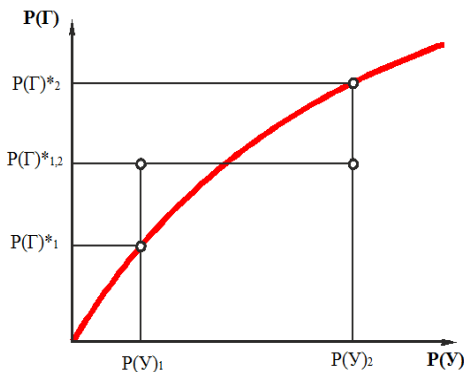


Рис. 2. Схема влияния уровня автомобилизации на оценку БДД при одинаковом уровне социального риска

Из графика на рис. 2 видно, что в регионе 1 социальный риск превышает средний уровень при отсутствии мероприятий по повышению БДД, а в регионе 2 социальный риск меньше этого уровня. Следовательно, при расположении точки, соответствующей статистическому социальному риску, выше кривой, рассчитанной по уравнению (3); безопасность будет тем ниже, чем дальше от кривой расположена точка, а при ее расположении ниже расчетной кривой – тем выше, чем дальше от кривой она будет расположена.

В качестве показателя, характеризующего степень повышения или снижения уровня БДД по отношению к уровню, существовавшему в мире при отсутствии мероприятий по повышению БДД, предложен интегральный показатель – коэффициент безопасности дорожного движения $k_{\text{БДД}}$ [3–6], который определяется в результате деления социального риска $P(\Gamma)^*$, вычисленного по уравнению (3), на статистический риск $P(\Gamma)$:

$$k_{\text{БДД}} = \frac{P(\Gamma)^*}{P(\Gamma)}. \quad (4)$$

Смидом также получена усредненная зависимость транспортного риска от уровня автомобилизации [10]:

$$P(\Gamma/Y)^* = 0,0003 \times P(Y)^{-2/3}. \quad (5)$$

Схема влияния вероятности участия жителя в дорожном движении на оценку БДД при одинаковых значениях транспортного риска представлена на рис. 3.

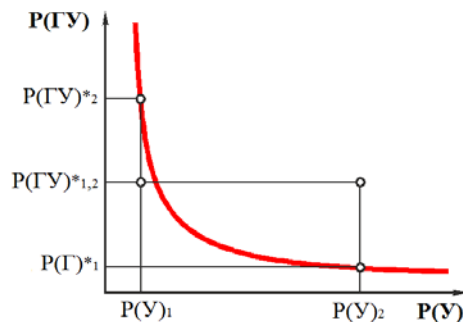


Рис. 3. Схема влияния автомобилизации на оценку БДД при одинаковых значениях транспортного риска

Используя выражение (1), можно преобразовать уравнение (4):

$$k_{\text{БДД}} = \frac{P(\Gamma)^*}{P(\Gamma)} = \frac{P(Y)P(\Gamma / Y)^*}{P(Y)P(\Gamma / Y)} = \frac{P(\Gamma / Y)^*}{P(\Gamma / Y)} \quad (6)$$

Из уравнения (6) следует, что $k_{\text{БДД}}$ является отношением расчетного транспортного риска к его статистическому значению.

Интегральный показатель БДД – коэффициент безопасности дорожного движения $k_{\text{БДД}}$ характеризует изменение уровня безопасности дорожного движения с учетом как количества населения, так и уровня автомобилизации.

Если величина $k_{\text{БДД}}$ равна единице, это означает, что БДД соответствует среднемировому уровню, существовавшему в 40-е гг. прошлого столетия, когда отсутствовали специальные мероприятия по повышению БДД. Если величина $k_{\text{БДД}}$ больше единицы, то

безопасность повысилась по отношению к тому же уровню пропорционально величине $k_{\text{БДД}}$. Когда величина $k_{\text{БДД}}$ меньше единицы, безопасность пропорционально уменьшилась, поэтому при сравнении БДД в различных странах и регионах необходимо использовать интегральный показатель безопасности дорожного движения $k_{\text{БДД}}$.

В таблице и на рис. 4 приведены данные об изменении $k_{\text{БДД}}$ в Кыргызстане за 2007–2019 гг.

Из данных, представленных в таблице и на рис. 4, видно, что в период в 2007–2015 гг. $k_{\text{БДД}}$ медленно рос, оставаясь меньше единицы. В 2016 г. скорость роста $k_{\text{БДД}}$ повысилась, и в 2019 г. достигла 1,16.

Приведенные цифры говорят о низком уровне БДД в Кыргызстане и необходимости разработки мероприятий, направленных на более быстрое повышение БДД.

Чтобы разработать мероприятия, направленные на повышение БДД в Кыргызстане, необходимо проанализировать

Изменение $k_{\text{БДД}}$ в Кыргызстане за 2007–2019 гг.

Год	2007	2008	2009	2010	2011	2012	2013	2014	2015	2016	2017	2018	2019
$k_{\text{БДД}}$	0,30	0,55	0,45	0,46	0,46	0,47	0,45	0,67	0,66	0,82	0,87	1,12	1,16

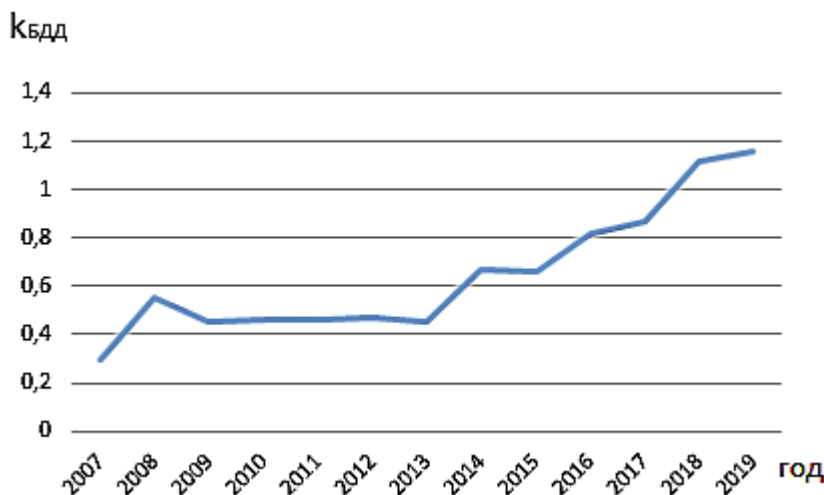


Рис. 4. Изменение $k_{\text{БДД}}$ в Кыргызстане за 2007–2019 гг.

влияние состояния транспортного потока на безопасность и эффективность дорожного движения. Средняя скорость ТС, возрастающая с увеличением средней скорости транспортного потока, является одним из показателей эффективности управления ТС. Но повышение средней скорости транспортного потока снижает надежность и безопасность дорожного движения. Величина средней скорости транспортного потока зависит от его интенсивности и плотности и описывается основным уравнением его состояния [11]:

$$V = \frac{N_a}{k_{\text{тп}}}, \text{ км/ч} \quad (7)$$

где V – средняя скорость транспортного потока, км/ч; N_a – интенсивность движения по каждой из полос, ТС/ч; $k_{\text{тп}}$ – плотность транспортного потока на каждой полосе, ТС/км.

Стремясь повысить среднюю скорость своего автомобиля, водители увеличивают максимальную скорость на участках свободного движения. В зависимости от плотности транспортного потока изменяются возможности водителя увеличивать максимальную скорость движения ТС относительно средней скорости транспортного потока [3, 12, 13]. Для описания этих возможностей и их влияния на эффективность и надежность дорожного движения используется понятие «уровняень удобства движения в транспортном потоке» [14].

Рассмотрим изменение состояния транспортного потока при движении по двухполосной дороге вне населенного пункта в зависимости от уровня удобства движения.

A – свободный транспортный поток; средний временной интервал между ТС по каждой полосе – более 18 с. Водитель по своему усмотрению может выбирать максимальную скорость, которая зависит от модели поведения водителя в дорожном движении и скоростных свойств ТС. Максимальная скорость многих ТС превышает разрешенную на двухполосных дорогах скорость, равную

90 км/ч. Большинство обгонов выполняется с хода. Основная причина ДТП – превышение безопасной скорости, в результате чего происходят съезд с дороги или опрокидывание ТС с высоким расположением центра масс на полотне дороги при выполнении маневров в плане. По мере повышения плотности транспортного потока увеличивается число обгонов, из-за занижения безопасной дистанции до встречного ТС возникают встречные столкновения. При дальнейшем повышении плотности транспортного потока встречные столкновения становятся основным типом ДТП. На границе перехода от свободного к частично связанному транспортному потоку AB число обгонов и коэффициент аварийности $k_{\text{ав}}$ повышаются до максимальных значений.

B – частично связанный транспортный поток; средний временной интервал – 18–9 с. В результате повышения плотности транспортного потока обгоны производятся с ожиданием возможности их выполнения. При повышении максимальной скорости рост средней скорости замедляется, и значительная часть водителей начинает уменьшать максимальную скорость на участках свободного движения относительно разрешенной величины, оптимизируя продолжительность движения с постоянной скоростью. Возникают пачки ТС, ожидающих возможности обгона медленных ТС. При дальнейшем повышении плотности транспортного потока количество обгонов уменьшается. На границе перехода от частично связанного к связанному стационарному уровню удобства движения BC коэффициент аварийности $k_{\text{ав}}$ заметно снижается. Основной причиной ДТП остается ошибка в определении безопасной дистанции до встречного автомобиля при обгоне. Максимальная скорость уменьшается до разрешенного значения.

C – связанный стационарный транспортный поток; временной интервал – 9–6 с. В результате повышения плотности транспортного потока увеличиваются время ожидания возможности обгона

и длина пачек автомобилей, ожидающих возможностей обгона. Большинство водителей уменьшает максимальную скорость относительно разрешенной величины. Количество обгонов сокращается, коэффициент аварийности продолжает снижаться, а средняя скорость транспортного потока практически не изменяется. Число встречных столкновений уменьшается, возникают попутные столкновения из-за занижения безопасной дистанции до автомобиля-лидера. При дальнейшем повышении плотности транспортного потока попутные столкновения становятся основным типом ДТП. На границе перехода от связанного стационарного к связанному нестационарному потоку CD обгоны становятся невозможными. Возникает колонное движение, все ТС движутся с одной скоростью. Коэффициент аварийности уменьшается до минимума.

D – связанный нестационарный транспортный поток; временной интервал 6–4 с. Водитель вынужден двигаться со скоростью транспортного потока. Движение колонное. Скорость движения колонны периодически изменяется, потому что при торможении одного из автомобилей все следующие за ним ТС вынуждены интенсивно тормозить. Максимальная скорость отдельного ТС определяется максимальным отклонением скорости транспортного потока от средней величины. Коэффициент аварийности остается на минимально возможном уровне. Основная причина ДТП – попутные столкновения из-за занижения безопасной дистанции до автомобиля-лидера.

E – насыщенный транспортный поток; временной интервал 4–2 с. Водитель вынужден двигаться со скоростью транспортного потока. Движение колонное. Скорость движения колонны периодически значительно изменяется. Это вызвано тем, что водители занижают безопасную дистанцию. Поэтому при интенсивном торможении одного из автомобилей навстречу движению колонны начинает распространяться

волна интенсивных замедлений ТС. Это происходит тогда, когда время реакции водителей ведомых ТС превышает время реакции водителей автомобилей-лидеров. По мере удаления ТС от первого автомобиля, начавшего торможение, ошибки накапливаются, повышается величина замедления, необходимого для предотвращения попутного столкновения. Чем дальше от первого автомобиля, начавшего торможение, находится ТС, тем выше величина его замедлений и тем больше изменение его скорости по отношению к средней скорости транспортного потока.

F – неустойчивый транспортный поток. Водитель вынужден двигаться со скоростью транспортного потока. Движение колонное. Скорость движения колонны периодически снижается до нуля, возникают заторы. Уравнение (7) больше не описывает связь между плотностью, интенсивностью и средней скоростью транспортного потока.

Анализируя факторы, влияющие на БДД в транспортном потоке, можно объяснить более быстрое повышение $k_{БДД}$ в Кыргызстане после 2016 г. увеличением плотности транспортного потока, которое произошло в результате роста уровня автомобилизации. Повышение плотности транспортного потока приводит к снижению его средней скорости по следующей причине. С увеличением плотности уменьшается дистанция между автомобилями, которая при определенной плотности транспортного потока становится меньше безопасной величины, что и приводит к снижению средней скорости транспортного потока.

Уменьшение средней скорости транспортного потока приводит к снижению интенсивности ДТП $\lambda_{ДТП}$ в соответствии с уравнением [15]:

$$\lambda_{ДТП2} = \lambda_{ДТП1} \left(\frac{V_2}{V_1} \right)^n, \quad (8)$$

где $\lambda_{ДТП1}$ – средняя интенсивность ДТП при скорости транспортного потока V_1 ; $\lambda_{ДТП2}$ – средняя интенсивность ДТП при изменении средней скорости транспортного потока до V_2 ; V_1 – начальная

средняя скорость транспортного потока; V_2 – измененная средняя скорость транспортного потока; $n = 1,5-2$ – ДТП с механическими повреждениями ТС; $n = 3$ – ДТП с ранеными; $n = 4$ – ДТП с погибшими.

Из уравнения (8) видно, что с уменьшением средней скорости транспортного потока быстро уменьшается средняя интенсивность ДТП, но еще быстрее уменьшается число погибших. Из-за отсутствия данных о реальной плотности транспортных потоков предлагается использовать понятие «условная плотность транспортного потока» [3–6]. Ее величина вычисляется в предположении, что все зарегистрированные ТС выехали одновременно и равномерно распределились по дорожной сети. В действительности же на дороги одновременно выезжает только часть зарегистрированных ТС. С увеличением условной плотности растет и реальная плотность транспортного потока. Для вычисления условной плотности транспортного потока K_s необходимо привести протяженность дорог к одной полосе S_d и разделить количество зарегистрированных транспортных средств $N_{ТС}$ на S_d :

$$K_s = \frac{N_{ТС}}{S_d}, \text{ ТС/км.} \quad (9)$$

Проверка справедливости этой гипотезы выполнена на основании данных статистики ДТП и протяженности дорог России [3]. Анализ влияния K_s на величину транспортного риска [3] показал, что существует критическая величина K_s , равная 50 ТС/км [3].

Когда K_s меньше критического значения, транспортный риск не зависит от условной плотности транспортного потока. При превышении K_s критической величины транспортный риск начинает быстро уменьшаться, и его зависимость от K_s хорошо аппроксимируется полиномом второго порядка.

Изменения транспортного риска $P(\Gamma/U)$, вероятности учетного ДТП $P(\text{ДТП}_y/U)$ и вероятности гибели в ДТП $P(\Gamma/\text{ДТП}_y)$ в Кыргызстане в зависимости

от условной плотности транспортного потока K_s показаны на рис. 5.

Как видно из рис. 5, уменьшение транспортного риска происходит в результате снижения вероятности учетного ДТП и вероятности гибели в ДТП. Видно также, что критическая величина K_s в Кыргызстане равна 12 ТС/км (условная плотность)*.

Уменьшение критической величины K_s в Кыргызстане относительно критической величины K_s в России можно объяснить следующими причинами. Резкое снижение вероятности ДТП происходит в результате уменьшения количества обгонов. Возможность выполнения обгонов зависит от уровня скоростных свойств ТС и расстояния видимости дороги. Чем ниже скоростные свойства и чем меньше расстояние видимости, тем меньше плотность транспортного потока, при которой большинство водителей отказываются от выполнения обгонов. В результате возникают пачки ТС, что еще сильнее уменьшает возможность выполнения обгонов. При движении на подъем скоростные свойства ТС ухудшаются. Расстояние видимости на горных дорогах значительно меньше, чем на равнинных участках. В результате уменьшается плотность транспортного потока, при которой водитель может выполнить обгон при движении на подъем. При движении на спуске водитель вынужден ограничивать скорость при выполнении обгона по соображениям безопасности.

В транспортном потоке часть автомобилей превышает среднюю скорость потока, а часть автомобилей движется медленнее средней скорости потока. Это создает новые проблемы.

* Понятие условной плотности транспортного потока впервые введено О. В. Майбородой; проверка выполнена для данных, полученных в России. Проверка применимости этого понятия проводилась на основании статистики, полученной в России, по ДТП и протяженности дорог. Результаты показали, что существуют критическая величина условной плотности транспортного потока K_s , 50 ТС/км. Проверка влияния условной плотности транспортного потока на БДД в Кыргызстане подтвердила наличие условной плотности транспортного потока K_s 12 ТС/км.

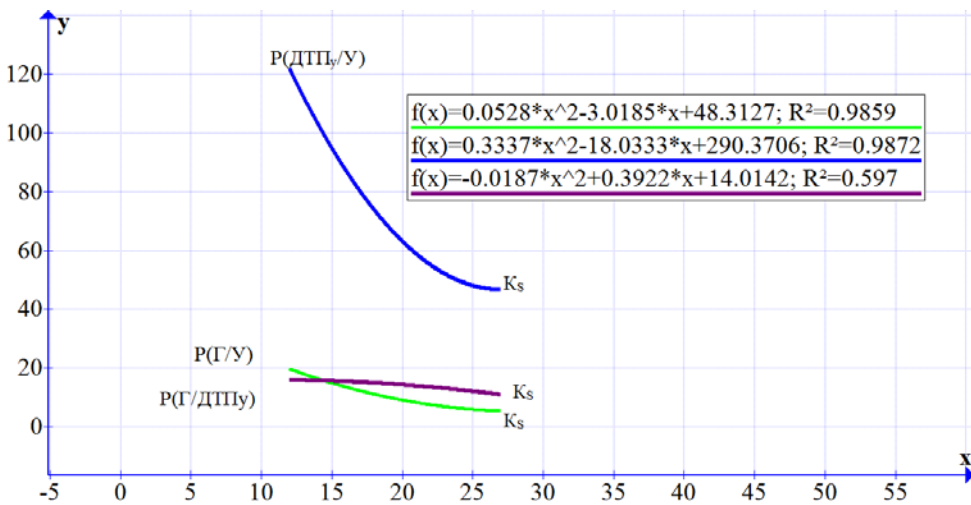


Рис. 5. Зависимости показателей БДД от K_s

$P(Г/У)$ – зависимость транспортного риска; $P(ДТПу/У)$ – зависимость вероятности учетного ДТП; $P(Г/ДТПу)$ – зависимость вероятности гибели в ДТП, K_s – условия плотности транспортного потока

График изменения риска ДТП при отклонении скорости отдельного ТС от средней скорости транспортного потока в любую сторону приведен на рис. 6 [11].

Как следует из представленного на рис. 6 графика, известная поговорка «Тише едешь – дальше будешь» к транспортному потоку не относится. Минимальному риску ДТП соответствует скорость, с которой едет большинство автомобилей. В современном транспортном потоке наибольшую долю составляют легковые автомобили, поэтому минимальному риску ДТП соответствует модальная (наиболее вероятная) скорость легковых автомобилей.

В рассматриваемом случае величина модальной скорости легковых автомобилей превышает среднюю скорость транспортного потока на 8 км/ч. Отклонение максимальной скорости ТС в любую сторону от скорости, соответствующей минимальному риску возникновения ДТП в транспортном потоке, приводит к повышению аварийности. Чем больше разница между скоростью самого быстрого и самого медленного ТС, тем выше риск ДТП. Чем больше скорость отдельного ТС отличается от

модальной скорости легковых автомобилей, тем выше риск ДТП.

Средняя скорость сообщения V_C является одним из показателей эффективности управления ТС. Чтобы повысить среднюю скорость ТС, необходимо на участках свободного движения увеличивать максимальную скорость V_{max} . Поэтому значительное число водителей

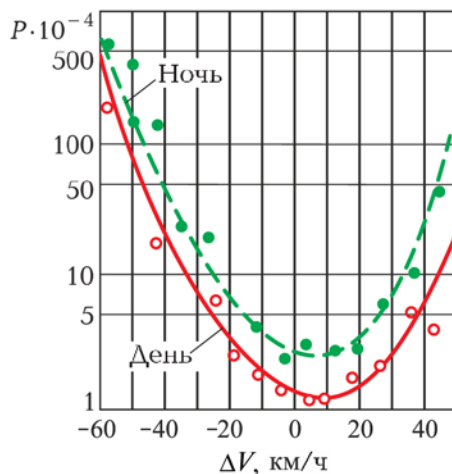


Рис. 6. Влияние отклонения скорости ТС от средней скорости транспортного потока ΔV на величину вероятности вовлечения в ДТП $P(ДТПв/У)$

при наличии возможностей превышает разрешенную скорость, а вместе с нею и модальную скорость, соответствующую минимальному риску ДТП, как показано на рис. 6.

Чем больше превышение скорости, соответствующей минимуму риска ДТП, тем выше интенсивность разгона и величина замедления при торможении, и тем больше неравномерность движения.

В качестве показателя неравномерности движения в теории транспортных потоков было принято среднеквадратичное отклонение продольного ускорения ТС от среднего значения δ (СКО ускорения) [16]. Поскольку СКО ускорения отрицательно влияет на безопасность движения транспортного потока, то по аналогии с вредными сигналами в радиоканалах, называемых шумами, СКО ускорения было названо шумом ускорения. Неравномерное движение ТС, водители которых пытаются обогнать транспортный поток, создает помехи для других водителей и вызывает неравномерное движение других ТС, уменьшая скорость транспортного потока и повышая риск ДТП. В свободном и частично связанном транспортных потоках увеличение риска ДТП можно определить как измерением величины отклонения скорости ТС от модальной скорости транспортного потока, так и измерением шума ускорения ТС. В связанном насыщенном и неустойчивом транспортных потоках шум ускорения повышается в результате занижения водителем безопасной дистанции до автомобиля-лидера. Уменьшение дистанции увеличивает количество торможений с интенсивным замедлением, поэтому определить повышение опасности управления ТС можно только измерением шума ускорения, создаваемого ТС.

Из изложенного следует, что для повышения уровня БДД в свободном и частично связанном транспортных потоках необходимо уменьшить долю водителей, превышающих разрешенную скорость, а в связанном и насыщенном

транспортных потоках – долю водителей, занижающих безопасную дистанцию. Эффективное решение этих задач возможно при применении устройства для контроля управления ТС [17]. Однако сроки появления этого устройства на рынке пока что неясны.

Сегодня эффективно развиваются средства контроля скорости (СКС) с помощью фотовидеофиксации. Большинство из них устанавливается стационарно, в известных водителям местах, поэтому, приближаясь к СКС, водители снижают скорость до разрешенной величины, а потом, проехав СКС, увеличивают ее. Количество штрафов, которые могут быть наложены на водителя с помощью таких СКС, ничем не ограничено, поэтому водители, имеющие возможность оплачивать эти штрафы, рассматривают их как плату за проезд по дороге. В результате этого стационарные СКС не столько ограничивают максимальную скорость, до которой разгоняются водители, сколько являются средством пополнения местных бюджетов.

Для повышения БДД необходимо, чтобы водитель не мог превысить разрешенную скорость в процессе всей поездки. Это можно сделать, разбив дорогу на отдельные участки, на каждом из которых фиксируется средняя скорость ТС (один СКС устанавливается в начале участка, другой в конце). Для вычисления средней скорости измеряется время прохождения этого участка каждым ТС.

Для определения допустимой величины превышения разрешенной скорости проведен расчетный эксперимент. Участок разделили на четыре зоны, в которых установили следующие ограничения скорости: 90, 70, 50 и 30 км/ч. Протяженность выделенных зон изменялась от 0,1 до 0,4 длины контрольного участка. Вычислены средняя скорость прохождения контрольного участка при движении в каждой зоне с разрешенной скоростью и средние скорости прохождения контрольного участка при превышении разрешенной скорости на 10 и 20 км/ч в каждой зоне и в двух из

четырёх зон. При превышении разрешенной скорости на одинаковую величину в каждой зоне средняя скорость прохождения контрольного участка повысилась на величину превышения разрешенной скорости. При превышении разрешенной скорости в двух из четырех зон средняя скорость повышалась на величину среднего превышения разрешенной скорости на контрольном участке.

Измеряя среднюю скорость прохождения контрольного участка, мы сможем принудить водителя не превышать разрешенную скорость при движении в любой зоне участка. Это произойдет потому, что, превысив разрешенную максимальную скорость в одной из зон, он вынужден будет либо остановиться, либо снизить скорость относительно разрешенной величины при прохождении других зон, чтобы избежать наложения штрафных санкций. Иными словами, превышение разрешенной скорости теряет смысл.

Выводы

1. Для повышения безопасности дорожного движения необходимо умень-

шить число водителей, превышающих разрешенную скорость в свободном и частично связанном транспортных потоках, а также число водителей, занижающих безопасную дистанцию при движении в связанном транспортном потоке. Первую задачу можно решить путем применения стационарных СКС для измерения средней скорости на выделенных участках дороги. Для решения второй задачи необходимо установить устройство для контроля управления ТС на большинство автомобилей, участвующих в дорожном движении.

2. Чтобы применить СКС, измеряющие среднюю скорость, необходимо внести следующие изменения в нормативно-правовые документы:

- дополнить ПДД понятием «максимальная средняя скорость» на контролируемом участке дороги;
- дополнить ПДД знаком, информирующем водителей об ограничении максимальной средней скорости;
- дополнить КоАП нормой, устанавливающей меру ответственности в зависимости от величины превышения установленной максимальной средней скорости. ■

Литература

1. Майборода О. В., Литвинова Т. А. Какая статистика нам необходима? // Автомобильный транспорт, 1995, № 3. С. 18–22.
2. Майборода О. В., Литвинова Т. А. Активная безопасность АТС. Состояние и пути повышения // Автомобильная промышленность. 1995. № 1. С. 32–36.
3. Майборода О. В., Каленов Г. К. Вероятностные показатели безопасности дорожного движения / Современные технологии управления в автотранспортных системах : сб. научн. тр. – М., 2007. – С. 148–151.
4. Каленов, Г. К. Повышение безопасности дорожного движения в Республике Казахстан : дис. ... на соиск. уч. ст. канд. техн. наук : ФГБОУ ВПО «Московский автомобильно-дорожный государственный технический университет». – 2008. 139 с.
5. Майборода О. В., Дронсейко В. В. Применение методов теории надежности при анализе аварийности на автотранспортных предприятиях // Автотранспортное предприятие. – 2016. № 4. С. 36–39. ISSN 2076-3050.
6. Дронсейко В. В. Показатели опасного управления транспортным средством и контроль за поведением водителей в дорожном движении как управленческое решение : дис. ... на соиск. уч. ст. канд. техн. наук : 05.22.10. – М. : ФГБОУ ВПО «Московский автомобильно-дорожный государственный технический университет». 2017. – 112 с.
7. Вентцель Е. С. Теория вероятностей : учеб. для вузов. – М. : Высш. шк., 1999. – 576 с.
8. Баженов Ю. В. Основы теории надежности машин : учебное пособие. – М. : ИНФРА-М, 2019. – 2-е изд., испр. и доп. – М. : ИНФРА-М, 2019. – 320 с.
9. Бабков В. Ф. Дорожные условия и безопасность движения / В. Ф. Бабков. – М. : Транспорт, 1970. – 256 с.

10. Бабков В. Ф. Дорожные условия и безопасность движения. М. : Транспорт, 1982. – 288 с.
11. Клинковштейн Г. И., Афанасьев М. Б. Организация и безопасность движения: учеб. для вузов / Г. И. Клинковштейн, М. Б. Афанасьев. – 4-е изд., перераб. и доп. – М. : Транспорт, 1997. – 4-е изд., перераб. и доп. – 231 с.
12. Сарымсаков Б. А. Разработка экономичной модели управления автомобилем : дис. ... на соиск. уч. ст. канд. техн. наук : 05.22.10. – М. : ФГБОУ ВПО «Московский автомобильно-дорожный государственный технический университет». 2015. – 146 с.
13. Маткеримов Т. Ы., Сарымсаков Б. А. Разработка безопасной модели поведения водителя в дорожном движении // Известия Кыргызского государственного технического университета им. И. Раззакова. № 4 (44). 2017. С. 422–428. ISSN 1694-5557.
14. Бабков, В. Ф. Дорожные условия и безопасность движения : учебник для вузов / В. Ф. Бабков. – М. : Академия, 1993. – 188 с.
15. Эльвик Р., Боргер А. и др. Справочник по безопасности дорожного движения. Обзор мероприятий по безопасности дорожного движения / Р. Эльвик, А. Боргер [и др.]. – Осло : Институт экономики транспорта, 1996. – 646 с.
16. Дрю Д. Теория транспортных потоков и управление ими / Пер. с англ. Е. Г. Коваленко, Шермана Г. Д. Шермана / под ред. чл.-корр. АН СССР Бусленко Е.Г. Бусленко. – М. : Транспорт, 1972. – 35.
17. Патент № 2664094 Российская Федерация, МПК В60R 99/00(2009.01). Устройство для контроля управления транспортным средством : заявл. 01.09.2011 : опубли. : 10.02.2012 / Майборода О. В., Рыбкин С. В., Травянко А.Л. URL: https://yandex.ru/patents/doc/RU113218U1_20120210 (дата обращения: 9.09.2020).

Literature

1. Majboroda O. V., Litvinova T. A. What statistics do we need? // Automobile transport, [Kakaya statistika nam neobkhodima? // Avtomobil'nyj transport]. 1995, № 3.
2. Majboroda O. V., Litvinova T. A. Active security of MVN. The state and ways of improvement // Automotive industry. [Aktivnaya bezopasnost' ATS. Sostoyanie i puti povysheniya // Avtomobil'naya promyshlennost']. 1995. № 1. Pp. 32–36.
3. Majboroda O. V., Kalenov G. K. Probabilistic indicators of road traffic safety / Modern management technologies in motor transport systems: collection of scientific works [Veroyatnostnye pokazateli bezopasnosti dorozhnogo dvizheniya / Sovremennye tekhnologii upravleniya v avtotransportnykh sistemakh : sbornik nauchnykh trudov]. M., 2007. Pp. 148–151.
4. Kalenov, G. K. Improving road safety in the Republic of Kazakhstan: dis. ... for the degree of Candidate of Technical Sciences: FSBEI HPE «Moscow Automobile and Road State Technical University». [Povyshenie bezopasnosti dorozhnogo dvizheniya v Respublike Kazakhstan : dissertatsiya ... na soiskanie uchenoj stepeni kandidata tekhnicheskikh nauk : FGBOU VPO «Moskovskij avtomobil'no-dorozhnyj gosudarstvennyj tekhnicheskij universitet»]. 2008. 139 p.
5. Majboroda O. V., Dronseiko V. V. Application of methods of the theory of reliability in the analysis of accidents at motor transport enterprises. [Primenenie metodov teorii nadezhnosti pri analize avarijnosti na avtotransportnykh predpriyatiyakh // Avtotransportnoe predpriyatie]. 2016. № 4. Pp. 36–39. ISSN 2076-3050.
6. Dronseiko V. V. Indicators of dangerous vehicle management and control over the behaviour of drivers in road traffic as a management solution: dis. ... for the degree of Candidate of Technical Sciences: 05.22.10. M. : Moscow Automobile and Road State Technical University, [Pokazateli opasnom upravleniya transportnym sredstvom i kontrol' za povedeniem voditelej v dorozhnom dvizhenii kak upravlencheskoe reshenie : dissertatsiya ... na soiskanie uchenoj stepeni kandidata tekhnicheskikh nauk : 05.22.10. – M. : FGBOU VPO «Moskovskij avtomobil'no-dorozhnyj gosudarstvennyj tekhnicheskij universitet»]. M., 2017. – 112 p.
7. Venttsel E. S. The theory of probability: textbook. for universities. M. : Higher School [Teoriya veroyatnostej : uchebnik dlya vuzov. – M. : Vysshaya shkola]. 1999. 576 p.
8. Bazhenov Yu. V. Fundamentals of the theory of machine reliability: a textbook. – M. : INFRA-M, 2019. – 2nd ed., revised and enlarged [Osnovy teorii nadezhnosti mashin : uchebnoe posobie. – M. : INFRA-M, 2019. – 2-e izdanie, ispravlennoe i dopolnennoe]. 320 p.
9. Babkov V. F. Road conditions and traffic safety. – M. : Transport, [Dorozhnye usloviya i bezopasnost' dvizheniya. – M.: Transport]. 1970. 256 p.

10. Babkov V. F. Road conditions and traffic safety. М. : Transport, [Dorozhnye usloviya i bezopasnost' dvizheniya. М. : Transport]. 1982. 288 p.
11. Klinkovshstein G. I., Afanas'ev M. B. Organization and traffic safety: textbook. for universities. – М. : Transport, 1997. – 4th ed., updated and enlarged [Organizatsiya i bezopasnost' dvizheniya : uchebnik dlya vuzov. – М. : Transport, 1997. – 4-e izdanie, pererabotannoe i dopolnennoe]. – 231 p.
12. Sarymsakov B. A. Development of an efficient model of automobile control: diss. ... for the degree of Candidate of Technical Sciences: 05.22.10. – М. : FSBEI HPE «Moscow Automobile and Road State Technical University». [Razrabotka ehkonomichnoj modeli upravleniya avtomobilem : dissertatsiya ... na soiskanie uchenoj stepeni kandidata tekhnicheskikh nauk : 05.22.10. – М. : FGBOU VPO «Moskovskij avtomobil'no-dorozhnyj gosudarstvennyj tekhnicheskij universitet»]. 2015. – 146 p.
13. Matkerimov T. Y., Sarymsakov B. A. Development of a safe model of driver behaviour in road traffic // News-bulletin of the Kyrgyz State Technical University named after I. Razzakov. [Razrabotka bezopasnoj modeli povedeniya voditelya v dorozhnom dvizhenii // Izvestiya Kyrgyzskogo gosudarstvennogo tekhnicheskogo universiteta im. I. Razzakova]. № 4 (44). 2017. Pp. 422–428. ISSN 1694-5557.
14. Babkov V. F. Road conditions and traffic safety: textbook for universities. - М. : Akademiya [Dorozhnye usloviya i bezopasnost' dvizheniya : uchebnik dlya vuzov. – М. : Akademiya]. 1993. – 188 p.
15. Elvik R., Borger A., et al. Reference book of road safety. An overview of road safety measures. Oslo : Institute of Transport Economics [Spravochnik po bezopasnosti dorozhnogo dvizheniya. Obzor meropriyatij po bezopasnosti dorozhnogo dvizheniya. – Oslo : Institut ehkonomiki transporta]. 1996, 646 p.
16. Drew D. The theory of transport flows and their management / Translated from English by E. G. Kovalenko, G. D. Sherman / ed. by E. G. Buslenko associate-member of Academy of Sciences of the USSR. – М. : Transport [Teoriya transportnykh potokov i upravlenie imi / Per. s angl. E. G. Kovalenko, G. D. SHERmana / pod red. chl.-korr. AN SSSR E. G. Buslenko. – М. : Transport]. 1972. – 35.
17. Patent № 2664094 Russian Federation: Operating control device of a motor vehicle / O. V. Majboroda, S. V. Rybkin, A. L. Travyanko. [Patent №2664094 Rossijskaya Federatsiya : Ustrojstvo dlya kontrolya upravleniya transportnym sredstvom / O. V. Majboroda, S. V. Rybkin, A. L. Travyanko].

Статья сдана в редакцию 10 сентября 2020 года

Аспирантская тетрадь

УДК 629.423.1

Т. В. Волчек

Влияние плавного и ступенчатого регулирования ослабления возбуждения тяговых электродвигателей электровозов на скорость движения электроподвижного состава

UDC 629.423.1

T. V. Volchek

Influence of smooth and step-by-step regulation of excitation attenuation of traction electric motors of electric locomotives on the speed of movement of electric rolling stock

Аннотация

После достижения максимального напряжения на 4-й зоне регулирования выпрямительно-инверторного преобразователя электровоза переменного тока дальнейшее увеличение скорости достигается с помощью подключения системы ослабления поля (ОП) тяговых электродвигателей (ТЭД). На всех отечественных электровозах применяется система ОП ТЭД индуктивно-активного типа со ступенчатым переключением. Однако у нее есть недостатки, один из них заключается в том, что ступенчатое переключение вызывает потери скорости и замедляет ускорение электроподвижного состава (ЭПС).

К 2025 г. поставлена задача повысить скорость движения грузовых поездов, что позволит увеличить грузооборот по сети железных дорог [1]. Одно из решений – совершенствование ЭПС. В связи с этим предлагается усовершенствовать штатную систему ОП ТЭД электровоза путем применения IGBT-транзисторов, которые позволяют плавно регулировать ток возбуждения.

В статье с помощью графического способа МПС построена кривая скорости движения поезда, которая доказывает, что плавное регулирование ОП ТЭД электровоза позволяет быстрее достичь максимально допустимую скорость движения электровоза на участке, в подъем двигаться с более высокой скоростью, чем при ступенчатом регулировании. Также проведено моделирование электровоза серии ЗЭС5К в программном комплексе «Кортес» на участке Зима – Иркутск-Сортировочный, которое доказало, что при плавном регулировании ОП ТЭД техническая скорость ЭПС увеличивается не менее чем на 2,5 км/ч.

Ключевые слова: техническая скорость, ступенчатое регулирование, плавное регулирование, тяговый электродвигатель, ослабление поля, IGBT-транзистор.

DOI: 10.20291/2079-0392-2021-2-99-105

Abstract

After reaching the maximum voltage at the 4th control zone of the rectifier-inverter converter of an AC electric locomotive, a further increase in speed is achieved by connecting the field attenuation system (FA) of traction electric motors (TEM). All domestic electric locomotives use the FA TEM system of the inductively active type with step switching. However, it has drawbacks, one of them is that step switching causes speed losses and slows down the acceleration of electric rolling stock (ERS).

By 2025, the goal is to increase the speed of freight trains, which will increase freight turnover on the railway network [1]. One solution is to improve the ERS. In this regard, it is proposed to improve the standard FA TEM system of an electric locomotive by using IGBT transistors, which allow smooth regulation of the excitation current.

In the article, using the graphical method of the RM, a curve of the train speed is constructed, which proves that the smooth control of the electric locomotive FA TEM allows you to quickly reach the maximum permissible speed of the electric locomotive on the section and to move at a higher speed in the ascent than with step-by-step regulation. The simulation of the 3ES5K series electric locomotive in the «Cortes» software complex on the Winter – Irkutsk-Sortirovochny section was also carried out, which proved that with the smooth regulation of the FA TEM, the technical speed of the ERS increases by at least 2,5 km/h.

Keywords: technical speed, step regulation, smooth regulation, traction motor, field attenuation, IGBT transistor.

DOI: 10.20291/2079-0392-2021-2-99-105

Статья рекомендована к опубликованию канд. техн. наук, доцентом Уральского государственного университета путей сообщения Н. О. Фроловым. E-mail: nfrokjv@usurt.ru

Татьяна Витальевна Волчек, аспирант кафедры «Электроподвижной состав» Иркутского государственного университета путей сообщения. Иркутск, Россия. E-mail: tanya.vol4eck@yandex.ru. ORCID 0000-0003-1606-4511.

The article is recommended for publishing by Candidate of Technical Science, Associate Professor of the Ural State University of Railway Transport N. O. Frolov. E-mail: nfrokjv@usurt.ru

Tatyana V. Volchek, Post-graduate student of the chair of «Electric Rolling Stock» of the Irkutsk State University of Railway Transport, Irkutsk, Russia. E-mail: tanya.vol4eck@yandex.ru. ORCID 0000-0003-1606-4511.

Вся история развития железнодорожного транспорта связана со стремлением обеспечить максимальные рабочие скорости движения, минимальное время в пути, увеличение использования пропускной способности магистралей.

На всех отечественных электровагонах переменного тока с коллекторными ТЭД после достижения максимального напряжения на 4-й зоне регулирования выпрямительно-инверторного преобразователя дальнейшее увеличение скорости достигается за счет включения параллельно обмотки возбуждения (ОВ) ТЭД системы ОП [2–4]. На современных электровагонах серий 2, 3, 4 ЭС5К «Ермак» с коллекторными ТЭД применяется система ОП ТЭД индуктивно-активного типа с тремя ступенями регулирования [5]. Тяговая характеристика данного электровагона представлена на рис. 1.

Из рис. 1 ясно, что переключение с полного поля (ПП) на первую ступень ОП (ОП1) возможно при скорости 55 км/ч, с ОП1 на вторую ОП (ОП2) – при 60 км/ч, с ОП2 на третью ОП (ОП3) – при 62 км/ч.

Таким образом, при ступенчатом регулировании ОП ТЭД возникают потери скорости движения ЭПС. С помощью аналитического преобразования уравнения движения поезда получено выражение, характеризующее потери скорости:

$$\Delta V = \frac{\Delta F}{m_a} \cdot \left[\tau - T_{\Pi} \cdot \left(1 - e^{-\frac{\tau}{T_{\Pi}}} \right) \right], \quad (1)$$

где ΔV – потери скорости движения; m_a – масса поезда; ΔF – изменение силы тяги ТЭД; τ – время выдержки на ступени регулирования; T_{Π} – постоянная времени разгона поезда.

Чтобы исключить эти потери, необходимо выполнение условия:

$$\tau - T_{\Pi} \cdot \left(1 - e^{-\frac{\tau}{T_{\Pi}}} \right) = 0,$$

что возможно только при $\tau = 0$, учитывая, что $\tau = \frac{t_{\Pi}}{n_p}$, где t_{Π} – это общее время пуска; n_p – число ступеней регулирования ОП, если $n_p \rightarrow \infty$, то $\tau \rightarrow 0$, данное

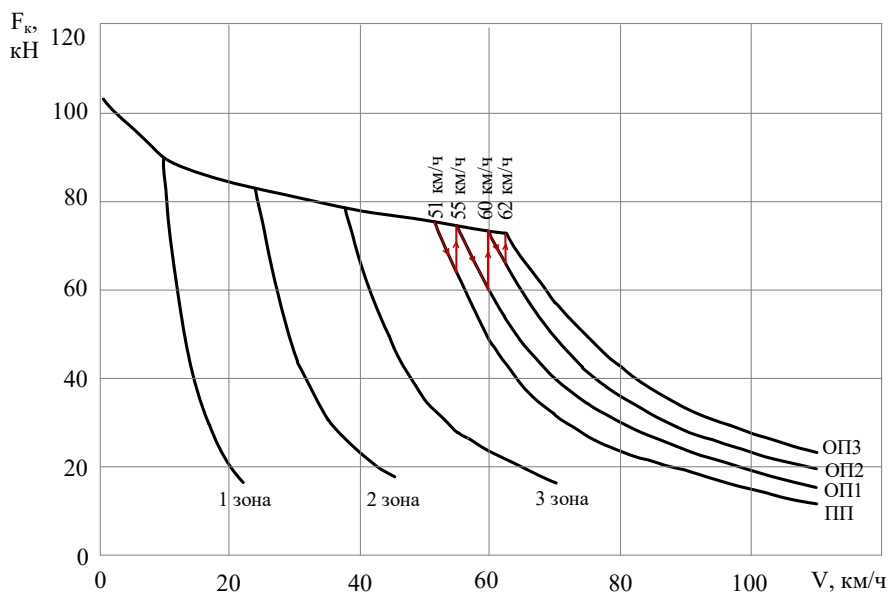


Рис. 1. Тяговая характеристика электровагона 2ЭС5К с тремя ступенями ОП ТЭД

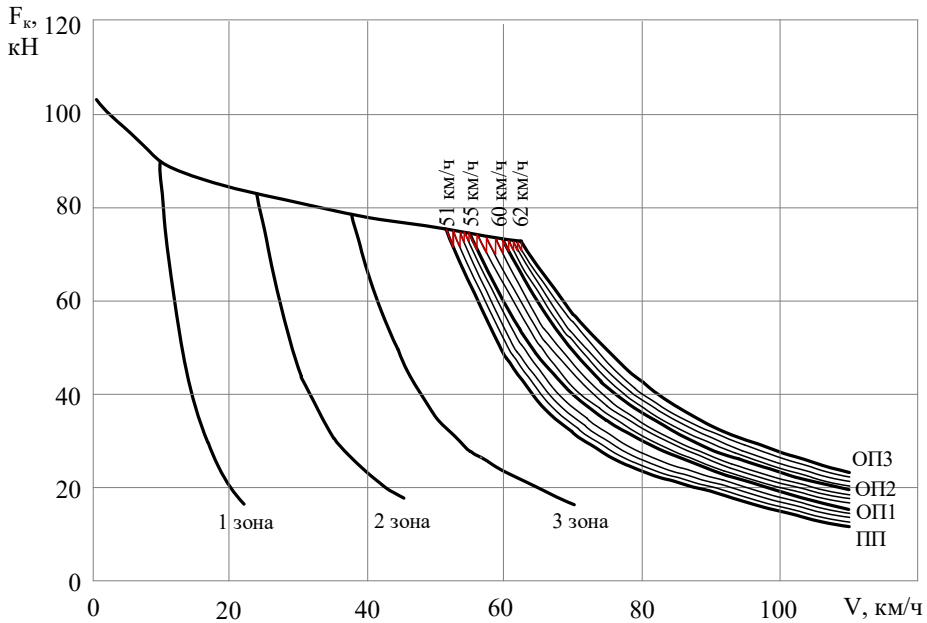


Рис.2. Тяговая характеристика электровоза 2ЭС5К с плавным регулированием ОП ТЭД

условие может быть реализовано только при плавном регулировании ОП ТЭД электровоза [6, 7].

Зададим промежуточные ступени ОП на тяговой характеристике электровоза серии 2ЭС5К для наглядности плавного регулирования ОП (рис. 2). Эта характеристика позволяет электровозу работать в области, близкой к ограничению по сцеплению, что исключает потери скорости движения.

С помощью графического способа МПС на основании тяговых характеристик электровоза 2ЭС5К с тремя ступенями и с плавным регулированием ОП ТЭД построена диаграмма удельных ускоряющих и замедляющих сил, на основании которой выполняется построение кривой скорости поезда (рис. 3). Построение кривой скорости для определенного профиля пути начинается с момента трогания поезда со станции. Модель поезда представляет собой материальную точку, которая расположена в середине поезда [8–10].

Анализ рис. 3 показывает, что на равнинном участке после достижения

скорости 51 км/ч скорость электровоза с плавным регулированием ОП увеличивается стремительнее, чем у электровоза с тремя ступенями ОП, что позволяет быстрее достигнуть максимальной скорости движения 80 км/ч. На подъеме скорость электровоза с плавным регулированием ОП ТЭД уменьшается медленнее, чем скорость электровоза с тремя ступенями ОП, поэтому к концу подъема скорость ЭПС равна 62 км/ч, когда у электровоза с тремя ступенями – 51 км/ч.

Таким образом, система ОП ТЭД с плавным регулированием позволяет увеличить техническую скорость движения поезда и сократить время движения ЭПС.

Чтобы выявить, на сколько плавное регулирование ОП ТЭД позволит повысить скорость движения ЭПС, проведено моделирование электровоза 2ЭС5К с тремя и девятью ступенями (моделирование плавного регулирования ОП) ОП ТЭД на участке Зима – Иркутск-Сортировочный в программном комплексе «Кортес» [7, 11]. Основные показатели представлены в таблице.

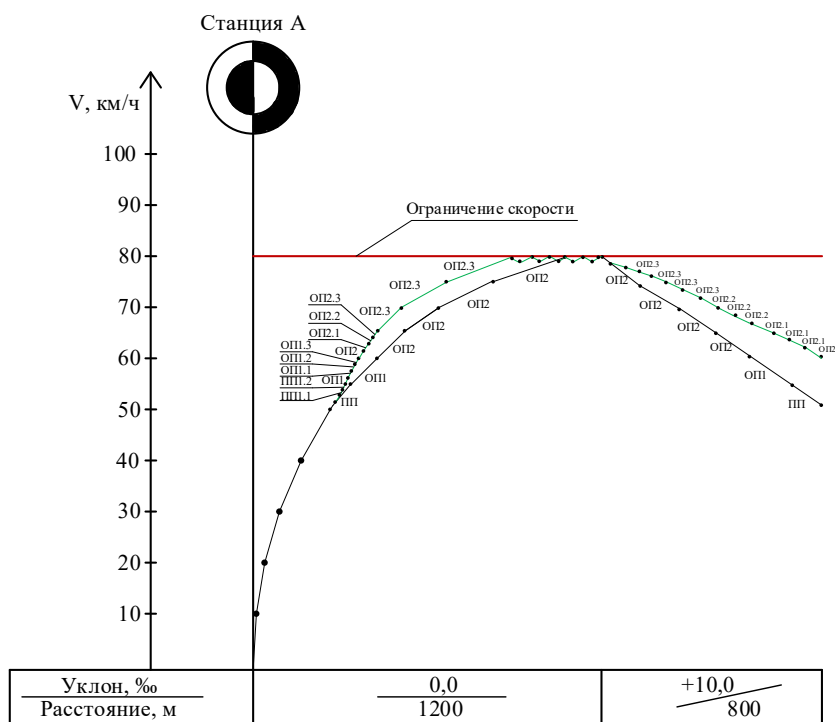


Рис. 3. Кривая скорости электровоза с тремя ступенями и плавным регулированием ОП ТЭД

Показатель, ед.	Ступенчатое регулирование ОП ТЭД	Плавное регулирование ОП ТЭД
Полное время хода, мин	210,3	205,5
Полный расход электроэнергии, кВт · ч	25608,2	26817,6
Полный удельный расход электроэнергии, кВт · ч/тк · м	14,8	15,5
Техническая скорость, км/ч	71,6	74,1
Ток электровоза, макс, А	605	660
Перегрев обмотки, макс, °С	110	115

Для наглядного отображения увеличения скорости при плавном регулировании ОП ТЭД с программного комплекса «Кортэс» с шагом усреднения по времени 0,25 с в программу Excel перенесены координаты точек скорости от профиля пути и построен график с кривыми скоростей при ступенчатом и плавном регулировании ОП ТЭД электровоза на перегоне Кутулик – Забитуй участка Зима – Иркутск-Сортировочный (рис. 4).

Анализ рис. 4 показывает, что кривая скорости при плавном регулировании ОП ТЭД ЭПС расположена выше

кривой скорости при ступенчатом регулировании, что позволяет увеличить техническую скорость ЭПС не менее чем на 2,5 км/ч и сократить время хода электровоза.

С развитием электронной базы появилась возможность усовершенствовать штатную систему ОП ТЭД [12, 13]. Предлагается система ОП ТЭД на базе IGBT-транзисторов, алгоритм управления которыми позволяет плавно регулировать ток возбуждения, что увеличивает техническую скорость ЭПС не менее чем на 2,5 км/ч [14].

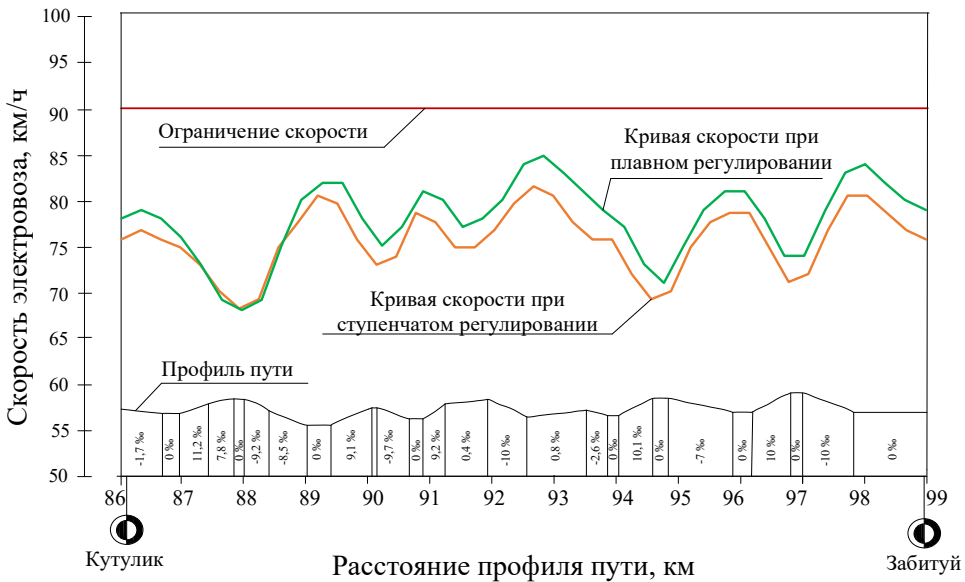


Рис. 4. Кривые скорости при ступенчатом и плавном регулировании ОП ТЭД электровоза

Заключение

1. Доказано, что плавное регулирование ОП ТЭД электровоза позволяет быстрее достичь максимально допустимую скорость ЭПС на участке и двигаться с большей скоростью в подъем, чем при ступенчатом регулировании.

2. Моделирование электровоза 2ЭС5К с тремя ступенями и плавным регулированием ОП ТЭД на участке

Зима – Иркутск-Сортировочный показало, что за счет плавного регулирования тока возбуждения техническая скорость движения поезда увеличивается не менее чем на 2,5 км/ч.

3. Экономический эффект от внедрения предлагаемой усовершенствованной системы ОП ТЭД с плавным регулированием на один электровоз серии «ЗЭС5К» составит 393,71 тыс. руб. ■

Литература

1. Долгосрочная программа развития ОАО «РЖД» до 2025 года. – М. : ОАО «РЖД». 2018. 93 с.
2. Тихменев Б. Н. Подвижной состав электрифицированных железных дорог. Теория работы электрооборудования. Электрические схемы и аппараты : учебник / Б. Н. Тихменев, Л. М. Трахтман. – М. : Транспорт. – 1980. – 470 с.
3. Тихменев Б. Н. Электровозы переменного тока с тиристорными преобразователями / Б. Н. Тихменев, В. А. Кучумов. – М. : Транспорт. – 1988. – 312 с.
4. Плакс А. В. Система управления электрическим подвижным составом. – М. : Маршрут, 2005. – 360 с. ISBN. 5-89035-303-9.
5. Электровоз магистральный 2ЭС5К (ЗЭС5К) : руководство по эксплуатации. – Новочеркасск. – В 8-ми т. – 2004.
6. Евстафьев А. М. Электронные системы ослабления возбуждения тяговых двигателей электроподвижного состава : дисс. ... на соиск. уч. ст. канд. техн. наук. – СПб : ПГУПС, 2005, 135 с.
7. Волчек Т.В. Повышение технической скорости электроподвижного состава за счет обеспечения плавного регулирования тока возбуждения тяговых электродвигателей / О. В. Мельниченко, С. Г. Шрамко, В. С. Томилов // Современные технологии. Системный анализ. Моделирование. 2020. № 3 (67). С. 166–172. ISSN 1813-9108.

8. Осипов С. И. Теория электрической тяги : учебник для вузов ж.-д. транспорта / С. И. Осипов, С. С. Осипов, В. П. Феокимсилов. – М. : Маршрут, 2006. – 436 с. ISBN 5-89035-333-0.
9. Розенфельд В. Е., Исаев И. П., Сидоров Н. Н., Озеров М. И. Теория электрической тяги. – М. : Транспорт, 1995. – 294 с. ISBN 5-277-01462-4.
10. Гребенюк П. Т., Долганов А. Н., Скворцов А. И. Тяговые расчеты : справочник / под ред. П. Т. Гребенюка. – М. : Транспорт, 1987. – 272 с.
11. Информационная система «Грузопоток» : руководство по эксплуатации ООО ИЦ «Кортес». – М., 2008. – 48 с.
12. Засорин С. Н., Мицкевич В. А., Кучма К. Г. Электронная и преобразовательная техника : учебник / под ред. С. Н. Засорина. – М. : Транспорт. – 1981. – 319 с.
13. Мазнёв А. С. Электронные системы управления для электроподвижного состава постоянного тока / А. С. Мазнёв, А. М. Евстафьев / Современные технологии – транспорту // Известия ПГУПС. 2007. С. 60–69. ISSN 1815-588X.
14. Волчек Т. В. Математическое моделирование энергоэффективной системы ослабления поля тяговых электрических двигателей электровозов переменного тока / Т. В. Волчек, О. В. Мельниченко, А. О. Линьков // Известия Транссиба. 2019. № 3 (39). С. 2–12. ISSN 2220-4245.

Literature

1. Long-term development program of JSC «Russian Railways» until 2025. – М. : JSC «Russian Railways» [Dolgosrochnaya programma razvitiya OAO «RZHD» do 2025 goda. – М. : OAO «RZHD»]. 2018. 93 p.
2. Tikhmenev B. N. Rolling stock of electrified railways. Theory of electrical equipment operation. Electric circuits and apparatuses: textbook / B. N. Tikhmenev, L. M. Trakhtman. – М. : Transport [Podvizhnoj sostav ehlektrifitsirovannykh zheleznykh dorog. Teoriya raboty ehlektrooborudovaniya. EHlektricheskie skhemy i apparaty : uchebnik / B. N. Tikhmenev, L. M. Trakhtman. – М. : Transport]. – 1980. – 470 p.
3. Tikhmenev B. N. Electric locomotives of alternating current with thyristor converters / B. N. Tikhmenev, V. A. Kuchumov. – М. : Transport. [EHlektrovozy peremennogo toka s tiristornymi preobrazovatelyami / B. N. Tikhmenev, V. A. Kuchumov. – М. : Transport]. 1988. 312 p.
4. Plaks A. V. Control system of electric rolling stock. – М. : Route [Sistema upravleniya ehlektricheskim podvizhnym sostavom. – М. : Marshrut]. 2005. 360 p. ISBN 5-89035-303-9.
5. Mainline electric locomotive 2ES5K (3ES5K): operation manual. – Novocherkassk. – In 8 vols. [EHlektrovoz magistral'nyj 2EHS5K (3EHS5K) : rukovodstvo po ehkspluatatsii. – Novocherkassk. – V 8-mi t.]. – 2004.
6. Evstafyev A. M. Electronic systems for attenuating the excitation of traction motors of electric rolling stock: diss. ... for the degree of Candidate of Technical Science. – St. Petersburg : PSURT, [EHlektronnye sistemy oslableniya vzbuzhdeniya tyagovykh dvigatelej ehlektropodvizhnogo sostava : diss. ... na soisk. uch. st. kand. tekhn. nauk. – SPb : PGUPS]. 2005, 135 p.
7. Volchek T. V. Improving the technical speed of electric rolling stock by ensuring smooth regulation of the excitation current of traction electric motors / O. V. Melnichenko, S. G. Shramko, V. S. Tomilov // Modern technologies. System analysis. Modeling. [Povyshenie tekhnicheskoy skorosti ehlektropodvizhnogo sostava za schet obespecheniya pлавного regulirovaniya toka vzbuzhdeniya tyagovykh ehlektrodvigatelej / O. V. Mel'nichenko, S. G. SHramko, V. S. Tomilov // Sovremennye tekhnologii. Sistemnyj analiz. Modelirovanie.]. 2020. No. 3 (67). pp. 166-172. ISSN 1813-9108.
8. Osipov S. I. Theory of electric traction: textbook for universities of railway transport / S. I. Osipov, S. S. Osipov, V. P. Feokimsirov. - М.: Route, [Teoriya ehlektricheskoy tyagi : uchebnik dlya vuzov zh.-d. transporta / S. I. Osipov, S. S. Osipov, V. P. Feokimsirov. – М. : Marshrut]. 2006. – 436 p. ISBN 5-89035-333-0.
9. Rosenfeld V. E., Isaev I. P., Sidorov N. N., Ozerov M. I. Theory of electric traction. – М. : Transport [Teoriya ehlektricheskoy tyagi. – М. : Transport]. 1995. – 294 p. ISBN 5-277-01462-4.
10. Grebenyuk, P. T., Dolganov A. N., Skvortsov, A. I. Traction calculations : Reference book / edited by P. T. Grebenyuk. – М. : Transport [Tyagovye raschety : spravochnik / pod. red. P. T. Grebenyuka. – М. : Transport]. 1987. – 272 p.

11. Information system «Cargo flow»: manual of operation of LLC IC «Cortes». [Informatsionnaya sistema «Gruzopotok»: rukovodstvo po ehkspluatatsii OOO ITs «Kortes»]. – M., 2008. – 48 p.
12. Zasorin S. N., Mitskevich V. A., Kuchma K. G. Electronic and transformative technology: textbook / ed. by S. N. Zasorin. – M.: Transport. [Ehlektronnaya i preobrazovatel'naya tekhnika: uchebnik / pod red. S.N. Zasorina. – M.: Transport]. 1981. 319 p.
13. Maznyov A. S. Electronic control systems for electric rolling stock of direct current / A. S. Maznev, A. M. Evstaf'ev / Modern technologies-transport // PSURT news-bulletin. [Ehlektronnye sistemy upravleniya dlya ehlektropodvizhnogo sostava postoyannogo toka / A. S. Maznyov, A. M. Evstaf'ev / Sovremennye tekhnologii – transportu // Izvestiya PGUPS]. 2007. Pp. 60-69. ISSN 1815-588X.
14. Volchek T. V. Mathematical modeling of an energy-efficient system for field attenuation of traction electric motors of alternating current electric locomotives / T. V. Volchek, O. V. Melnichenko, A. O. Linkov // Transsib news-bulletin. [Matematicheskoe modelirovanie ehnergoehffektivnoj sistemy oslableniya polya tyagovykh ehlektricheskikh dvigatelej ehlektrovozov peremennogo toka / T. V. Volchek, O. V. Mel'nichenko, A. O. Lin'kov // Izvestiya Transsiba]. 2019. № 3 (39). Pp. 2–12. ISSN 2220-4245.

Статья сдана в редакцию 21 апреля 2021 года

В. С. Томилов

Моделирование работы электровоза переменного тока в режиме рекуперативного торможения

V. S. Tomilov

Simulation of an ac electric locomotive operation in the regenerative braking mode

Аннотация

Рекуперативное торможение является одним из важнейших энергосберегающих ресурсов на электроподвижном составе (ЭПС) железных дорог, и целесообразность его применения подтверждается полувековой историей. Развитие режима рекуперации начинается с момента выпуска опытного электровоза переменного тока серии ВЛ61 №012 и продолжается с выпуском современных серий электровозов 2(3, 4)ЭС5К и ЭП1в/и. Применение рекуперации позволяет добиться значительной экономии электроэнергии, обеспечить безопасность вождения тяжеловесных поездов на профиле пути с затяжными спусками. В режиме рекуперативного торможения ЭПС обладает жесткими тормозными характеристиками, обеспечивая поддержание постоянной скорости движения поезда, повышая техническую скорость поезда и увеличивая пропускную способность участка железной дороги. В настоящей статье приведены результаты математического моделирования работы электровоза переменного тока в режиме рекуперативного торможения при использовании штатного выпрямительно-инверторного преобразователя (ВИП) и наличии блоков балластных резисторов (ББР) в силовой цепи с использованием перспективного ВИП на базе IGBT-транзисторов, для которого разработан способ реализации рекуперативного торможения на электровозах переменного тока без применения ББР в якорной цепи тяговых электрических двигателей, с помощью чего можно добиться увеличения величины отдаваемой электроэнергии в контактную сеть, а также расширения области тормозных характеристик электровоза.

Ключевые слова: рекуперативное торможение, коэффициент мощности, электроподвижной состав, математическое моделирование, IGBT-транзистор.
DOI: 10.20291/2079-0392-2021-2-106-114

Abstract

Regenerative braking is one of the most important energy-saving resources on electric rolling stock (EPS) of railways and feasibility of its use is confirmed by a rich half-century history. The development of the recovery mode begins with the release of the experimental AC electric locomotive of the VL61 series № 012 and continues with the release of the modern series of electric locomotives 2 (3, 4) ES5K and EP1v/i. The use of recuperation allows you to achieve significant energy savings, to ensure the safety of driving heavy trains on the track profile with long descents. In the regenerative braking mode, the EPS has rigid braking characteristics, ensuring maintenance of constant train speed, increasing the technical speed of the train and capacity of the railway section. This article presents the results of mathematical modeling of operation of an AC electric locomotive in the regenerative braking mode using a standard rectifier-inverter converter (RIC) and presence of ballast resistor blocks (BRB) in the power circuit, and using a promising RIC based on IGBT transistors, for which a method for implementing regenerative braking on AC electric locomotives without the use of BRB in the anchor circuit of traction electric motors is developed, with the help of which it is possible to increase the amount of electricity given to the contact network, as well as to expand the area of braking characteristics of the electric locomotive.

Keywords: regenerative braking, power factor, electric rolling stock, mathematical modeling, IGBT transistor.

DOI: 10.20291/2079-0392-2021-2-106-114

Статья рекомендована к опубликованию канд. техн. наук, доцентом Уральского государственного университета путей сообщения Н. О. Фроловым. E-mail: nfrk@usurt.ru

Вячеслав Станиславович Томилов, аспирант кафедры «Электроподвижной состав» Иркутского государственного путей сообщения г. Иркутск, Россия. Email: slavatomilov22@gmail.com. ORCID 0000-0001-6763-5631.

The article is recommended for publishing by Candidate of Technical Science, Associate Professor of the Ural State University of Railway Transport N. O. Frolov. E-mail: nfrk@usurt.ru.

Vyacheslav Stanislavovich Tomilov, Post-graduate student of the Chair «Electric Rolling Stock» of Irkutsk State Railway University, Irkutsk, Russia. Email: slavatomilov22@gmail.com. ORCID 0000-0001-6763-5631.

Анализ применения режима рекуперации электрической энергии на электровозах серии ВЛ60Р Дальневосточной железной дороги в 1964–1974 гг. дан в работах [1, 2]. Он показал, что среднегодовой возврат электрической энергии рекуперативным торможением составляет 12–18 % от расхода энергии на тягу поездов. За этот период были выявлены основные проблемы применения рекуперативного торможения на электровозах переменного тока. Но недостатки актуальны по сей день и в настоящее время требуют технических решений.

Сегодня возврат электроэнергии в режиме рекуперации составляет в среднем 23–26 %. Однако, несмотря на полувековое совершенствование рекуперативного торможения, остаются значительные недостатки, которые не позволяют в полной мере осуществлять энерго- и ресурсосбережение.

Так, в силовой цепи современного отечественного электровоза переменного тока есть блоки балластных резисторов (ББР), необходимость наличия которых диктуется статической устойчивостью работы системы рекуперативного торможения. ББР сильно ограничивает энергетические показатели электровоза, область тормозных характеристик и скорость движения по спуску, что влечет уменьшение пропускной способности тягового участка, требует дополнительного мотор-вентилятора и в целом снижает надежность силовой цепи электровоза. Велика и реактивная энергия из контактной сети, потребляемая электровозом в режиме рекуперации. Коэффициент мощности (K_M) не превышает в эксплуатации значения 0,65 [1–3].

Для устранения этих недостатков разработан выпрямительно-инверторный преобразователь на базе полностью управляемых IGBT-транзисторов [4–6]; ими можно управлять включая/выключая в любой момент полупериода напряжения. Применение полностью управляемых транзисторов позволило разработать новый алгоритм управления таким преобразователем

для режима рекуперации, при котором отпадает надобность в применении ББР [6–8].

Моделирование проводилось в пакете Simulink, входящего в состав MatLAB, предназначенного для визуального моделирования нелинейных динамических систем, и именно он был использован для создания математической модели «тяговая подстанция – контактная сеть – электровоз» [9].

Моделирование электрических систем в пакете Simulink осуществляется в виде синтеза принципиальных или структурных схем, которые могут содержать передаточные функции элементов.

За основу силовой схемы математической модели принята силовая цепь электровоза серии 2ЭС5К, работающего в режиме рекуперативного торможения (рис. 1).

В результате моделирования получены диаграммы электромагнитных процессов электровоза (рис. 2–5) и значения энергетических показателей: коэффициент мощности, ток рекуперации и активная мощность на первичной обмотке тягового трансформатора.

Также смоделирован способ реализации рекуперативного торможения без применения ББР для ВИП на базе IGBT-транзисторов, который заключается в слежении за током генератора и увеличении напряжения ВИП таким образом, что внешняя характеристика преобразователя приобретает положительный наклон и надобность в ББР отпадает [4–6].

Моделирование проводилось для всех зон регулирования напряжения ВИП при равных условиях ($I_d = 810$ А), полученные значения энергетических показателей позволяют судить о целесообразности применения полностью управляемых IGBT-транзисторов в плечах ВИП и разработанного алгоритма управления им для режима рекуперации (таблица).

По данным таблицы построены зависимости коэффициента мощности (рис. 6), тока рекуперации (рис. 7)

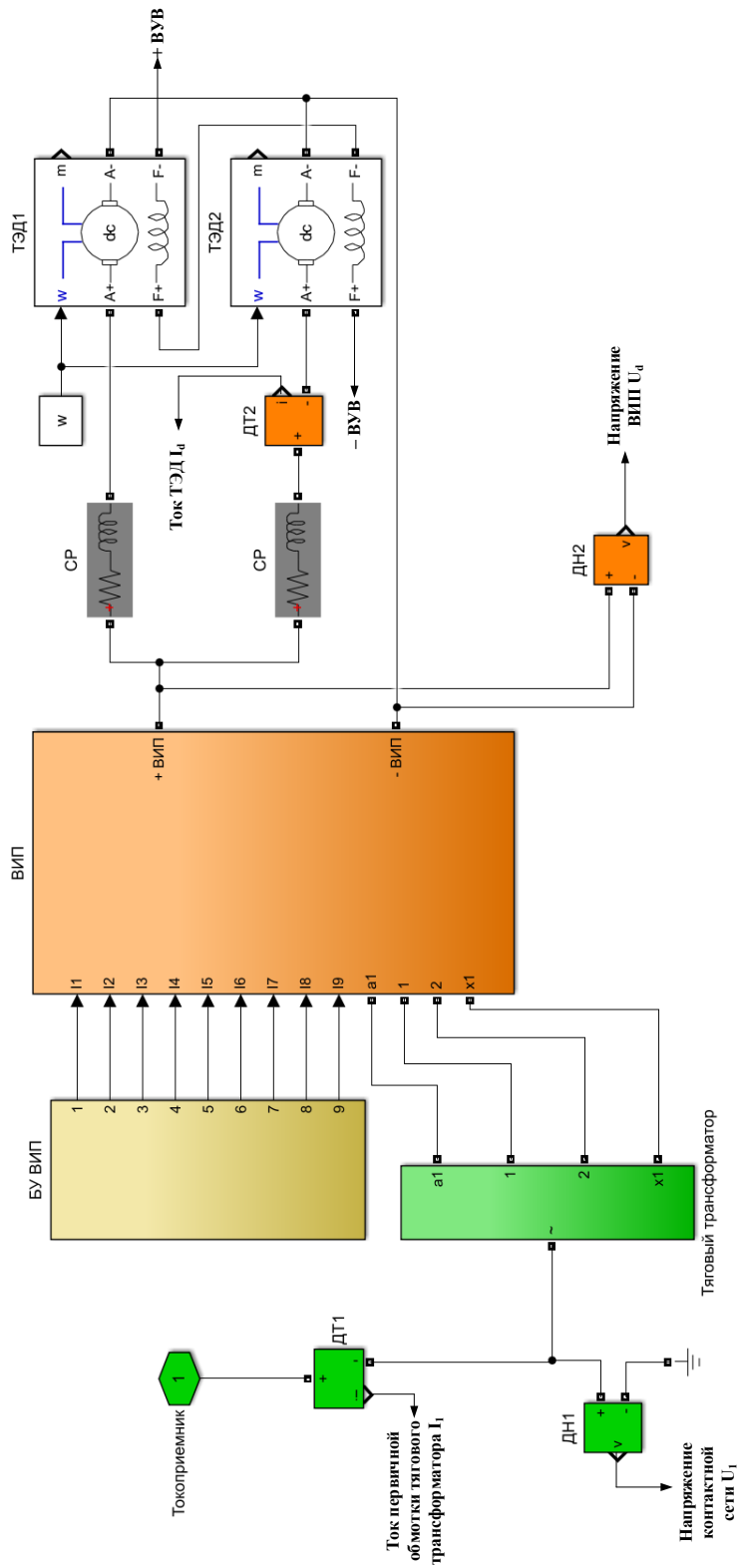


Рис. 1. Упрощенная электрическая схема силовых цепей электровоза 2ЭС5К, выполненная в пакете MathLAB/Simulink

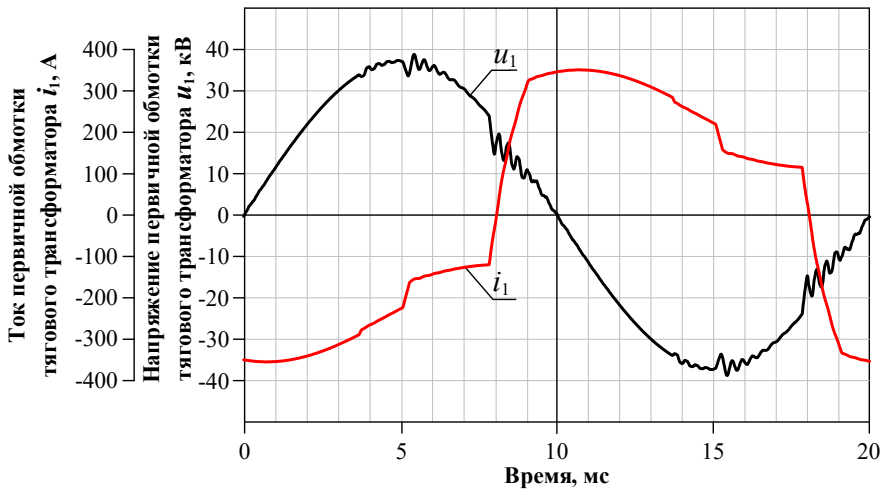


Рис. 2. Форма кривых напряжения (u_1) и тока (i_1) на первичной обмотке тягового трансформатора электровоза при работе тиристорного ВИП на 3,5 зоне регулирования напряжения

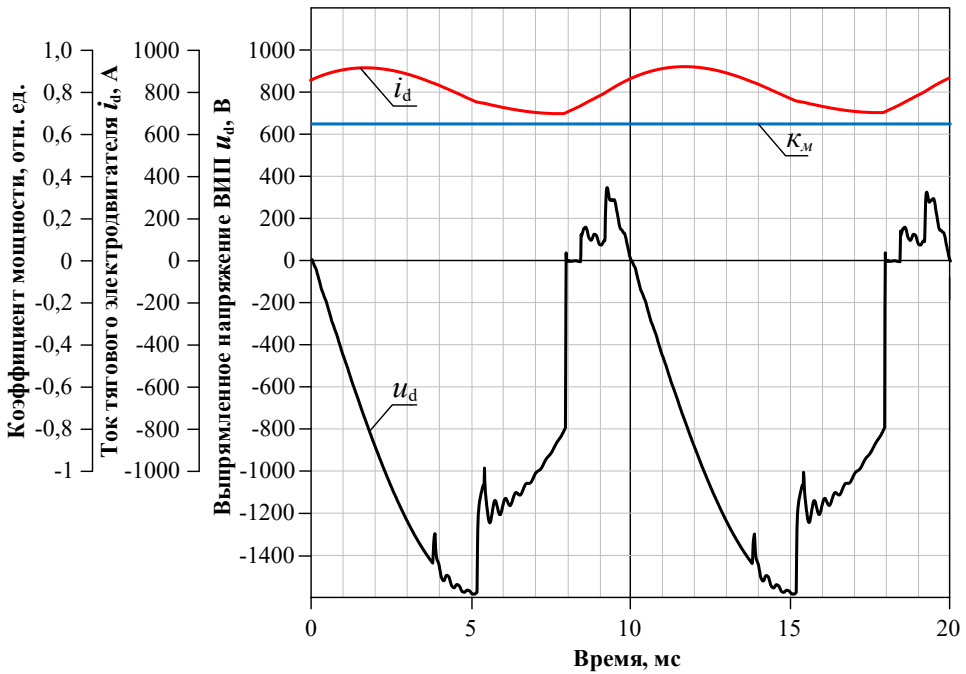


Рис. 3. Диаграммы электромагнитных процессов при работе тиристорного ВИП выпрямленное напряжение (u_d), выпрямленный ток (i_d), коэффициент мощности (K_d) на 3,5 зоне регулирования напряжения

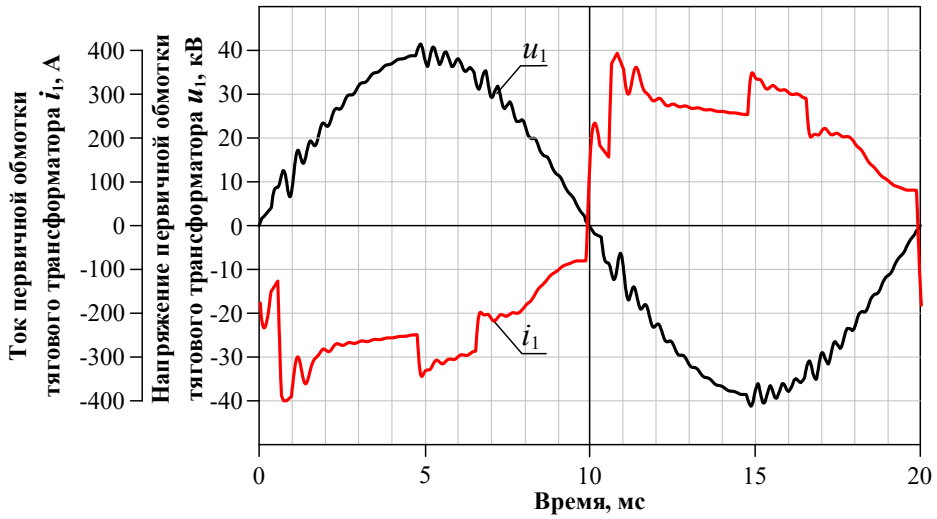


Рис. 4. Форма кривых напряжения (u_1) и тока (i_1) на первичной обмотке тягового трансформатора электровоза при работе транзисторного ВИП на 3,5 зоне регулирования напряжения

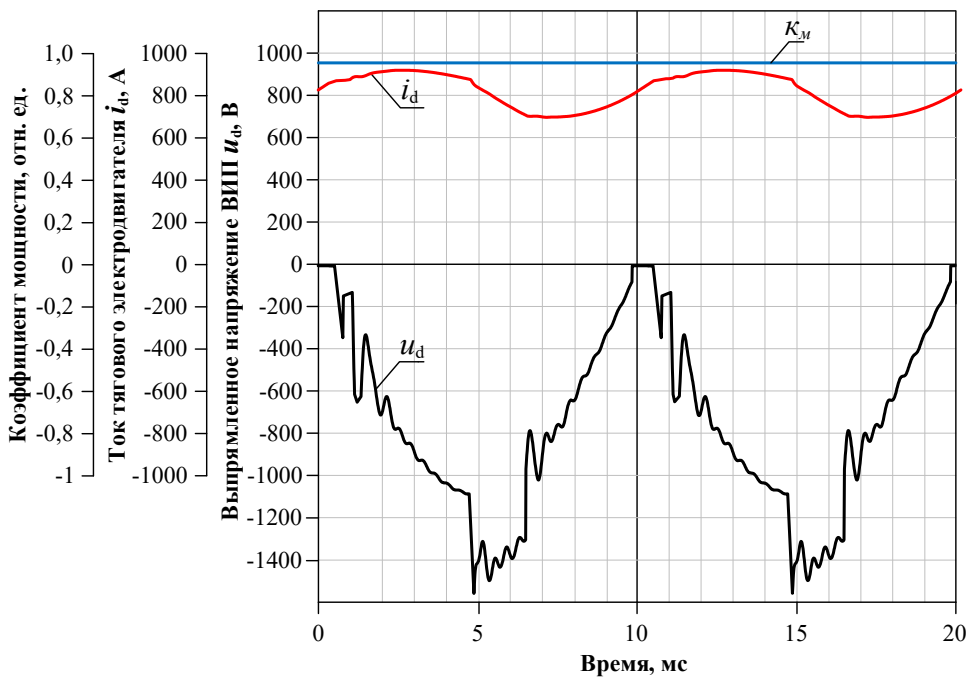


Рис. 5. Диаграммы электромагнитных процессов при работе транзисторного ВИП выпрямленное напряжение (u_d), выпрямленный ток (i_d), коэффициент мощности (K_M) на 3,5 зоне регулирования напряжения

Результаты математического моделирования работы электровоза при работе тиристорного и транзисторного ВИП с исключением ББР

№ зоны	Тиристорный ВИП				Транзисторный ВИП с исключением ББР			
	U_d , В	K_M , отн. ед	P_a , кВт	I_1 , А	U_d , В	K_M , отн. ед	P_a , кВт	I_1 , А
1	209,6	0,438	999,5	41,85	270,8	0,775	1637,6	72,63
1,5	339,2	0,481	1733	71,73	349,1	0,842	1990	88,54
2	406,4	0,564	2157	91,14	535,7	0,925	3272	141,24
2,5	574,8	0,617	3115	129,71	626,5	0,946	3791,2	161,69
3	623,7	0,642	3617	152,87	815,4	0,964	4977	214,11
3,5	798,6	0,657	4166	173,85	849,9	0,971	5464	231,44

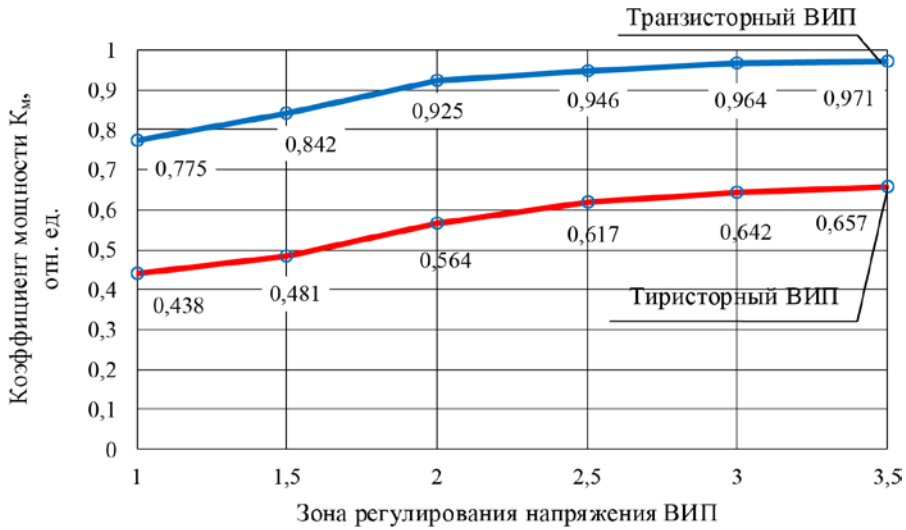


Рис. 6. Зависимость коэффициента мощности от зоны регулирования напряжения тиристорного и транзисторного ВИП

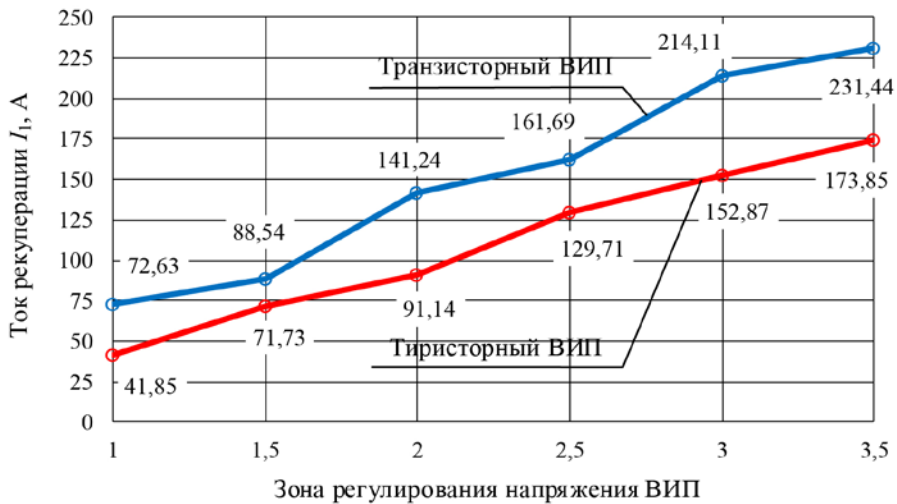


Рис. 7. Зависимость тока рекуперации от зоны регулирования напряжения тиристорного и транзисторного ВИП

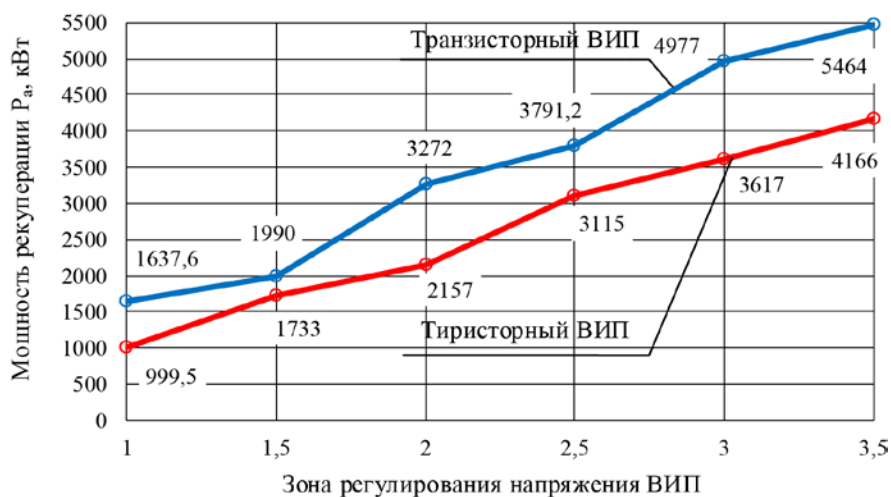


Рис. 8. Зависимость активной мощности на первичной обмотке тягового трансформатора от зоны регулирования напряжения тиристорного и транзисторного ВИП

и активной мощности на первичной обмотке тягового трансформатора (рис. 8) от зоны регулирования напряжения ВИП.

Заключение

1. Моделирование работы режима рекуперации электровоза переменного тока показывает, что целесообразно использовать полностью управляемые силовые полупроводники в плечах ВИП.

2. Применение ВИП на базе IGBT-транзисторов позволяет значительно увеличить коэффициент мощности

электровоза в режиме рекуперации вплоть до 0,97 [7].

3. Разработанный алгоритм управления транзисторным ВИП в режиме рекуперативного торможения позволяет повысить величину рекуперированной электроэнергии в контактную сеть за счет исключения ББР из силовой цепи, что отвечает требованиям одной из приоритетных целевых задач холдинга ОАО «РЖД» о повышении энергетической эффективности за счет увеличения удельной рекуперации электрической энергии сеть [10]. ■

Литература

1. Власевский С. В. Эффективность и проблемы применения рекуперативного торможения на электровозах переменного тока / С. В. Власевский, В. В. Кравчук // Вестник ВЭЛНИИ. – 2005. – № 2 (49). – С. 147–158. ISSN 1816-1928.
2. Власевский С. В. Эффективность применения рекуперативного торможения на Дальневосточной железной дороге / С. В. Власевский, В. В. Кравчук, А. М. Палихов // Вестник ВНИИЖТ. – 1975. – № 8. – С. 5–7. ISSN 2223-9731.
3. Тихменев Б. Н. Электровозы переменного тока с тиристорными преобразователями / Б. Н. Тихменев, В. А. Кучумов. – М. : Транспорт, 1988. – 311 с. ISBN 5-277-00116-6.
4. Мельниченко О. В. Новый выпрямительно-инверторный преобразователь для тягового подвижного состава переменного тока с повышенными энергетическими характеристиками в режиме тяги / О. В. Мельниченко, А. Ю. Портной, Д. А. Яговкин, С. Г. Шрамко // Наука и техника транспорта. – 2014. – № 3. – С. 46–51. ISSN 2074-9325.
5. Мельниченко О. В. ВИП электровоза на IGBT модулях для 1-й зоны регулирования в режиме рекуперативного торможения / О. В. Мельниченко, Д. А. Яговкин, А. Ю. Портной // Вестник Института тяги и подвижного состава : межвуз. сб. науч. тр. / под ред. А. Е. Стецюка и Ю. А. Гамоли. ДВГУПС. – 2013. – Вып. 9. – С. 44–47.

6. Томилов В. С. Как повысить надежность режима рекуперативного торможения электровозов переменного тока / В. С. Томилов, О. В. Мельниченко, Т. В. Волчек // Локомотив. № 7 (763). 2020. С. 20–22. ISSN 0869-8147.
7. Томилов В. С. Повышение энергетической эффективности работы электровозов переменного тока / В. С. Томилов, О. В. Мельниченко, С. Г. Шрамко, С. А. Богинский // Современные технологии. Системный анализ. Моделирование. – 2020. – Т. 65. – № 1. – С. 172–182. ISSN 1813-9108.
8. Томилов В. С. Увеличение отдачи электроэнергии электровозом переменного тока и расширение области его тормозных характеристик при реализации рекуперативного без блоков балластных резисторов / В. С. Томилов, О. В. Мельниченко // «Транспорт Азиатско-Тихоокеанского региона». – 2020. – № 3. С. 26–29. ISSN 2415-8658.
9. Савоськин А. Н. Математическое моделирование электромагнитных процессов в динамической системе контактная сеть – электровоз / А. Н. Савоськин, Ю. М. Кулинич, А. С. Алексеев // Электричество. – 2002. № 2. С. 29–35. ISSN 2411-1333.
10. Об энергетической стратегии ОАО «РЖД» на период до 2030 года: распоряжение ОАО «РЖД». URL: http://www.rzd-expo.ru/doc/Energ_Strateg_new.pdf (дата обращения: 03.05.2021).

Literature

1. Vlashevsky S. V. Efficiency and problems of application of regenerative braking on electric locomotives of alternating current / S. V. Vlashevsky, V. V. Kravchuk // Journal of VEINII. [Ehffektivnost' i problemy primeneniya rekuperativnogo tormozheniya na ehlektrovozhakh peremennogo toka / S. V. Vlashevskij, V. V. Kravchuk // Vestnik VEINII]. 2005. – № 2 (49). – P. 147–158. ISSN 1816-1928.
2. Vlashevsky S. V. Effectiveness of regenerative braking at the Far Eastern railway / S. V. Vlashevsky, V. V. Kravchuk, A. M. Pelikhov // Herald of VNIIZhT. [Ehffektivnost' primeneniya rekuperativnogo tormozheniya na Dal'nevostochnoj zheleznoj doroge / S. V. Vlashevskij, V. V. Kravchuk, A. M. Palikhov // Vestnik VNIIZhT]. 1975. – № 8. – P. 5–7. ISSN 2223-9731.
3. Tikhmenev B. N. Electric locomotives of alternating current with thyristor converters / B. N. Tikhmenev, V. A. Kuchumov. – M. : Transport, [Ehlektrovozy peremennogo toka s tiristornymi preobrazovatelyami / B. N. Tikhmenev, V.A. Kuchumov. – M. : Transport]. 1988. – 311 p. ISBN 5-277-00116-6.
4. Melnichenko O. V. A new rectifier-inverter converter for traction rolling stock of alternating current with increased energy characteristics in the traction mode / O. V. Melnichenko, A. Yu. Portnoj, D. A. Yagovkin, S. G. Shramko // Transport science and technology. [Novyj vypryamitel'no-invertornyj preobrazovatel' dlya tyagovogo podvizhnogo sostava peremennogo toka s povyshennymi ehnergeticheskimi kharakteristikami v rezhime tyagi / O. V. Mel'nichenko, A. YU. Portnoj, D. A. YAgovkin, S. G. SHramko // Nauka i tekhnika transporta]. 2014. – № 3. – Pp. 46-51. ISSN 2074-9325.
5. Melnichenko O. V. RIC electric locomotive on IGBT modules for the 1st zone of regulation in the mode of regenerative braking / O. V. Melnichenko, D. A. Yagovkin, A. Yu. Portnoj // News-bulletin of the Institute of Traction and Rolling Stock: interuniversity collection of works. / ed. by A. E. Stetsyuk and Yu. A. Gamoli. DVSURT. [VIP ehlektrovoza na IGBT modulyakh dlya 1-j zony regulirovaniya v rezhime rekuperativnogo tormozheniya / O. V. Mel'nichenko, D. A. Yagovkin, A. YU. Portnoj // Vestnik Instituta tyagi i podvizhnogo sostava : mezhvuz. sb. nauch. tr. / pod red. A. E. Stetsyuka i YU. A. Gamoli. DVGUPS]. 2013. – Issue 9. – Pp. 44–47.
6. Tomilov V. S. How to increase the reliability of a regenerative braking mode of electric locomotives of alternating current / V. S. Tomilov, O. V. Melnichenko, T. V. Volchek // Locomotive. [Kak povysit' nadezhnost' rezhima rekuperativnogo tormozheniya ehlektrovozhov peremennogo toka / V. S. Tomilov, O. V. Mel'nichenko, T. V. Volchek // Lokomotiv]. № 7 (763). 2020. Pp. 20–22. ISSN 0869-8147.
7. Tomilov V. S. Improving the energy efficiency of AC electric locomotives / V. S. Tomilov, O. V. Melnichenko, S. G. Shramko, S. A. Boginsky // Modern technologies. System analysis. Modeling. [Povyshenie ehnergeticheskoy ehffektivnosti raboty ehlektrovozhov peremennogo toka / V. S. Tomilov, O. V. Mel'nichenko, S. G. SHramko, S.A. Boginskij // Sovremennye tekhnologii. Sistemnyj analiz. Modelirovanie]. 2020. – Vol. 65. – № 1. – P. 172–182. ISSN 1813-9108.

8. Tomilov V. S. Increasing the return of electricity by an alternating current electric locomotive and expanding the range of its braking characteristics in implementation of recuperative without blocks of ballast resistors / V. S. Tomilov, O. V. Melnichenko // «Transport of the Asia-Pacific region». [Uvelichenie ot dachi ehlektroehnergii ehlektrovozom peremennogo toka i rasshirenie oblasti ego tormoznykh kharakteristik pri realizatsii rekuperativnogo bez blokov ballastnykh rezistorov / V. S. Tomilov, O. V. Mel'nichenko // «Transport Aziatsko-Tikhookeanskogo regiona»]. 2020. № 3. Pp. 26–29. ISSN 2415-8658.
9. Savoskin A. N. Mathematical modeling of electromagnetic processes in the overhead – electric locomotive dynamic system / A. N. Savoskin, Yu. M. Kulinich, A. S. Alekseev // Electricity. [Matematicheskoe modelirovanie ehlektromagnitnykh protsessov v dinamicheskoy sisteme kontaktnaya set' – ehlektrovoz / A. N. Savos'kin, Yu. M. Kulinich, A. S. Alekseev // Ehlektrichestvo]. 2002. № 2. S. 29–35. ISSN 2411-1333.
10. About the energy strategy of JSC «Russian Railways» for the period up to 2030: the decree of JSC «Russian Railways». [Ob ehnergeticheskoy strategii OAO «RZhD» na period do 2030 goda: rasporyazhenie OAO «RZhD»]. URL: http://www.rzd-expo.ru/doc/Energ_Strateg_new.pdf (date of reference: 03.05.2021).

Статья сдана в редакцию 15 апреля 2021 года

Н. В. Калганова

Математическое моделирование процесса управления стратегическим развитием кадрового потенциала отраслевых вузов

N. V. Kalganova

Mathematical modeling of management of the strategic development of the staff potential of branch universities

Аннотация

В работе рассмотрены математические дифференциальные модели динамики численности преподавательского состава железнодорожного вуза в течение определенного периода его функционирования. С помощью построенных систем обыкновенных дифференциальных уравнений предложен метод управления стратегическим развитием кадрового потенциала отраслевых вузов.

В своем исследовании автор опирался на труды отечественных ученых, в частности, на работы [1–5].

Для реализации принципа научности в статье предложен метод для исследования закономерностей динамики численности преподавательского состава вуза, при этом используются математический аппарат и математическое моделирование. Моделирование в этом случае дает возможность вскрыть некоторые закономерности и способствовать управлению стратегическим развитием кадрового потенциала железнодорожных вузов.

В работе выполнено аналитическое решение задачи Коши для системы дифференциальных уравнений с заданными начальными условиями. Модель, построенная на основе дифференциальных уравнений, обладает практической ценностью, т. к. позволяет определить и прогнозировать численность кадрового состава вуза в указанный момент.

В работе на основе методов статистического анализа исследован состав ППС по возрасту. Выявлены некоторые негативные тенденции по группам преподавателей, создающие риски в обеспеченности вуза высококвалифицированными кадрами.

Ключевые слова: математическая модель, дифференциальные уравнения, профессорско-преподавательский состав вуза, динамика численности.

DOI: 10.20291/2079-0392-2021-2-115-124

Abstract

The paper considers mathematical differential models of dynamics of the number of teaching staff of a railway university during a certain period of its functioning. Using the constructed systems of ordinary differential equations, a method for management of the strategic development of the staff potential of branch universities is proposed.

In his research, the author relied on the works of Russian scientists, in particular, on the works [1–5].

To implement the principle of scientific approach, the article proposes a method for studying the regularities of dynamics of the number of university teaching staff, using mathematical tools and mathematical modeling. Modeling in this case makes it possible to reveal some patterns and contribute to the management of the strategic development of the staff potential of railway universities.

The paper presents the analytical solution of the Cauchy problem for a system of differential equations with given initial conditions. The model built on the basis of differential equations has practical value, because it allows you to determine and predict the number of personnel of the university at the specified time.

In this paper, on the basis of statistical analysis methods, the composition of the teaching staff by age is studied. Some negative trends in the groups of teachers that create risks in the provision of the university with highly qualified personnel are identified.

Keywords: mathematical model, differential equations, university teaching staff, population dynamics.

DOI: 10.20291/2079-0392-2021-2-115-124

Статья рекомендована к опубликованию канд. физ.-мат. наук, с.н.с. Института математики и механики УроРАН О. Г. Матвийчук. E-mail: vog@im.uran.ru

Наталья Валерьевна Калганова, ассистент; кафедра «Управление в социальных и экономических системах, философия и история» Уральского государственного университета путей сообщения; Екатеринбург, Россия. E-mail: kalganova.natalia@yandex.ru. ORCID 0000-0001-9057-0768.

The article is recommended for publishing by O. G. Matviychuk, Candidate of Physical and Mathematical Science, Senior Researcher at the Institute of Mathematics and Mechanics of the Russian Academy of Sciences. E-mail: vog@im.uran.ru

Natalia V. Kalganova, Assistant Professor, Chair of Management in Social and Economic Systems, Philosophy and History, Ural State University of Railway Transport, Yekaterinburg, Russia. E-mail: kalganova.natalia@yandex.ru. ORCID 0000-0001-9057-0768.

Введение

При решении задач технологического, социально-экономического и культурного развития страны, отраслей и регионов необходимо опираться на науку – университеты и НИИ. Такая опора гарантирует устойчивый экономический рост. Развитие любой отрасли (в нашем случае, железнодорожной) становится устойчивым, если отраслевой университет сформирован на основе трех блоков: материально-техническая база, стабильное устойчивое финансирование и наличие высококвалифицированных кадров.

Для обеспечения динамичного развития этих блоков необходимо на научной основе осуществлять в вузе программно-целевое управление планированием и прогнозированием. Для создания системы регулирования всех процессов в вузе необходимы разработка и внедрение целевой программы кадровой политики, включающей методы управления стратегическим развитием кадрового потенциала вуза на определенный период. Главное в такой программе – система планирования и прогнозирования, система мониторинга, закрепление выполнения целевых параметров, функции программы закрепляются за отделом, управлением, конкретными лицами из администрации вуза.

Основная цель настоящей работы – решение задачи по построению математической модели динамики численности преподавательского состава в течение определенного периода функционирования вуза.

В работе представлена математическая модель в виде системы линейных неоднородных дифференциальных уравнений с постоянными коэффициентами первого порядка, на основе которой требуется найти аналитическое и численное решение системы, моделирующей процесс динамики преподавательского состава, определить ее параметры, соответствующие рациональному режиму обследования.

Для решения задачи в работе используются аналитические методы теории систем обыкновенных дифференциальных уравнений первого порядка и методы их решения в MathCAD 15 [5–6].

Для построения дифференциальной математической модели изучена исходная информация, проанализированы статистические данные и закономерность взаимодействия. Вывод дифференциальных уравнений основан на учете реальных закономерностей.

Построение математической модели

Обозначим $N(t)$ – численность научно-педагогических кадров вуза по штатному расписанию в данный момент времени t . Здесь необходимо точно определить: какое число N мы рассматриваем? В вузе по нормам определяется S ставок. Количество ППС, обеспечивающих учебный процесс, может быть больше количества ставок, т. е. $N > S$, т. к. в вузе работают как внутренние, так и внешние совместители. Кроме этого, часть ППС может работать на неполную ставку. Хотя предлагаемая математическая модель может описать любой из этих вариантов, мы будем исследовать динамику ППС, подразумевая, что число $N(t)$ – это стабильно сформировавшийся на протяжении предыдущих лет педагогический коллектив в составе штатных, внутренних и внешних преподавателей. В соответствии со структурой ППС разобьем $N(t)$ на три подгруппы: $x(t)$ – численный состав преподавателей в должности ассистентов, преподавателей, старших преподавателей; $y(t)$ – вторая группа, в составе которой преподаватели со степенью кандидата наук, званием доцента; $z(t)$ – в составе которой доктора наук, профессора. Каждый преподаватель, включая внешних совместителей, входит в одну из групп. Количественный состав каждой группы может меняться в любое время, но пик изменений происходит в основном после окончания учебного года. Поэтому будем рассматривать функции $x(t)$,

$y(t)$, $z(t)$ непрерывными, дифференцируемыми и положительными.

Общее число ППС $N(t)$ представлено суммой:

$$N(t) = x(t) + y(t) + z(t). \quad (1)$$

Рассмотрим первую группу ППС, численность которой составляет $x(t)$ человек и изменяется с течением времени t . Скорость изменения $\frac{dx}{dt}$ пропорциональна численности преподавателей $\alpha_1 x(t)$ за счет перехода части ППС во вторую группу, равную $\beta_1 y(t)$, ухода на пенсию, увольнения и т. п. Скорость изменится из-за поступления вновь принятых преподавателей $f_1(t)$. Таким образом, для первой группы ППС получим дифференциальное уравнение:

$$\frac{dx}{dt} = -\alpha_1 x(t) - \beta_1 y(t) + f_1(t). \quad (2)$$

Рассмотрим вторую группу ППС. Скорость изменения этой группы зависит от снижения скорости убывания $-\alpha_2 y(t)$ за счет увольнения и других причин, далее скорость второй группы уменьшится за счет перехода преподавателей в третью группу пропорционально величине $\beta_2 z(t)$, увольнения и т.п., в то же время скорость роста этой группы увеличится за счет перехода сотрудников из первой группы на величину $\gamma_1 x(t)$ и нового приема $f_2(t)$.

Аналитически этот анализ можно записать в виде уравнения

$$\frac{dy(t)}{dt} = -\alpha_2 y(t) - \beta_2 z(t) + \gamma_1 x(t) + f_2(t). \quad (3)$$

Коэффициенты, α_1 , α_2 , β_1 , β_2 , γ_1 , γ_2 , γ_3 системы дифференциального уравнения являются положительными постоянными, которые регулируют выбывание ППС.

Аналогично построим третье уравнение для третьей группы и получим неоднородную систему обыкновенных дифференциальных уравнений:

$$\begin{aligned} \frac{dx(t)}{dt} &= -\alpha_1 x(t) - \beta_1 y(t) + f_1(t), \\ \frac{dy(t)}{dt} &= -\alpha_2 y(t) - \beta_2 z(t) + \gamma_1 x(t) + f_2(t), \\ \frac{dz(t)}{dt} &= -\alpha_3 z(t) + \beta_3 y(t) + f_3(t). \end{aligned} \quad (4)$$

Данный процесс носит дискретный характер и описывает динамику конкретных объектов, однако опыт анализа дискретных объектов позволяет описать процессы с помощью непрерывных функций $x(t)$, $y(t)$, $z(t)$, $f_i(t)$, где $i = 1, 2, 3$, которые являются непрерывными положительными функциями, имеющими непрерывные производные первого порядка. Коэффициенты α_i , β_i , γ_i – положительные постоянные, которые определяются на основе статистического анализа численности ППС.

Введем матрицу A коэффициентов соответствующей системе линейных дифференциальных уравнений (4):

$$A = \begin{pmatrix} -\alpha_1 & -\beta_1 & 0 \\ \gamma & -\alpha_2 & -\beta_2 \\ 0 & \beta_3 & -\alpha_3 \end{pmatrix}. \quad (5)$$

Дополнительно введем две матрицы: матрицу-столбец неизвестных функций

$$X = \begin{pmatrix} x(t) \\ y(t) \\ z(t) \end{pmatrix}; \quad (6)$$

матрицу-столбец сводных членов

$$F = \begin{pmatrix} f_1(t) \\ f_2(t) \\ f_3(t) \end{pmatrix}. \quad (7)$$

С помощью введенных матриц систему (4) можно кратко записать в матричном виде:

$$\frac{d}{dt} X = AX + F. \quad (8)$$

Рассмотрим матрицы A и F , элементы которых – множество регулируемых параметров, влияющих на оптимальное управление решения системы

обыкновенного дифференциального уравнения (4) или (8). За счет вариации элементов матрицы (коэффициентов системы) A и функций $f_i(t)$ (свободных членов системы) можно добиться роста или уменьшения скоростей изменения численности в каждой группе ППС и в определенном промежутке времени добиться увеличения (уменьшения) численности преподавателей вуза.

Введем определение. Назовем матрицы (5)–(7) и элементы данных матриц управлением решения системы обыкновенного дифференциального уравнения (4) или (8), т. е. это некоторый набор управляющих параметров из множества элементов матрицы A и функций времени матрицы F , которые оказывают прямое воздействие на решение системы (4), моделирующей управление перспективным развитием и достижение целевых результатов кадрового потенциала отраслевого вуза.

Исследование математической модели и решение задачи Коши для системы дифференциальных уравнений (4)

Для систем (4), (8) сформулируем задачу с начальными условиями при $t = 0$:

$$x(0) = x_0, y(0) = y_0, z(0) = z_0, \quad (9)$$

где N_0 – число ППС на некоторый начальный период.

Причем $x(0) + y(0) + z(0) = N_0$.

Система линейных неоднородных уравнений с постоянными коэффициентами интегрируется путем сведения ее к одному уравнению более высокого порядка.

Так, выразив из первого уравнения неизвестную функцию $y(t)$, после введения которой во второе и третье уравнения системы (4) получим два уравнения с неизвестными $x(t)$ и $z(t)$. Если простого и очевидного решения двух уравнений с двумя неизвестными нет, то процесс исключения можно продолжить.

Окончательно полученное уравнение более высокого порядка, а именно, третьего порядка, будет линейным с постоянными коэффициентами. Решение полученного уравнения также достаточно сложно, связано с рассмотрением вариантов корней характеристического уравнения. В дальнейшем будем применять пакет MathCAD 15 для анализа вариантов оптимального управления развитием кадрового потенциала с применением операторов управления [7]. Анализ показывает, что систему (4) можно, не нарушая общности решения, коренным образом упростить. Для этого достаточно считать, что при снижении численности в каждой группе ППС вуза происходит по всем возможным причинам: уход на пенсию, увольнение за счет перехода части ППС во вторую и третью группы после защит диссертаций и т. п. Тогда система (4) примет упрощенный вид:

$$\begin{aligned} \frac{dx}{dt} &= -\alpha_1 x(t) + f_1(t), \\ \frac{dy(t)}{dt} &= -\alpha_2 y(t) + \beta_1 x(t) + f_2(t), \\ \frac{dz(t)}{dt} &= -\alpha_3 z(t) + \beta_2 y(t) + f_3(t). \end{aligned} \quad (10)$$

Проведем доказательства теоремы существования и единственности решения задачи Коши для системы (10) дифференциальных уравнений с начальными условиями (9).

Пусть на некотором замкнутом отрезке $t \in [0, T]$, функции $f_i(t)$, $i = 1, 2, 3$ непрерывны, тогда задача Коши для неоднородной системы дифференциальных уравнений первого порядка (9)–(10) будет иметь единственное ограниченное решение:

$$x_k(t) = e^{-\alpha_k t} \times \left[x_{k0} + \int_0^t (\beta_k - 1\varphi_k - 1(\tau) + f_k(\tau)) e^{\alpha_k \tau} dt \right],$$

где x_k обозначены $x = x_1, y = x_2, z = x_3$ при $k = 1, 2, 3$; φ_k – решение предыдущего, по отношению к числу k для $k = 1, 2, 3$, дифференциального уравнения системы

(7) при $\varphi_0 = 0$; $x_{k0} = \{x_0, y_0, z_0\}$ – начальные условия (6) при $k = 1, 2, 3$.

Доказательство

Первое дифференциальное уравнение системы является линейным уравнением первого порядка, которое имеет решение:

$$x(t) = \ell^{-\alpha_1 t} \left[x_0 + \int_0^t f_1(\tau) \ell^{\alpha_1 \tau} d\tau \right] = \varphi_1(t), \quad (11)$$

где функция $\varphi_1(t)$ – решение первого уравнения.

Второе уравнение с учетом (11) выглядит следующим образом:

$$\frac{y(t)}{dt} + \alpha_2 y(t) = \beta_1 \varphi_1(t) + f_2(t). \quad (12)$$

Полученное дифференциальное уравнение также является линейным уравнением первого порядка и его решение $\varphi_2(t)$ имеет вид

$$y(t) = \ell^{-\alpha_2 t} \times \left[y_0 + \int_0^t (\beta_1 \varphi_1(\tau) + f_2(\tau)) \ell^{\alpha_2 \tau} d\tau \right] = \varphi_2(t). \quad (13)$$

Аналогично найдем решение третьего уравнения:

$$z(t) = \ell^{-\alpha_3 t} \times \left[z_0 + \int_0^t (\beta_2 \varphi_2(\tau) + f_3(\tau)) \ell^{\alpha_3 \tau} d\tau \right] = \varphi_3(t). \quad (14)$$

Предположим, что функции $f_i(t)$, $i=1, 2, 3$ ограничены, $|f_i(t)| < B$, $i = 1, 2, 3$.

Тогда для всех $t \in [0, T]$ получим неравенства:

$$\begin{aligned} |x_1(t)| &\leq \ell^{-\alpha_1 t} \left[x_0 + \int_0^t |f_1(\tau)| \ell^{\alpha_1 \tau} d\tau \right] \leq \\ &\leq \ell^{-\alpha_1 t} \left[x_0 + \frac{B}{\alpha_1} \ell^{\alpha_1 t} (t) \right] = \\ &= \ell^{-\alpha_1 t} x_0 + \frac{B}{\alpha_1} t \leq x_0 + \frac{B}{\alpha_1} t < D = \text{const}, \end{aligned}$$

$t \in [0, T]$.

Окончательно: $|x_1(t)| < D$.

Можно получить аналогичные неравенства для всех последующих уравнений системы (10).

Если предположить существование двух $x_1(t)$ и $x_2(t)$ решений первого уравнения системы (10) с начальными условиями (9), то функция $\bar{x}(t) = x_2(t) - x_1(t)$ удовлетворяет однородному уравнению, то есть $f_1 = 0$, и имеем нулевое начальное условие. Тогда формула (11) решения первого однородного уравнения системы (10) выражается равенством $x(t) = 0$, отсюда следует равенство $x_1(t) = x_2(t)$. Аналогично легко показать единственность решений задач для второго и третьего уравнений системы (10). Таким образом, для задачи (9)–(10) существует только единственное решение.

Данный метод доказательства определяет алгоритм аналитического решения задачи Коши для системы дифференциальных уравнений (10) с начальными условиями (9).

Итак, пусть функции $f_i(t)$, $i = 1, 2, 3$ непрерывны на некотором замкнутом отрезке $t \in [0, T]$; задача Коши для неоднородной системы дифференциальных уравнений первого порядка (9)–(10) имеет единственное ограниченное решение:

$$x_k(t) = \ell^{-\alpha_k t} \times \left[x_{k0} + \int_0^t (\beta_{k-1} \varphi_{k-1}(\tau) + f_k(\tau)) \ell^{\alpha_k \tau} d\tau \right],$$

где x_k обозначены $x = x_1$, $y = x_2$, $z = x_3$ при $k = 1, 2, 3$; φ_k – решение предыдущего по отношению к числу k для $k = 1, 2, 3$ дифференциального уравнения системы (7) при $\varphi_0 = 0$; $x_{k0} = \{x_0, y_0, z_0\}$ – начальные условия (6) при $k = 1, 2, 3$.

Численное решение систем обыкновенных дифференциальных уравнений

Решим систему (10) с матрицами A и F с помощью MathCAD 15 (рис. 1).

Пример 1.

$$A = \begin{pmatrix} -0,05 & 0 & 0 \\ 0,01 & -0,01 & 0 \\ 0 & 0,003 & -0,04 \end{pmatrix},$$

$$F = \begin{pmatrix} 0,15 \\ 0,043 \\ 0,01 \end{pmatrix}.$$

Given

$$\frac{d}{dt}x(t) = -0,05x(t) + 0,15 \quad x(0) = 3$$

$$\frac{d}{dt}y(t) = -0,01y(t) + 0,01x(t) + 0,043 \quad y(0) = 6$$

$$\frac{d}{dt}z(t) = -0,04z(t) + 0,003y(t) + 0,01 \quad z(0) = 1$$

$$\begin{pmatrix} x \\ y \\ z \end{pmatrix} := \text{Odesolve} \left[\begin{pmatrix} x \\ y \\ z \end{pmatrix}, t, 10 \right]$$

Целевые значения при $t = 10$:
 $x(10) = 3 \quad y(10) = 6,124 \quad z(10) = 0,903$

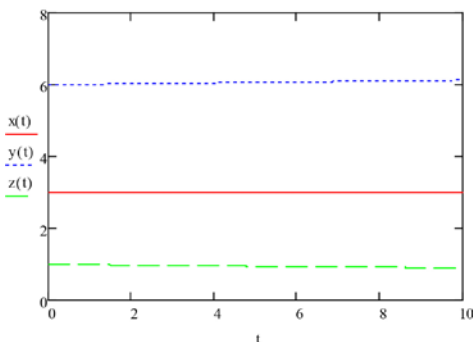


Рис. 1. Графики решения системы (10)

Из рис. 1 видно, что если неизвестная функция $f(x) = \text{const}$, то в начальный период и в течение последующего промежутка времени численность ППС стабилизируется и становится неизменной.

Рассмотрим с помощью MathCAD 15 график системы с матрицами управления (рис. 2).

Пример 2.

$$A = \begin{pmatrix} -0,05 & 0 & 0 \\ 0,025 & -0,021 & 0 \\ 0 & 0,02 & -0,05 \end{pmatrix},$$

$$F = \begin{pmatrix} 0,15 \\ 0,1 \\ 0,01 \end{pmatrix}.$$

Given

$$\frac{d}{dt}x(t) = -0,05x(t) + 0,15 \quad x(0) = 2$$

$$\frac{d}{dt}y(t) = -0,21y(t) + 0,025x(t) + 0,01 \quad y(0) = 4$$

$$\frac{d}{dt}z(t) = -0,05z(t) + 0,02y(t) + 0,01 \quad z(0) = 1$$

$$\begin{pmatrix} x \\ y \\ z \end{pmatrix} := \text{Odesolve} \left[\begin{pmatrix} x \\ y \\ z \end{pmatrix}, t, 10 \right]$$

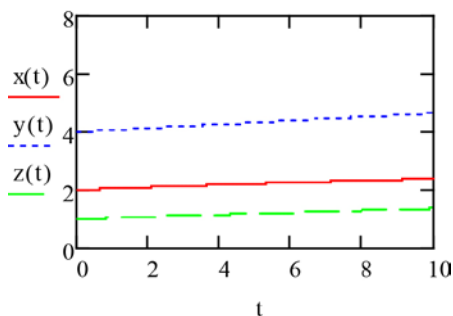


Рис. 2. График системы с матрицами управления
 $x(10) = 2,393; z(10) = 1,37; y(10) = 4,645$

Примеры 1 и 2 показывают, что матрица управления (5) системы дифференциальных уравнений (4) является важнейшим механизмом в выработке управленческих решений по регулированию состава ППС. Так, изменение элементов матриц управления системы (5) оказывает прямое воздействие на решение системы, которое и определяет процесс по управлению перспективным развитием и достижением целевых

результатов кадрового потенциала отраслевого вуза. Наблюдается определенный рост численности ППС по каждой группе преподавателей.

Рассмотрим сценарий, когда в вузе происходит резкое сокращение численности ППС по различным причинам, среди которых внезапный уход совместителей (рис. 3).

Пример 3.

Системы с начальными условиями $x(0) = 1,8, y(0) = 3,9, z(0) = 0,9$, в которой матрицы управления для достижения прежних параметров имеют вид:

$$A = \begin{pmatrix} -0,05 & 0 & 0 \\ 0,025 & -0,021 & 0 \\ 0 & 0,02 & -0,05 \end{pmatrix},$$

$$F = \begin{pmatrix} 0,1665 \\ 0,12 \\ 0,022 \end{pmatrix}.$$

Given

$$\frac{d}{dt}x(t) = -0,05x(t) + 0,1665 \quad x(0) = 1,8$$

$$\frac{d}{dt}y(t) = -0,021y(t) + 0,025x(t) + 0,12 \quad y(0) = 3,9$$

$$\frac{d}{dt}z(t) = -0,05z(t) + 0,02y(t) + 0,022 \quad z(0) = 0,9$$

$$\begin{pmatrix} x \\ y \\ z \end{pmatrix} := \text{Odesolve} \left[\begin{pmatrix} x \\ y \\ z \end{pmatrix}, t, 10 \right]$$

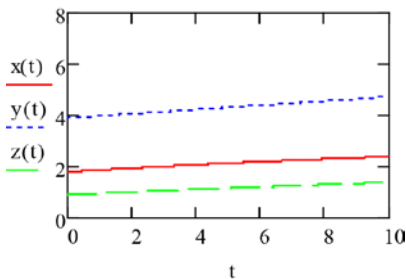


Рис. 3. График системы с начальными условиями
 $x(0) = 1,8, y(0) = 3,9, z(0) = 0,9$
 $x(10) = 2,402; y(10) = 4,725; z(10) = 1,403$

Таким образом, в течение десяти условных лет вуз достигает прежних показателей по составу ППС.

Рассмотрим особый случай, когда в системе (4)–(9) свободные члены являются периодическими функциями, которые в конечном итоге описывают некоторую хаотичность в поддержании стабильности кадрового состава, при этом начальное и конечное значения t останутся прежними (рис. 4).

Пример 4

Given

$$\frac{d}{dt}x(t) = -0,01x(t) + 0,7 \sin(2t) \quad x(0) = 3$$

$$\frac{d}{dt}y(t) = -0,01y(t) + 0,02x(t) + 0,09 \sin(3t) \quad y(0) = 6$$

$$\frac{d}{dt}z(t) = -0,01z(t) + 0,001y(t) + 0,07 \cos(2t) \quad z(0) = 1$$

$$\begin{pmatrix} x \\ y \\ z \end{pmatrix} := \text{Odesolve} \left[\begin{pmatrix} x \\ y \\ z \end{pmatrix}, t, 10 \right]$$

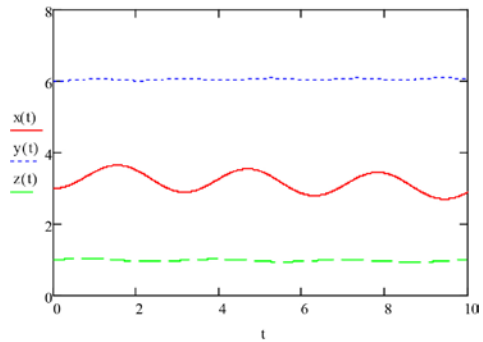


Рис. 4. График решения системы для функций $f(t)$

В итоге по истечении определенного периода целые значения функций примут следующие численные значения:

$$x(10) = 2,89;$$

$$y(10) = 6,054;$$

$$z(10) = 0,994.$$

График на рис. 4 показывает, что если заданные функции $f_i(x)$, где $i = 1, 2, 3$, периодические, то и динамика

численности ППС вуза изменяется на протяжении всего рассматриваемого периода. По графикам на рис. 1, 2 можно определить количество ППС в любой момент.

Состояние ППС – важнейшей составляющей функционирования вуза – должно непрерывно подвергаться системному мониторингу, по итогам которого вскрываются проблемы и задачи. Управление предполагает выбор, поэтому на стадии перспективного планирования должны быть оценены последствия принимаемых решений. В то же время при принятии стратегических решений анализ, опирающийся на современные информационные технологии, должен приводить к достижению целевых параметров.

Для объективного научного прогноза необходимо найти закономерности динамического изменения по каждой группе состава ППС за предыдущие годы. Предложенная математическая модель позволит спрогнозировать изменение ППС по группам при установлении статистическими методами начальных условий для системы (4), а также при выверенном установлении постоянных коэффициентов α_i , β_i и функций $f_i(t)$, где $i = 1, 2, 3$. Используя программный пакет MathCAD 15, можно выбрать несколько вариантов за счет вариации указанных параметров системы. Таким образом, изменение матриц управления A и F и решение системы обыкновенного дифференциального

уравнения оказывает прямое воздействие на решение системы, моделирующей процесс по управлению перспективным развитием и достижения целевых результатов кадрового потенциала отраслевого вуза.

Статистический анализ динамики ППС по возрасту

Применяя методы обработки статистических данных, рассмотрим динамику распределения кадров по различным возрастным интервалам [7].

Пусть в результате анализа штатного расписания количество ППС $n = 1000$. Возрастная группа до 30 лет сформирована за счет аспирантов, выпускников своего и других университетов. Вторая группа – до 40 лет и так до 99 лет. Динамика среднего возраста ППС по вузу за последние пять лет (от 40 лет в 2015 г. до 48 лет в 2020 г.) позволяет отметить определенную тенденцию к повышению среднего возраста, к старению кадров в университете. Распределим всех преподавателей по возрасту на восемь разрядов (таблица 1).

Для вычисления статического распределения, принимая в качестве представителя каждого разряда его середину, интервальный ряд заменим дискретным статическим рядом (таблица 2).

По данным таблицы вычислим лишь некоторые выборочные значения.

В нашем случае вычисления дают следующие результаты.

Таблица 1

Интервальный статистический ряд

Разряд	Возраст ППС							
	20–30	30–40	40–50	50–60	60–70	70–80	80–90	90–99
Число ППС, m_i	110	130	180	240	170	90	70	10
Частота, p_i	0,11	0,13	0,18	0,24	0,17	0,09	0,07	0,01
$b_i = p_i/h$	0,012	0,014	0,02	0,03	0,019	0,01	0,007	0,001

Таблица 2

Дискретный статистический ряд

Середина интервала, x_i	25	35	45	55	65	75	85	95
Наблюдения, кол-во, m_i	110	130	180	240	170	90	70	10

1. Выборочная средняя:
 $\bar{x} = \alpha_1 = 53,3$ – статистический аналог математического ожидания.
2. Выборочная дисперсия:
 $S = 13,3$ – выборочное среднеквадратичное отклонение.

Вид графика плотности нормально-го распределения с параметрами (m, σ) :

$$f(x) = \frac{1}{\sigma\sqrt{2\pi}} e^{-\frac{(x-m)^2}{2\sigma^2}}.$$

В нашем примере вид графика функции (рис. 5) дает основания для принятия гипотезы о нормальном характере теоретического распределения, это означает, что $m = \bar{x} = 53,3$, $\sigma = S = 13,3$.

Итак, в качестве теоретической (сглаживающей) кривой распределения возьмём график функции (рис. 5):

`dnorm(x, 53, 12)`

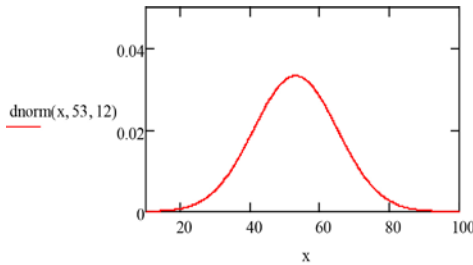


Рис. 5. График функции нормального распределения ППС вуза

Для проверки согласованности выбранного теоретического распределения с опытными данными воспользуемся критерием Пирсона χ^2 , на основании которого эмпирическое распределение не противоречит гипотезе о нормальном теоретическом распределении с параметрами $m = 53,3$ и $\sigma = 13,3$.

Рассмотрим пример распределения ППС по возрасту с параметрами $m = 61$ и $\sigma = 14,3$ (рис. 6).

Следует отметить, что в исследуемых восьми железнодорожных вузах распределение ППС по возрасту подчиняется нормальному закону. Однако в ряде вузов наблюдается отрицательное значение асимметрии распределения и увеличение математического

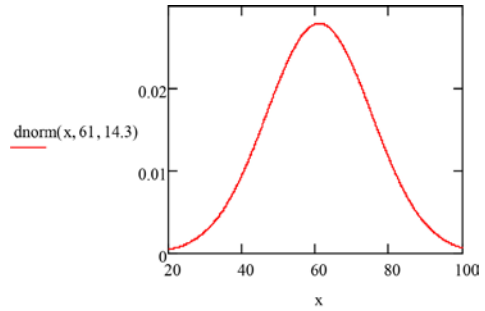


Рис. 6. Распределение по возрасту докторов наук, профессоров

ожидания или среднего возраста ППС. Из графиков на рис. 5, 6 следует, что в технических вузах в составе ППС возникает зона риска, связанная с возрастом преподавателей. Возраст ППС 70 лет и старше составляет в железнодорожных вузах от 17 % и более в соответствии со статистическим анализом, приведенным в таблице 1.

Выводы

1. Построенная математическая модель отражает реальные процессы динамики численности состава ППС, а результаты статистического анализа позволяют определить значения коэффициентов и функций, входящих в уравнения системы (4) и (10).

2. На основании анализа изменения структуры ППС в предыдущие годы определены значения коэффициентов и функций $f_i(t)$, где $i = 1, 2, 3$, входящих в уравнения системы (4), а также начальные условия для прогнозирования динамики ППС на последующие годы.

3. Матрицы A и F коэффициентов соответствующей системы линейных дифференциальных уравнений и их свободные члены определяют матрицы управления решением системы обыкновенного дифференциального уравнения (4) или (10), оказывающей прямое воздействие на решение системы обыкновенных дифференциальных уравнений, моделирующей процесс по управлению перспективным развитием

и достижением целевых результатов кадрового потенциала отраслевого вуза.

4. Построенная модель позволяет определять общую численность ППС в любой временной промежуток.

5. Дифференциальная математическая модель может быть использована для практических целей и прогноза численности состава ППС вуза в указанный момент. ■

Литература

1. Кочкаров Р. А. Стратегическое планирование и прогнозирование // Вестник Финансовой академии. – 2006. – № 4. – С. 97–109. ISSN 1996-8337.
2. Малинецкий Г. Г., Кузнецов И. В., Подлазов А. В. О национальной системе научного мониторинга // Вестник РАН. Т. 75. – 2005. – № 7. – С. 1–16. ISSN 2071-2898.
3. Поспелов Г. С., Ириков В. А. Программно-целевое планирование и управление. – М. : Сов. радио, 1976. – 440 с. ISSN 5890913077.
4. Козлов В. Е., Левина Е. Ю., Хусаинова С. В., Шабанкова Л. А. Модель научно-методического обеспечения профессионального роста педагогов по подготовке кадров // Вестник ЧГПУ им. И.Я. Яковлева. – 2019. – № 2 (102). – С. 107–115. ISSN 1680-1709.
5. Самарский А. А., Михайлов А. П. Математическое моделирование. Идеи. Методы. Примеры. – М. : Физматлит, 2001. – 2-е изд., испр. – 320 с. ISBN 5-9221-0120-X.
6. Степанов В. В. Курс дифференциальных уравнений. – М. : Изд-во Физматлит. – 6-е изд., 1950. – 473 с.
7. Макаров Е. Г. MathCAD : учебный курс. – СПб : Изд-во «Питер». – 2009. – 384 с. ISBN 978-5-388-00201-3.
8. Калганова Н. В. Математические модели оптимального управления материальным обеспечением учебной и научной деятельности отраслевых вузов // Вестник УрГУПС, 2020, № 4 (48). С. 80–90. ISSN 2079-0392.

Literature

1. Kochkarov R. A. Strategic planning and forecasting // Journal of Finance Academy. [Strategicheskoe planirovanie i prognozirovanie // Vestnik Finansovoj akademii]. 2006. № 4. – P. 97–109. ISSN 1996-8337.
2. Malinetski G. G., Kuznetsov I. V., Podlazov A. V. On the national system of scientific monitoring // RAN Herald. [O natsional'noj sisteme nauchnogo monitoringa // Vestnik RAN]. V. 75. – 2005. – № 7. – P. 1–16. ISSN 2071-2898.
3. G. S. Pospelov, Irikov V. A. Program-oriented planning and management. – M. : Sov. radio, [Programmno-tselevoe planirovanie i upravlenie. – M. : Sov. Radio]. 1976. – 440 p. ISSN 5890913077.
4. Kozlov V. E., Levina E. Yu., Khusainova S. V., Shabankova L. A. Model of scientific and methodological support of professional growth of teachers on training of personnel. – Herald of ChSPU named after I. Ya. Yakovlev. [Model' nauchno-metodicheskogo obespecheniya professional'nogo rosta pedagogov po podgotovke kadrov // Vestnik CHGPU im. I. Ya. Yakovleva]. 2019. – № 2 (102). – Pp. 107–115. ISSN 1680-1709.
5. Samarsky A. A., Mikhailov A. P. Mathematical modeling. Ideas. Methods. Examples. – M. : Fizmatlit [Matematicheskoe modelirovanie. Idei. Metody. Primery. – M. : Fizmatlit]. 2001. – 2nd ed., revised. – 320 p. ISBN 5-9221-0120-X.
6. Stepanov V. V. Course of differential equations. – M. : Publishing House «Fizmatlit» [Kurs differentsial'nykh uravnenij. – M. : Izd-vo «Fizmatlit»]. – 6th ed., 1950. – 473 p.
7. Makarov E. G. MathCAD: training course. – St. Petersburg: Publishing House «Peter». [MathCAD: uchebnyj kurs. – SPb : Izdatel'stvo «Piter»]. – 2009. – 384 p. ISBN 978-5-388-00201-3.
8. Kalganova N. V. Mathematical models of optimal management of material support for educational and scientific activities of branch universities // Herald of USURT, [Matematicheskie modeli optimal'nogo upravleniya material'nym obespecheniem uchebnoj i nauchnoj deyatel'nosti otraslevykh vuzov // Vestnik UrGUPS]. 2010. №. 4(48). P. 80–90. ISSN 2079-0392.

Статья сдана в редакцию 17 марта 2021 года

Уважаемые коллеги!

Информирую вас о требованиях, предъявляемых к оформлению статей.

При наборе используйте Word-2003 или Word-2007; шрифт (по всему тексту, в том числе в рисунках и таблицах) – тип Times, размер шрифта – 14, межстрочное расстояние – 1,5, абзацный отступ – 1,25 (1,27) см, поля – 2 см; расстановка переносов по всему тексту – автоматическая.

Набор формул: простые формулы и сочетания символов ($x^2 < y^2$; $E = mc^2$; $a^2 + b^2 = c^2$; Q_{i-1} ; ψ_j) – только в текстовом режиме, сложные

$$\left(s^2 = \frac{1}{n-1} \left[\sum_{j=1}^e x_j^2 n_j - \frac{1}{n} \left(\sum_{j=1}^e x_j n_j \right)^2 \right] \right); \left(\frac{\sigma_a}{[n]} \right)$$

или S_i^m) – только в редакторе формул

Equation или в MathType.

Написание букв: русские (а, б, в, А, Б, В), греческие (Θ, Σ, Ω, Ψ, α, β, δ, ε, λ, π), а также цифры и аббревиатуры (1, 2, 3; I, II, III; max, lg, sin и т. п.) пишутся только прямо; латинские (a, b, n, A, B, N и т. д.) – только курсивом. Исключение – курсив во вспомогательном тексте (слова «Таблица» и «Рис.», примечания в рисунках и ссылки в тексте на эти примечания).

Оформление текста: левый верхний край – инициалы, фамилия; заголовков – все буквы ПРОПИСНЫЕ, жирные, расположение – по центру набора; таблиц и рисунков: в таблицах размер шрифта – на полтора-два размера меньше, чем в основном тексте (11,5–12), расположение текста в «шапке» таблицы – по центру, в столбцах – по ширине; межстрочное расстояние – 1; слово «Таблица» – курсивное начертание, в правый край таблицы; название таблицы – начертание нормальное (прямое), расположение – по центру таблицы. В рисунках (графиках, диаграммах): размер подрисуночной

подписи – 14, расположение – по центру набора, слово «Рис.» – курсив, название рисунка – нормальное начертание, описание рисунка (экспликация) – нормальное начертание, условные обозначения – курсивное начертание, их расшифровка – нормальное. Расположение таблиц и рисунков – строго после ссылки на них.

Кроме того, рисунки обязательно прилагаются к материалу (один рисунок – один файл; формат – *.jpg).

Ссылки на литературу в тексте пишутся в квадратных скобках ([1], [1, 2] или [3–5]); нумерация сквозная. Список литературы/источников оформляется по ГОСТ 7.0.5–2008.

В конце статьи обязательно ставится дата отсылки материала в редакцию.

Объем статьи – не более 14-ти страниц.

Название файла: Фамилия. Первое слово заголовка. Подчеркивание. Последнее слово заголовка (Сидоров. Синтез_электроприводом).

К материалу (статье) обязательно прилагаются (отдельным файлом): УДК, сведения об авторе, аннотация, ключевые слова (название файла: УДК 000. Сидоров. Синтез_электроприводом).

Материалы для очередного номера журнала «Вестник УрГУПС» принимаются до 30 числа первого месяца квартала (до 30-го января, 30-го апреля, до 30-го июля, до 30-го октября). Материалы, поступившие в редакцию после 30-го числа, будут опубликованы только в следующем номере.

Успешной работы!

*Л. Барышникова,
литературный и выпускающий
редактор журнала «Вестник УрГУПС»*

Уважаемые читатели и авторы журнала «Вестник УрГУПС»!

Если вам нравится наш журнал, вы можете оказать содействие в его развитии, перечислив денежные средства по реквизитам:

Ассоциация выпускников УЭМИИТ-УрГУПС

ИНН-КПП 6670317893/667001001

ОГРН 1156600001470

620075, Свердловская обл., г. Екатеринбург, ул. Шевченко, д. 20, помещение 1

Р/с 40703810863010000192

в ПАО КБ «УБРИР» филиал ССБ

к/с 30101810900000000795

БИК 046577795

Назначение платежа: «Пожертвование для поддержки научных журналов УрГУПС».

Ваша финансовая поддержка позволит нам увеличить число публикаций, повысить индексы цитирования журнала и наших авторов.

Уважаемые руководители инновационных компаний и предприятий!

Предлагаем вам услуги по продвижению вашей продукции через сеть Ассоциации выпускников УЭМИИТ-УрГУПС.

Ассоциация выпускников УЭМИИТ-УрГУПС – это кооперация большого числа неравнодушных людей различных сфер деятельности, окончивших наш университет.

Кроме того, предлагаем услуги по подбору молодых специалистов, по организации поиска решений прикладных и научных задач в рамках диссертационных работ, выполняемых в УрГУПС.

Всю необходимую информацию вы можете получить по тел. (343) 221-25-60 или на сайте <http://www.usurt.ru/vypusknikam/assotsiatsiya-vypusknikov-urgups>

Извещение	<p>Получатель: <u>Ассоциация выпускников УЭМИИТ-УрГУПС</u> КПП: <u>667001001</u> ИНН: <u>6670317893</u> ОКТМО: <u>65701000</u> Р/сч.: <u>40703810863010000192</u> в: <u>ПАО КБ «УБРИР» филиал ССБ</u> БИК: <u>046577795</u> К/сч.: <u>30101810900000000795</u> Код бюджетной классификации (КБК): _____ Платеж: <u>Пожертвование для поддержки научных журналов УрГУПС</u> Плательщик: _____ Адрес плательщика: _____ ИНН плательщика: _____ № л/сч. плательщика: _____ Сумма: _____ руб. ____ коп.</p> <p>Подпись: _____ Дата: «___» _____ 2021 г.</p>
Квитанция	<p>Получатель: <u>Ассоциация выпускников УЭМИИТ-УрГУПС</u> КПП: <u>667001001</u> ИНН: <u>6670317893</u> ОКТМО: <u>65701000</u> Р/сч.: <u>40703810863010000192</u> в: <u>ПАО КБ «УБРИР» филиал ССБ</u> БИК: <u>046577795</u> К/сч.: <u>30101810900000000795</u> Код бюджетной классификации (КБК): _____ Платеж: <u>Пожертвование для поддержки научных журналов УрГУПС</u> Плательщик: _____ Адрес плательщика: _____ ИНН плательщика: _____ № л/сч. плательщика: _____ Сумма: _____ руб. ____ коп.</p> <p>Подпись: _____ Дата: «___» _____ 2021 г.</p>

ф. СП-1



АБОНЕМЕНТ

на ~~газету~~
журнал

70070

(индекс издания)

Вестник УргУПС

(наименование издания)

Количество
комплектов:

на 2021 год по месяцам:

1	2	3	4	5	6	7	8	9	10	11	12
						X	X	X	X	X	X

Куда

(почтовый индекс)

(адрес)

Кому

(фамилия, инициалы)

ДОСТАВОЧНАЯ КАРТОЧКА

ПВ	место	литер

на ~~газету~~
журнал

70070

(индекс издания)

Вестник УргУПС

(наименование издания)

Стои- мость	подписки	_____ руб. ____ коп.	Количество комплектов:
	переадресовки	_____ руб. ____ коп.	

на 2021 год по месяцам:

1	2	3	4	5	6	7	8	9	10	11	12
						X	X	X	X	X	X

Куда

(почтовый индекс)

(адрес)

Кому

(фамилия, инициалы)